الجمهورية الجزائرية الديمقراطية الشعبية

République Algérienne Démocratique et Populaire

وزارة التعليم العالى والبحث العلمى

Ministère de l'Enseignement Supérieur et de la Recherche Scientifique

Centre Universitaire Abdelhafid Boussouf - Mila

Institut des Sciences et de Technologie Département de Génie Civil et Hydraulique



Nº Réf:

Projet de Fin d'Etude préparé En vue de l'obtention du diplôme

de MASTER

Spécialité : Structure « Génie Civil »

Etude d'un bâtiment (R+7) a usage d'habitation situe en zone sismique contrevente par un système mixte (voiles-portiques).

Réalisé par :

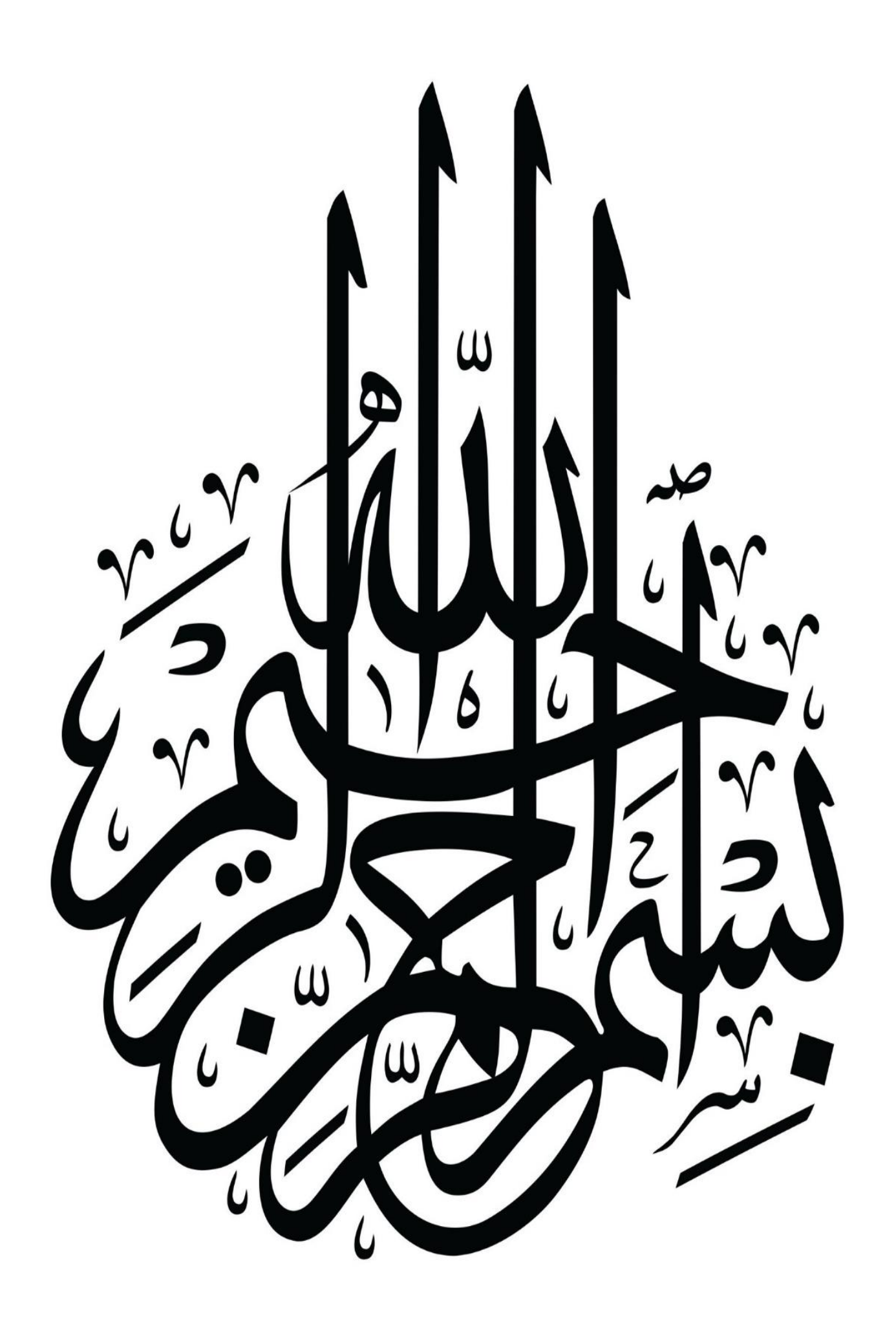
- BENAMEUR Nassim
- AZZOUZ Ayoub

Soutenu devant le jury :

Dr.BOUKOUR SalimaPrésidenteDr.BENZAID MehdiExaminateur

Dr. TALEB Hosni Abderrahmane Promoteur

Année universitaire: 2021/2022



Dédicace

BENAMEUR Nassim

Je dédie ce travail:

A ma mère qui a toujours veillé sur moi.

A mon père qui m'a soutenu tout au long de mes études.

A tous mes frères et sœurs.

A toute ma famille.

A tous mes amis (es).

A tous mes enseignants depuis le primaire.

A tous ceux qui me sont chers.

A tous qui vont lire ce mémoire.

A tous ceux qui m'ont aidé de près ou de loin à réaliser ce modeste travail.

Dédicace

AZZOUZ Ayoub

Je dédie ce travail à ma famille et à tous ceux qui m'ont aidé.

Remercîment

Nous remercions tout d'abord Allah qui nous a aidés achever ce mémoire.

Nous remercions notre encadreur Monsieur TALEB Hosni

Abderrahmane, Docteur à l'université de Abdel Hafid Boussouf
Mila, pour ses encouragements, et sa présence totale et ses

suggestions avisés qui nous ont conduits à terminer ce travail.

Nous remercions nos amis, nos collègues de l'institut des sciences et technologie ainsi que l'ensemble des enseignants et responsables.

Enfin nous remercions nos parents pour nous avoir appris à toujours aller au bout de nos rêves, ainsi que nos frères et sœurs.

Nomenclature

| A | Coefficient d'accélération de zone. |
|------------------|---|
| A_s | Aire d'une section d'acier. |
| A_{t} | Section d'armatures transversales. |
| В | Aire d'une section de béton. |
| E | Module d'élasticité longitudinale, |
| E_b | Module de déformation longitudinale du béton, |
| E_{i} | Module de déformation instantanée (E _{ij} à l'âge de j jours), |
| E_s | Module d'élasticité de l'acier, |
| $E_{\mathbf{v}}$ | Module de déformation différé (E _{vj} à l'âge de j jours), |
| F | Force ou action en général, |
| G | Action permanente. |
| Q | Charges d'exploitations, |
| I | Moment d'inertie, |
| L | Longueur ou portée, |
| L_f | Longueur de flambement. |
| M | Moment en général, moment de flexion le plus souvent |
| M_{G} | Moment fléchissant développé par les charges permanentes |
| M_{Q} | Moment fléchissant développé par les charges d'exploitations |
| M_{u} | Moment de calcul ultime |
| M_{ser} | Moment de calcul de service |
| M_t | Moment en travée |
| M_a | Moment en appui |
| N | Effort normal |
| $N_{\rm u}$ | Effort normal de calcul ultime |
| S_{t} | Espacement des armatures transversales, |
| T | Effort Tranchant, période |
| R | Coefficient de comportement |
| ELU | Etat limite ultime |
| ELS | Etat limite service |

| A | une dimension longitudinal |
|--------------------------|---|
| В | Une dimension transversale (largeur ou épaisseur d'une section) |
| D | Distance du barycentre des armatures tendues à la fibre extrême |
| d′ | Distance du barycentre des armatures comprimée à la fibre extrême |
| E | Épaisseur |
| F | Résistance d'un matériau (avec indice), flèche |
| f_e | limite d'élasticité de l'acier |
| f_{cj} | Résistance caractéristique à la compression du béton âge de j jours |
| f_{tj} | Résistance caractéristique à la traction du béton âge de j jours |
| f_{c28} , f_{t28} | Grandeurs précédentes avec j =28 jours |
| h | Hauteur totale d'une section de béton armé |
| I | Rayon de giration d'une section |
| J | nombre de jours |
| K | coefficient en general |
| L | Longueur ou portée (on utilise aussi L) |
| N | coefficient d'équivalence acier-béton |
| S | Espacement des armatures en générales |
| X | Coordonnée en général, abscisse en particulier |
| Y | Coordonnée, parallèlement au plan moyen, à partir de l'axe central |
| | d'inertie, Profondeur de l'axe neutre |
| Z | coordonnée d'altitude |
| | |
| ф | Diamètre des armatures, mode propre |
| γ_{s} | Coefficient de sécurité dans l'acier |
| γ_{b} | Coefficient de sécurité dans le béton |
| 3 | déformation relative |
| $\epsilon_{ m bc}$ | Raccourcissement relatif du béton comprimé |
| $\epsilon_{ m s}$ | Allongement relatif de l'acier tendu |
| ϵ_{s}' | Raccourcissement relatif de l'acier comprimé |
| | |

| Coefficient de fissuration relatif à une armature |
|---|
| Coefficient de poisson, coefficient sans dimension |
| Rapport de deux dimensions en particulière l'aire d'acier à l'aire de béton |
| contrainte normale en general |
| Élancement |
| contrainte tangente (de cisaillement) |
| contrainte de compression, |
| Contrainte de traction, de compression dans l'acier, également |
| notées σ_s , σ_s' |
| Angle de frottement, |
| Contrainte de traction admissible de l'acier |
| Contrainte de compression admissible du béton |
| Coefficient de ponderation |
| Contrainte du sol |
| |

Sommaire

| Dédicace | 3 |
|---|----|
| Dédicace | 4 |
| Nomenclature | 6 |
| Sommaire | 9 |
| Liste des tableaux | 15 |
| Liste des figures | 18 |
| ملخص | 21 |
| Abstract | 22 |
| Introduction générale | 23 |
| CHAPITRE I : PRESENTATION DU POROJET | 24 |
| I. 1. INTRODUCTION : | 25 |
| I. 2. PRÉSENTATION DE L'OUVRAGE : | 25 |
| I. 2. 1. Dimensions en plan: | 26 |
| I. 2. 2. Dimensions en élévation : | 28 |
| I. 2. 3. Système structural : | 29 |
| I. 3. CARACTERISTIQUES DU SITE D'ASSISE : | 29 |
| I. 4. LES ELEMENTS DE L'OUVRAGE : | 29 |
| I. 4. 1. Les planchers : | 29 |
| I. 4. 2. La maçonnerie : | 29 |
| I. 4. 3. Terrasse : | 30 |
| I. 4. 4. L'acrotère : | 30 |
| I. 4. 5. Revêtements : | 30 |
| I. 4. 6. Escaliers : | 30 |
| I. 4. 7. Ascenseur : | 30 |
| I. 4. 8. Fondation : | 31 |
| I. 4. 9. Balcon : | 31 |
| I. 4. 10. Ossature contreventée : | 31 |
| I. 5. REGLES DE CALCUL : | 31 |
| I. 6. METHODOLOGIE DE CALCUL : | 31 |

| I. 7. CARACTERISTIQUES DES MATERIAUX : | 32 |
|--|------|
| I. 7. 1. Béton: | 32 |
| I. 7. 2. L'acier : | 35 |
| I. 8. ACTIONS ET SOLLICITATIONS : | 38 |
| I. 8. 1. Actions : | 38 |
| I. 8. 2. Sollicitations: | 38 |
| I. 9. Hypothèses de calcul des sections en béton armé : | 38 |
| I. 9. 1. À l'état limite ultime (ELU) : | 38 |
| I. 9. 2. À l'état limite de service (ELS) : | 39 |
| I. 10. CONCLUSION: | 39 |
| CHAPITRE II : PREDIMENSIONNEMENT ET DESCENTE DE | |
| CHARGE | 40 |
| II. 1. INTRODUCTION: | 41 |
| II. 2. LA PREDIMENSIONNEMENT DES ELEMENTS | • • |
| SECONDAIRES: | |
| II. 2. 1. Les planchers : | 41 |
| II. 2. 2. Les escaliers : | 45 |
| II. 2. 3. L'acrotère : | 50 |
| II. 3. Les éléments principaux : | 51 |
| II. 3. 1. Les Poteaux : | 51 |
| II. 3. 2. Les poutres : | 52 |
| II. 3. 3. Les voiles : | 54 |
| II. 4. EVALUATION DES CHARGES ET SURCHARGES : | 56 |
| II. 4. 1. Maçonnerie : | 56 |
| II. 4. 2. Les Planchers : | 57 |
| II. 4. 3. L'escalier : | 59 |
| II. 5. DESCENTE DE CHARGES : | 60 |
| II. 5. 1. Loi de dégression : | 61 |
| II. 5. 2. Vérification de la section de poteau : (BAEL91 B.8.4.1) [1 | .]68 |
| CHAPITRE III : CALCUL DES ELEMENTS SECONDAIRES | 71 |

| III. 1. INTRODUCTION: | .72 |
|--|-------------|
| III. 2. ACROTERE: | .72 |
| III. 2. 1. Évaluation des charges : | .72 |
| III. 2. 2. Calcul des efforts : | .73 |
| III. 2. 3. Calcul du ferraillage : | .73 |
| III. 2. 4. Schéma de ferraillage d'un acrotère : | .77 |
| III. 3. LES ESCALIERS: | .77 |
| III. 3. 2. Calcul des sollicitations : | .78 |
| III. 3. 3. Calcul des armatures : | .95 |
| III. 4. LES PLANCHERS : | 102 |
| III. 4. 1. Généralité :1 | 103 |
| III. 4. 2. Evaluation des charges appliquées à chaque nervure :1 | 103 |
| III. 4. 3. Les combinaisons d'action :1 | 103 |
| III. 4. 4. Type et Position des poutrelles :1 | 103 |
| III. 4. 5. Méthodes de calculs :1 | 104 |
| III. 4. 6. Choix de la méthode de calcul des sollicitations :1 | l 07 |
| III. 4. 7. Exemple d'application : (charge permanente minorée)1 | 108 |
| III. 4. 8. Calcul les moments et les efforts tranchants pour la poutrelle Type 01 (Terrasse et étage) :1 | |
| III. 4. 9. Calcul les moments et les efforts tranchants pour la poutrelle | |
| Type 02 (étage) :1 | |
| III. 4. 10. Ferraillage des poutrelles :1 | 15 |
| III. 5. LES BALCONS :1 | 132 |
| III. 5. 1. Exemple de calcule :1 | 132 |
| III. 6. L'ASCENSEUR : | l 37 |
| III. 6. 1. Prédimensionnement :1 | l 37 |
| III. 6. 2. Détermination des charges et surcharges :1 | 138 |
| III. 6. 3. Combinaison des charges :1 | 139 |
| III. 6. 4. Calcul des efforts :1 | 139 |
| III. 6. 5. Ferraillage de la dalle :1 | 40 |

| III. 6. 6. Vérification a l'ELU : | 142 |
|---|------|
| III. 6. 7. Vérification a l'ELS : | 143 |
| III. 6. 8. Vérification de la flèche : | 145 |
| CHAPITRE IV: ETUDE DYNAMIQUE ET SISMIQUE | 147 |
| IV. 1. INTRODUCTION: | 148 |
| IV. 2. OBJECTIF DE L'ETUDE DYNAMIQUE : | 148 |
| IV. 3. MÉTHODES DE CALCUL : | 148 |
| IV. 3. 1. Méthode statique équivalente : | 148 |
| IV. 3. 2. Méthode dynamique modale spectrale : | 149 |
| IV. 4. MODÉLISATION DE LA STRUCTURE : | 152 |
| IV. 4. 1. Présentation du logiciel ROBOT (version 2021) : | 152 |
| IV. 4. 2. Disposition des voiles : | 153 |
| IV. 4. 3. Modes de vibration et taux de participation des masses :. | 153 |
| IV. 5. VERIFICATION DE LA RESULTANTE SISMIQUE : | 156 |
| IV. 5. 1. Détermination de la période fondamentale T : | 158 |
| IV. 5. 2. Vérification de l'effort tranchant à la base : | 160 |
| IV. 5. 3. Déplacement et efforts tranchant de chaque diaphragme | :161 |
| IV. 5. 4. Vérification des déplacements : | 161 |
| IV. 5. 5. Vérification de l'effet P- Δ : | 162 |
| IV. 5. 6. Vérification au renversement : | 163 |
| IV. 5. 7. Vérification de l'effort normal réduit : | 164 |
| IV. 5. 8. Vérification de L'excentricité : | 165 |
| CHAPITER V : CALCUL DES ELEMENTS RESISTANTS | 166 |
| V. 1. INTRODUCTION : | 167 |
| V. 2. Poteaux : | 167 |
| V. 2. 1. Recommandations du RPA99/2003 : | 168 |
| V. 3. FERRAILLAGE DES POUTRES : | 175 |
| V. 3. 1. Recommandation du RPA 99/2003 : | 176 |
| V 3 2 Ferraillage des noutres : | 176 |

| V. 3. 3. Vérifications : | 180 |
|---|-----|
| V. 4. Les voiles : | 182 |
| V. 4. 1. Introduction : | |
| V. 4. 2. Les combinaisons de calcul : | 184 |
| V. 4. 3. Etude de la section soumise à la flexion composée : | 184 |
| V. 4. 4. Disposition des voiles : | |
| V. 4. 5. Le ferraillage des voiles : | |
| V. 4. 6. Schéma de Ferraillage : | 189 |
| V. 4. 7. Résultat de ferraillage des villes : | |
| CHAPITRE VI : ETUDE DE L'INFRASTRUCTURE | |
| VI. 1. INTRODUCTION : | 197 |
| VI. 2. CHOIX DE TYPE DE FONDATION : | |
| VI. 2. 1. Vérification de la semelle isolée : | 197 |
| VI. 2. 2. Vérification de la semelle filante : | 198 |
| VI. 2. 3. Radier général : | 199 |
| VI. 3. Vérifications nécessaires : | 200 |
| VI. 3. 1. Vérification de la contrainte dans le sol : | 200 |
| VI. 3. 2. Vérification au cisaillement : | 201 |
| VI. 3. 3. Vérification au poinçonnement | 202 |
| VI. 4. Ferraillage du radier : | 202 |
| VI. 4. 1. Calcul des sollicitations : | |
| VI. 4. 2. Calcul des moments : | 203 |
| VI. 4. 3. Ferraillage de la dalle : | 203 |
| VI. 5. Ferraillage des nervures : | 205 |
| VI. 5. 1. Calcul des efforts : | 205 |
| VI. 5. 2. Calcul des armatures : | 205 |
| VI. 5. 3. Vérification des contraintes à l'ELS : | 205 |
| VI. 5. 4. Vérification de la contrainte tangentielle du béton : | 206 |
| VI. 5. 5. Armatures transversales : | 206 |

| VI. 6. L'étude des longrines : | 207 |
|--|-----|
| VI. 6. 1. Pré-dimensionnement : | 207 |
| VI. 6. 2. Ferraillage de la longrine : | 208 |
| VI. 6. 3. Schéma de ferraillage : | 208 |
| Conclusion générale : | 209 |
| Références bibliographiques | 210 |
| Annexes | 211 |

Liste des tableaux

CHAPITRE I: PRESENTATION DU POROJET.

| Tableau I. 1: Limite élastique en fonction du type d'acier | 36 |
|--|-----|
| Tableau I. 2: Limite élastique en fonction du type de Treillis soudés | |
| Tableau I. 3: Caractéristiques mécaniques du béton | |
| Tableau I. 4: Caractéristiques mécaniques des aciers | 39 |
| CHAPITRE II : PREDIMENSIONNEMENT ET DESCENTE DE | |
| CHARGE. | |
| Tableau II. 1: évaluation de charge de l'acrotère | 51 |
| Tableau II. 2: Section des poteaux préalable | 52 |
| Tableau II. 3: Evaluation de charge murs extérieurs | 56 |
| Tableau II. 4: Evaluation de charge murs intérieurs | 57 |
| Tableau II. 5: Charge permanente et d'exploitation de terrasse à corps creux | 58 |
| Tableau II. 6: Charge permanente et d'exploitation d'étage courant à corps creux | 59 |
| Tableau II. 7: Charge permanente et d'exploitation de la dalle pleine | 59 |
| Tableau II. 8: Charge permanente et d'exploitation de la paillasse 1 | |
| Tableau II. 9: Charge permanente et d'exploitation de la paillasse (2,3,4,5,6) | |
| Tableau II. 10: Charge permanente et d'exploitation du palier de repos | |
| Tableau II. 11: La descente de charge de poteau | |
| Tableau II. 12: la descente des charges – poteau d'intermédiaire | |
| Tableau II. 13: La descente de charge des poteaux | |
| Tableau II. 14: la descente des charges – Poteau de rive | |
| Tableau II. 15: La descente de charge de poteau | |
| Tableau II. 16: La descente des charges – Poteau d'angle | |
| Tableau II. 17: tableau récapitulative | 70 |
| CHAPITRE III : CALCUL DES ELEMENTS SECONDAIRES. | |
| Tableau III. 1: Les combinaisons des charges d'escalier type 1 | 78 |
| Tableau III. 2: Tableau récapitulatif des sollicitations de paillasse 1 | |
| Tableau III. 3: Tableau récapitulatif des sollicitations de paillasse 2 | 84 |
| Tableau III. 4: Tableau récapitulatif des sollicitations de paillasse 3 | 87 |
| Tableau III. 5: Tableau récapitulatif des sollicitations de paillasse 4 et 6 | 92 |
| Tableau III. 6: Tableau récapitulatif des sollicitations de paillasse 5 | 94 |
| Tableau III. 7: Tableau récapitulatif des sollicitations générale | 95 |
| Tableau III. 8: Armatures longitudinales (type 1) | |
| Tableau III. 9: Résultats de calcul de ferraillage d'escalier (type 1) | 96 |
| Tableau III. 10: les armatures de répartition | |
| Tableau III. 11: Armatures longitudinales (type 2) | |
| Tableau III. 12: Résultats de calcul de ferraillage d'escalier (type 2) | |
| Tableau III. 13: les armatures de répartition | |
| Tableau III. 14: Les combinaisons d'action | 103 |
| | |

| Tableau III. 15: les chargements sur les poutrelles | 109 |
|---|-----|
| Tableau III. 16: moments aux appuis intermédiaires | 110 |
| Tableau III. 17: Moments aux appuis de rive | 111 |
| Tableau III. 18: Moments sur travées CAS 1 (poutrelle type1 (terrasse)) | 112 |
| Tableau III. 19: Moments aux appuis (poutrelle type1 (terrasse)) | 112 |
| Tableau III. 20: Moments aux appuis (poutrelle type1 (terrasse)) | 112 |
| Tableau III. 21: Moments sur travées (poutrelle type1 (terrasse)) | 112 |
| Tableau III. 22: Moments aux appuis (poutrelle type1 (étage)) | 113 |
| Tableau III. 23: Moments aux appuis (poutrelle type1 (étage)) | 113 |
| Tableau III. 24: Moments sur travées (poutrelle type1 (étage)) | 113 |
| Tableau III. 25: Efforts tranchants (poutrelles type 1 (Terrasse)) | 114 |
| Tableau III. 26: Efforts tranchants (poutrelles type 1 (étage)) | 115 |
| Tableau III. 27: Moment et effort tranchant (ELU) (poutrelle Type 02 (étage)) | 115 |
| Tableau III. 28: Moment et effort tranchant (ELS) (poutrelle Type 02 (étage)) | 115 |
| Tableau III. 29: Les sollicitations les plus défavorables | |
| Tableau III. 30: Vérification des contraintes à l'ELS | 120 |
| Tableau III. 31: Les sollicitations les plus défavorables | 121 |
| Tableau III. 32: Vérification des contraintes à l'ELS. | 126 |
| Tableau III. 33: Les sollicitations les plus défavorables | 127 |
| Tableau III. 34: Vérification des contraintes à l'ELS. | 131 |
| Tableau III. 35: Ferraillage de la dalle pleine type1 | 134 |
| Tableau III. 36: Les armatures de répartition | 134 |
| Tableau III. 37: Vérification des contraintes à l'ELS. | 135 |
| Tableau III. 38: Ferraillage de la dalle pleine type 02 | 136 |
| Tableau III. 39: Ferraillage de la dalle pleine type 03 | 137 |
| Tableau III. 40: Ferraillage de la dalle machine | |
| Tableau III. 41: Vérification à l'ELS de la dalle machine | 145 |
| CHAPITRE IV : ETUDE DYNAMIQUE ET SISMIQUE. | |
| Tableau IV. 1: Coefficient d'accélération de zone | 150 |
| Tableau IV. 2: Valeurs des périodes caractéristiques T1, T2 | |
| Tableau IV. 3: Valeur de facteur de qualité | |
| Tableau IV. 4: Périodes et taux de participation massique de la structure | |
| Tableau IV. 5: le comportement des trois premiers modes | |
| Tableau IV. 6: valeurs du coefficient de pondération β | |
| Tableau IV. 7: valeurs du coefficient CT. | |
| Tableau IV. 8: Vérification de l'effort tranchant à la base | 160 |
| Tableau IV. 9: Déplacement et efforts tranchant de chaque diaphragme | |
| Tableau IV. 10: Vérification des déplacements selon x-x | 161 |
| Tableau IV. 11: Vérification des déplacements selon y-y | |
| Tableau IV. 12: Vérification de l'éffet P- Δ au sens x-x | |
| Tableau IV. 13: Vérification de l'éffet P-∆ au sens y-y | |
| Tableau IV. 14: valeurs de force sismique FX | 163 |
| | |

| Tableau IV. 16: Calcul moment de renversement | Tableau IV. 15: valeurs de force sismique FY | 164 |
|--|---|-------|
| Tableau IV. 17: Vérification au renversement (x-x) | | |
| Tableau IV. 18: Vérification au renversement (y-y) | | |
| Tableau IV. 19: Vérification de l'effort normal réduit des poteaux | | |
| Tableau V. 1: Armatures longitudinales minimales et maximales dans les poteaux | | |
| Tableau V. 1: Armatures longitudinales minimales et maximales dans les poteaux | = | |
| Tableau V. 2: Les sollicitations dues aux poteaux | CHAPITRE V : CALCUL DES ELEMENTS RESISTANTS. | , |
| Tableau V. 3: Sections des armatures longitudinales | Tableau V. 1: Armatures longitudinales minimales et maximales dans les poteau | ıx168 |
| Tableau V. 3: Sections des armatures longitudinales | Tableau V. 2: Les sollicitations dues aux poteaux | 169 |
| Tableau V. 5: Armatures transversales | | |
| Tableau V. 5: Armatures transversales | · · · · · · · · · · · · · · · · · · · | |
| Tableau V. 7: vérification au flambement | | |
| Tableau V. 7: vérification au flambement | Tableau V. 6: Vérification de la contrainte de cisaillement pour les poteaux | 174 |
| Tableau V. 9: Les sollicitations dues aux PS | | |
| Tableau V. 10: Les ferraillage des poutres | Tableau V. 8: Les sollicitations dues aux PP. | 176 |
| Tableau V. 11: Vérification des contraintes (PP) à l'ELS | Tableau V. 9: Les sollicitations dues aux PS. | 178 |
| Tableau V. 11: Vérification des contraintes (PP) à l'ELS | Tableau V. 10: Les ferraillage des poutres. | 180 |
| Tableau V. 12: Vérification de la compression du béton | | |
| Tableau V. 13: Vérification des contraintes (PS) à l'ELS | | |
| Tableau V. 14: Résume les résultats de Sollicitations | - | |
| Tableau V. 16: Ferraillage voile 7 | | |
| Tableau V. 16: Ferraillage voile 7 | Tableau V. 15: Ferraillage voile 6. | 189 |
| Tableau V. 17: Ferraillage voile 9 | | |
| Tableau V. 18: Ferraillage voile 2 | | |
| Tableau V. 20: Ferraillage voile 4 | | |
| Tableau V. 20: Ferraillage voile 4 | Tableau V. 19: Ferraillage voile 3. | 191 |
| Tableau V. 21: Ferraillage voile 5 | <u> </u> | |
| Tableau V. 22: Ferraillage voile 8 | | |
| Tableau V. 23: Ferraillage voile 10 | e | |
| Tableau VI. 1: Caractéristiques géométrique XX | _ | |
| Tableau VI. 2: Caractéristiques géométrique YY | CHAPITRE VI : ETUDE DE L'INFRASTRUCTURE. | |
| Tableau VI. 2: Caractéristiques géométrique YY | Tableau VI. 1: Caractéristiques géométrique XX | 201 |
| Tableau VI. 3: Rusélta de ferraillage | • • • • | |
| Tableau VI. 4: Vérification des contraintes | | |
| Tableau VI. 5: Ferraillage des nervures du radier205 | e e | |
| | Tableau VI. 5: Ferraillage des nervures du radier | 205 |
| | | |

Liste des figures

CHAPITRE I: PRESENTATION DU POROJET.

| Figure I. 1: Situation géographique de notre ouvrage | 25 |
|---|----|
| Figure I. 2: Carte de zonage sismique d'Algérie | |
| Figure I. 3: Plan de réz de chaussée. | |
| Figure I. 4: Plan du 1ere étage | 27 |
| Figure I. 5: Plan étage (2ème, 3ème, 4ème, 5ème). | 27 |
| Figure I. 6: Plan du 6 et 7 ème étage. | 28 |
| Figure I. 7: Coupe A-A | 28 |
| Figure I. 8: Disposition des voiles du bâtiment. | 29 |
| Figure I. 9: Essai de compression. | 32 |
| Figure I. 10: Diagramme contrainte déformation du béton | 34 |
| Figure I. 11: Diagramme contraintes déformation à l'ELS | 35 |
| Figure I. 12: Diagramme contraintes-déformations. | 36 |
| CHAPITRE II : PREDIMENSIONNEMENT ET DESCENTE DE | |
| CHARGE. | |
| | |
| Figure II. 1: Planchers à corps creux. | 42 |
| Figure II. 2: Schéma des poutrelles | 42 |
| Figure II. 3: Dimensions des poutrelles | 43 |
| Figure II. 4: Dalle sur deux (02) appuis. | 44 |
| Figure II. 5: Dalle sur trois (03) appuis | 45 |
| Figure II. 6: Dalle sur quatre (04) appuis | 45 |
| Figure II. 7: Schéma de l'escalier. | 46 |
| Figure II. 8: Escalier à trois volées. | 46 |
| Figure II. 9: Schéma statique de volée. | |
| Figure II. 10: Vue en plan d'escalier type 1 | 47 |
| Figure II. 11: Vue en plan d'escalier type 2 | |
| Figure II. 12: Coupe en élévation de l'acrotère | |
| Figure II. 13: Houteur libre d'étage. | |
| Figure II. 14: la section de poutre principale. | |
| Figure II. 15: la section de poutre secondaire (Chaînage) | |
| Figure II. 16: Coupe de voile en élévation. | |
| Figure II. 17: Coupes des voiles pour différents cas | |
| Figure II. 18: Murs extérieurs | |
| Figure II. 19: Murs intérieurs. | |
| Figure II. 20: Plancher à corps creux de terrasse. | |
| Figure II. 21:Plancher à corps creux étage | |
| Figure II. 22: Coupe vertical du plancher courant à dalle pleine. | |
| Figure II. 23: Schéma statique de la descente. | |
| Figure II. 24: Poteau d'intermédiaire. | |
| Figure II. 25: Poteau de rive. | |
| Figure II. 26: Poteau d'angle. | 66 |

| Figure II. 27: Section réduite de poteau | 69 |
|--|-----|
| CHAPITRE III : CALCUL DES ELEMENTS SECONDAIRES. | |
| CHAITTRE III. CALCOL DES ELEMENTS SECONDAIRES. | |
| Figure III. 1: Coupe en élévation de l'acrotère. | 72 |
| Figure III. 2: Charges appliquées sur l'acrotère | 73 |
| Figure III. 3: La section équivalente de calcule de l'acrotère | 73 |
| Figure III. 4: Schéma de ferraillage de l'acrotère | 77 |
| Figure III. 5: Schéma statique d'escalier (RDC) | 78 |
| Figure III. 6: Schéma statique d'escalier (ETAGE). | 78 |
| Figure III. 7: Schéma statique de Paillasse 1 | 79 |
| Figure III. 8: Schéma statique de Paillasse 2 | 82 |
| Figure III. 9: Schéma statique de Paillasse 3 | 85 |
| Figure III. 10: Schéma statique de Paillasse 4 et 6 | 88 |
| Figure III. 11: Schéma statique de Paillasse 5 | 92 |
| Figure III. 12: Schéma de ferraillage d'escalier type 1 | 99 |
| Figure III. 13: Schéma de ferraillage d'escalier type 2 | 102 |
| Figure III. 14: dimensions de la poutrelle | 103 |
| Figure III. 15: poutrelle type1 (étage) | 104 |
| Figure III. 16: poutrelle type2 (étage) | 104 |
| Figure III. 17: poutrelle type 1 (terrasse) | 104 |
| Figure III. 19: Diagramme des efforts tranchants une poutre à deux travées | 106 |
| Figure III. 20: Diagramme des efforts tranchants une poutre à plusieurs travées | 106 |
| Figure III. 21: Schéma de cas 1 | 109 |
| Figure III. 22: Schéma de cas 2 | 109 |
| Figure III. 23: Schéma cas 3 | 109 |
| Figure III. 24: dimensionnement des poutrelles | 116 |
| Figure III. 25: Appui intermédiaire. | 121 |
| Figure III. 26: Appui de rive | 121 |
| Figure III. 27: Travée | 121 |
| Figure III. 28: dimensionnement des poutrelles | 122 |
| Figure III. 29: Appui intermédiaire. | |
| Figure III. 30: Appui de rive | 127 |
| Figure III. 31: Travée. | |
| Figure III. 32: Schéma de ferraillage de poutrelle Type 02 (Etage) | 132 |
| Figure III. 33: Schéma de ferraillage du balcon type 1 | |
| Figure III. 34: Schéma de la cage d'ascenseur. | |
| Figure III. 35: Vue en plan de dalle machine. | |
| Figure III. 36: Disposition constructive des armatures de l'ascenseur | |
| | |
| CHAPITRE IV : ETUDE DYNAMIQUE ET SISMIQUE. | |
| Figure IV. 1:Organigramme de classification des systèmes de contreventement avec | ; |
| voiles (Systèmes 2, 4a et 4b). | |
| Figure IV. 2: Distribution de l'effort normal | 152 |

| Figure IV. 3: Spectre de calcul | 152 |
|--|------|
| Figure IV. 4: Disposition des voiles. | 153 |
| Figure IV. 5: Première Mode | 155 |
| Figure IV. 6: Deuxième Mode | 155 |
| Figure IV. 7: Troisième Mode | 156 |
| Figure IV. 8: valeur des charges permanente | 157 |
| Figure IV. 9: valeur des charges d'exploitation | 158 |
| Figure IV. 10: valeur des charges sismique | 160 |
| CHAPITRE V : CALCUL DES ELEMENTS RESISTA | NTS. |
| Figure V. 1: Schéma des Combinaisons de ferraillage des Poteaux | 167 |
| Figure V. 2: Schéma de ferraillage des poteaux | 175 |
| Figure V. 3: Ferraillage des poutres principales | 182 |
| Figure V. 4: Ferraillage des poutres secondaires | 182 |
| Figure V. 5: Schéma de disposition des voiles | 184 |
| Figure V. 6: Schéma de distribution des contraintes (Voile longitudinale). | 185 |
| Figure V. 7: Schéma de disposition des excentricités | |
| Figure V. 8: Schéma de ferraillage de Voile 1 | 189 |
| Figure V. 9: Schéma de ferraillage du voile 2 et 3 | 194 |
| Figure V. 10: Schéma de ferraillage du voile 6 et 7 | 194 |
| Figure V. 11: Schéma de ferraillage du voile 4 | |
| Figure V. 12: Schéma de ferraillage du voile 5 | |
| Figure V. 13: Schéma de ferraillage du voile 8, 9, 10 (Ascenseur) | 195 |
| CHAPITRE VI : ETUDE DE L'INFRASTRUCTUR | E. |
| Figure VI. 1: Semelle isolée. | 198 |
| Figure VI. 2: Schéma de radier. | 199 |
| Figure VI. 3: Schéma de ferraillage de la dalle de radier | 207 |
| Figure VI. 4: Schéma de ferraillage des nervures | 207 |
| Figure VI. 5 : Schéma de ferraillage de La longrine | 208 |
| | |

ملخص

الهدف من هذه الدراسة هو تصميم مبنى سكني من 7 طوابق (R+7) يقع في دائرة فرجيوة ولاية ميلة المصنفة في المنطقة الزلزالية IIa حسب قواعد الزلالزل الجزائرية RPA 99 إصدار 2003. حساب الابعاد لمختلف العناصر الاساسية والثانوية كان وفقا لقوانين BAEL 91 modified 99 و CBA 93 و CBA 99 ver 2003. يتم ضمان استقرار الهيكل بواسطة نظام مختلط بين جدران القص و الاعمدة والعارضات. الدراسة التحليلية و الزلزالية تمت بواسطة برنامج Robot Structures analyse وفي الاخير تمت دراسة أساسات المبنى حيت اعتمدنا اساسات مساحية

Résumé:

Le but de ce travail est l'étude d'une structure en béton armé (R+7) qui devrait être implantée à la commune de FERDJIOUA dans la wilaya de MILA qui est classée en zone sismique IIa selon le RPA99 Version 2003. La résistance du bâtiment est assurée par un système de contreventement mixte (portiques voiles) . La conception a été faite selon les règlements de construction en vigueur (DTR B C2 .2, RPA99 version 2003, CBA93, BAEL91) avec une étude technico-économique du contreventement par l'adoption de plusieurs dispositions des voiles. L'étude dynamique a été faite sur le logiciel ROBOT. Finalement, l'étude de l'infrastructure du bâtiment a été faite par le calcul des fondations

Abstract

This study aims at the analysis of a reinforced concrete structure with (ground floor +7 floors), which is meant to be established in FERDJIOUA in the Wilaya of MILA. The resistance of the building is ensured by a mixed brace system (frame + shells). The conception has been done according to construction laws applied in Algeria (DTR B C.2.2, RPA99 version 2003, CBA93, BAEL91) with a technical economical study of the brace system through the use of different dispositions of shells. As regards the dynamic analysis, it has been done by the use of ROBOT. Finally, the substructure has been analyzed by calculating the foundation.

Introduction générale

Le génie civil est la science qui s'occupe de l'art de la construction. Les ingénieurs en génie civil s'occupent de la conception, de la réalisation, de l'exploitation et de la réhabilitation d'ouvrage de construction et d'infrastructures urbaines dont ils assurent la gestion afin de répondre aux besoins de la société, tout en assurant la sécurité des usagers et la protection de l'environnement. Ce travail consiste à l'étude d'un bâtiment (R+7) à usage d'habitation qui sera implanté à la ville de « MILA-FERDJIOUA » région correspondant à la zone (IIa), zone de moyenne sismicité selon le dernier Règlements Parasismiques Algériens. Le calcul se fait généralement à l'aide de simulations numériques et les résultats doivent vérifier les codes de constructions réglementaires. Néanmoins ce dernier est souvent précédé d'un calcul manuel (calcul statique), afin d'en comprendre le fonctionnement rapidement et définir de facon plus raffinée les sections nécessaires utilisées dans la méthode numérique. En effet ; le projet qui nous a été proposé porte sur l'étude d'un bâtiment qui regroupe des logements d'habitations défini au premier chapitre. Tandis que le deuxième et le troisième chapitre se résument au calcul statique, autrement dit un pré dimensionnement des différents éléments de la structure et les calcul des ferraillage des éléments secondaire. Le quatrième chapitre, quant à lui s'attache à la modélisation de la structure, en vue d'appréhender le comportement sismique et d'adopter une disposition des voiles appropriée à la structure. Une fois que la disposition est adoptée, le calcul du ferraillage des éléments structuraux sera exposé dans le cinquième chapitre. Le calcul de l'infrastructure fera l'objet du sixième chapitre Le manuscrit se termine par une conclusion générale qui résume les différents résultats obtenus et les contraintes rencontrées lors de l'élaboration de ce travail.

I. 1. INTRODUCTION:

L'objet de notre travail est l'étude d'un bâtiment en béton armé, qui nécessite des connaissances de base sur lesquelles l'ingénieur en génie civil prend appui, et cela pour obtenir une structure à la fois sécuritaire et économique. À cet effet nous allons définir dans ce présent chapitre les différents éléments et matériaux constituant l'ouvrage à étudier en mentionnant les règles de calculs avec une préalable description de notre projet. Ce travail porte sur l'étude d'un bâtiment en béton armé (RDC+7) à usage d'habitation.

I. 2. PRÉSENTATION DE L'OUVRAGE:

Le projet qui nous a été confié est un bâtiment à usage d'habitation, composé d'un niveau réz de chaussée et 7 niveaux avec une terrasse inaccessible. Il sera implanté à la ville de « MILA-FERDJIOUA » qui est classée comme zone de forte sismicité (Zone IIa) selon le classement des zones établi par le dernier Règlement Parasismique Algérien (RPA 99 version 2003). Tous les calculs sont effectués conformément aux règlements en vigueur, à savoir :

- BAEL 91 modifiée en 99[1].
- CBA93[2].
- RPA99 version 2003[3].
- DTR BC.2.2.[4].



Figure I. 1: Situation géographique de notre ouvrage.

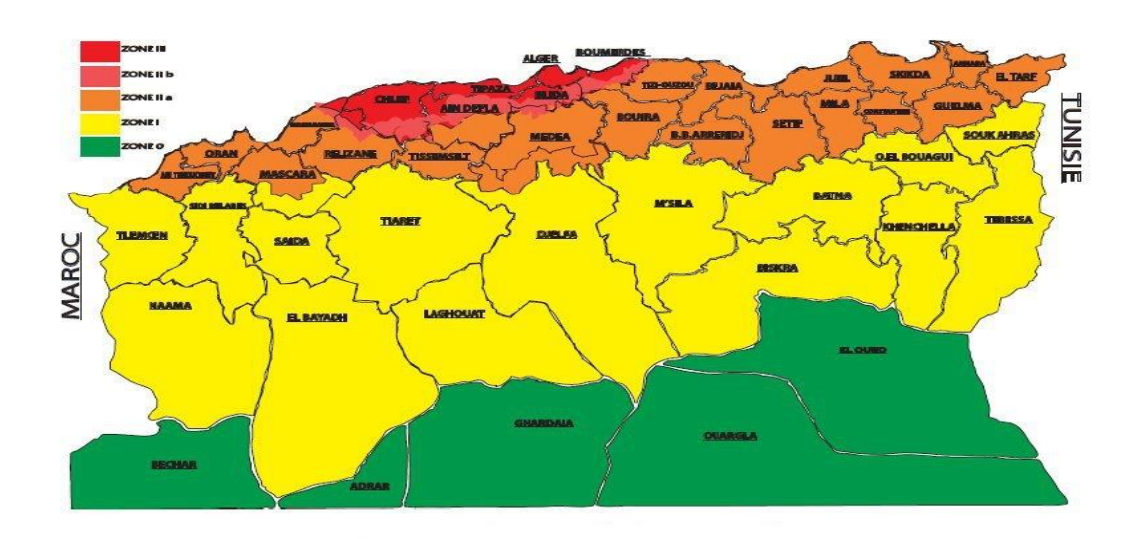


Figure I. 2: Carte de zonage sismique d'Algérie [3].

I. 2. 1. Dimensions en plan:

En plan le bâtiment a une forme rectangulaire (Figure I.3.et Figure I.4, Figure I.5) avec :

- Une largeur de 10.40 m.
- Une longueur de 26.10 m.



Figure I. 3: Plan de réz de chaussée.

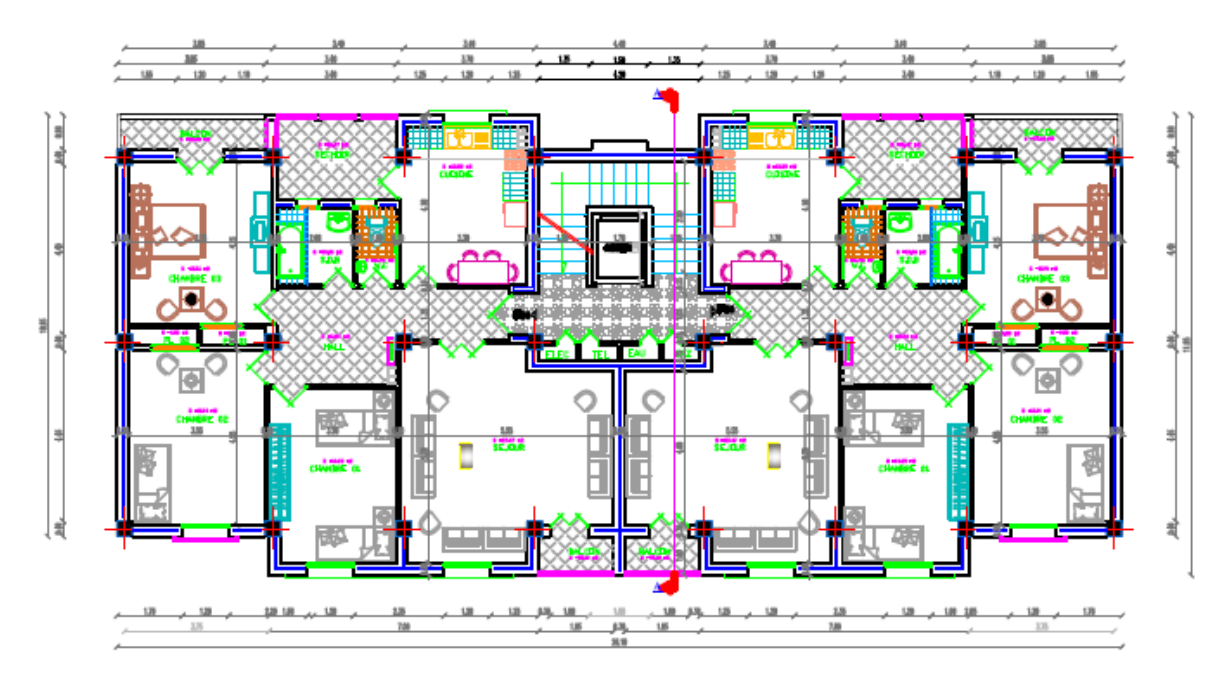


Figure I. 4: Plan du 1ere étage.

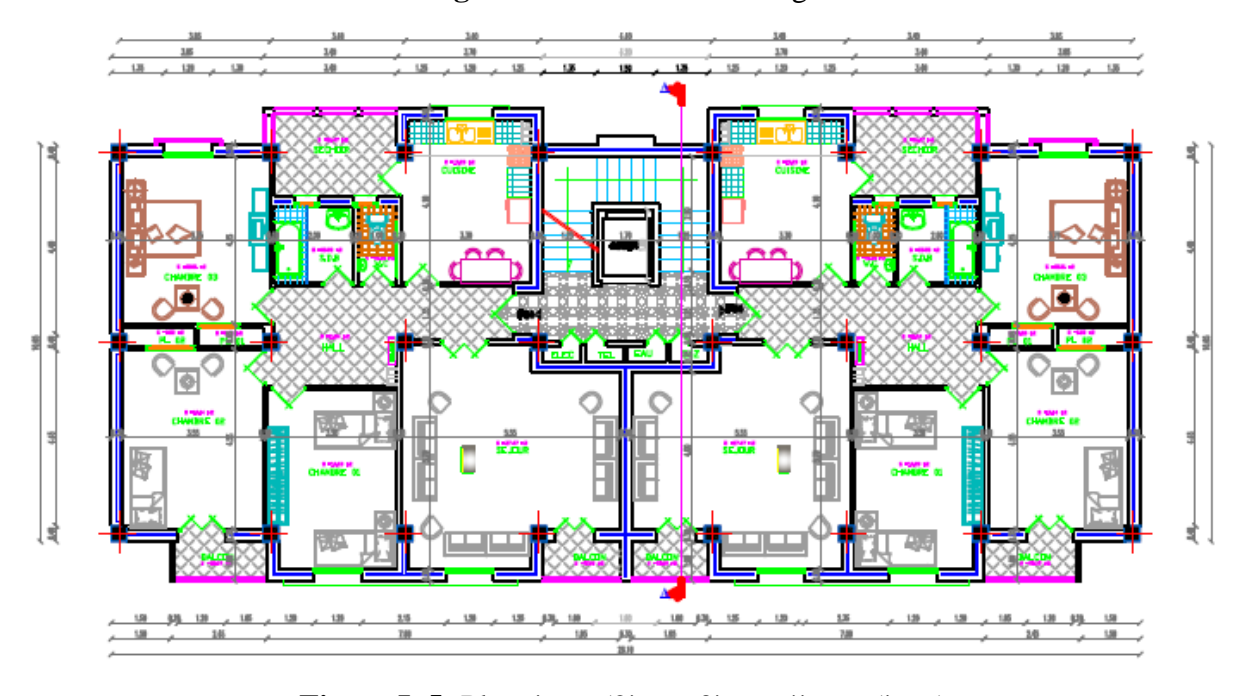


Figure I. 5: Plan étage (2ème, 3ème, 4ème, 5ème).

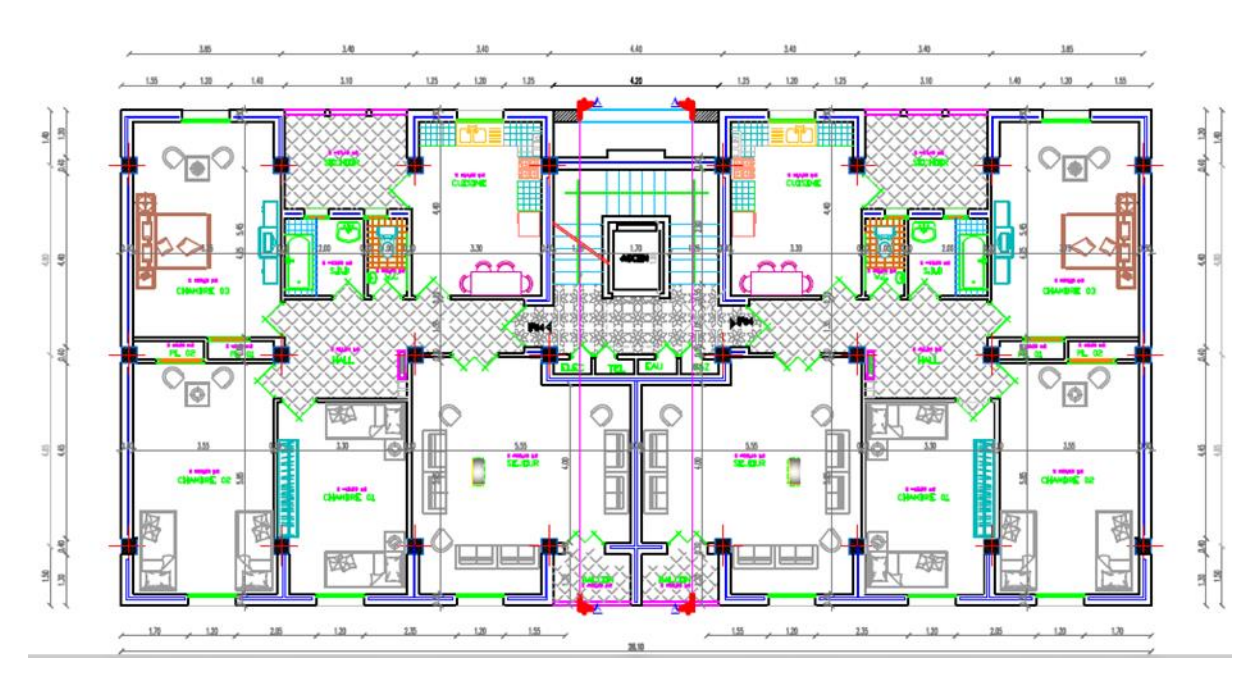


Figure I. 6: Plan du 6 et 7 ème étage.

I. 2. 2. Dimensions en élévation :

Hauteur de RDC : 4.08 m.
Hauteur d'étage courant : 3.06 m.
Hauteur totale de bâtiment : 25.50 m.
Hauteur de l'acrotère : 0.70 m.
Hauteur totale du bâtiment avec l'acrotère : 26.20 m.

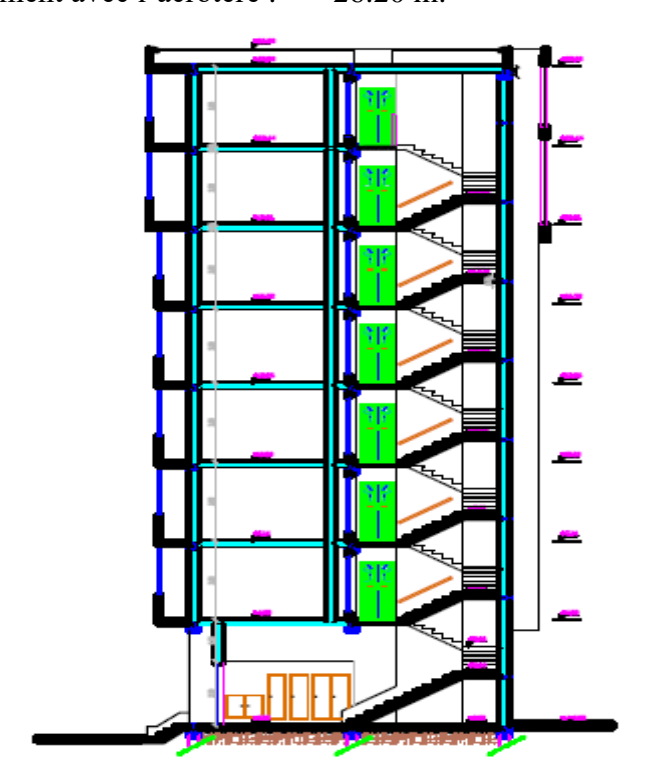


Figure I. 7: Coupe A-A.

I. 2. 3. Système structural:

La structure choisie est contreventée par un système mixte (voile-portique) pour mieux reprendre les efforts sismiques et pour une meilleure rigidité.

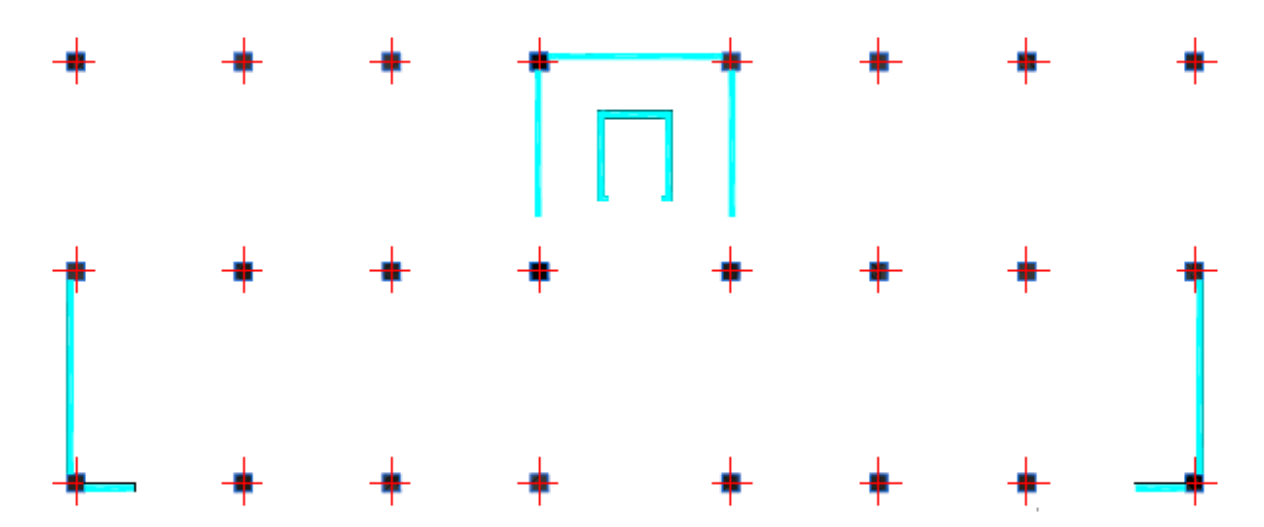


Figure I. 8: Disposition des voiles du bâtiment.

I. 3. CARACTERISTIQUES DU SITE D'ASSISE:

Le sol d'assise de la construction est considéré comme meuble d'après le rapport du laboratoire (le Laboratoire de l'Habitat et de la Construction Filiale Est Unité de) daté 09/09/2012 le taux travail du sol est de :

- La contrainte étudiée du sol est $\delta_{sol} = 1.7$ bar pour une profondeur de 1.5 m.
- Le poids spécifique de terre $\gamma_h = 1.8 \text{ t/m}^3$.
- L'angle de frottement interne du sol $\omega = 30^{\circ}$

La cohésion C = 0 (sol pulvérulent).

I. 4. LES ELEMENTS DE L'OUVRAGE :

I. 4. 1. Les planchers :

Les planchers sont des éléments porteurs horizontaux avec deux fonctions principales, la séparation des différents niveaux et pour résister aux différentes charges et surcharges, dans notre projet nous avons choisi (02) deux types de planchers :

- Plancher en corps creux « 16+4 cm » pour le réz de chaussée et les différents étages(7étages).
- Plancher dalle pleine pour les escaliers et les balcons.

I. 4. 2. La maçonnerie :

La maçonnerie du bâtiment est réalisée en brique creuse :

• Les murs extérieurs sont faits en doubles cloisons en brique creuses de (Celle de l'intérieur de 10cm d'épaisseur et celle de l'extérieur de 15cm d'épaisseur) séparées par un vide de 5 cm pour l'isolation thermique et phonique.

• Les murs intérieurs (cloisons de séparation) sont faits en simple paroi de briques de 10 cm d'épaisseur.

I. 4. 3. Terrasse:

La terrasse est inaccessible, et l'étanchéité du plancher terrasse est assuré par une forme de pente et système en multicouches.

I. 4. 4. L'acrotère:

- Au niveau de la terrasse, le bâtiment est entouré d'un acrotère conçu en béton armé de 70 cm d'auteur et de 10 cm d'épaisseur.
- Le but de l'acrotère a pour l'évacuation des eaux pluviales et donner la sécurité.

I. 4. 5. Revêtements:

a. Terrasse:

- Protection gravillon.
- Etanchéité multicouche.
- Forme de pente.
- Isolation thermique.
- Enduit en plâtre.

b. Étage courant :

- Carrelage.
- Mortier de pose.
- Lit de sable.
- Enduit en plâtre.

c. Murs extérieurs (double paroi) :

• Enduit en ciment de 2cm à l'intérieur et à l'extérieur.

I. 4. 6. Escaliers:

Sont des éléments non structuraux qui permettent le passage d'un niveau à un autre, le bâtiment comporte un seul type d'escaliers à trois volées et deux paliers. Les escaliers sont fabriqués en béton armé coulé sur place.

I. 4. 7. Ascenseur:

C'est un appareil automatique élévateur installé, comportant une cabine dont les dimensions et la constitution permettant l'accès des personnes et de matériels aux différents niveaux du bâtiment. Dans notre structure on utilise un ascenseur pour 4 personnes.

I. 4. 8. Fondation:

Les fondations sont des semelles filantes sous voiles et semelles isolées.

I. 4. 9. Balcon:

Les balcons seront réalisés en dalle pleine, ce sont des éléments non structuraux.

I. 4. 10. Ossature contreventée :

Le bâtiment est constitué par des portiques auto stables en béton armé et des voiles suivant les deux sens. Le système de contreventement du bâtiment est donc un système de « contreventement mixte assuré par des voiles et des portiques »

Note: Choix du système de contreventement.

Notre bâtiment dépasse quatre niveaux (14 mètres) et est situé en zone II. Le contreventement par portique est donc écarté (**Art. 1-b du RPA99/version 2003**) [4] et le choix va se porter sur un contreventement mixte (voiles et portiques).

Pour un système de contreventement mixte, il y a lieu de vérifier ce qui suit :

- Les voiles de contreventement ne doivent pas reprendre plus de 20 % des sollicitations dues aux charges verticales.
- Les charges horizontales sont reprises conjointement par les voiles et les portiques proportionnellement à leurs rigidités relatives ainsi que les sollicitations résultant de leurs interactions à tous les niveaux.
- Les portiques doivent reprendre, outre les sollicitations dues aux charges verticales, au moins 25 % de l'effort tranchant d'étage.

I. 5. REGLES DE CALCUL:

On utilise pour le calcul de ce projet les règlements suivants :

- Réglés Parasismique Algérienne (RPA99 version 2003 ; DTR-BC.2.48).
- Charges permanentes et charges d'exploitations (DTR-BC.2.2).
- Règles Techniques de Conception et de Calcul des Ouvrages et Constructions en Béton Armé suivant la Méthode des États Limites (BAEL 91).
- Initiation au Béton Armé (Règles BAEL91).

I. 6. METHODOLOGIE DE CALCUL:

La méthodologie adoptée s'articule autour des points suivants :

- Etablissement d'un modèle numérique de calcul tridimensionnel en élément finis de la structure par le logiciel **ROBOT.**
- Définitions des différentes charges statiques G et Q.
- Définition des charges statiques et dynamiques Ex, Ey.

Calculs et vérifications selon le BAEL91 et le RPA99 version2003.

I. 7. CARACTERISTIQUES DES MATERIAUX:

I. 7. 1. Béton:

Le rôle fondamental du béton dans une structure est de reprendre les efforts de compression qui seront développés. Le ciment utilisé est le CPA 325 avec un dosage de 350 kg/m3.

La résistance du béton dépend d'un grand nombre de paramètres : le type et le dosage des matériaux utilisés, le degré et la condition de réalisation etc.

Par exemple Pour 1m3 il nous faut :

- 350 kg du ciment (CPA-325, CRS).
- 400 litres de sable « $D \le 5 \text{mm}$ ».
- 800 litres de gravier « $10 \text{ mm} \le D \le 30 \text{ mm}$ ».
- 180 litres de l'eau de gâchage.

Le béton ordinaire est constitué en générale de :

- Pate pure : (Ciment, Eau et air).
- Granulats : (Ciment, Eau et Air).
- Produits d'addition eventual (Adjuvants).

I. 7. 1. 1. Résistance du béton :

a. Résistance à la compression (BAEL 91Art A. 2.1.1.2) [1] :

La résistance caractéristique à la compression du béton f_{cj} à j jours d'âge est déterminée à partir d'essais sur des éprouvettes cylindriques normalisées de 16 cm de diamètre et de 32cm de hauteur. Le plus souvent la résistance est mesurée à l'Age de 28 jours f_{c28} .

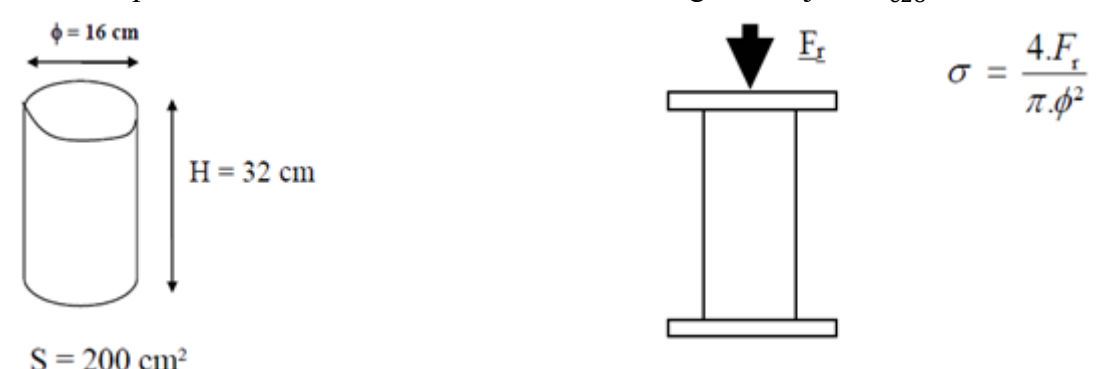


Figure I. 9: Essai de compression.

Selon les règles de **BAEL91** (**Art A.2.1.11**) [1] la résistance du béton à la compression peut être estimée suivant la loi :

$$\begin{cases} f_{cj} = \frac{j}{4,76 + 0,83 \times j} \times f_{c28} & \text{pour } f \leq 40 \text{MPa } (j < 28). \\ f_{cj} = \frac{j}{1,4 + 0,95 \times j} \times f_{c28} & \text{pour } f \geq 40 \text{MPa } (j > 28). \\ f_{cj} = f_{c28} & \text{pour } (j > 28). \end{cases}$$

- f_{ci} : la résistance à la compression à **j** jour.
- f_{c28}: la résistance à la compression à **28** jour

La réalisation du projet en étude fait normalement l'objet d'un contrôle régulier, Dans ce projet on adopte : $f_{c28} = 25 \text{ MPa}$.

b. Résistance à la traction (BAEL 91Art A. 2.1.1.2) [1]:

Généralement le béton est un matériau travaillant bien en compression avec une mauvaise résistance à la traction, mais on a parfois besoin de connaître la résistance en traction. La résistance en traction à 28 jours est désignée par f_{t28}

La résistance caractéristique à la traction du béton à (j) jours désignés par f_{tj} est conventionnellement définie par la relation :

$$f_{tj} = 0.6 + 0.06 \times f_{cj}$$
 pour $f_{cj} \le 60MPA$

- $f_{c28} = 25MPA$ donc $f_{t28} = 2.1 MPA$
- f_{cj} : la résistance à la compression à « j » jour.

I. 7. 1. 2. Module de déformation longitudinale :

a. Module de déformation longitudinale instantané : (BAEL91 Art A.2.1. 2.1) [1]

Pour un chargement d'une durée d'application inférieure à 24 heures, le module de déformation longitudinale instantanée du béton de j jours est égal :

$$E_{ij} = 11000 \times (f_{ci})^{1/3} = 11000 \times (25)^{1/3} = 32164,195 MPa.$$

- i : instantané.
- j: jour.

b. Module de déformation longitudinale différé : (BAEL91 Art A.2.1. 2.2) [1]

Le module de déformation longitudinal différée du béton « E_{vj} » à « j » jours du au fluage et le retrait est donnée par la formule :

$$E_{vj} = 3700 \times (f_{cj})^{1/3} = 3700 \times (25)^{1/3} = 10818,865 \text{ MPa}.$$

c. Module de déformation transversale : (CBA Art A.2.1.3) [2]

$$G = \frac{E}{2(2v+1)}$$
 (Module de glissement)

Avec:

- E: module de Young.
- v : Coefficient de poisson.

La déformation longitudinale est toujours accompagnée d'une déformation transversale, le coefficient de poisson **v** par définition est le rapport entre la déformation transversale et la déformation longitudinale.

$$\nu = \frac{\text{D\'eformation transversal}}{\text{d\'eformation longitudinale}}$$

$$\nu = \frac{\frac{\Delta d}{d_0}}{\frac{\Delta L}{L_0}} = \frac{\xi_t}{\xi_L}$$

- Pour le calcul des sollicitations (à l'ELS), le coefficient de poisson est pris égal à 0.
- Pour le calcul des déformations (à l'ELU), le coefficient de poisson est pris égal à 0.2.

d. Contraint limites de calcul:

Contraint à l'état limite ultime (ELU) : (BAEL91 Art A.4. 3.4) [1]

L'état limite ultime est défini généralement par la limite de résistance mécanique audelà du quelle il y a ruine de l'ouvrage.

$$\sigma_{b} = f_{bu} = \frac{0.85 \times f_{c28}}{\theta \times \gamma_{b}}$$

Avec:

- f_{bu} : contrainte ultime du béton en compression.
- γ_b: Coefficient de sécurité :

 $\gamma_b = 1.5$ en situations durables ou transitoires.

 $\gamma_b = 1,15$ en situations accidentelles.

• θ: dépend de la durée d'application des charges.

 $\theta = 1$: lorsque la durée probable d'application des charges considérées est supérieure à 24h.

 $\theta = 0.9$: lorsque cette durée est comprise entre 1h et 24h.

 $\theta = 0.85$: lorsqu'elle est inférieure à 1h.

Dans notre cas on : $(\theta = 1)$

$$\begin{cases} f_{bu} = 14,166 \text{ MPa} \\ f_{bu} = 18,478 \text{ MPa} \end{cases}$$

pour : $\gamma_b = 1.5$ pour : $\gamma_b = 1.15$

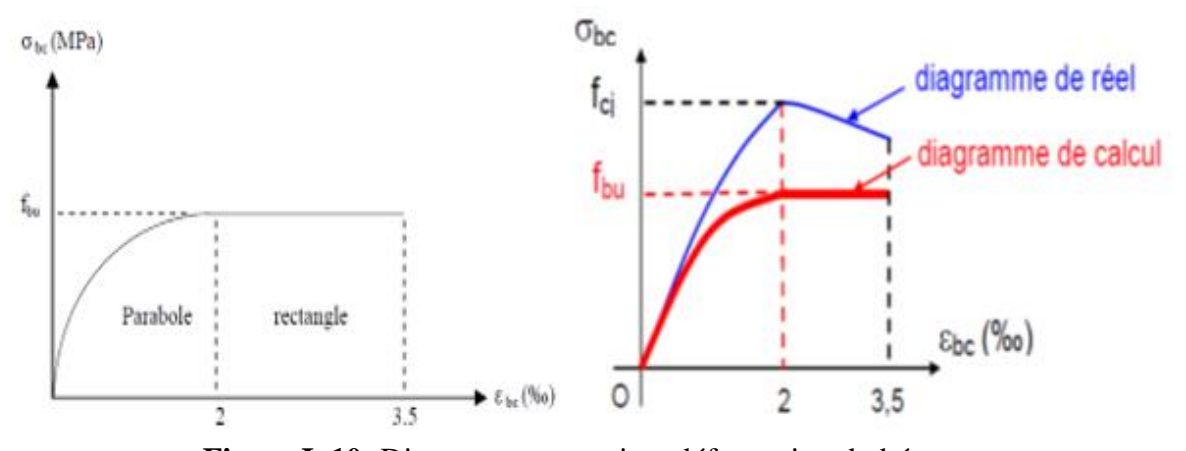


Figure I. 10: Diagramme contrainte déformation du béton.

> Contraint à l'état limite de service (ELS) : (BAEL 91 Art A.4.5.2) [1]

Contrainte admissible de compression dans le béton :

$$\overline{\sigma}_b = 0.6 \times f_{c28}$$

 $\overline{\sigma}_{\rm b} = 0.6 \times 25 = 15 \text{ MPa}.$

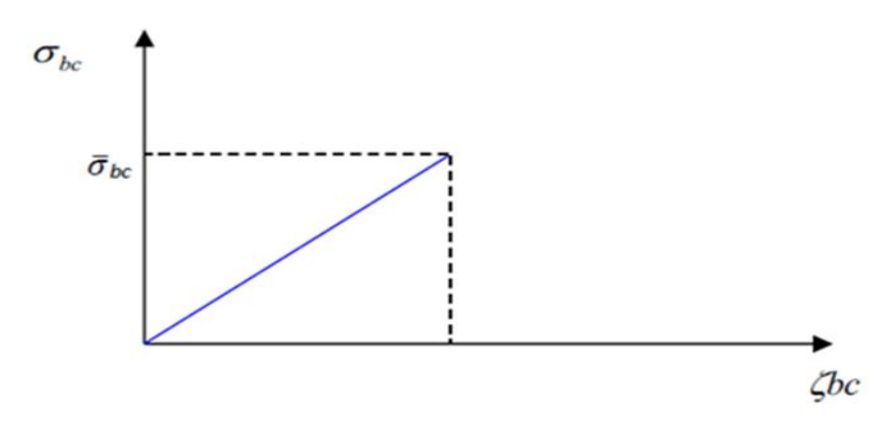


Figure I. 11: Diagramme contraintes déformation à l'ELS.

Contrainte ultime du béton au cisaillement : (BAEL91 Art A.5.1.2) [1]

La contrainte de cisaillement ultime pour les armatures droites ($a = 90^{\circ}$) est donnée par les expressions suivantes :

La contrainte ultime de cisaillement est limitée par : $\tau \le \overline{\tau_u}$

$$\tau_{u} = \frac{v_{u}}{hd} \le \overline{\tau_{u}}$$

 $\overline{\tau_u} = min\left(0.2 \frac{f_{cj}}{\gamma_b}; 5 \text{ MPa}\right)$ pour la fissuration peu nuisible.

 $\overline{\tau_u} = min \left(0,15 \frac{f_{cj}}{\gamma_b}; 4 \text{ MPa}\right) pour \ la \ fissuration \ préjudiciable \ ou \ bien \ très \ préjudiciable.$

Dans notre cas on a $(f_{c28} = 25MPa)$ donc :

- $\overline{\tau_u} = 3.33$ MPa Fissuration peu préjudiciable.
- $\overline{\tau_u} = 2.5 \text{ MPa}$ Fissuration préjudiciable et très préjudiciable.

I. 7. 2. L'acier :

Les armatures pour béton armé sont constituées par des aciers qui se distinguent Par leur nuance et leur état de surface « barres lisses et a haute adhérence ». Ces aciers sont livrés en barres de 12 m à 15 m avec des diamètres qui varient de : « 6,8,10,12,14,16,20,25,32,40 ».

I. 7. 2. 1. Module d'élasticité des aciers longitudinale : (BAEL91 Art A.2.2.1) [1]

Les aciers sont aussi caractérisés par le module d'élasticité longitudinale. Les expériences ont montré que sa valeur est fixée quel que soit la nuance de l'acier. $E_s = 2 \times 10^5 MPa$.

I. 7. 2. 2. Caractéristiques mécaniques :

La caractéristique mécanique la plus importante des aciers est la limite élastique f_e, Le tableau suivant nous donne quelques exemples d'aciers :

a. Aciers en barres :

Tableau I. 1: Limite élastique en fonction du type d'acier.

| | | Type d | 'acier | |
|--|---------------------|---------------------|----------------------|---------------------|
| Caractéristiques | Lisses | | A haute ad (Symbo | |
| Denomination | f _e E215 | f _e E235 | f _e E400 | f _e E500 |
| Limite élastique f_e (MPa) | 215 | 235 | 400 | 500 |
| Resistance a la rupture σ_r (MPa) | ≥ 330 | ≥ 410 | ≥ 480 | ≥ 550 |

b. Treillis soudés:

Tableau I. 2: Limite élastique en fonction du type de Treillis soudés.

| | Type de treillis | | |
|--|---------------------|--|--|
| Caractéristiques | Lisses (T.S.L) | A haute adhérence (Symbole T.S.H.A) | |
| Denomination | 500(tous diamètres) | 50(tous diamètres) | |
| Limite élastique f_e (MPa) | 550 | 550 | |
| Resistance a la rupture σ_r (MPa) | 8% | 8% | |

I. 7. 2. 3. Les contraintes limites de calcul :

a. Les contraintes limites à l'état limite ultime (ELU) :

On adopte le diagramme contrainte- déformation suivant :

f_e: Contrainte limite élastique.

 ε_s : Déformation (allongement) relative de l'acier.

$$\sigma_s$$
 : Contrainte de l'acier : $\sigma_s = \frac{F}{\gamma_s}$, $\epsilon_s = \frac{f_e}{\gamma_s \times E_s}$.

γ_s: Coefficient de sécurité de l'acier.

 γ_s = 1.15 en cas de situations durables ou transitoires.

 γ_s = 1.00 en cas de situations accidentelles.

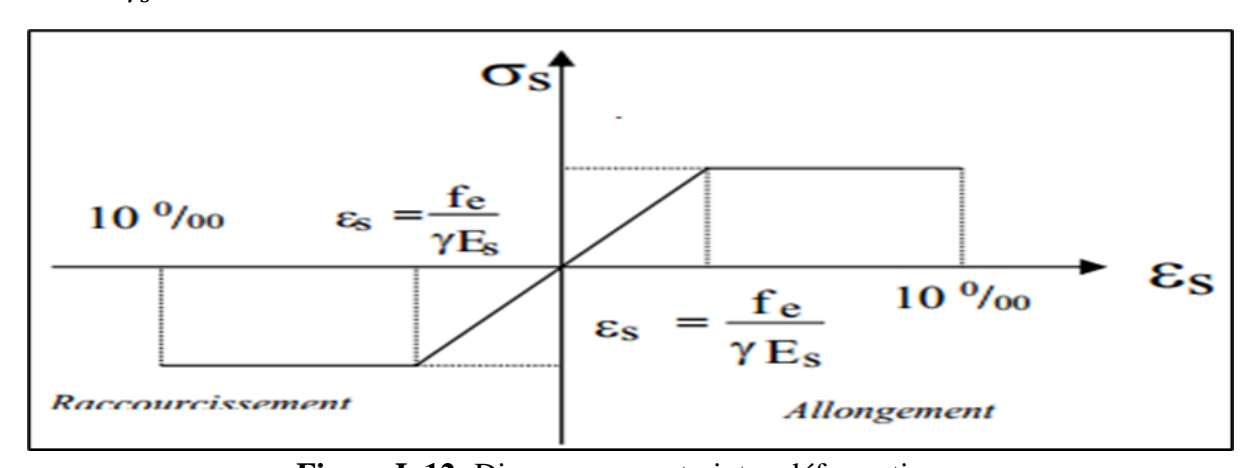


Figure I. 12: Diagramme contraintes-déformations.

CHAPITRE I: PRESENTATION DU POROJET.

Pour notre cas : $FeE400 \rightarrow Fe = 400MPA$

• Cas général : $\sigma_s = \frac{f_e}{\gamma_s} = \frac{400}{1.15} = 348$ MPa.

• Cas accidentel : $\sigma_s = \frac{f_e}{\gamma_s} = \frac{400}{1} = 400$ MPa.

b. Les contraintes limites à l'état limite service (ELS) :

Fissuration peu nuisible (BAEL91 Art A.4.5.3.2) [1]:

Aucune vérification n'est requise : $\overline{\sigma_s} = f_e$.

Fissuration préjudiciable (BAEL91 Art A.4.5.3.3) [1]:

$$\overline{\sigma_S} = min\left(\frac{2}{3}f_e, 110\sqrt{\eta \times f_{tj}}\right)$$

Fissuration très préjudiciable (BAEL91 Art A.4.5.3.4) [1]:

$$\overline{\sigma_S} = min\left(\frac{1}{2}f_e, 90\sqrt{\eta \times f_{tj}}\right)$$

Avec:

η: Coefficient de fissuration :

- $\eta = 1$ pour les ronds lisses.
- $\eta = 1,6$ pour les hautes adhérences.

I. 7. 2. 4. Coefficient équivalence (CBA93 art A.4.5.1) [2] :

Le coefficient d'équivalence noté (n) est le rapport de $n = \frac{E_s}{E_h} = 15$

- E_s: Module de déformation de l'acier,
- E_b: Module de déformation du béton

I. 7. 2. 5. Enrobage (protection de l'acier) :

L'enrobage des armatures représente la distance entre la surface du béton et l'armature la plus proche (cadre, étriers, épingles, armature de peau, etc).il doit être suffisant pour garantir :

- La bonne protection de l'acier.
- Contre la corrosion.
- La bonne transmission des efforts d'adhérence.
- Une résistance au feu.

Dans le but de prémunir les armatures des efforts d'intempéries et d'agents agressif, nous devons respecter les conditions d'enrobage suivantes :

- $C \ge 5$ cm : pour les éléments exposés à la mer, aux embruns ou au brouillard salin.
- $C \ge 5$ cm : pour les éléments en contact d'un liquide (réservoir, tuyaux, canalisations).
- $C \ge 5$ cm : pour les parois situées dans les locaux.

CHAPITRE I: PRESENTATION DU POROJET.

I. 8. ACTIONS ET SOLLICITATIONS:

I. 8. 1. Actions:

I. 8. 1. 1. Actions permanentes:

Ces actions représentées par « G » sont celles dons l'intensité est constante, ou très peu variable dans le temps, elles comprennent :

- Le poids propre de la structure.
- Le poids des équipements fixe, tels que les cloisons dans les bâtiments et les machines dans les constructions industrielles.
- Les poussés et les pressions des terres.
- Les déformations imposées à la construction « retrait tassement différentiels les appuis ».

I. 8. 1. 2. Actions variables:

Ces actions représentées par « Q » sont celles dont l'intensité varie fréquemment et de façon importante dans le temps, elles comprennent :

- Les charges d'exploitations.
- Les charges climatique « vent et neige ».
- Les charges appliquées en cours d'exécution.
- Les effets dus à la température.

I. 8. 1. 3. Actions accidentelles:

- Séismes.
- Effet des chocs « explosion ».

I. 8. 2. Sollicitations:

Les sollicitations sont les efforts provoqués, en charge point et sur chaque section de la Structure par les actions qui s'exercent sur elle, elles sont exprimées sous forme de forces :

- Effort normal: « N ».
- Effort tranchant : « V ».
- Moment fléchissant : « M ».
- Couple de torsion : « T ».

I. 9. Hypothèses de calcul des sections en béton armé :

I. 9. 1. À l'état limite ultime (ELU) :

- H 1 : « Hypothèse de NAVIER_BERNOULLI » Les sections droites restent planes après déformation.
- H 2 : Il n'ya pas de glissement relatif entre les armatures d'acier et le béton.
- H3 : La résistance à la traction du béton est négligée à cause de la fissuration.
- H4 : Le raccourcissement relatif du béton est limité à 3,5 ‰ en flexion à 2 ‰ en compression simple.

CHAPITRE I: PRESENTATION DU POROJET.

- H5: L'allongement relatif de l'acier est limité à 10 ‰.
- H6: Les matériaux « Acier béton » sont considérés dans leur comportement plastique.
- H7 : Le diagramme de déformation d'une section droite satisfait la règle des trois pivots décrits dans le règlement « BAEL91 ».

I. 9. 2. À l'état limite de service (ELS) :

Les trois premières hypothèses sont conservées de plus :

- H4 : Le béton et acier sont considérés comme des matériaux linéairement Elastiques.
- H5 : Par convention le rapport des modules d'élasticité longitudinaux de l'acier et béton (CBA93 Art A.4.5.1) [2].

$$n = \frac{E_s}{E_b} = 15$$

n : coefficient d'équivalence acier-béton.

I. 10. CONCLUSION:

Les tableaux ci-dessous récupulatif les différentes caractéristiques du béton utilisées pour nos calculs :

| Tableau I. 3: Caractéristiques | mécaniques | du béton. |
|---------------------------------------|------------|-----------|
|---------------------------------------|------------|-----------|

| Résistance | | A la compression | 25 MPa |
|------------------------|---------------|------------------------|---------------|
| | A la traction | | 2.1 MPa |
| | ELU | Situation durable | 18.48 MPa |
| Contrainte admissible | | Situation accidentelle | 14.16 MPa |
| | ELS | | 15 MPa |
| Module de déformation | | Instantané | 32164.195 MPa |
| Wiodule de deformation | | Différé | 10818.78 MPa |

Tableau I. 4: Caractéristiques mécaniques des aciers.

| | ELU | Situation durable | 347.82 MPa |
|-----------------------|-------------|--------------------------------|------------|
| | ELU | Situation accidentelle | 363.63 MPa |
| Contrainte admissible | issible ELS | Fissuration peu préjudiciable | 400 MPa |
| | | Fissuration préjudiciable | 201.63 MPa |
| | | Fissuration très préjudiciable | 164.97 MPa |

II. 1. INTRODUCTION:

L'objectif du pré dimensionnement est de déterminer les sections des différents éléments de la structure afin qu'ils puissent reprendre les différentes actions et sollicitations auxquelles ils sont soumis, on distingue :

- Eléments structuraux : Poutres, poteaux et voiles.
- Eléments secondaires : Planchers, escaliers, acrotère et rampes.

Le Pré dimensionnement est réalisé conformément aux règlements dictés par le :

- BAEL 91 modifiée en 99[1]
- CBA93[2].
- RPA99 version 2003[3].
- DTR BC.2.2.[4]

II. 2. LA PREDIMENSIONNEMENT DES ELEMENTS SECONDAIRES:

II. 2. 1. Les planchers :

Le plancher est une plate-forme généralement plane, qui sert à séparer entre deux niveaux qui transmet les charges et les surcharges, qui lui sont directement appliquées, aux éléments Porteurs tout en assurant des fonctions de confort comme l'isolation phonique, thermique et l'étanchéité des niveaux extrêmes. Pour notre bâtiment étudie, deux types de planchers vont être utilisés :

- Plancher à corps creux.
- Plancher à dalle pleine.

II. 2. 1. 1. Planchers à corps creux :

Les planchers à corps creux sont composés de :

- Corps creux (hourdis).
- Poutrelles
- Dalle de compression
- Treillis soudé

L'épaisseur des planchers est choisie d'une manière à satisfaire des conditions d'utilisation plus que les conditions de résistance. Pour trouver cette épaisseur on vérifiera les conditions ci-après :

a. Condition de résistance au feu :

D'après le BAEL91 [1]:

- e = 07 cm.: Pour une (01) heure de coupe de feu.
- e = 11 cm.: Pour deux (02) heures de coupe de feu.
- e = 17.5 cm.: Pour quatre (04) heures de coupe de feu.

Dans notre projet on prend e = 15 cm.

b. Condition acoustique:

Pour assurer une isolation phonique minimale, l'épaisseur de plancher doit être supérieure ou égale à 15 cm, on adopte une épaisseur de : e = 16 cm.

c. Condition de résistance à la flèche : (CBA93 Art B.6.8.4.4.2.4) [2]

La hauteur du plancher est déterminée à partir de la condition de rigidité donnée par le CBA93 comme suit :

Avec : $h_t \ge \frac{L_{max}}{22.5}$

- h_t: Épaisseur de la dalle de compression + corps creux.
- L_{max}: La portée maximale entre nus d'appuis dans le sens de disposition des poutrelles.

$$\begin{split} L_{max} &= min(L_x(max) \; ; \; L_y(max)) \\ L_{max} &= min(4.45 \; ; 4.00) \end{split}$$

D'après la disposition des poutrelles choisie :

$$L_{\text{max}} = 4.00 \text{ m} \implies h_{\text{t}} \ge \frac{4.00}{22.5} = 0.177 \text{m} = 17.7 \text{ cm}.$$

On opte pour la hauteur du plancher $h_t = (16 + 4) = 20 \ cm$ tel que 4cm est l'épaisseur de la dalle de Compression.

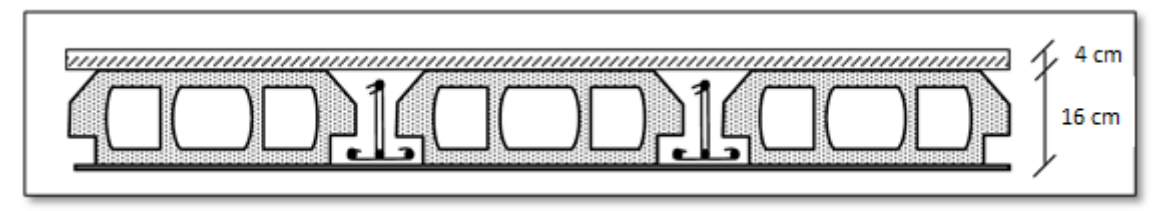


Figure II. 1: Planchers à corps creux.

II. 2. 1. 2. Les poutrelles :

Les poutrelles travaillent comme une section en T, elles sont disposées suivant le sens perpendiculaire aux poutres principales, Le plancher à corps creux est considéré comme un élément qui travaille dans une seule direction.

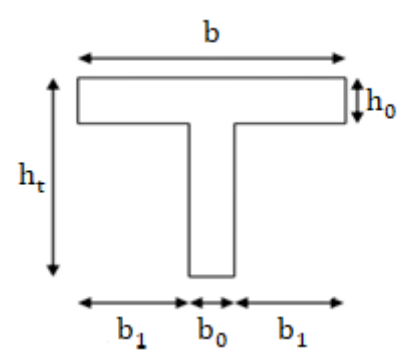


Figure II. 2: Schéma des poutrelles.

Avec:

- h_t = Hauteur totale de la poutrelle.
- h_0 = Epaisseur de la dalle de compression.
- b = Largeur de la nervure.
- $b_0 = \text{Largeur de la nervure}$.

• $b_1 = L'$ âme de section.

a. Dimensionnement des poutrelles : [6]

La valeur de b₀ dépend de la hauteur totale du plancher, elle est prise entre

$$b_0 = (0.3 \text{ à } 0.6)h_t \Rightarrow b_0 = (0.3 \text{ à } 0.6)20 = b_0 = (6 \text{ à } 12) \text{ cm}.$$

On prend: $b_0 = 10 \text{ cm}$.

b. Détermination de la largeur de la table de compression (CBA93 A.4.1.3) [2]

Leur dimension déterminée comme suite :

$$\begin{split} b &= 2b_1 + b_0 \\ b_1 &\geq \min{(\frac{L}{2} \; ; \frac{L_{max}}{10})}. \\ L &= b - b_0 = 65 - 10 = 55 \; cm \; . \end{split}$$

L : Représente la distance entre poutrelles.

 L_{max} : Représente la distance entre nus d'appuis des poutres secondaires ($L_{max} = 400$ cm).

$$b_1 \ge \min(\frac{55}{2}; \frac{400}{10}).$$

 $b_1 \ge \min(27.5; 40)$
 $b_1 = 27.5 \text{ cm}.$

On adopté: $b_1 = 27.5$ cm.

$$b = 2b_1 + b_0 = 2(27.5) + 10 = 65 \text{ cm}.$$

b = 65 cm.

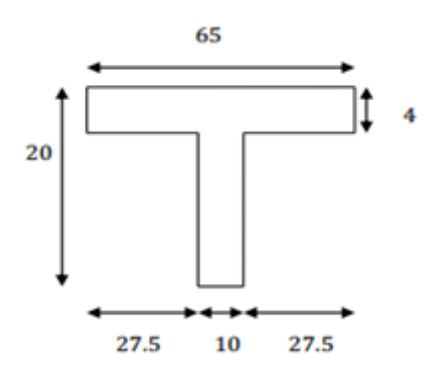


Figure II. 3: Dimensions des poutrelles.

II. 2. 1. 3. Plancher à dalle pleine :

La dalle pleine est un élément porteur horizontal repose sur certain nombre d'appuis.

 L_x et L_v sont des portées d'un panneau de dalle avec L_x est la petite portée.

L'épaisseur des dalles est déterminée par les critères suivants :

a. Critère de la résistance à la flexion : [6]

- $e \ge L_x/20$ \Rightarrow Pour une dalle sur un seul appui.
- $L_x/35 \le e \le L_x/30 \Rightarrow$ Pour une dalle sur 02 appuis.
- $L_x/50 \le e \le L_x/40 \Rightarrow$ Pour une dalle sur 03 ou 04 appuis si $\rho < 0.4$.

- $L_x/45 \le e \le L_x/40 \Rightarrow$ Pour une dalle sur 03 ou 04 appuis si $\rho \ge 0.4$.
 - b. Critère de résistance au feu : [6]
- e > 7 cm \Rightarrow Pour une (01) heure de coupe de feu.
- e > 11 cm \Rightarrow Pour deux (02) heures de coupe de feu.
- $e > 17.5 \text{ cm} \Rightarrow \text{Pour quatre } (04) \text{ heures de coupe de feu.}$

Donc on prend : e = 15 cm.

c. Critère d'isolation phonique :

Selon les règles techniques CBA93 en vigueur en Algérie l'épaisseur du plancher doit être supérieure ou égale à 13 cm pour obtenir une bonne isolation acoustique. Nous limitons donc notre épaisseur à 15 cm.

Type 01 : Dalle pleine repose sur deux (02) appuis :

$$\begin{cases} L_x = 1 \text{ m} \\ L_y = 2.45 \text{ m} \end{cases}$$

$$\rho = \frac{L_x}{L_y} \Rightarrow \rho = \frac{1}{2.45} = 0.408 > 0.4 .$$

$$\frac{L_x}{35} \le e \le \frac{L_x}{30} \Rightarrow \frac{100}{35} \le e \le \frac{100}{30} \Rightarrow 2.8 \text{ cm} \le e \le 3.33 \text{ cm}$$

Finalement et d'après les conditions ci-dessus on prend : e = 15 cm.

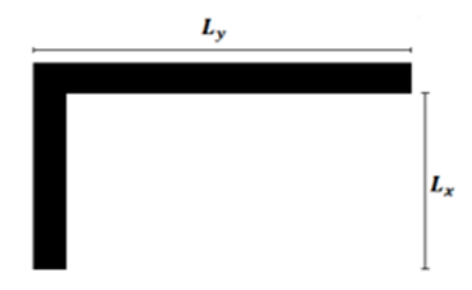


Figure II. 4: Dalle sur deux (02) appuis.

❖ Type 02 : Dalle pleine repose sur trois (03) appuis :

$$\begin{split} & \{L_x = 0.9 \text{ m} \\ & \{L_y = 3.55 \text{ m} \\ & \rho = \frac{L_x}{L_y} \Rightarrow \rho = \frac{0.9}{3.55} = 0.25 < 0.4 \\ & \frac{L_x}{50} \leq e \leq \frac{L_x}{40} \ \Rightarrow \frac{90}{50} \leq e \leq \frac{90}{40} \Rightarrow 1.8 \text{ cm} \leq e \leq 2.25 \text{ cm} \end{split}$$

Finalement et d'après les conditions ci-dessus on prend : e = 15 cm.

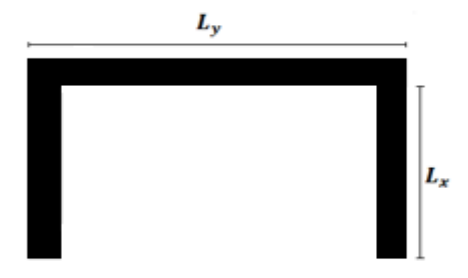


Figure II. 5: Dalle sur trois (03) appuis.

Type 03: Dalle pleine repose sur quatre (04) appuis:

$$\begin{cases} L_x = 1 \text{ m} \\ L_y = 3.55 \text{ m} \end{cases}$$

$$\rho = \frac{L_x}{L_y} \Rightarrow \rho = \frac{1}{3.55} = 0.28 < 0.4$$

$$\frac{L_x}{50} \leq e \leq \frac{L_x}{40} \Rightarrow \frac{100}{50} \leq e \leq \frac{100}{40} \Rightarrow 2 \text{ cm} \leq e \leq 2.5 \text{ cm}$$
 Finalement et d'après les conditions ci-dessus on prend : $e = 15 \text{ cm}$.

Figure II. 6: Dalle sur quatre (04) appuis.

❖ Type 04 : Dalle pleine pour le hall d'ascenseur : (Dalle pleine repose sur trois (03) appuis)

$$\begin{cases} L_x = 1.8 \text{ m} \\ L_y = 4.21 \text{ m} \end{cases}$$

$$\rho = \frac{L_x}{L_y} \Rightarrow \rho = \frac{1.8}{4.21} = 0.42 > 0.4$$

$$\frac{L_x}{45} \le e \le \frac{L_x}{40} \Rightarrow \frac{180}{45} \le e \le \frac{180}{40} \Rightarrow 4 \text{ cm} \le e \le 4.5 \text{ cm}$$

Finalement et d'après les conditions ci-dessus on prend : e = 15 cm.

II. 2. 2. Les escaliers :

Les escaliers sont des éléments constitués d'une succession de gradins permettant le passage à pied entre les différents niveaux d'un immeuble comme il constitue une issue de secours en cas d'incendie.

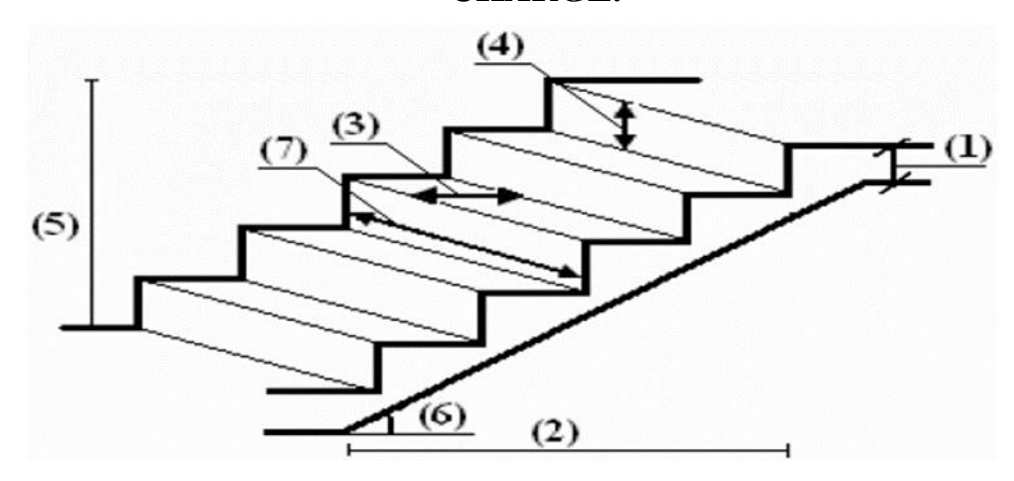


Figure II. 7: Schéma de l'escalier.

(1): e (Epaisseur du palier de repos).

(2): L (Longueur totale d'escalier).

(3): g (Giron).

(4): h (Hauteur du contre marche).

(5): H_v (Hauteur de la volée).

(6): α (Inclinaison de la paillasse).

(7): (Emmarchement).

Dans notre projet on distingue un seul type d'escaliers :

Escaliers droits à trois volées au niveau de la cage d'ascenseur (Figure II.8).

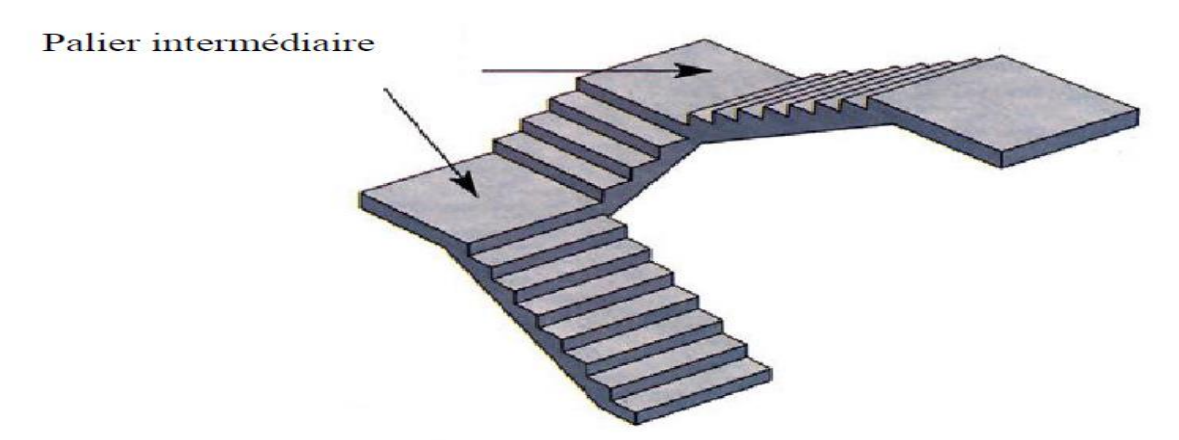


Figure II. 8: Escalier à trois volées.

a. Pré dimensionnement des escaliers :

Pour les dimensions des marches « g », et des contre marches « h » on utilise généralement la formule de « **blondel** »

$$59cm \le g + 2h \le 66cm$$

• N_c: Nombre des contres marches,

• $n : Nombre des marches n = N_c - 1.$

• h : Hauteur de contre marche (varié de 14 à 20 cm),

• g : Hauteur de la marche (varié de 22 à 33 cm).

On prend: g = 30 cm, h = 17 cm.

$$g + 2h = 30 + (2 \times 17) = 64 \text{ cm} \dots \dots \text{CV}.$$

b. Schéma statique de volée :

H_v: La hauteur de la volée.

L_v: Longueur de la volée.

L_p: Longueur du palier d'arrivé.

L: longueur projetée de la volée.

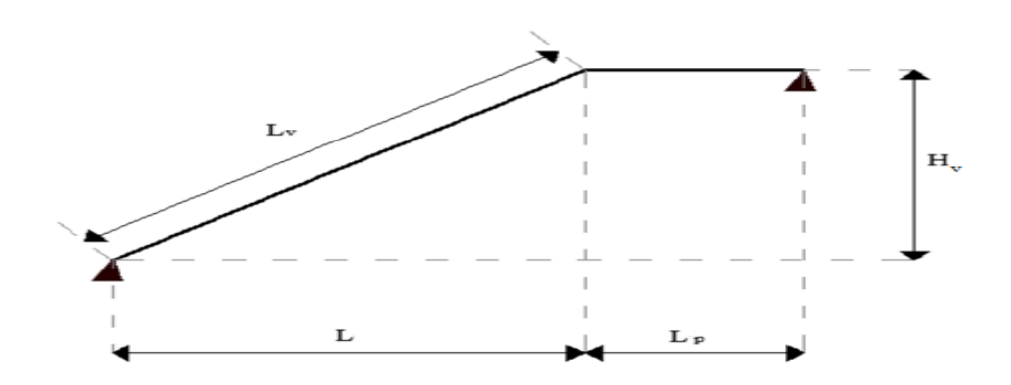


Figure II. 9: Schéma statique de volée.

Pour RDC:

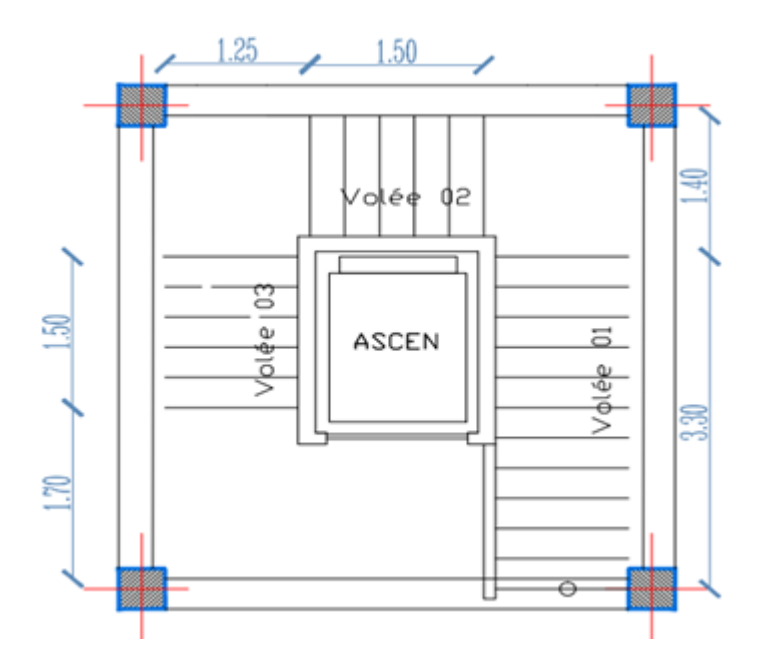


Figure II. 10: Vue en plan d'escalier type 1.

❖ Volée 01 :

Nombre des contres marches :

$$H_v = 2.04m = 204 \text{ cm}$$

$$N_c = \frac{H_v}{h} = \frac{204}{17} = 12$$
 (Contre marche).

Nombre des marches :

$$n = N_c - 1 = 12 - 1 = 11$$
(Marche).

Inclination de la paillasse :

$$L = 3.30 \text{ m} = 330 \text{cm}.$$

$$\tan \alpha = \frac{H_v}{L} = \frac{204}{330} = 0.618 \rightarrow \alpha = 31.723^{\circ}$$

La longueur de volée:

$$\sin \alpha = \frac{H_v}{L_v} \rightarrow L_v = \frac{H_v}{\sin \alpha} = \frac{204}{\sin 33.34} = 387.790 \text{ cm}$$

$$L_v = 387.790$$
 cm.

L'épaisseur de la paillasse :

$$L_{max} = L_v + L_p \rightarrow L_{max} = 387.790 + 140 = 527.79 \text{ cm}.$$

$$\frac{L_{max}}{30} \leq e \leq \frac{L_{max}}{20} \to \frac{527.79}{30} \leq e \leq \frac{527.79}{20}$$

$$17.593 \text{ cm} \le e \le 26.389 \text{ cm}.$$

On prend :
$$e = 20$$
 cm.

❖ Volée 02 :

Nombre des contres marches:

$$H_v = 1.02 \text{ m} = 102 \text{ cm}$$

$$N_c = \frac{H_v}{h} = \frac{102}{17} = 6$$
 (Contre marche).

Nombre des marches :

$$n = N_c - 1 = 6 - 1 = 5$$
 (Marche).

Inclinaison de la paillasse:

$$L = 1.5 \text{ m} = 150 \text{ cm}.$$

$$\tan \alpha = \frac{H_v}{L} = \frac{102}{150} = 0.68 \rightarrow \alpha = 34.215^{\circ}$$

$$\sin \alpha = \frac{H_v}{L_v} \rightarrow L_v = \frac{H_v}{\sin \alpha} = \frac{102}{\sin 34.215} = 181.397 \text{ cm}$$

$$L_v = 181.397$$
 cm.

L'épaisseur de la paillasse:

$$L_{\text{max}} = L_v + L_p \rightarrow L_{\text{max}} = 181.397 + 125 = 306.397 \text{ cm}.$$

$$\begin{split} L_{max} &= \ L_v + L_p \rightarrow L_{max} = \ 181.397 + 125 = 306.397 \ cm. \\ \frac{L_{max}}{30} &\leq e \leq \frac{L_{max}}{20} \rightarrow \frac{306.397}{30} \leq e \leq \frac{306.397}{20} \end{split}$$

$$10.213 \text{ cm} \le e \le 15.319 \text{ cm}.$$

On prend :
$$e = 15$$
 cm.

❖ Volée 03 :

Nombre des contres marches :

$$H_v = 1.02 \text{ m} = 102 \text{ cm}$$

$$N_c = \frac{H_v}{h} = \frac{102}{17} = 6$$
 (Contre marche).

Nombre des marches :

$$n = N_c - 1 = 6 - 1 = 5$$
 (Marche).

Inclinaison de la paillasse :

$$L = 1.50 \text{ m} = 150 \text{ cm}.$$

$$\tan \alpha = \frac{H_v}{L} = \frac{102}{150} = 0.68 \rightarrow \alpha = 34.215^{\circ}$$

La longueur de volée:

$$\sin\alpha = \frac{H_v}{L_v} \rightarrow L_v = \frac{H_v}{\sin\alpha} = \frac{102}{\sin 34.215} = 181.397 \text{ cm}$$

 $L_v = 181.397 \text{ cm}.$

L'épaisseur de la paillasse :

$$L_{max} = L_v + L_p \rightarrow L_{max} = 181.397 + 170 = 351.397$$
 cm.

$$\frac{L_{max}}{30} \leq e \leq \frac{L_{max}}{20} \to \frac{351.397}{30} \leq e \leq \frac{351.397}{20}$$

 $11.71 \text{ cm} \le e \le 17.56 \text{ cm}.$

On prend : e = 15 cm.

Pour étages courants:

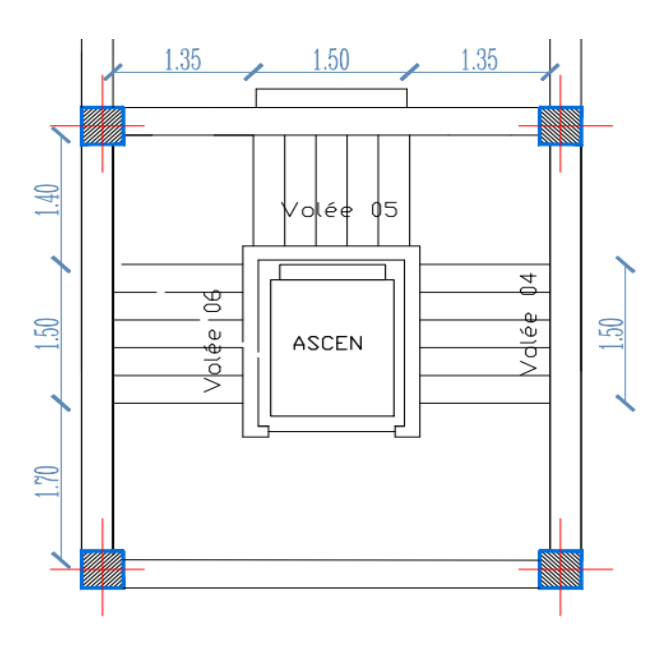


Figure II. 11: Vue en plan d'escalier type 2.

❖ Volée 04 :

Nombre des contres marches :

$$H_v = 1.02 \text{ m} = 102 \text{ cm}$$

$$N_c = \frac{H_v}{h} = \frac{102}{17} = 6$$
 (Contre marche).

Nombre des marches :

$$n = N_c - 1 = 6 - 1 = 5$$
 (Marche).

Inclinaison de la paillasse :

$$L = 1.5 \text{ m} = 150 \text{ cm}$$
.

$$\tan \alpha = \frac{H_v}{L} = \frac{102}{150} = 0.68 \rightarrow \alpha = 34.21^{\circ}$$

La longueur de volée:

$$\sin\alpha = \frac{H_v}{L_v} \rightarrow L_v = \frac{H_v}{\sin\alpha} = \frac{102}{\sin 34.21} = 181.4 \text{ cm}$$

$$L_v = 181.4 \text{ cm}.$$

L'épaisseur de la paillasse :

$$\begin{split} L_{max} &= \ L_v + L_p \to L_{max} = \ 181.4 + 140 = 321.4 \ cm. \\ \frac{L_{max}}{30} &\leq e \leq \frac{L_{max}}{20} \to \frac{321.4}{30} \leq e \leq \frac{321.4}{20} \end{split}$$

 $10.71 \text{ cm} \le e \le 16.07 \text{ cm}.$

On prend : e = 15 cm.

II. 2. 3. L'acrotère:

C'est un élément en béton armé qui assure la sécurité totale au niveau de la terrasse. Elle est un rôle d'empêcher l'infiltration des eaux pluviales entre la forme de pente et le plancher terrasse, ces dimensions sont mentionnées dans le plan d'architecture. L'acrotère est sollicité par :

- Un effort normal (G) dû à son poids propre,
- Un effort horizontal (Q) dû à la main courante engendrant un moment de renversement (M).

Le calcul se fera pour une bande de 1m dans la section d'encastrement.

Evaluation des charges de calcul:

Les sollicitations à utiliser pour le calcul du ferraillage sont données dans le tableau suivant : $\gamma_b = 25000 \, \text{N/m}^3$.

$$S = (0.7 \times 0.1) + (0.07 \times 0.12) + \left[0.1 \times \left(\frac{0.12}{2}\right)\right] = 0.0844 \text{m}^2.$$

$$G = \rho \times S = 25 \times 0.0844 = 2.11 \text{N/ml}.$$

Avec:

- G : poids propre de l'acrotère en mètre linéaire.
- $G_{\text{Enduit ciment}} = 0.03 \times 18000 = 0.54 \text{ KN/ml.}$

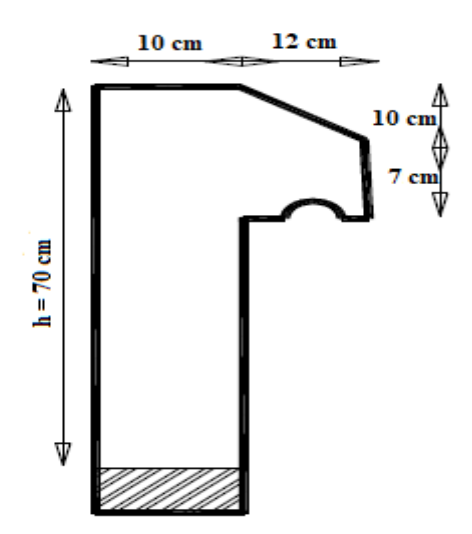


Figure II. 12: Coupe en élévation de l'acrotère.

Tableau II. 1: évaluation de charge de l'acrotère.

| | | | Poids (KN/ml). | | Poids propre | Surcharge |
|-------------|----------|----------------|-------------------------|--------------------------------|------------------|-----------------------------|
| Désignation | h (m) | Surface (m) | Acrotère (e = 10 cm) | Enduit Ciment (e = 3 cm) | Totale G (KN/ml) | d'exploitation Q (KN/ml) |
| Acrotère | 0.7 | 0.0844 | 2.11 | 0.54 | 2.65 | 1 |

II. 3. Les éléments principaux :

II. 3. 1. Les Poteaux :

Le pré dimensionnement des poteaux se fera en fonction des sollicitations de calcul en compression centrée selon les règles du **BAEL91**, en appliquant les trois critères suivants :

- Critère de résistance.
- Critère de stabilité de forme.
- Règles du RPA99 (version2003).

Les exigences de RPA en zone IIa : (RPA99 Article 7.4.1) [3]

$$\begin{cases} \min(b;h) \ge 25\\ \min(b;h) \ge \frac{h_e}{20}\\ \frac{1}{4} < \frac{b}{h} < 4 \end{cases}$$

he: Hauteur libre d'étage.

On prend : $(b \times h) = (40 \times 40) \text{ cm}^2$.

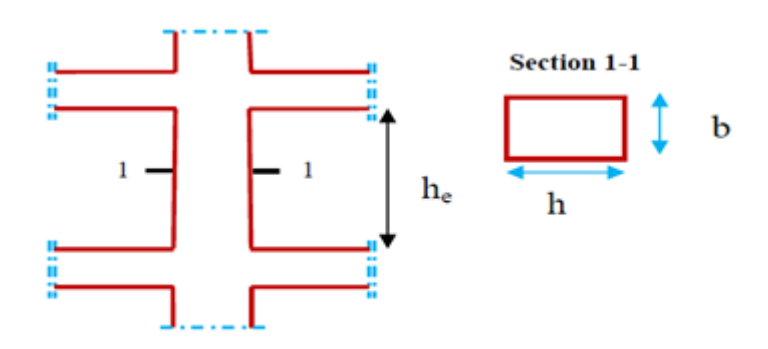


Figure II. 13: Houteur libre d'étage.

❖ Pour RDC :

$$\begin{split} h_e &= h_{etage} - h_{poutre} \Rightarrow h_e = 4.08 - 0.4 = 3.68 \text{ m} \\ &\min(b \text{ ; h}) \geq 25 \Rightarrow 40 \geq 25 \text{ cm ... CV} \\ &\min(b \text{ ; h}) \geq \frac{h_e}{20} \Rightarrow 40 \geq \frac{368}{20} \Rightarrow 40 \geq 18.4 \text{ cm ... CV} \\ &\frac{1}{4} < \frac{b}{h} < 4 \Rightarrow 0.25 < 1 < 4 \text{ ... CV} \end{split}$$

❖ Pour étage courent :

$$\begin{split} h_e &= h_{etage} - h_{poutre} \Rightarrow h_e = 3,06 - 0,4 = 2,66 \text{ m} \\ &\min(b \, ; h) \geq 25 \Rightarrow 40 \geq 25 \text{ cm ... CV} \\ &\min(b \, ; h) \geq \frac{h_e}{20} \Rightarrow 40 \geq \frac{266}{20} \Rightarrow 40 \geq 13.3 \text{ cm ... CV} \\ &\frac{1}{4} < \frac{b}{h} < 4 \Rightarrow 0.25 < 1 < 4 \text{ ... CV} \end{split}$$

On fixera les dimensions des poteaux après avoir effectué la descente de charge, tout en vérifiant les recommandations du **RPA99** (version 2003) citées ci-dessus. On adopte préalablement la section des poteaux comme suit :

Tableau II. 2: Section des poteaux préalable.

| Etage | RDC | Etage courant |
|--------------------------------|------------------|------------------|
| Section (b × h)cm ² | (40×40) | (40×40) |

II. 3. 2. Les poutres :

Les poutres sont des éléments en béton armé de section ($b \times h$) qui assurant la transmission des charges et surcharges des planchers aux éléments verticaux (poteaux, voiles). Le pré dimensionnement se fera selon le **BAEL91 modifié 99** et les vérifications selon le **RPA99** version 2003.

II. 3. 2. 1. Les poutres principales :

Elles reçoivent les charges transmises par les solives (Poutrelles) et les réparties aux poteaux sur lesquels ces poutres reposent.

- Elles relient les poteaux.
- Elles Supportent la dalle.

Selon le règlement **BAEL 91 modifié en 1999 les** poutres seront pré dimensionné par la condition de la flèche et elles sont vérifiées par **RPA 99 version 2003**.

$$\frac{L_{max}}{15} \le h \le \frac{L_{max}}{10}$$
$$(0.3 \times h) \le b \le (0.7 \times h)$$

L_{max}: La langueur plus grande portée entre deux appuis (distance entre les nus des poteaux et on choisit la plus grande portée) D'après le (**BAEL B.6.11**) [1].

h : hauteur de la poutre

b : largeur de la poutre.

a. Détermination de la hauteur « h » :

$$L_{max} = 4.45 \text{ m} = 445 \text{ cm}$$
.

$$\frac{445}{15} \le h \le \frac{445}{10} \Rightarrow 29.66 \text{ cm } \le h \le 44.5 \text{ cm}.$$

On prend: h = 40 cm.

b. Détermination de la largeur « b » :

h = 40 cm.

$$(0.3 \times 40) \le b \le (0.7 \times 40) \Rightarrow 12 \text{ cm} \le b \le 28 \text{ cm}$$
.

On prend: b = 30 cm.

c. Vérification selon le (RPA 99 version 2003 A.7.5.1) [3]:

Les dimensions des poutres doivent respecter les dimensions ci-après : (Zone sismique IIa).

$$\begin{cases} b \ge 20 \text{ cm} \implies b = 30 \text{ cm} \ge 20 \text{ cm} \dots \text{CV} \\ h \ge 30 \text{ cm} \implies h = 40 \text{ cm} \ge 30 \text{ cm} \dots \text{CV} \\ \frac{h}{b} \le 4 \text{ cm} \implies \frac{h}{b} = 1.33 \le 4 \dots \text{CV} \\ b_{\text{max}} \le 1.5 \times h + b_1 \implies 30 \text{ cm} \le (1.5 \times 40) + 40 \implies 30 \text{ cm} \le 100 \text{ cm} \dots \text{CV} \end{cases}$$

La condition est vérifiée, donc on adopte pour les poutres principales une section de : $(b \times h) = (30 \text{ cm} \times 40 \text{ cm})$

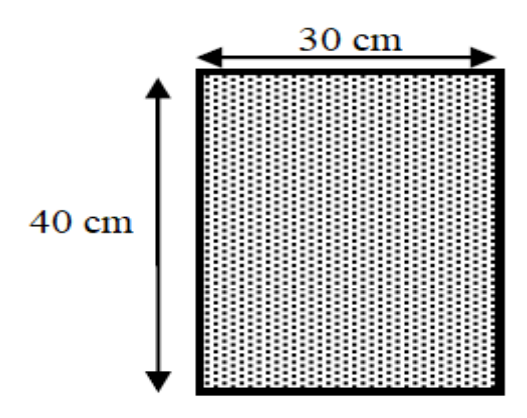


Figure II. 14: la section de poutre principale.

II. 3. 2. 2. Les poutres secondaires (Chaînages) :

Dans notre cas la poutre secondaire la plus sollicitée est de longueur : $L_{max} = 4 \text{ m}$.

a. Détermination de la hauteur « h » :

$$\begin{split} &L_{max} = 4 \text{ m} = 400 \text{ cm} \,. \\ &\frac{400}{15} \le h \le \frac{400}{10} \Rightarrow 26.66 \text{ cm} \, \le h \le 40 \text{ cm} \,. \end{split}$$

On prend : h = 35 cm.

b. Détermination de la largeur « b »

h = 35 cm.

$$(0.3 \times 35) \le b \le (0.7 \times 35) \Rightarrow 10.5 \text{ cm} \le b \le 24.5 \text{ cm}$$
.

On prend: b = 30 cm.

c. Vérification selon le (RPA 99 version 2003 Article 7.5.1) [3]:

$$\begin{cases} b \geq 20 \text{ cm } \Rightarrow b = 30 \text{ cm } \geq 20 \text{ cm CV} \\ h \geq 30 \text{ cm } \Rightarrow h = 35 \text{ cm } \geq 30 \text{ cm CV} \\ \frac{h}{b} \leq 4 \text{ cm } \Rightarrow \frac{h}{b} = 1.16 \leq 4 \text{ CV} \\ b_{max} \leq 1.5 \times h + b_1 \Rightarrow 30 \text{ cm} \leq (1.5 \times 35) + 40 \Rightarrow 30 \text{ cm} \leq 92.5 \text{ cm ... CV} \end{cases}$$

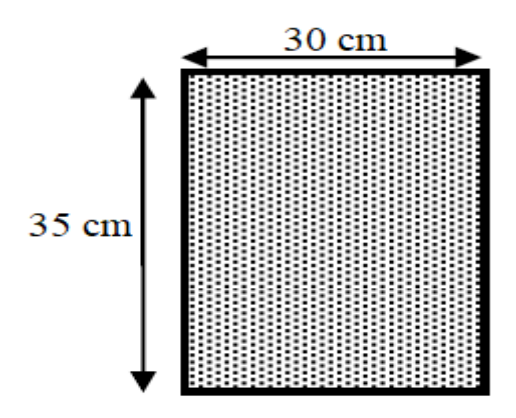


Figure II. 15: la section de poutre secondaire (Chaînage).

II. 3. 3. Les voiles :

Le pré dimensionnement des murs en béton armé justifié par **l'article 7.7 de RPA99 version 2003**. Les voiles servent, d'une part, à contreventer le bâtiment en reprenant les efforts horizontaux (séisme et/ou vent), et d'autre part, à reprendre les efforts verticaux.

D'après le (RPA99 version 2003 A.7.7.1) [3]:

- Voiles sont considérés comme des éléments satisfaisant la condition ≥ 4e . Dans le cas contraire, les éléments sont considérés comme des éléments linéaires. Avec :
 - L: longueur de voile.
 - a : épaisseur du voile.
- L'épaisseur minimale est de $e_{min} = 15$ cm .De plus, l'épaisseur doit être déterminée en fonction de la hauteur libre d'étage h_e et des conditions de rigidité aux extrémités

Les dimensions des voiles doivent satisfaire les conditions suivantes :

- Pour les voiles avec deux abouts sur des poteaux : $e \ge max (e_{min}; \frac{e_{min}}{25})$.
- Pour les voiles avec un seul about sur poteau : $e \ge max(e_{min}; \frac{e_{min}}{22})$.
- Pour les voiles à about libre : $e \ge max (e_{min}; \frac{e_{min}}{20})$.

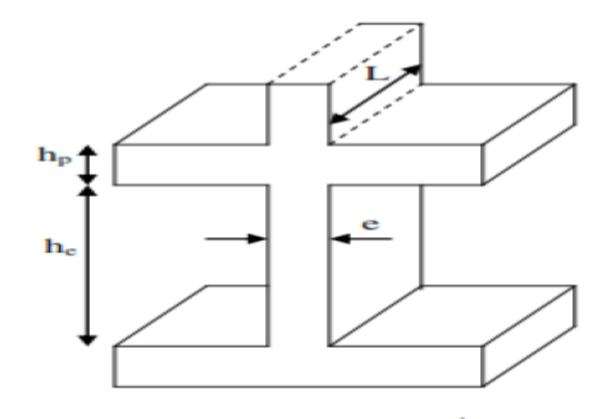


Figure II. 16: Coupe de voile en élévation.

❖ Niveau RDC:

A partir de la hauteur libre d'étage h_e et de la condition de rigidité aux extrémités suivante : $h_e = h_{etage} - h_{poutre} \rightarrow h_e = 4.08 - 0.4 = 3.68 = 368 \text{ cm}.$ $e_{\min} = 15 \text{ cm}$.

• Pour les voiles avec deux abouts sur des poteaux :

$$e \ge max(e_{min}; \frac{h_e}{25})$$

 $e \ge max(15 \text{ cm}; \frac{368}{25}) \Rightarrow e \ge max(15 \text{ cm}; 14.72 \text{ cm})$

On prend: e = 15 cm.

• Pour les voiles avec un seul about sur poteau :

$$\begin{split} &e \geq \text{max}(\; e_{\text{min}}\; ; \; \frac{h_e}{22}) \\ &e \geq \text{max}(\; 15\; \text{cm}\; ; \; \frac{368}{22}\,) \Rightarrow e \geq \text{max}(\; 15\; \text{cm}\; ; \; 16.72\; \text{cm}) \\ &\text{On prend} : e = 20\; \text{cm}\; . \end{split}$$

❖ Niveau étage courant :

A partir de la hauteur libre d'étage het de la condition de rigidité aux extrémités suivante : $h_e = h_{etage} - h_{poutre} \rightarrow h_e = 3.06 - 0.4 = 2.66 \text{ m} = 266 \text{ cm}$. $e_{\min} = 15 \text{ cm}$.

• Pour les voiles avec deux abouts sur des poteaux

$$e \ge max(e_{min}; \frac{266}{25})$$

 $e \ge max(15 cm; \frac{266}{25}) \Rightarrow e \ge max(15 cm; 10.64 cm)$

On prend: e = 15 cm.

• Pour les voiles avec un seul about sur poteau :

$$e \ge max(e_{min}; \frac{266}{22})$$
 $e \ge max(15 \text{ cm}; \frac{266}{22}) \Rightarrow e \ge max(15 \text{ cm}; 12.09 \text{ cm})$
On prend: $e = 20 \text{ cm}$.

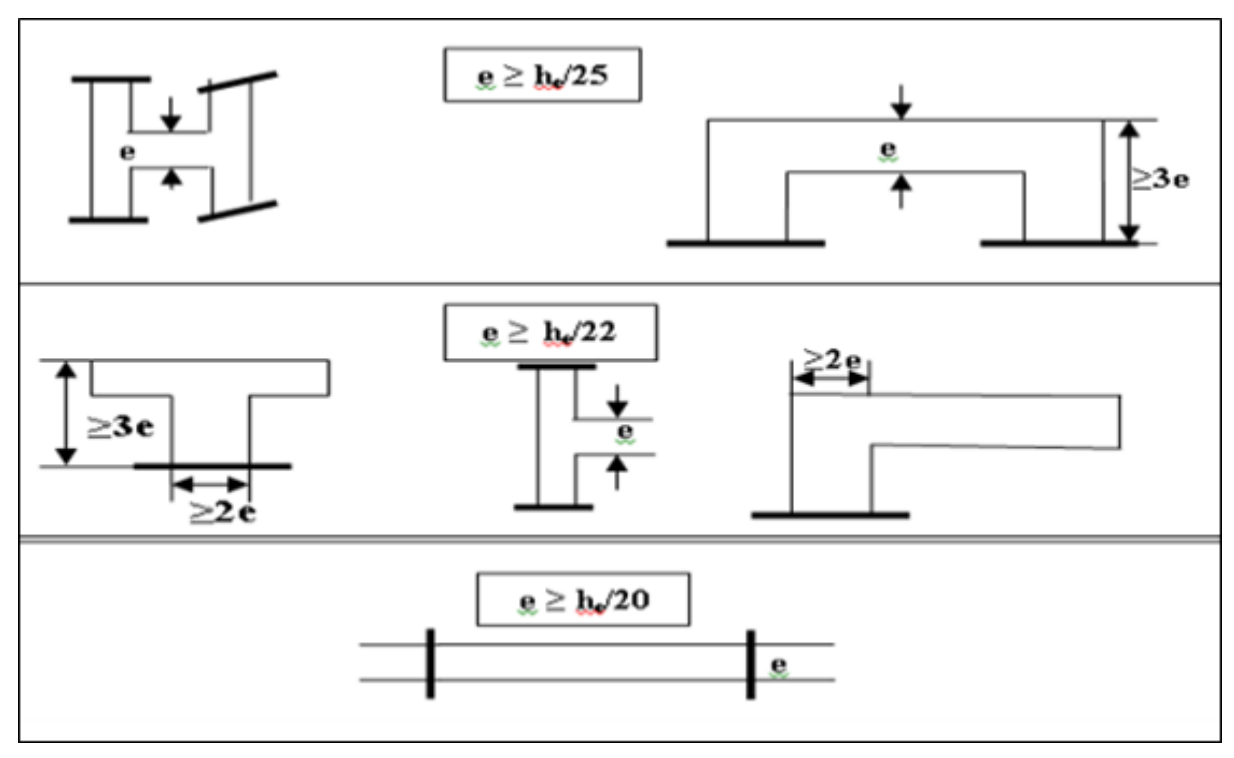


Figure II. 17: Coupes des voiles pour différents cas.

II. 4. EVALUATION DES CHARGES ET SURCHARGES :

Les évaluations de charge et de surcharge sont utilisées pour déterminer la charge et Surcharge due à chaque élément porteur à chaque étage :

II. 4. 1. Maçonnerie:

a. Murs extérieurs :

Tableau II. 3: Evaluation de charge murs extérieurs.

| N° | Désignation | Epaisseur (m) | $\gamma (\text{N}/\text{m}^3)$ | Charge (N/m²) |
|----|------------------|---------------|--------------------------------|---------------|
| 1 | Enduit en ciment | 0.02 | 18000 | 360 |
| 2 | Brique 15cm | 0.15 | 9000 | 1350 |
| 3 | Lame d'air | 0.05 | / | / |
| 4 | Brique 10cm | 0.10 | 9000 | 900 |
| 5 | Enduit en ciment | 0.02 | 18000 | 360 |
| | Charge perm | $G_t=2970$ | | |

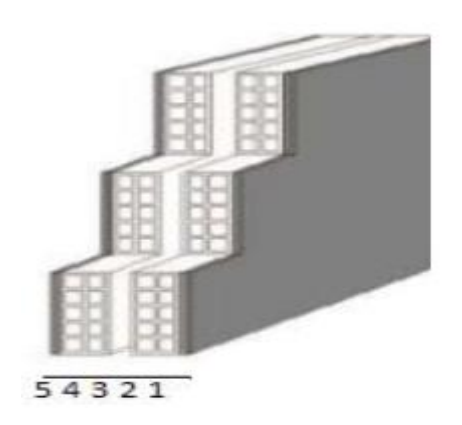


Figure II. 18: Murs extérieurs.

b. Murs intérieurs :

Tableau II. 4: Evaluation de charge murs intérieurs.

| N° | Désignation | Epaisseur (m) | $\gamma (N/m^3)$ | Charge (N/m²) |
|----|------------------|----------------|------------------|---------------|
| 1 | Enduit en ciment | 0.02 | 18000 | 360 |
| 2 | Brique 10cm | 0.10 | 9000 | 900 |
| 3 | Enduit en ciment | 360 | | |
| | Charge perm | $G_{t} = 1620$ | | |

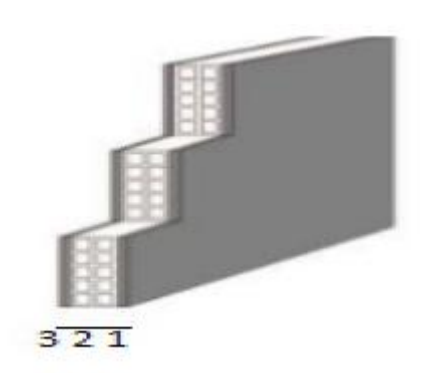


Figure II. 19: Murs intérieurs.

II. 4. 2. Les Planchers:

a. Plancher terrasse:

- 1) Gravillon de protection.
- 2) Etanchéité multicouches.
- 3) Isolation thermique.
- 4) Ecran pare-vapeur.
- 5) Béton de pente.
- 6) Plancher à corps creux.
- 7) Enduit en plâtre.

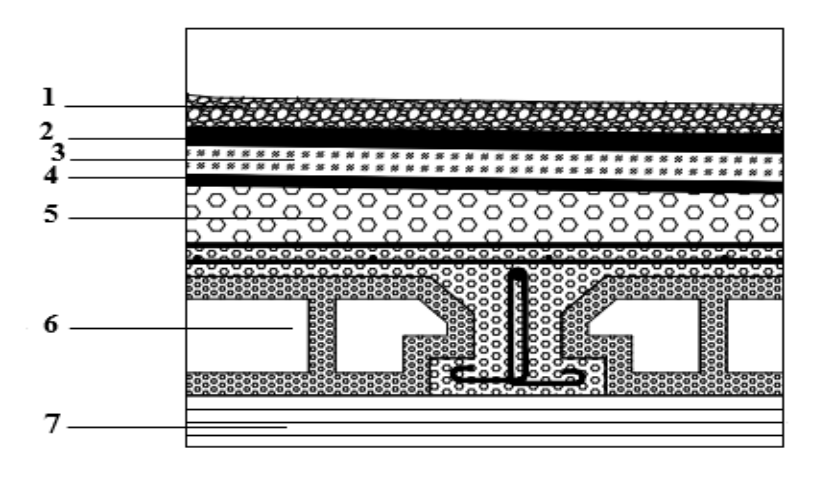


Figure II. 20: Plancher à corps creux de terrasse.

Charge permanente et d'exploitation (DTR B.C 2.2) [4] :

Tableau II. 5: Charge permanente et d'exploitation de terrasse à corps creux.

| N° | Désignation | Epaisseur (m) | $\gamma (N/m^3)$ | Charge (N/m²) | | |
|----|--------------------------------|---------------|------------------|------------------|--|--|
| 1 | Gravillon de protection. | 0.04 | 20000 | 800 | | |
| 2 | Etanchéité multicouches. | 0.02 | 6000 | 120 | | |
| 3 | Isolation thermique. | 0.04 | 4000 | 160 | | |
| 4 | Ecran pare-vapeur. | 0.01 | 1000 | 100 | | |
| 5 | Béton de pente. | 0.1 | 22000 | 2200 | | |
| 6 | Plancher à corps creux. | 0.2 | 14000 | 2800 | | |
| 7 | 7 Enduit en plâtre. 0.02 10000 | | | | | |
| | $G_{t} = 6290$ | | | | | |
| | Surcharge d'exploitation | | | | | |

b. Plancher étage courant :

- 1) Carrelage
- 2) Mortier de pose
- 3) Lit de sable
- 4) Plancher à corps creux.
- 5) Enduit en plâtre.

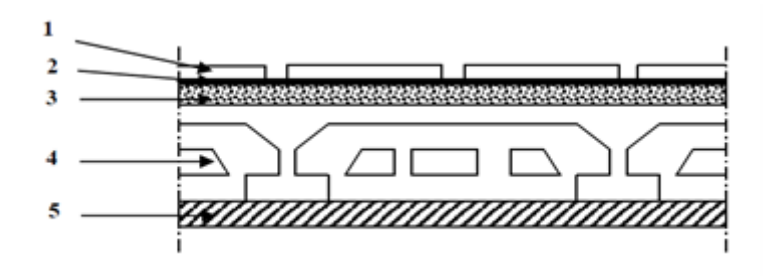


Figure II. 21:Plancher à corps creux étage.

Charge permanente et d'exploitation (DTR B.C 2.2) [4]:

Tableau II. 6: Charge permanente et d'exploitation d'étage courant à corps creux.

| N° | Désignation | Epaisseur (m) | $\gamma (N/m^3)$ | Charge (N/m²) | | | |
|----|---|---------------|------------------|------------------|--|--|--|
| | Murs intérieurs | / | / | 1620 | | | |
| 1 | Carrelage | 0.02 | 22000 | 440 | | | |
| 2 | Mortier de pose | 0.02 | 20000 | 400 | | | |
| 3 | Couche de sable | 0.03 | 18000 | 540 | | | |
| 4 | Plancher à corps creux | 0.2 | 14000 | 2800 | | | |
| 5 | 5 Enduit en plâtre 0.02 10000 | | | | | | |
| | $G_{t} = 6000$ | | | | | | |
| | Charge permanente totale Surcharge d'exploitation | | | | | | |

c. Dalle pleine: (Balcon + halle d'ascenseur)

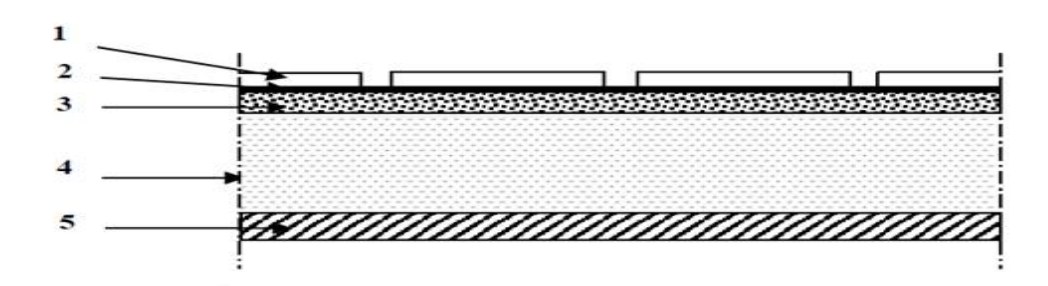


Figure II. 22: Coupe vertical du plancher courant à dalle pleine.

Tableau II. 7: Charge permanente et d'exploitation de la dalle pleine.

| N° | Désignation | Epaisseur (m) | $\gamma (N/m^3)$ | Charge (N/m²) | | |
|----|--------------------------|---------------|------------------|---------------|--|--|
| | Murs intérieurs | / | / | 1620 | | |
| 1 | Carrelage | 0.02 | 22000 | 440 | | |
| 2 | Mortier de pose | 0.02 | 20000 | 400 | | |
| 3 | Couche de sable | 0.03 | 18000 | 540 | | |
| 4 | dalle | 0.15 | 25000 | 3750 | | |
| 5 | Enduit en plâtre | 0.02 | 10000 | 200 | | |
| | Charge permanente totale | | | | | |
| | Surcharge d'exploitation | | | | | |

II. 4. 3. L'escalier:

II. 4. 3. 1. La paillasse :

a. Paillasse avec une inclinaison de 31.723°:

Tableau II. 8: Charge permanente et d'exploitation de la paillasse 1.

| N° | Désign | ation | Epaisseur (m) | $\gamma (N/m^3)$ | Charge (N/m²) |
|----------|--------------------|------------|------------------|------------------|---------------|
| 1 | Commologo | Horizontal | 0.02 | 22000 | 440 |
| 1 | Carrelage Vertical | 0.02 | 22000 | 249.33 | |
| 2 | Mortier de | Horizontal | 0.02 | 20000 | 400 |
| <i>_</i> | pose Vertical | | 0.02 | 20000 | 226.67 |
| | Lit de | sable | 0.02 | 18000 | 360 |

| 3 | Poids des marches | 0.17/2 | 25000 | 2125 | | | |
|---|--------------------------|-------------------|-------|----------|--|--|--|
| 4 | Poids de la paillasse | 0.2/cosα | 25000 | 5878.202 | | | |
| 5 | Enduit en plâtre | $0.02/\cos\alpha$ | 10000 | 235.128 | | | |
| 6 | Gardes corps | / | / | 600 | | | |
| | Charge permanente totale | | | | | | |
| | $Q_t = 2500$ | | | | | | |

b. Paillasse avec une inclinaison de 34.21°:

Tableau II. 9: Charge permanente et d'exploitation de la paillasse (2,3,4,5,6).

| N° | Désignation | | Epaisseur (m) | $\gamma (N/m^3)$ | Charge (N/m²) |
|--------------------------|--------------------------|------------|-------------------|------------------|---------------|
| 1 | Carrelage Horizontal | 0.02 | 22000 | 440 | |
| 1 | Carrelage | Vertical | 0.02 | 22000 | 249.33 |
| 2 | Mortier de pose | Horizontal | 0.02 | 20000 | 400 |
| 4 | Mortier de pose | Vertical | 0.02 | 20000 | 226.67 |
| | Lit de sable | | 0.02 | 18000 | 360 |
| 3 | 3 Poids des marches | | 0.17/2 | 25000 | 2125 |
| 4 | 4 Poids de la paillasse | | 0.15/cosα | 25000 | 4534.558 |
| 5 | 5 Enduit en plâtre | | $0.02/\cos\alpha$ | 10000 | 241.843 |
| 6 | 6 Gardes corps | | / | / | 600 |
| Charge permanente totale | | | | $G_t = 9177.401$ | |
| | Surcharge d'exploitation | | | | $Q_t = 2500$ |

II. 4. 3. 2. Palier de repos :

Tableau II. 10: Charge permanente et d'exploitation du palier de repos.

| N° | Désignation | Epaisseur (m) | $\gamma (N/m^3)$ | Charge (N/m²) |
|--------------------------|--------------------------------------|---------------|------------------|------------------|
| 1 | Carrelage | 0.02 | 22000 | 440 |
| 2 | Mortier de pose | 0.02 | 20000 | 400 |
| 3 | Lit de sable | 0.02 | 18000 | 360 |
| 4 | Dalle pleine | 0.15 | 25000 | 3750 |
| 5 | 5 Enduit en plâtre 0.02 10000 | | 200 | |
| | $G_{t} = 5150$ | | | |
| Surcharge d'exploitation | | | | $Q_t = 2500$ |

II. 5. DESCENTE DE CHARGES:

Afin d'assurer la résistance et la stabilité de l'ouvrage, une distribution des charges et surcharges pour chaque élément s'avèrent nécessaire. La descente des charges permet l'évaluation de la plupart des charges revenant à chaque élément de la structure, on aura à considérer :

- Le poids propre de l'élément
- La charge de plancher qu'il supporte.
- La part de cloison répartie qui lui revient.
- Les éléments secondaires (escalier, acrotère...).

La descente de charge se fait du niveau le plus haut (charpente ou toiture terrasse) vers le niveau inférieur et cela jusqu'au niveau le plus bas (les fondations). Nous appliquons les lois de dégression uniquement pour les étages à usages d'habitation.

II. 5. 1. Loi de dégression : (DTR B. C. 2. 2) [4]

Soit Q_0 la charge d'exploitation sur le toit ou la terrasse couvrant le bâtiment Q_1 , Q_2 , Q_3 on les charges d'exploitation respectives des planchers des étages 1,2,3...n numérotés à partir du sommet du bâtiment. On adoptera pour le calcul des points d'appui les charges d'exploitation suivantes :

Sous la terrasse : Q_0 Sous le premier étage à partir du sommet : $Q_0 + Q_1$ Sous le deuxième étage : $Q_0 + 0.95 \times (Q_1 + Q_2)$ Sous le troisième étage : $Q_0 + 0.90 \times (Q_1 + Q_2 + Q_3)$

Pour n étage $(n \ge 5)$ $Q_0 + \frac{3+n}{2 \times n} \times (Q_1 + Q_2 + Q_3 + \dots + Q_n)$

En tenant compte de la dégression des surcharges de la façon suivante

| $\sum Q = Q_0$ | = 1000 N |
|--|------------|
| $\sum Q = Q_0 + Q_1$ | = 2500 N |
| $\Sigma Q = Q_0 + 0.95 \times (Q_1 + Q_2)$ | = 3850 N |
| $\Sigma Q = Q_0 + 0.90 \times (Q_1 + Q_2 + Q_3)$ | = 5050 N |
| $\sum Q = Q_0 + 0.85 \times (Q_1 + Q_2 + Q_3 + Q_4)$ | = 6100 N |
| $\Sigma Q = Q_0 + 0.80 \times (Q_1 + Q_2 + Q_3 + Q_4 + Q_5)$ | = 7000 N |
| $\Sigma Q = Q_0 + 0.75 \times (Q_1 + Q_2 + Q_3 + Q_4 + Q_5 + Q_6)$ | = 7750 N |
| $\Sigma Q = Q_0 + 0.71 \times (Q_1 + Q_2 + Q_3 + Q_4 + Q_5 + Q_6 + Q_7)$ |) = 8455 N |

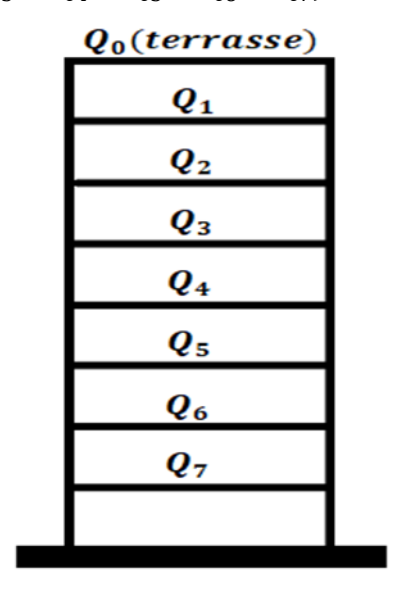


Figure II. 23: Schéma statique de la descente.

Pour la vérification de leur section dans ce cas on prend un type de poteau suivant :

a. Poteau intermédiaire : (40×40) m².

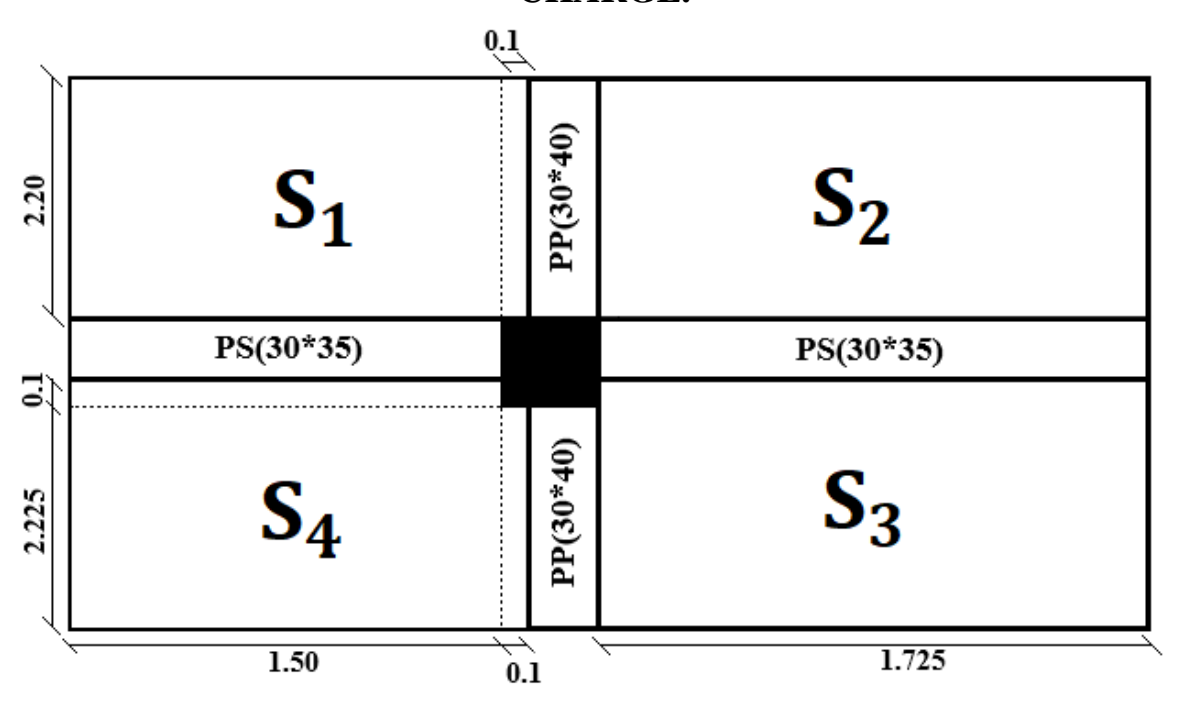


Figure II. 24: Poteau d'intermédiaire.

Surface afférente :

$$\begin{split} S &= S_1 + S_2 + S_3 + S_4 \\ S_1 &= 1.6 \times 2.20 = 3.52 \text{ m}^2 \\ S_2 &= 1.725 \times 2.20 = 3.795 \text{ m}^2 \\ S_3 &= 1.725 \times 2.325 = 4.010 \text{m}^2 \\ S_4 &= 1.6 \times 2.225 + 0.1 \times 0.1 = 3.57 \text{m}^2 \\ \text{Donc}: S &= S_1 + S_2 + S_3 + S_4 = 3.52 + 3.795 + 4.010 + 3.57 = 14.895 \text{m}^2 \\ &\stackrel{\bullet}{\longrightarrow} \text{Laggebarges} \end{split}$$

Les charges :

• Plancher terrasse inaccessible :

$$G = 14.895 \times 6.29 = 93.689 \text{ KN}$$

 $Q = 14.895 \times 1 = 14.895 \text{ KN}$

• Plancher étage courant :

$$\begin{cases} G = 14.895 \times 6 = 89.73 \text{ KN} \\ Q = 14.895 \times 1.5 = 22.3425 \text{ KN} \end{cases}$$

• Poutre:

$$\begin{cases} G_{PP1} = 25 \times 2.20 \times 0.3 \times 0.4 = 6.6 \text{ KN} \\ G_{PP2} = 25 \times 2.225 \times 0.3 \times 0.4 = 6.675 \text{ KN} \\ G_{PS1} = 25 \times 1.6 \times 0.3 \times 0.35 = 4.2 \text{ KN} \\ G_{PS2} = 25 \times 1.725 \times 0.3 \times 0.35 = 4.528 \text{ KN} \end{cases}$$

Le poids total des poutres : $G_{Poutre total} = 22.003KN$.

• Les poteaux :

$$\{G_{Pot} = S \times 25 \times h_e\}$$

Tableau II. 11: La descente de charge de poteau.

| Etage | RDC (4.08 m) | Etage courant (3.06 m) |
|---------------------------|------------------|------------------------|
| Section $(b \times h)m^2$ | (40×40) | (40×40) |
| La surface du poteau (S) | 0.16 | 0.16 |

Tableau II. 12: la descente des charges – poteau d'intermédiaire.

| Niveau | Désignation | G (KN) | Q (KN) |
|--------|--|---------|--------------------|
| 1-1 | Plancher terrasse inaccessible | 93.689 | 14.895 |
| 1-1 | $G_{Poutre\ total}$ | 22.003 | |
| | Somme | 115.692 | 14.895 |
| 2-2 | • Venant 1-1 | 115.692 | 14.895 |
| | Poteaux | 12.24 | 14.075 |
| | Somme | | |
| | • Venant 2-2 | 127.932 | 14.895 |
| 3-3 | Plancher étage courant | 89.73 | 22.3425 |
| | $ullet$ $G_{poutre\ total}$ | 22.003 | 22.3 123 |
| | Somme | 239.665 | 37.2375 |
| 4-4 | • Venant 3-3 | 239.665 | 37.2375 |
| 4-4 | • Poteaux | 12.24 | 31.2313 |
| | Somme | 251.905 | 37.2375 |
| | • Venant 5-5 | 251.905 | 27 2275 |
| 5-5 | Plancher étage courant | 89.73 | 37.2375 22.3425 |
| | $ullet$ $G_{poutre\ total}$ | 22.003 | 22.3423 |
| | Somme | 363.638 | 59.58 |
| 6-6 | • Venant 5-5 | 363.638 | 59.58 |
| 0-0 | Poteaux | 12.24 | 39.36 |
| | Somme | 375.878 | 59.58 |
| | • Venant 5-5 | 375.878 | 50.50 |
| 7-7 | Plancher étage courant | 89.73 | 59.58 22.3425 |
| | $ullet$ $G_{poutre\ total}$ | 22.003 | 22.3423 |
| | Somme | 487.611 | 81.9225 |
| 8-8 | • Venant 7-7 | 487.611 | 81.9225 |
| 0-0 | Poteaux | 12.24 | 81.9223 |
| | Somme | 500.011 | 81.9225 |
| | • Venant 8-8 | 500.011 | 01.0225 |
| 9-9 | Plancher étage courant | 89.73 | 81.9225 22.3425 |
| | $ullet$ $G_{poutre\ total}$ | 22.003 | 22.3423 |
| | Somme | 623.984 | 104.265 |
| 10-10 | • Venant 9-9 | 623.984 | 104.265 |
| 10-10 | • Poteaux | 12.24 | 104.203 |
| | Somme | 636.224 | 104.265 |
| | • Venant 10-10 | 636.224 | 104.265 |
| 11-11 | Plancher étage courant | 89.73 | 104.265 22.3425 |
| | $ullet$ $G_{poutre\ total}$ | 22.003 | 22.3423 |
| | Somme | 747.957 | 126.6075 |
| 10 10 | • Venant 11-11 | 747.957 | 126 6075 |
| 12-12 | • Poteaux | 12.24 | 126.6075 |
| | Somme | 760.197 | 126.6075 |
| | • Venant 12-12 | 760.197 | 126 6075 |
| 13-13 | Plancher étage courant | 89.73 | 126.6075 |
| | • G _{poutre total} | 22.003 | 22.3425 |
| | r - · · · · · · · · · · · · · · · · · · | L | 1 |

| | Somme | | 148.95 |
|-------|--|----------|----------|
| 14-14 | • Venant 13-13 | 871.93 | 148.95 |
| 14-14 | • Poteaux | 12.24 | 148.93 |
| | Somme | 884.17 | 148.95 |
| | • Venant 14-14 | 884.17 | 148.95 |
| 15-15 | Plancher étage courant | 89.73 | 22.3425 |
| | \bullet $G_{poutre\ total}$ | 22.003 | 22.3423 |
| | Somme | 995.903 | 171.2925 |
| 16-16 | • Venant 15-15 | 995.903 | 171.2925 |
| 10-10 | • Poteaux | 16.32 | 1/1.2923 |
| TOTAL | | 1012.223 | 171.2925 |

b. Poteau de rive : (40×40) m²

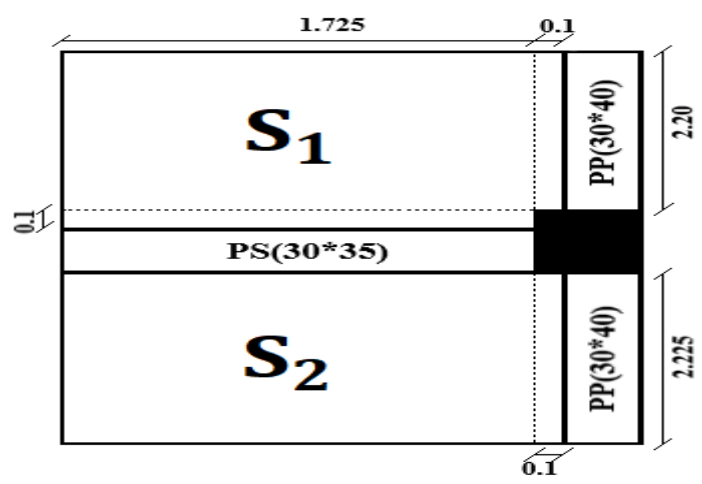


Figure II. 25: Poteau de rive.

Surface afférente :

$$\begin{cases} S = S_1 + S_2 \\ S_1 = (1.825 \times 2.20) + (0.1 \times 1.725) = 4.1875 \text{ m}^2 \\ S_2 = 1.825 \times 2.225 = 8.24815 \text{ m}^2 \end{cases}$$

Donc: $S = S_1 + S_2 = 8.24815 \text{ m}^2$

! Les charges :

Plancher terrasse inaccessible:

$$G = 8.24815 \times 6.29 = 51.8809635 \text{ KN} \approx 51.881 \text{ KN}$$

 $Q = 8.24815 \times 1 = 8.24815 \text{ KN}$

• Plancher étage courant :

$$G = 8.24815 \times 6 = 49.4889 \text{ KN}$$

 $Q = 8.24815 \times 1.5 = 12.372225 \text{ KN}$

• Poutre:

$$\begin{cases} G_{PP1} = 25 \times 2.20 \times 0.3 \times 0.4 = 6.6 \ \textit{KN} \\ G_{PP2} = 25 \times 2.225 \times 0.3 \times 0.4 = 6.675 \ \textit{KN} \\ G_{PS1} = 25 \times 1.725 \times 0.3 \times 0.35 = 4.528 \ \textit{KN} \end{cases}$$

Le poids total des poutres : $G_{Poutre\ total} = 17.803\ KN$.

• Les poteaux :

 $\{G_{Pot} = S \times 25 \times h_e$

Tableau II. 13: La descente de charge des poteaux.

| Etage | RDC (4.08 m) | Etage courant (3.06 m) |
|---------------------------|------------------|------------------------|
| Section $(b \times h)m^2$ | (40×40) | (40×40) |
| La surface du poteau (S) | 0.16 | 0.16 |
| G _{POT} (KN) | 16.32 | 12.24 |

Tableau II. 14: la descente des charges – Poteau de rive.

| Niveau | Désignation | G (KN) | Q (KN) |
|------------|--------------------------------|----------|-------------|
| 1-1 | Plancher terrasse inaccessible | 51.881 | 8.24815 |
| 1-1 | $G_{Poutre\ total}$ | 17.803 | 8.24815 |
| | Somme | | 8.24815 |
| 2-2 | • Venant 1-1 | 69.684 | 8.24815 |
| | Poteaux | 12.24 | |
| | Somme | 81.924 | 8.24815 |
| | • Venant 2-2 | 81.924 | 8.24815 |
| 3-3 | Plancher étage courant | 49.4889 | 12.372225 |
| | $ullet$ $G_{poutre\ total}$ | 17.803 | 12.372223 |
| | Somme | 149.2159 | 20.620375 |
| 4-4 | • Venant 3-3 | 149.2159 | 20.620375 |
| | • Poteaux | 12.24 | |
| | Somme | 161.4559 | 20.620375 |
| | • Venant 5-5 | 161.4559 | 20.620375 |
| 5-5 | Plancher étage courant | 49.4889 | 12.372225 |
| | $ullet$ $G_{poutre\ total}$ | 17.803 | |
| | Somme | 228.7478 | 32.9926 |
| 6-6 | • Venant 5-5 | 228.7478 | 32.9926 |
| U-U | Poteaux | 12.24 | |
| | Somme | 240.9878 | 32.9926 |
| | • Venant 5-5 | 240.9878 | 32.9926 |
| 7-7 | Plancher étage courant | 49.4889 | 12.372225 |
| | • G _{poutre total} | 17.803 | |
| | Somme | 308.2797 | 45.364825 |
| 8-8 | • Venant 7-7 | 308.2797 | 45.364825 |
| | Poteaux | 12.24 | |
| | Somme | 320.5197 | 45.364825 |
| | • Venant 8-8 | 320.5197 | 45.364825 |
| 9-9 | Plancher étage courant | 49.4889 | 12.372225 |
| | $ullet$ $G_{poutre\ total}$ | 17.803 | 12.0,2220 |
| | Somme | 387.8116 | 57.73705 |
| 10-10 | • Venant 9-9 | 387.8116 | 57.73705 |
| 10-10 | Poteaux | 12.24 | |
| | Somme | 400.0516 | 57.73705 |
| | • Venant 10-10 | 400.0516 | 57.73705 |
| 11-11 | Plancher étage courant | 49.4889 | 12.372225 |
| | \bullet $G_{poutre\ total}$ | 17.803 | 12.3 / 2223 |

| | Somme | | 70.109275 |
|-------|--|-------------------------------|------------------------|
| 12-12 | Venant 11-11Poteaux | 467.3435 12.24 | 70.109275 |
| | Somme | 479.5835 | 70.109275 |
| 13-13 | Venant 12-12 Plancher étage courant G_{poutre total} | 479.5835 49.4889 17.803 | 70.109275 12.372225 |
| | Somme | 546.8754 | 82.4815 |
| 14-14 | Venant 13-13Poteaux | 546.8754 12.24 | 82.4815 |
| | Somme | 559.1154 | 82.4815 |
| 15-15 | Venant 14-14 Plancher étage courant G_{poutre total} | 559.1154 49.4889 17.803 | 82.4815 12.372225 |
| Somme | | 626.4073 | 94.853725 |
| 16-16 | Venant 15-15Poteaux | 626.4073 16.32 | 94.853725 |
| TOTAL | | 642.7273 | 94.853725 |

c. Poteau d'angle : (4×40) m²

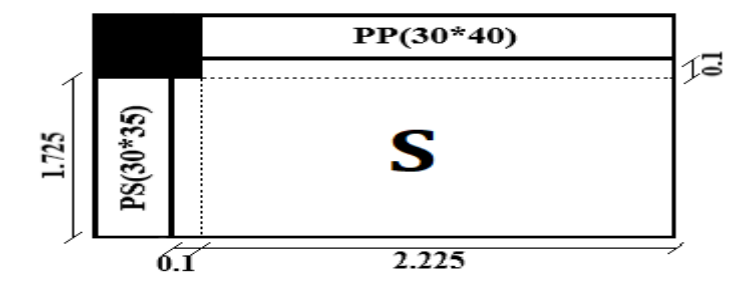


Figure II. 26: Poteau d'angle.

Surface afférente :

$$S = (1.825 \times 2.225) + (0.1 \times 0.1) = 4.070625 \text{ m}^2$$

- **!** Les charges :
- Plancher terrasse inaccessible :

$$G = 4.070625 \times 6.29 = 25.60423 \text{ KN}$$

 $Q = 4.070625 \times 1 = 4.070625 \text{ KN}$

• Plancher étage courant :

$$G = 4.070625 \times 6 = 24.42375 \text{ KN}$$

 $Q = 4.070625 \times 1.5 = 6.1059375 \text{ KN}$

• Poutre:

$$G_{PP} = 25 \times 2.225 \times 0.3 \times 0.4 = 6.675 KN$$

 $G_{PS} = 25 \times 1.725 \times 0.3 \times 0.4 = 4.528 KN$

Le poids total des poutres : $G_{Poutre\ total}$ =11.203 KN

• Les poteaux :

$$\{G_{Pot} = S \times 25 \times h_e\}$$

Tableau II. 15: La descente de charge de poteau.

| Etage | RDC (4.08 m) | Etage courant (3.06 m) | |
|---------------------------|------------------|------------------------|--|
| Section $(b \times h)m^2$ | (40×40) | (40×40) | |
| La surface du poteau (S) | 0.16 | 0.16 | |
| G _{POT} (KN) | 16.32 | 12.24 | |

Tableau II. 16: La descente des charges – Poteau d'angle.

| Niveau | Désignation | G (KN) | Q (KN) |
|--------|--------------------------------|-----------|------------|
| 1-1 | Plancher terrasse inaccessible | 25.60423 | 4.070625 |
| 1-1 | $G_{Poutre\ total}$ | 11.203 | 4.070623 |
| | Somme | 36.80723 | 4.070625 |
| 2-2 | • Venant 1-1 | 36.80723 | 4.070625 |
| 2-2 | Poteaux | 12.24 | 4.070023 |
| | Somme | 49.04723 | 4.070625 |
| | • Venant 2-2 | 49.04723 | 4.070625 |
| 3-3 | Plancher étage courant | 24.42375 | 6.1059375 |
| | $ullet$ $G_{poutre\ total}$ | 11.203 | 0.1037373 |
| | Somme | 84.67398 | 10.1765625 |
| 4-4 | • Venant 3-3 | 84.67398 | 10.1765625 |
| 7-7 | Poteaux | 12.24 | |
| | Somme | 96.91398 | 10.1765625 |
| | • Venant 5-5 | 96.91398 | 10.1765625 |
| 5-5 | Plancher étage courant | 24.42375 | 6.1059375 |
| | $ullet$ $G_{poutre\ total}$ | 11.203 | 0.1037373 |
| | Somme | 132.54073 | 16.2825 |
| 6-6 | • Venant 5-5 | 132.54073 | 16.2825 |
| 0-0 | Poteaux | 12.24 | |
| | Somme | 144.78073 | 16.2825 |
| | • Venant 5-5 | 144.78073 | 16.2825 |
| 7-7 | Plancher étage courant | 24.42375 | 6.1059375 |
| | $ullet$ $G_{poutre\ total}$ | 11.203 | 0.1037373 |
| | Somme | 180.40748 | 22.3884375 |
| 8-8 | • Venant 7-7 | 180.40748 | 22.3884375 |
| 0-0 | Poteaux | 12.24 | |
| | Somme | 192.64748 | 22.3884375 |
| | • Venant 8-8 | 192.64748 | 22.3884375 |
| 9-9 | Plancher étage courant | 24.42375 | 6.1059375 |
| | $ullet$ $G_{poutre\ total}$ | 11.203 | 0.1037373 |
| | Somme | 228.27423 | 28.494375 |
| 10-10 | • Venant 9-9 | 228.27423 | 28.494375 |
| 10-10 | Poteaux | 12.24 | 20.774313 |
| | Somme | 240.51423 | 28.494375 |
| | • Venant 10-10 | 240.51423 | 28.494375 |
| 11-11 | Plancher étage courant | 24.42375 | 6.1059375 |
| | $ullet$ $G_{poutre\ total}$ | 11.203 | 0.1033313 |

| | Somme | 276.14098 | 34.6003125 |
|-------|--|---------------------------------|-------------------------|
| 12-12 | Venant 11-11Poteaux | 276.14098 12.24 | 34.6003125 |
| | Somme | 288.38098 | 34.6003125 |
| 13-13 | Venant 12-12 Plancher étage courant G_{poutre total} | 288.38098 24.42375 11.203 | 34.6003125 6.1059375 |
| | Somme | 324.00773 | 40.70625 |
| 14-14 | Venant 13-13Poteaux | 324.00773 12.24 | 40.70625 |
| | Somme | 36.24773 | 40.70625 |
| 15-15 | Venant 14-14 Plancher étage courant Gpoutre total | 36.24773 24.42375 11.203 | 40.70625 6.1059375 |
| | Somme | 371.87448 | 46.8121875 |
| 16-16 | Venant 15-15Poteaux | 371.87448 16.32 | 46.8121875 |
| | 388.19448 | 46.8121875 | |

Remarque:

On prendre en considération a notre étude le poteau intermédiaire parce qu'il est le plus sollicitée.

Il est utile de signaler que ces charges doivent être majorées par un coefficient de majoration selon la position du poteau dans les bâtiments comportant des travées solidaires, il convient de majorer les charges comme suit :

- De 15 % Si le poteau est plus d'une fois voisine d'un poteau de rive
- De 10 % Si le poteau est une fois voisin d'un poteau de rive.

II. 5. 2. Vérification de la section de poteau : (BAEL91 B.8.4.1) [1]

Pour dimensionner les poteaux de notre structure on prend le poteau le plus sollicité et dans ce cas le poteau central c'est le plus sollicité.

La somme des charges permanant $G_T = 1012.223 \text{ KN}$

La somme des charges d'exploitations $Q_T = 171.2925 \text{ KN}$

$$N_U = 1.15 \times (1.35 G_T + 1.5 Q_T)$$

$$N_U = 1.15 \times (1,35 \times 1012.223 + 1,5 \times 171.2925)$$

 $N_{IJ} = 1866.95577 (KN)$

Le pré dimensionnement est déterminé en supposant que les poteaux sont soumis à la compression simple par la formule suivante :

$$N_{U} \leq \overline{N} = \alpha \left(\frac{B_{r} \times f_{c28}}{0.9 \times \gamma_{b}} + \frac{f_{e}}{\gamma_{s}} \times A \right)$$

 γ_b : Coefficient de sécurité pour le béton $\gamma_b = 1.5$ ($f_{c28} = 25$ MPa).

 γ_s : Coefficient de sécurité pour l'acier γ_s =1,15 (f_e = 400 MPa).

 B_r : Section réduite du poteau obtenue en déduisant de sa section réelle 1 cm d'épaisseur sur toute sa section réelle 1 cm d'épaisseur sur toute sa périphérie

$$(b \times h) = (40 \times 40) \text{ cm}^2.$$

$$B_r = (h - 0.02)(b - 0.02) \text{ m}^2.$$

$$B_r = (h - 0.02)(b - 0.02) = (0.4 - 0.02)(0.4 - 0.02) = 0.1444 \text{ m}^2.$$

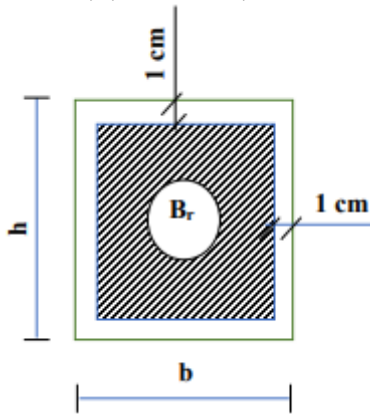


Figure II. 27: Section réduite de poteau.

 α : Coefficient fonction de l'élancement mécanique λ [$\alpha=f(\lambda)]$

λ: l'élancement mécanique

$$\lambda = \frac{L_f}{i}$$

$$\lambda = \max(\lambda_x; \lambda_y)$$

$$\lambda_x = \sqrt{12} \times \frac{L_f}{b}, \lambda_y = \sqrt{12} \times \frac{L_f}{h}$$

L_f: Longueur de flambement.

$$L_{\rm f} = 0.7 \times L_0$$

$$L_{\rm f} = 0.7 \times L_0 = 0.7 \times 4.08 = 2.856 \ m$$

Donc:

$$\lambda_x = \sqrt{12} \times \frac{2.856}{0.4} = 24.7336$$
, $\lambda_y = \sqrt{12} \times \frac{2.856}{0.4} = 24.7336$

 $\lambda = 24.7336 < 50 \Longrightarrow selon (BAEL91 A B.8.4.1) [1]$

$$\alpha = \frac{0.85}{1 + 0.2\left(\frac{\lambda}{35}\right)^2} = \frac{0.85}{1 + 0.2\left(\frac{24.7336}{35}\right)^2} = 0.7728$$

i: Rayon de giration

$$i = \sqrt{\frac{I}{B}}$$

I: Moment d'inertie de la section par rapport à l'axe passant par son centre de gravité et perpendiculaire au plan de flambement.

$$I = \frac{b \times h^3}{12}$$

A: La section d'acier comprimé.

$$A = \max(A_{BAEL}; A_{RPA})$$

❖ Selon BAEL91:

 $A_{BAEL} = max (4 cm^2/m de périméter; 0.2% B)$

$$A_{BAEL} = \max \left(4 \times (0.4 + 0.4) \times 2 ; 0.2 \times \frac{40 \times 40}{100} \right)$$

 $A_{BAEL} = max(6.4; 3.2) \Rightarrow A_{BAEL} = 6.4 \text{ cm}^2$

❖ Selon RPA99 version 2003:

 $A_{RPA} = 0.8\%B$ (Zone IIa)

$$A_{RPA} = 0.8 \times \frac{40 \times 40}{100} = 12.8 \text{ cm}^2 \Rightarrow A_{RPA} = 12.8 \text{ cm}^2$$

Donc:

 $A = max (6.4; 12.8) \Rightarrow A = 12.8 cm^2$

Tableau II. 17: tableau récapitulative.

| N _U (N) | $\begin{pmatrix} A_{BAEL} \\ (mm^2) \end{pmatrix}$ | $\begin{pmatrix} A_{RPA} \\ (mm^2) \end{pmatrix}$ | A (mm ²) | α | $B_r (mm^2)$ | | Condition |
|--------------------|--|---|----------------------|--------|--------------|--------------|-----------|
| 1866955.77 | 6400 | 12800 | 128000 | 0.7728 | 144400 | 2654892924.4 | CV |

CHAPITRE III: CALCUL DES ELEMENTS SECONDAIRES.

CHAPITRE III: CALCUL DES ELEMENTS SECONDAIRES.

III. 1. INTRODUCTION:

Ce chapitre se concentrera sur une étude complète et spécifique de chaque élément structural secondaire (ne fait pas partie du système de contreventement).

Cette étude va se faire en suivant les étapes suivantes :

- Évaluation des charges sur l'élément considéré.
- Calcul des sollicitations les plus défavorables.
- La détermination de la section d'acier nécessaire pour reprendre les charges

Les éléments secondaires à calculer dans ce chapitre sont: (l'acrotère, les escaliers, dalle plaine, les planchers).

III. 2. ACROTERE:

L'acrotère est un élément de protection secondaire situé au niveau supérieur de l'ouvrage.

Il forme un mur empêchant toute chute et il sera compté comme Console encastrée au niveau du plancher terrasse, cet élément est réalisé en béton armé, elle est soumise à son poids propre (G) et à la surcharge d'exploitation (Q) due à la main courante qui crée un moment M_O au niveau de l'encastrement et la force sismique.

Hypothèse de calcul:

- L'acrotère est sollicité en flexion composée.
- La fissuration est considérée comme préjudiciable.
- Le calcul se fera pour une bande de 1m.

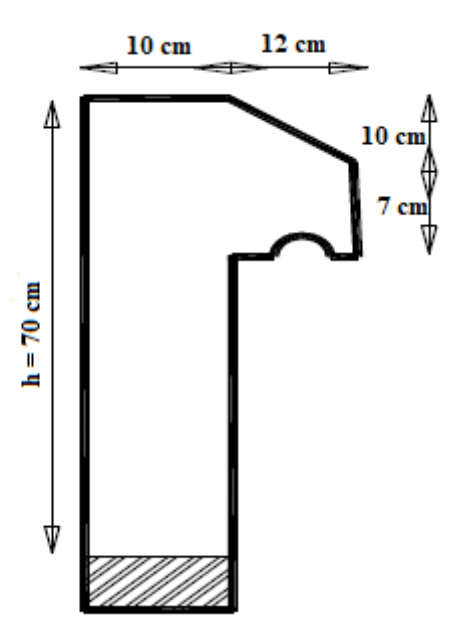


Figure III. 1: Coupe en élévation de l'acrotère.

III. 2. 1. Évaluation des charges :

D'après le chapitre précédent on a :

G = 2.11 (KN/ml)

Q = 1000 (KN/ml), (plancher terrasse inaccessible).

La force sismique est donnée par la formule suivante :

$$F_{p} = 4 \times A \times C_{p} \times W_{p}$$
 (**RPA A. 6.2.3**) [3]

A : coefficient d'accélération de la zone en fonction du groupe d'usage

A = 0.15 (group d'usage 2, zone IIa) suivant le tableau 4-1(RPA A 4.2.3) [3]

C_P: facture de force horizontale.

 $C_p = 0.8$ suivant tableau 6-1 (**RPA art 6.2.3**) [3]

 W_P : Poids de l'acrotère $W_P = (2.11 \text{ KN/ ml})$

 $F_P = 4 \times 0.15 \times 0.8 \times 2.11 = 1.0128$ (KN)

 $F_P \le 1.5 \ Q \implies 1.012 \le 1.5 \dots CV$

Donc : On va utiliser cette force pour déterminer les efforts qui seront utilisés pour le calcul des armatures de ferraillage.

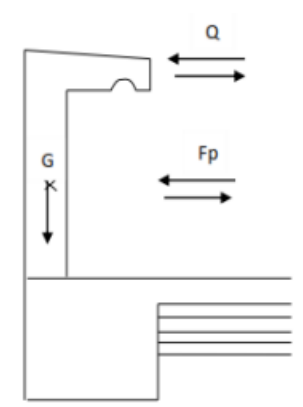


Figure III. 2: Charges appliquées sur l'acrotère.

III. 2. 2. Calcul des efforts :

Pour déterminer les sollicitations, on va utiliser 3 combinaisons, et on choisit la plus défavorable. Ces combinaisons Pour une bande de 1m de largeur sont :

& ELU:

$$N_U = 1.35 G = 1.35 \times 2.11 = 2.8485 (KN)$$

$$M_U = 1.5 \times Q \times h = 1.5 \times 1 \times 0.7 = 1.05 \text{ (KN.m)}$$

$$T_{U} = 1.5Q = 1.5 (KN)$$

& ELS:

$$N_{ser} = G = 2.11 (KN)$$

$$M_{ser} = Q \times h = 1 \times 0.7 = 0.7 (KN.m)$$

$$T_{ser} = Q = 1 (KN)$$

III. 2. 3. Calcul du ferraillage:

Le calcul se fait sur une section rectangulaire pour une bonde de 1 m.

a. Armature longitudinale:

& ELU:

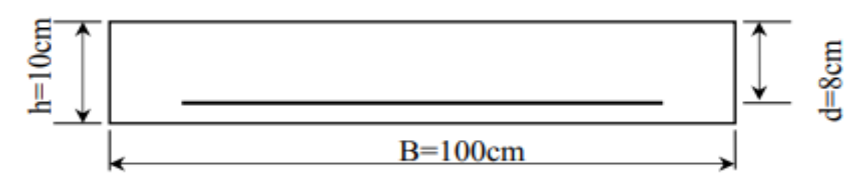


Figure III. 3: La section équivalente de calcule de l'acrotère.

• Epaisseur de la section : h = 0.1m

• Largeur de la section : b=1 m

• Enrobage : c = 0.02 m

• Hauteur utile : d= h-c d= 0.08 m

Les sections soumises à un effort normal de compression sont justifiées vis-à-vis de l'état limite ultime de stabilité de forme conformément à l'article A.4.4 en adoptant une excentricité totale de calcul :

$$e = e_1 + e_2 \dots Selon CBA93 (A.4.3.5) [2]$$

Avec

e₁ : excentricité (dite du premier ordre) de la résultante des contraintes normales, y compris l'excentricité additionnelle définie ci-dessous.

$$e_1 = \frac{M_U}{N_{II}} + e_a = e_0 + e_a$$
 ... Selon **CBA93** (**A.4.3.5**) [2]

e_a: excentricités additionnelles traduisant les imperfections géométriques initiales.

e₂: excentricité due aux effets de deuxième ordre, liés à la déformation de la structure.

• Calcul l'excentricité de la résultante :

$$e_0 = \frac{M_U}{N_U} > \frac{h}{6}$$
 $e_0 = \frac{1.05}{2.848} = 0.368 \text{ m} > \frac{0.7}{6} = 0.116 \text{ m}$

Le centre de pression se trouve à l'extérieure de la section et la section est soumise à un effort normal de compression, donc la section est partiellement comprimée.

• Calcul l'excentricité additionnelle :

$$e_a = max [2cm, \frac{L}{250}] \dots CBA93 (A.4.3.5) [2]$$

L : longueur de la pièce = 90 cm

$$e_a = \max \left[2cm, \frac{70}{250} \right], e_a = \max \left[2cm, 0.28 cm \right], e_a = 2 cm$$

$$e_1 = e_0 + e_a = 0.166 + 0.02 = 0.186 \text{ m}$$

• Calcul l'excentricité due aux effets du second ordre :

L'excentricité du deuxième ordre (e2) liée à la déformation de la structure. Pour déterminer l'excentricité du second ordre, on distingue 2 cas [8] :

 $\frac{L_f}{h} > \max[15, 20 \, \frac{e_1}{h}]$. On doit vérifier la pièce à l'état limite ultime de stabilité de forme (vis-à-vis au flambement).

 $\frac{L_f}{h} \le \max[15, 20 \, \frac{e_1}{h}]$. On détermine l'excentricité e2 de façon forfaitaire, avec

$$e_2 = \frac{3 l_f^2}{10^4 h} (2 + \alpha \phi)$$

L_f: Longueur de flambement de la pièce,

h: hauteur totale de la section dans la direction du flambement.

$$\alpha = \frac{M_G}{M_G + M_Q}$$

φ: Rapport de la déformation finale due au fluage à la déformation instantanée sous la charge considérée pris égal à 2.

Ce qui donne:

$$L_f = 2 \times L_0 = 2 \times 0.7 = 1.40 \text{ m}$$

L₀: Longueur de la pièce

h= hauteur totale de la section dans la direction de flambement.

$$h = 0.1 \, \text{m}$$

$$\frac{L_f}{h} = \frac{1.4}{0.1} = 14 \le \max[15, 20 \times \frac{0.186}{0.1}] = \max[15, 37.2] = 37.2$$

L'excentricité du deuxième ordre (e₂) liée à la déformation de la structure. Pour déterminer

l'excentricité du second ordre :
$$e_2 = \frac{3 l_f^2}{10^4 \text{ h}} (2 + \alpha \phi)$$

$$\alpha = \frac{M_G}{M_G + M_O}$$
 Dans notre cas $M_G = 0$ (KN.m) $\Rightarrow \alpha = 0$

$$e_2 = \frac{3 \times 1.4^2}{10^4 \times 0.1} (2 + 0 \times 2) \implies e_2 = 0.01176 \text{ m}$$

$$e = e_1 + e_2 = 0.186 \text{ m} + 0.01176 = 0.3036 \text{ m}$$

• Les sollicitations majorées :

$$M_{UG} = N_{U} \times e = 2.4885 \times 0.3036 = 0.8648 \text{ (KN.m)}$$

$$M_{Ua} = M_{UG} + N_{U} (d - \frac{h_0}{2})$$

$$M_{Ua} = 0.8648 + 2.4885 (0.08 - \frac{0.1}{2}) \implies M_{Ua} = 0.9394$$

Etape fictive:

$$f_{bu} = \frac{0.85 \times f_{c28}}{v_b} = 14.16 MPa$$

$$\mu = \frac{M_{Ua}}{bd^2 f_{bu}} \Rightarrow \mu = \frac{0.9394 \times 10^{-3}}{0.1 \times 0.08^2 \times 14.16} \Rightarrow \mu = 0.0103$$

$$\mu = 0.0103 < \, \mu_1 = 0.392 \Rightarrow Section simplement armée \, {A'}_S = 0$$

$$\alpha = 1.25(1 - \sqrt{1 - 2\mu}) = 1.25(1 - \sqrt{1 - 2 \times 0.0103}) = 0.01294$$

$$z = d(1 - 0.4\alpha) = 8 \times (1 - 0.4 \times 0.01294) = 7.95 \text{ cm}$$

$$A_{U1} = \frac{M_{UA}}{Z \times \sigma_s}$$

$$\sigma_{S} = \frac{f_{e}}{\gamma_{s}} = \frac{400}{1.15} = 347.82 \text{ MPa}$$

$$A_{U1} = \frac{M_{UA}}{Z \times \sigma_S} = \frac{0.9394 \times 10^6}{79.5 \times 347.82} = 33.97 \text{ mm}^2 = 0.3397 \text{ cm}^2 \approx 0.34 \text{ cm}^2$$

• Retour à la section réelle :

$$A_U = A_{U1} - \frac{N_U}{\sigma_S} = 34 - \frac{2.8485}{347.82} = 25.81 \text{ mm}^2 = 0.2581 \text{ cm}^2$$

• Vérification de condition de non fragilité : BAEL (Art A.4.2,1) [3]

$$A_{min} \ge 0.23 \times b \times d \times \frac{f_{t28}}{f_e}$$

$$A_{\min} \ge 0.23 \times 1000 \times 80 \times \frac{2.1}{400}$$

$$A_{\min} \ge 96.6 \text{ mm}^2 = 0.966 \text{ cm}^2$$

$$A_s = \max(A_{\min}, A_s) \Rightarrow A_s = \max(0.966, 0.2581) \Rightarrow A_s = 0.966 \text{ cm}^2$$

***** ELS:

$$e_s = \frac{M_{ser}}{N_{ser}} = \frac{0.7}{2.11} = 0.33 \text{ m}$$
 , $\frac{h}{6} = \frac{0.1}{6} = 0.016 \text{ m}$ $e_s > \frac{h}{6}$

Donc la section est partiellement comprimée, On calcul la section en flexion simple sous l'effet d'un moment fléchissant par rapport au centre de gravité des armatures tendus.

$$M_{ser/A} = M_{ser} + N_{ser} (d - \frac{h}{2})$$

 $M_{ser/A} = 0.7 + 2.11 \times (0.08 - \frac{0.1}{2})$
 $M_{ser/A} = 0.7633 (KN.m)$

• Calcul du moment limite de service M₁ :

$$\begin{split} &M_1 = \mu_r \, b \, d^2 \, \overline{\sigma}_{bc} \\ &\mu_r \, = \frac{\alpha_r}{2} \times \left(1 - \frac{\alpha_r}{3}\right) \\ &\alpha_r = \frac{15 \overline{\sigma}_{bc}}{15 \overline{\sigma}_{bc} + \overline{\sigma}_{st}} \end{split}$$

La contrainte du béton est donnée à ELS par la formule suivante :

$$\sigma_{\rm bc} = 0.6 \times f_{\rm c28} = 15 \, \rm MPa.$$

La contrainte d'acier, La fissuration est préjudiciable :

$$\overline{\sigma}_{st} = min\left(\frac{2}{3}f_e; 110\sqrt{\eta f_{t28}}\right)$$

L'acier utilise de nuance Fe400 à haute adhérence $\eta = 1,6$

$$\begin{split} \overline{\sigma}_{st} &= \text{min}\left(\frac{2}{3} \text{ 400; } 110\sqrt{1,6 \times 2,1}\right) = \text{min}(266,66; 201,63) => \overline{\sigma}_{st} = 201,63 \text{ MPa} \\ &\Rightarrow \alpha_r = \frac{15\overline{\sigma}_{bc}}{15\overline{\sigma}_{bc} + \overline{\sigma}_{st}} = \frac{15 \times 15}{15 \times 15 + 201,63} = 0,527 \\ &\Rightarrow \mu_r = \frac{\alpha_r}{2} \times \left(1 - \frac{\alpha_r}{3}\right) = \frac{0,527}{2} \times \left(1 - \frac{0,527}{3}\right) = 0,217 \\ &\Rightarrow M_1 = \mu_r b \ d^2 \overline{\sigma}_{bc} = 0,217 \times 1000 \times 80^2 \times 15 = 20,832 \text{ KN. m} \end{split}$$

 $M_1 > M_{ser/A}$ Donc les armatures comprimées ne sont pas nécessaires (A' = 0)

$$\begin{split} Z_r &= d\left(1 - \frac{\alpha_r}{3}\right) = 80\left(1 - \frac{0,527}{3}\right) = 65,946 \text{ mm} \\ A_s &= \frac{M_{\text{ser/A}}}{\overline{\sigma}_{\text{st}} \times Z_r} = \frac{0.7633 \times 10^6}{201,63 \times 65,946} = 57,405 \text{ mm}^2 = 0,57405 \text{ cm}^2 \end{split}$$

Les armatures en flexion composée :

$$A_{\text{ser}} = A_{\text{s}} - \frac{N_{\text{ser}}}{\overline{\sigma}_{\text{st}}} = 57,405 - \frac{2,11 \times 10^3}{201,63} = 46.939 \text{ mm}^2 = 0.46939 \text{ cm}^2$$

• Condition de non fragilité : BAEL (Art A.4.2,1) [2]

$$\begin{split} A_{S \, min} &= \frac{0.23 \, b \times d \times f_{t28}}{f_e} \\ f_{t28} &= 0.6 + 0.06 f_{c28} = 2.1 \text{MPa} \\ A_{S \, min} &= \frac{0.23 \, \times 1000 \times 80 \times 2,1}{400} = 96,6 \text{mm}^2 = 0,966 \text{cm}^2 \\ A_{S} &= \text{max}[A_{IJ}; A_{S \, min}; A_{ser}] \end{split}$$

$$A_S = max[0.2581 \text{ cm}^2; 0.966 \text{ cm}^2; 0.46939]; A_S = 0.966 \text{ cm}^2$$

D'après les résultats ci-dessus on prend $A_S = 0.966 \text{ cm}^2$.

Alors on adopte : $4HA8 = 2,01cm^2$.

Avec un espacement $S_t = \frac{100}{4} = 25 \text{ cm}.$

b. Armatures de répartitions :

$$A_r = \frac{A_S}{4} = \frac{2,01}{4} = 0,502 \text{ cm}^2$$

On adopte $4HA6 = 1,13cm^2$.

Avec un espacement $S_t = \frac{60}{4} = 15$ cm.

c. Vérification de cisaillement :

$$\begin{split} &\tau_{u} < \overline{\tau_{u}} \\ &\tau_{u} = \frac{V_{u}}{b_{o} \times d} = \frac{1.5 \times 10^{3}}{1000 \times 80} = 0,018 \text{ MPa } \textbf{BAEL91 (A.5.1, 1)} \\ &\overline{\tau_{u}} = \min \left(0.15 \frac{f_{c28}}{\gamma_{b}}; 4\text{MPa} \right) = \min(2.5\text{MPa}; 4\text{MPa}) = \ 2.5\text{MPa} \end{split}$$

0,018 MPa < 2,5MPa. Les armatures transversales ne sont pas nécessaires.

III. 2. 4. Schéma de ferraillage d'un acrotère :

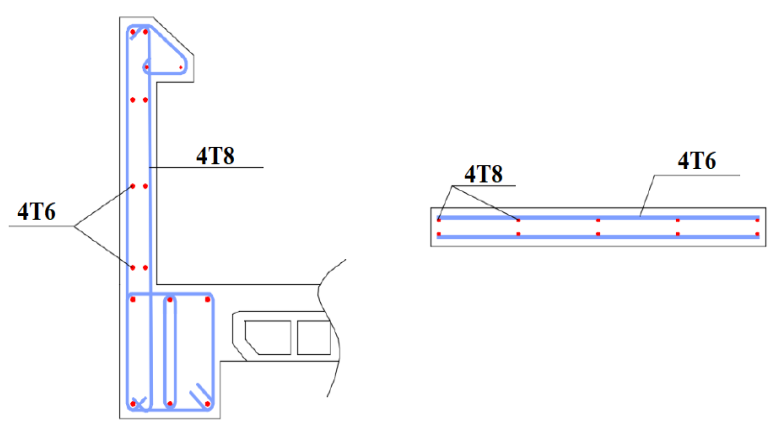


Figure III. 4: Schéma de ferraillage de l'acrotère.

III. 3. LES ESCALIERS:

L'escalier travaille à la flexion simple. On considérer la dalle comme une poutre sollicite à une charge uniformément répartie, et en tenant compte des types d'appuis sur lesquels elle repose.

a. Charges et surcharges :

La volée:

- $G_V = 10.559 \text{ KN/m}^2 \text{ (pour la paillasse 1)}$
- $G_V = 9.177 \text{ KN/m}^2 \text{ (pour la paillasse } (2, 3, 4, 5, 6))$
- $Q_V = 2.5 \text{ KN/m}^2$.

Le palier :

- $G_P = 5.150 \text{ KN/m}^2$
- $Q_P = 2.5 \text{ KN/m}^2$

Avec:

- G_V: Charge permanente de la volée
- Q_V : Charge variable de la volée

- G_P: Charge permanente du palier
- Q_P: Charge variable du palier

b. Schéma statique:

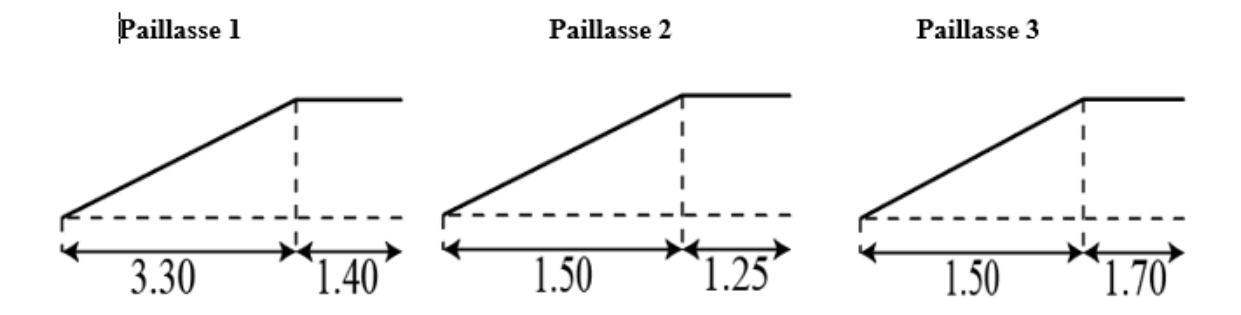


Figure III. 5: Schéma statique d'escalier (RDC).

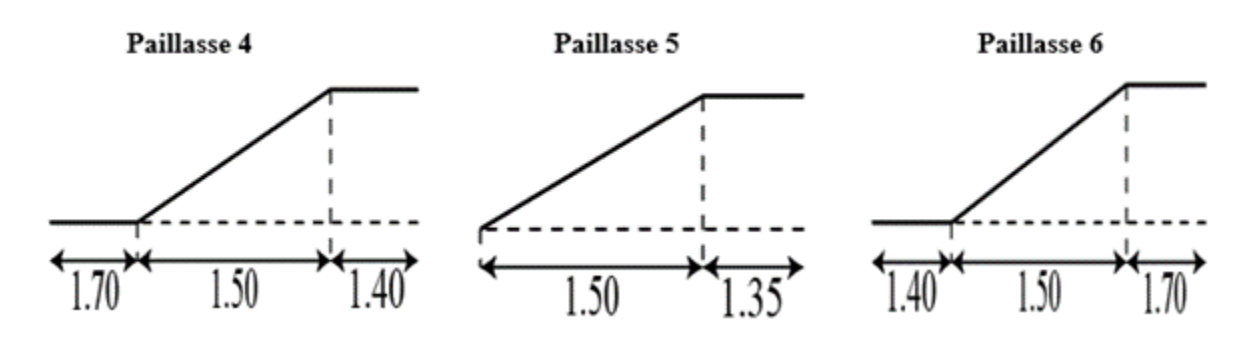


Figure III. 6: Schéma statique d'escalier (ETAGE).

c. Combinaisons des charges :

- ELU: $P_U = 1,35 G + 1,5 Q$.
- ELS: $P_{ser} = G + Q$.

Tableau III. 1: Les combinaisons des charges d'escalier type 1.

| | G (KN/ml) | Q (KN/ml) | ELU (KN/ml) | ELS (KN/ml) |
|---------------------------|-----------|-----------|----------------|----------------|
| Palier | 5.150 | 2.5 | 11.475 | 7.65 |
| Paillasse 1 | 10.559 | 2.5 | 19.648 | 13.099 |
| Paillasse (2, 3, 4, 5, 6) | 9.1774 | 2.5 | 17.516 | 11.677 |

III. 3. 2. Calcul des sollicitations :

a. Paillasse 1:

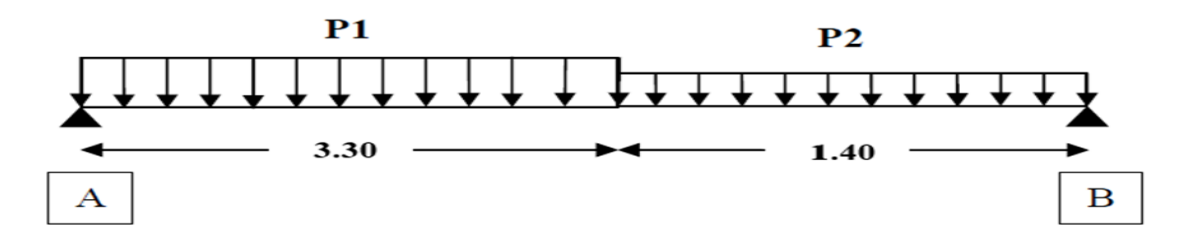


Figure III. 7: Schéma statique de Paillasse 1.

A Calcul des réactions :

ELU:

$$\sum M_{/B} = 0 \implies 4.7R_A - (19.648 \times 3.3 \times 3.05) - (11.475 \times 1.4 \times 0.7) = 0$$

$$R_A = 44.725 \text{ KN}$$

$$\sum F_{/V} = 0 \implies R_A + R_B = (19.648 \times 3.3) + (11.475 \times 1.4)$$

$$R_B = 36.178 \text{ KN}$$

ELS:

ELS:

$$\sum_{M/B} M_{/B} = 0 \implies 4.7R_{A} - (13.099 \times 3.3 \times 3.05) - (7.65 \times 1.4 \times 0.7) = 0$$

$$R_{A} = 30.479 \text{ KN}$$

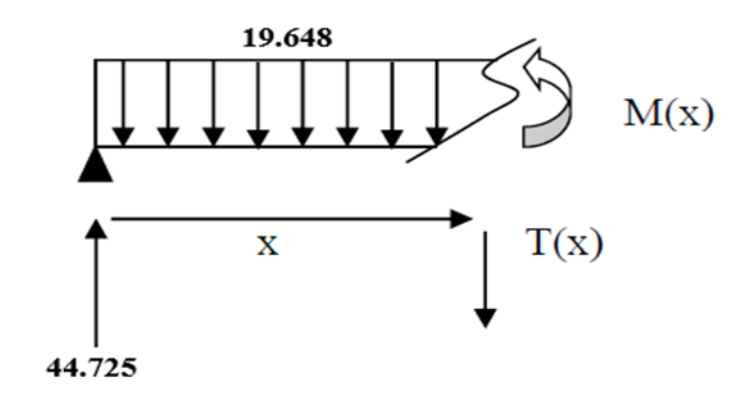
$$\sum_{M/B} F_{/V} = 0 \implies R_{A} + R_{B} = (13.099 \times 3.3) + (7.65 \times 1.4)$$

$$R_{B} = 23.457 \text{ KN}.$$

Calcul des moments et efforts tranchants :

ELU:

Pour: $0 \le x \le 3.3 \text{ m}$



Effort tranchant:

$$\sum F_{/V} = 0 \Rightarrow T(x) = 44.725 - 19.648 x$$

 $\begin{cases} x = 0 \Rightarrow T(x) = 44.725 \text{ KN} \\ x = 3.3 \Rightarrow T(x) = -20.113 \text{ KN} \end{cases}$

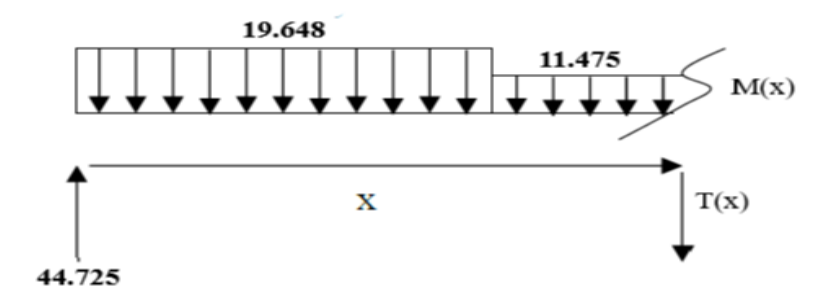
Moment fléchissant:

$$M(x) = 44.725 x - 19.648 \times \frac{x^2}{2}$$

$$\frac{d M(x)}{d x} = 0 \implies 44.725 - 19.648 x = 0 \implies x = 2.276 \text{ m}.$$

$$\begin{cases} x = 0 & \Rightarrow M(x) = 0 \text{ KN. m} \\ x = 2.26 \Rightarrow M(x) = 50.90 \text{ KN. m} \\ x = 3.3 & \Rightarrow M(x) = 40.609 \text{ KN. m} \end{cases}$$

Pour : $3.3 \le x \le 4.7 \text{ m}$



$$\sum_{x \in A} F_{/V} = 0$$

$$\Rightarrow T(x) = -20.113 - 11.475 \times (x - 3.3)$$

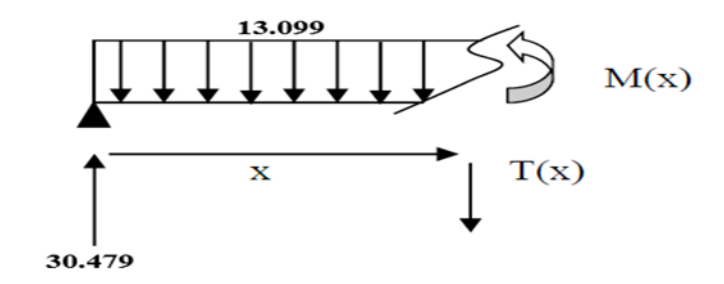
$$\begin{cases} x = 3.3 \Rightarrow T(x) = -20.113 \text{ KN} \\ x = 4.7 \Rightarrow T(x) = -36.178 \text{ KN} \end{cases}$$

Moment fléchissant :

$$\begin{split} M(x) &= 44.725 \ x - 19.648 \ \times 3.3 \ \left(x - \frac{3.3}{2}\right) - 11.475 \ \frac{(x - 3.3)^2}{2} \\ M(x) &= -5.737 \ x^2 + 17.754 \ x + 44.501 \\ \frac{d\ M(x)}{d\ x} &= 0 \ \Rightarrow -11.475 x + 17.754 = 0 \ \Rightarrow x = \ 1.54 \ m \\ \begin{cases} x = 1.54 \ \Rightarrow M(x) = 58.236 \ KN. \ m \\ x = 3.3 \ \Rightarrow M(x) = 40.613 \ KN. \ m \\ x = 4.7 \ \Rightarrow M(x) = 1.214 \ KN. \ m \end{cases} \end{split}$$

ELS:

Pour: $0 \le x \le 3.3 \text{ m}$



Effort tranchant:

$$\sum_{X = 0} F_{/V} = 0 \Rightarrow T(x) = 30.479 - 13.099 x$$

$$\begin{cases} x = 0 \Rightarrow T(x) = 30.479 \ KN \\ x = 3.3 \Rightarrow T(x) = -12.747 \ KN \end{cases}$$

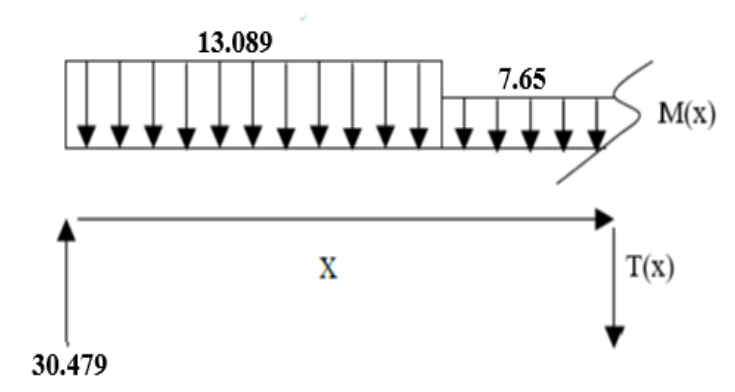
Moment fléchissant :

$$M(x) = 30.479 x - 13.099 \times \frac{x^2}{2}$$

$$\frac{d M(x)}{d x} = 0 \implies 30.479 - 13.099 x = 0 \implies x = 0.42 m$$

$$\begin{cases} x = 0 \implies M(x) = 0 \text{ KN. m} \\ x = 0.42 \implies M(x) = 11.645 \text{ KN. m} \\ x = 3.3 \implies M(x) = 29.256 \text{ KN. m} \end{cases}$$

Pour : $3.3 \le x \le 4.7 \text{ m}$



$$\sum_{x \in A} F_{/V} = 0$$

$$\Rightarrow T(x) = -12.747 - 7.65 \times (x - 3.3)$$

$$\begin{cases} x = 3.3 \Rightarrow T(x) = -12.747 \text{ KN} \\ x = 4.7 \Rightarrow T(x) = -23.457 \text{ KN} \end{cases}$$

Moment fléchissant :

$$\begin{split} M(x) &= 30.479 \text{ x} - 13.099 \times 3.3 \left(x - \frac{3.3}{2} \right) - 7.65 \frac{(x - 3.3)^2}{2} \\ M(x) &= -3.825 x^2 + 12.498 x + 29.67 \\ \frac{d M(x)}{d x} &= 0 \ \Rightarrow -7.65 x + 12.498 = 0 \ \Rightarrow x = 1.63 \text{ m} \\ \begin{cases} x &= 1.63 \ \Rightarrow M(x) = 39.879 \text{ KN. m} \\ x &= 3.3 \Rightarrow M(x) = 29.259 \text{ KN. m} \\ x &= 4.7 \ \Rightarrow M(x) = 3.916 \text{ KN. m} \end{cases} \end{split}$$

On prend la valeur maximale de moment et d'effort tranchant :

Le moment sur appuis : $M_a = 0.5 M_0$ Le moment sur travée : $M_t = 0.85 M_0$

Tableau III. 2: Tableau récapitulatif des sollicitations de paillasse 1.

| Designation | M ₀ (KN.m) | M _a (KN.m) | M_t (KN.m) | $T_{U}(KN)$ |
|-------------|-----------------------|-----------------------|--------------|-------------|
| ELU | 58.236 | 29.118 | 49.5 | 44.725 |
| ELS | 39.879 | 19.938 | 33.897 | 30.479 |

b. Paillasse 2:

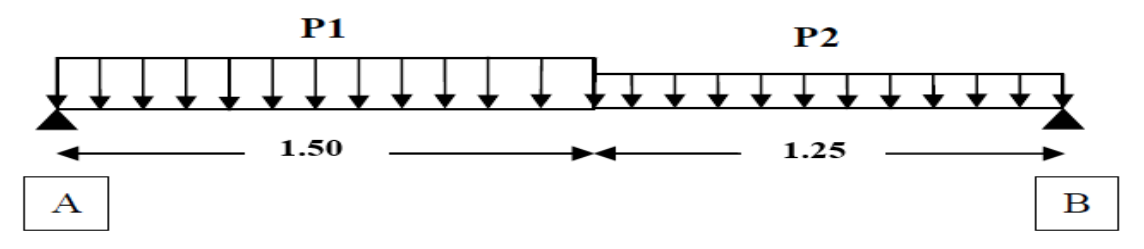


Figure III. 8: Schéma statique de Paillasse 2.

A Calcul des réactions :

ELU:

$$\sum M_{/B} = 0 \implies 2.75R_A - (17.516 \times 1.5 \times 2) - (11.475 \times 1.25 \times 0.625) = 0$$

$$R_A = 22.368 \, KN$$

$$\sum F_{/V} = 0 \implies R_A + R_B = (17.516 \times 1.5) + (11.475 \times 1.25)$$

$$R_B = 18.249 \, KN$$

ELS:

$$\sum M_{/B} = 0 \implies 2.75R_A - (11.677 \times 1.5 \times 2) - (7.65 \times 1.25 \times 0.625) = 0$$

$$R_A = 14.912KN$$

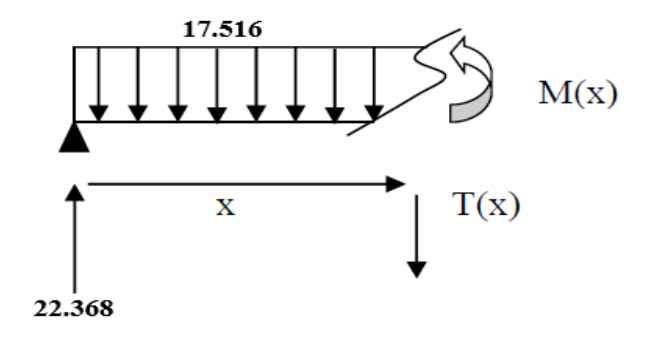
$$\sum F_{/V} = 0 \implies R_A + R_B = (11.677 \times 1.5) + (7.65 \times 1.25)$$

$$R_B = 12.166 KN$$

Calcul des moments et efforts tranchants :

ELU:

Pour: $0 \le x \le 1.50 \text{ m}$



Effort tranchant:

$$\sum_{X \in V} F_{/V} = 0 \Rightarrow T(x) = 22.368 - 17.516 x$$

$$\begin{cases} x = 0 \Rightarrow T(x) = 22.368 \text{ KN} \\ x = 1.5 \Rightarrow T(x) = -3.906 \text{ KN} \end{cases}$$

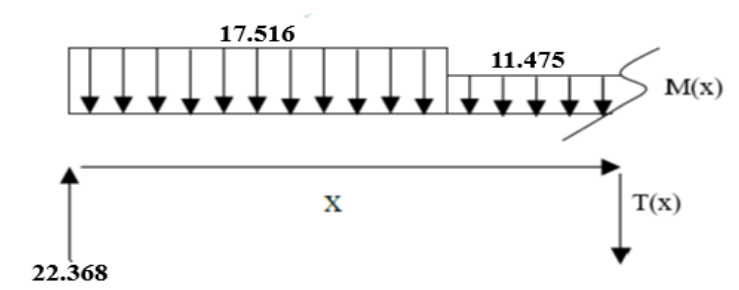
Moment fléchissant :

$$M(x) = 22.368 x - 17.516 \times \frac{x^2}{2}$$

$$\frac{d M(x)}{d x} = 0 \implies 22.368 - 17.516 x = 0 \implies x = 1.27 m$$

$$\begin{cases} x = 0 \implies M(x) = 0 \text{ KN. m} \\ x = 1.27 \implies M(x) = 14.281 \text{ KN. m} \\ x = 1.5 \implies M(x) = 13.846 \text{ KN. m} \end{cases}$$

Pour : $1.5 \le x \le 2.75 \text{ m}$



$$\sum_{x \in T(x)} F_{/V} = 0$$

$$\Rightarrow T(x) = -3.906 - 11.475 \times (x - 1.5)$$

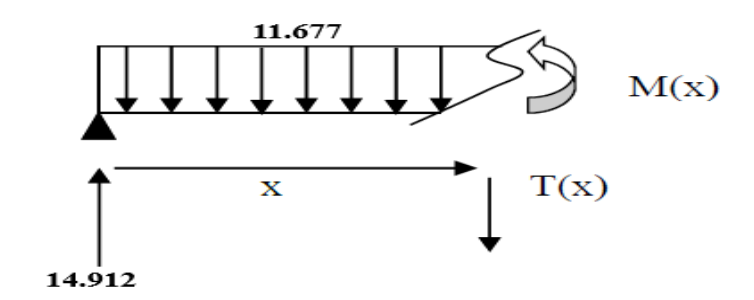
$$\begin{cases} x = 1.5 \Rightarrow T(x) = -3.906 \text{ KN} \\ x = 2.75 \Rightarrow T(x) = -18.249 \text{ KN} \end{cases}$$

Moment fléchissant :

$$\begin{split} M(x) &= 22.368x - 17.516 \, \times 1.5 \left(x - \frac{1.5}{2} \right) - 11.475 \, \frac{(x - 1.5)^2}{2} \\ M(x) &= -5.737 \, x^2 + 13.306 \, x + 6.796 \\ \frac{d \, M(x)}{d \, x} &= 0 \, \Rightarrow -11.475x + 13.306 = 0 \, \Rightarrow x = \, 1.15 \, m \\ \left\{ \begin{matrix} x = 1.15 \, \Rightarrow M(x) = \, 14.51 \, \text{KN. m} \\ x = 1.5 \Rightarrow M(x) = \, 13.846 \, \, \text{KN. m} \\ x = 2.75 \, \Rightarrow M(x) = 0.001 \, \text{KN. m} \end{matrix} \right. \end{split}$$

ELS:

Pour: $0 \le x \le 1.5m$



Effort tranchant:

$$\sum_{X = 0} F_{/V} = 0 \Rightarrow T(x) = 14.912 - 11.677 x$$

$$\begin{cases} x = 0 \Rightarrow T(x) = 14.912 \text{ KN} \\ x = 1.5 \Rightarrow T(x) = -2.603 \text{ KN} \end{cases}$$

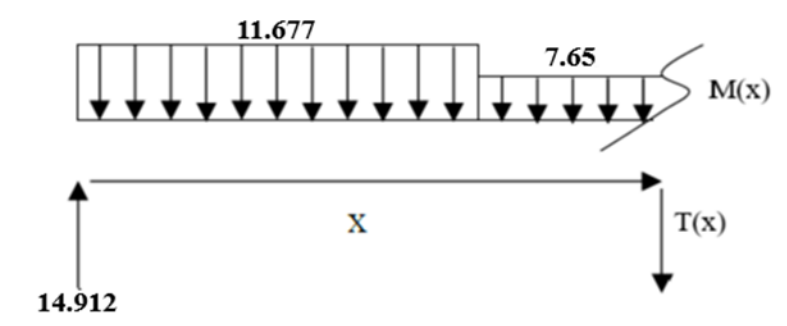
Moment fléchissant :

$$M(x) = 14.912 x - 11.677 \times \frac{x^2}{2}$$

$$\frac{d M(x)}{d x} = 0 \implies 14.912 - 11.677 x = 0 \implies x = 1.27 m$$

$$\begin{cases} x = 0 \implies M(x) = 0 \text{ KN. m} \\ x = 1.27 \implies M(x) = 9.52 \text{ KN. m} \\ x = 1.5 \implies M(x) = 9.243 \text{ KN. m} \end{cases}$$

Pour : $1.5 \le x \le 2.75 \text{ m}$



$$\sum F_{/V} = 0$$

$$\Rightarrow T(x) = -2.603 - 7.65 \times (x - 1.5)$$

$$\begin{cases} x = 1.5 \Rightarrow T(x) = -2.603 \text{ KN} \\ x = 2.75 \Rightarrow T(x) = -12.165 \text{ KN} \end{cases}$$

Moment fléchissant :

$$\begin{split} M(x) &= 14.912 \text{ x} - 11.677 \times 1.5 \left(x - \frac{1.5}{2} \right) - 7.65 \frac{(x - 1.5)^2}{2} \\ M(x) &= -3.825 x^2 + 8.872 x + 4.53 \\ \frac{d M(x)}{d x} &= 0 \ \Rightarrow -7.65 x + 8.872 = 0 \ \Rightarrow x = 1.15 \text{ m} \\ \begin{cases} x &= 1.15 \ \Rightarrow M(x) = 9.674 \text{ KN. m} \\ x &= 1.5 \Rightarrow M(x) = 9.23 \text{ KN. m} \\ x &= 2.75 \ \Rightarrow M(x) = 0.001 \text{ KN. m} \end{cases} \end{split}$$

On prend la valeur maximale de moment et d'effort tranchant :

Le moment sur appuis : M_a = 0.5 M_0 Le moment sur travée : M_t = 0.85 M_0

Tableau III. 3: Tableau récapitulatif des sollicitations de paillasse 2

| Designation | M ₀ (KN. m) | M _a (KN. m) | $M_t(KN. m)$ | $T_{U}(KN. m)$ |
|-------------|------------------------|------------------------|--------------|----------------|
| ELU | 14.51 | 7.225 | 12.333 | 22.368 |
| ELS | 9.674 | 4.837 | 8.222 | 14.912 |

c. Paillasse 3:

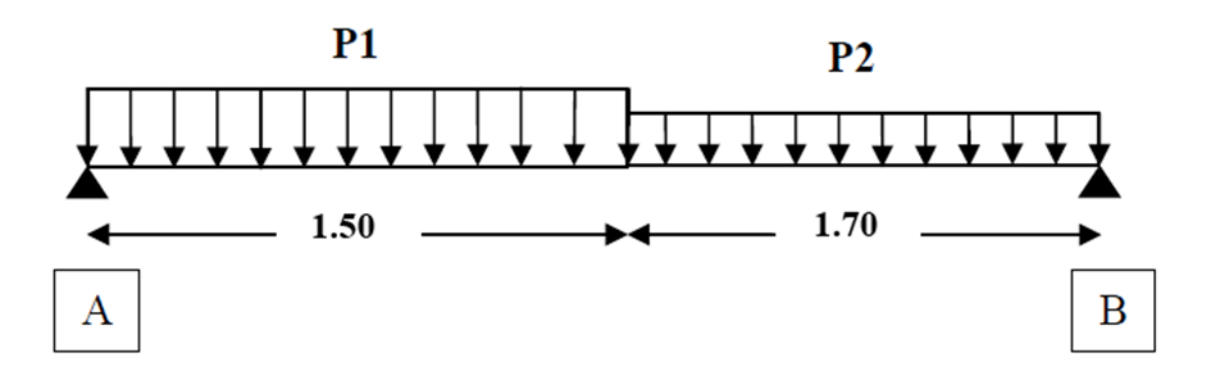


Figure III. 9: Schéma statique de Paillasse 3.

Calcul des réactions :

ELU:

$$\sum M_{/B} = 0 \implies 3.2R_A - (17.516 \times 1.5 \times 2.45) - (11.475 \times 1.70 \times 0.85) = 0$$

$$R_A = 25.28 \text{ KN}$$

$$\sum F_{/V} = 0 \implies R_A + R_B = (17.516 \times 1.5) + (11.475 \times 1.70)$$

$$R_B = 20.50 \text{ KN}$$

ELS:

$$\sum M_{/B} = 0 \implies 3.2R_A - (11.677 \times 1.5 \times 2.45) - (7.65 \times 1.70 \times 0.85) = 0$$

$$R_A = 16.86$$

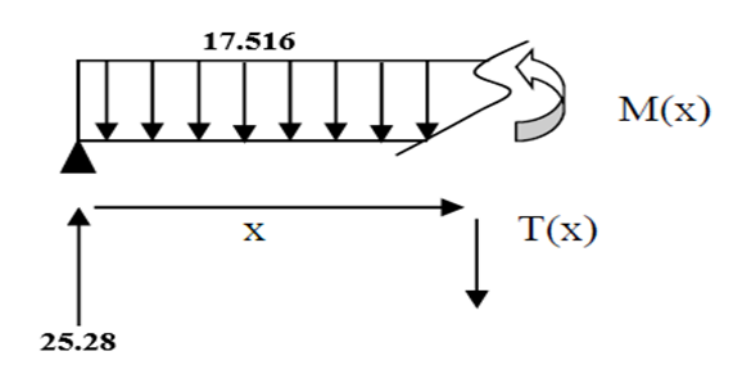
$$\sum F_{/V} = 0 \implies R_A + R_B = (11.677 \times 1.5) + (7.65 \times 1.70)$$

$$R_B = 13.66 \text{ KN}$$

Calcul des moments et efforts tranchants :

ELU:

Pour : $0 \le x \le 1.50 \text{ m}$



Effort tranchant:

$$\sum_{\{x = 0 \Rightarrow T(x) = 25.28 - 17.516 x\}} F_{/V} = 0 \Rightarrow T(x) = 25.28 \text{ KN}$$
$$\{x = 0 \Rightarrow T(x) = 25.28 \text{ KN}$$
$$\{x = 1.5 \Rightarrow T(x) = -0.944 \text{ KN}\}$$

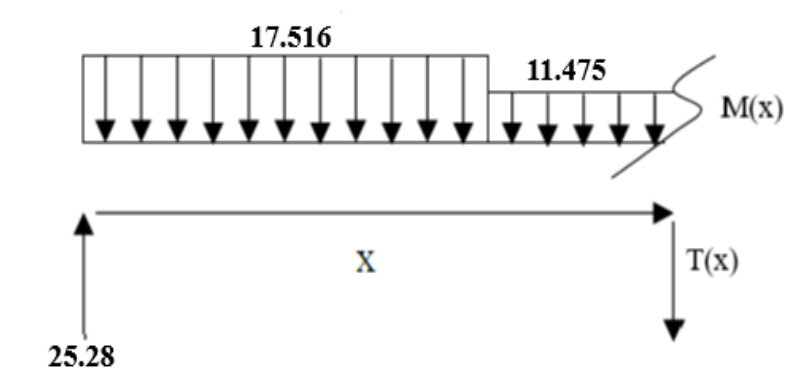
Moment fléchissant :

$$M(x) = 25.28 \ x - 17.516 \times \frac{x^2}{2}$$

$$\frac{d \ M(x)}{d \ x} = 0 \Rightarrow 25.28 - 17.516 \ x = 0 \Rightarrow x = 1.44 \ m$$

$$\begin{cases} x = 0 & \Rightarrow M(x) = 0 \ KN. m \\ x = 1.44 \Rightarrow M(x) = 18.242 \ KN. m \\ x = 1.5 & \Rightarrow M(x) = 18.214 \ KN. m \end{cases}$$

Pour : $1.5 \le x \le 3.2 \text{ m}$



$$\sum_{x \in T(x)} F_{/V} = 0$$

$$\Rightarrow T(x) = -0.944 - 11.475 \times (x - 1.5)$$

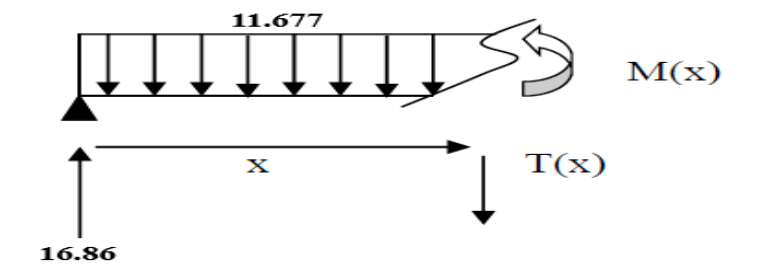
$$\begin{cases} x = 1.5 \Rightarrow T(x) = -0.944 \text{ KN} \\ x = 3.2 \Rightarrow T(x) = -20.451 \text{ KN} \end{cases}$$

Moment fléchissant :

$$\begin{split} M(x) &= 25.28x - 17.516 \, \times 1.5 \left(x - \frac{1.5}{2} \right) - 11.475 \, \frac{(x - 1.5)^2}{2} \\ M(x) &= -5.737 \, x^2 + 16.217 \, x + 6.796 \\ \frac{d \, M(x)}{d \, x} &= 0 \, \Rightarrow -11.475x + 16.217 = 0 \, \Rightarrow x = \, 1.41 \, \, m \\ \left\{ \begin{matrix} x = 1.41 \, \Rightarrow M(x) = \, 18.52 \, \text{KN. m} \\ x = 1.5 \, \Rightarrow M(x) = \, 18.213 \, \, \text{KN. m} \\ x = 3.2 \, \Rightarrow M(x) = 0.05 \, \text{KN. m} \end{matrix} \right. \end{split}$$

ELS:

Pour: $0 \le x \le 1.5m$



Effort tranchant:

$$\sum F_{/V} = 0 \Rightarrow T(x) = 16.86 - 11.677 x$$

$$\begin{cases} x = 0 \Rightarrow T(x) = 16.86 \text{ KN} \\ x = 1.5 \Rightarrow T(x) = -0.655 \text{ KN} \end{cases}$$

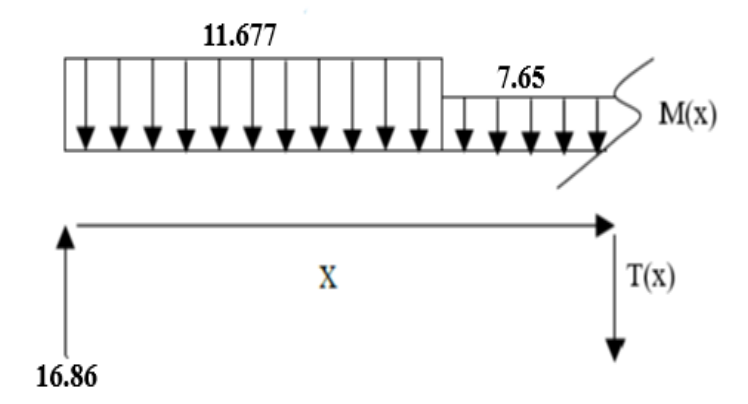
Moment fléchissant :

$$M(x) = 16.86 x - 11.677 \times \frac{x^2}{2}$$

$$\frac{d M(x)}{d x} = 0 \implies 16.86 - 11.677 x = 0 \implies x = 1.44 m$$

$$\begin{cases} x = 0 & \Rightarrow M(x) = 0 \text{ KN. m} \\ x = 1.44 & \Rightarrow M(x) = 12.162 \text{ KN. m} \\ x = 1.5 & \Rightarrow M(x) = 12.153 \text{ KN. m} \end{cases}$$

Pour : $1.5 \le x \le 3.2 \text{ m}$



$$\sum_{x \in T(x)} F_{/V} = 0$$

$$\Rightarrow T(x) = -0.655 - 7.65 \times (x - 1.5)$$

$$\begin{cases} x = 1.5 \Rightarrow T(x) = -0.655 \text{ KN} \\ x = 3.2 \Rightarrow T(x) = -13.66 \text{ KN} \end{cases}$$

Moment fléchissant :

$$M(x) = 16.86 \text{ x} - 11.677 \times 1.5 \left(x - \frac{1.5}{2}\right) - 7.65 \frac{(x - 1.5)^2}{2}$$

$$M(x) = -3.825x^2 + 10.819 x + 4.53$$

$$\frac{d M(x)}{d x} = 0 \Rightarrow -7.65x + 10.819 = 0 \Rightarrow x = 1.41 \text{ m}$$

$$\begin{cases} x = 1.41 \Rightarrow M(x) = 12.18 \text{ KN. m} \\ x = 1.5 \Rightarrow M(x) = 12.153 \text{ KN. m} \\ x = 3.2 \Rightarrow M(x) = 0.01 \text{ KN. m} \end{cases}$$

On prend la valeur maximale de moment et d'effort tranchant :

Le moment sur appuis : $M_a = 0.5 M_0$ Le moment sur travée : $M_t = 0.85 M_0$

Tableau III. 4: Tableau récapitulatif des sollicitations de paillasse 3.

| Designation | M ₀ (KN.m) | M _a (KN.m) | M _t (KN.m) | T _U (KN) |
|-------------|-----------------------|-----------------------|-----------------------|---------------------|
| ELU | 18.52 | 9.26 | 15.74 | 25.28 |
| ELS | 12.18 | 6.09 | 10.353 | 16.86 |

d. Paillasse 4 et 6:

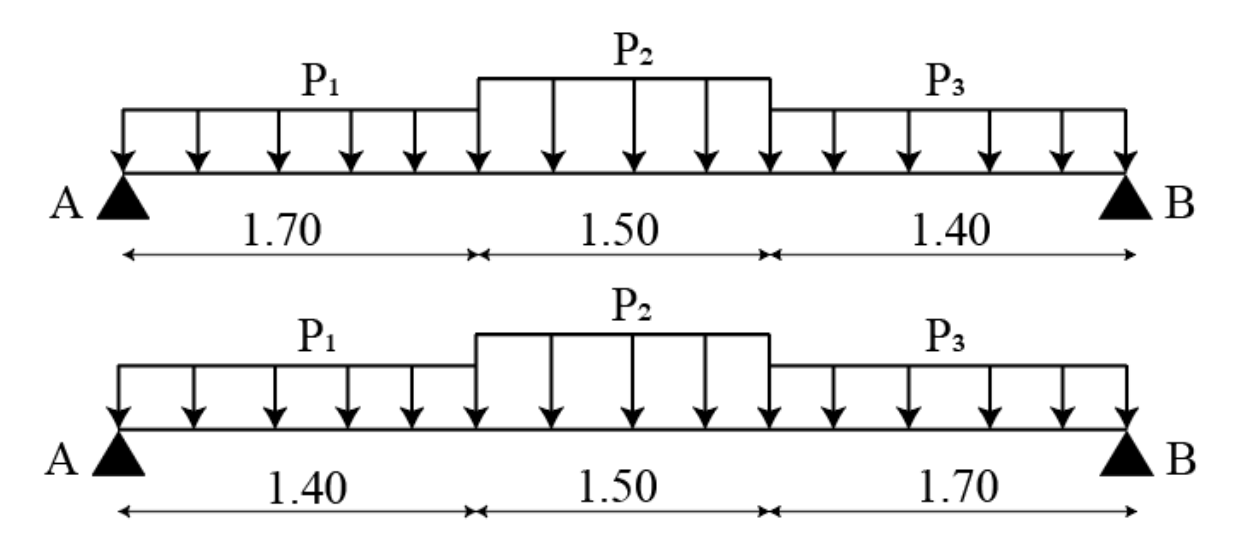


Figure III. 10: Schéma statique de Paillasse 4 et 6.

Calcul des réactions :

ELU:

$$\sum M_{/B} = 0 \implies 4.6R_A - (11.475 \times 1.7 \times 3.75) - (17.516 \times 1.50 \times 2.15)$$
$$- (11.475 \times 1.40 \times 0.7) = 0$$
$$R_A = 30.62 \, KN$$
$$\sum F_{/V} = 0 \implies R_A + R_B = (11.475 \times 1.70) + (17.516 \times 1.5) + (11.475 \times 1.40)$$
$$R_B = 31.22 \, KN$$

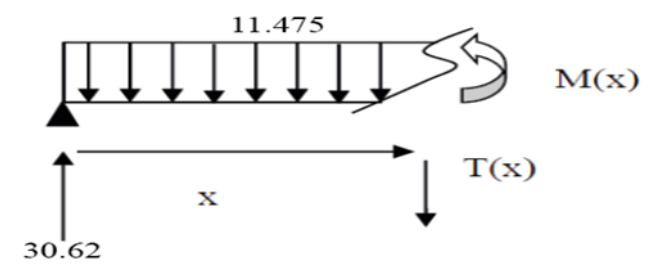
ELS:

$$\sum M_{/B} = 0 \implies 4.6R_A - (7.65 \times 1.7 \times 3.75) - (11.677 \times 1.50 \times 2.15)$$
$$- (7.65 \times 1.40 \times 0.7) = 0$$
$$R_A = 20.41$$
$$\sum F_{/V} = 0 \implies R_A + R_B = (7.65 \times 1.70) + (11.677 \times 1.5) + (7.65 \times 1.40)$$
$$R_B = 20.73 \ KN$$

Calcul des moments et efforts tranchants :

ELU:

Pour: $0 \le x \le 1.70 \text{ m}$



Effort tranchant:

$$\sum_{X \in \mathcal{F}_{/V}} F_{/V} = 0 \Rightarrow T(x) = 30.62 - 11.475 x$$

$$\begin{cases} x = 0 \Rightarrow T(x) = 30.62 \text{ KN} \\ x = 1.7 \Rightarrow T(x) = 11.11 \text{ KN} \end{cases}$$

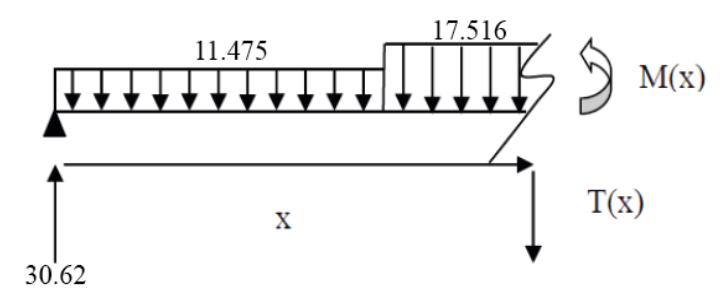
Moment fléchissant :

$$M(x) = 30.62x - 11.475 \times \frac{x^2}{2}$$

$$\frac{d M(x)}{d x} = 0 \implies 30.62 - 11.475x = 0 \implies x = 2.66 \text{ m}$$

$$\begin{cases} x = 0 \implies M(x) = 0 \text{ KN. m} \\ x = 1.7 \implies M(x) = 35.472 \text{ KN. m} \\ x = 2.66 \implies M(x) = 40.852 \text{ KN. m} \end{cases}$$

Pour : $1.7 \le x \le 3.2 \text{ m}$



$$\sum_{x \in T(x)} F_{/V} = 0$$

$$\Rightarrow T(x) = 11.11 - 17.516 \times (x - 1.7)$$

$$\begin{cases} x = 1.7 \Rightarrow T(x) = 11.11 \text{ KN} \\ x = 3.2 \Rightarrow T(x) = -15.164 \text{ KN} \end{cases}$$

Moment fléchissant :

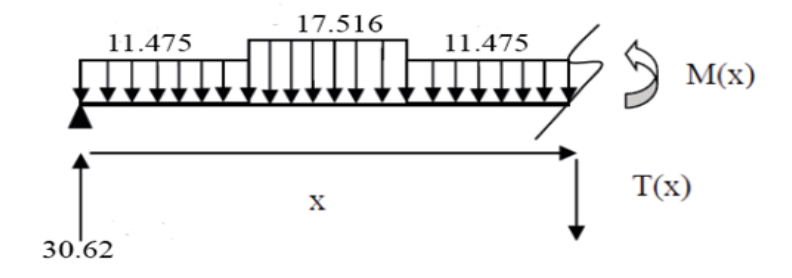
$$M(x) = 30.62x - 11.475 \times 1.7 \left(x - \frac{1.7}{2}\right) - 17.516 \frac{(x - 1.7)^2}{2}$$

$$M(x) = -8.758 x^2 + 40.89 x - 8.729$$

$$\frac{d M(x)}{d x} = 0 \Rightarrow -17.516x + 40.89 = 0 \Rightarrow x = 2.33 \text{ m}$$

$$\begin{cases} x = 1.7 \Rightarrow M(x) = 35.472 \text{ KN. m} \\ x = 2.33 \Rightarrow M(x) = 37.77 \text{ KN. m} \\ x = 3.2 \Rightarrow M(x) = 32.437 \text{ KN. m} \end{cases}$$

Pour : $3.2 \le x \le 4.6 \text{ m}$



$$\sum_{x \in A} F_{/V} = 0$$

$$\Rightarrow T(x) = -15.164 - 11.475 \times (x - 3.2)$$

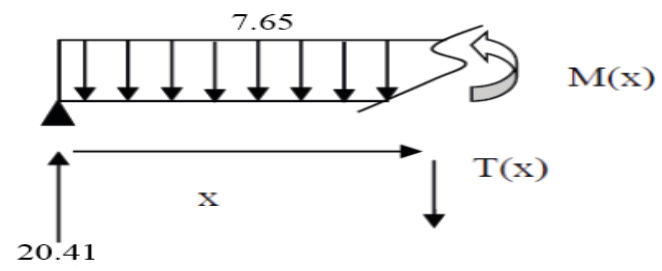
$$\begin{cases} x = 3.2 \Rightarrow T(x) = -15.164 \text{ KN} \\ x = 4.6 \Rightarrow T(x) = -31.229 \text{ KN} \end{cases}$$

Moment fléchissant :

$$\begin{split} M(x) &= 30.62x - 11.475 \times 1.7 \left(x - \frac{1.7}{2} \right) - 17.516 \times 1.5 (x - 2.45) - 11.475 \frac{(x - 3.2)^2}{2} \\ M(x) &= -5.7375 \, x^2 + 21.559 \, x + 22.2 \\ \frac{d \, M(x)}{d \, x} &= 0 \, \Rightarrow -11.475x + 21.559 = 0 \, \Rightarrow x = 1.87m \\ \left\{ \begin{matrix} x = 1.87 \, \Rightarrow M(x) = 42.343 \text{KN. m} \\ x = 3.2 \Rightarrow M(x) = 32.437 \, \text{KN. m} \\ x = 4.6 \, \Rightarrow M(x) = 0.03 \, \text{KN. m} \end{matrix} \right. \end{split}$$

ELS:

Pour: $0 \le x \le 1.70 \text{ m}$



Effort tranchant:

$$\sum_{X \in \mathcal{F}_{/V}} F_{/V} = 0 \Rightarrow T(x) = 20.41 - 7.65 x$$

$$\begin{cases} x = 0 \Rightarrow T(x) = 20.41 \text{ KN} \\ x = 1.7 \Rightarrow T(x) = 7.405 \text{ KN} \end{cases}$$

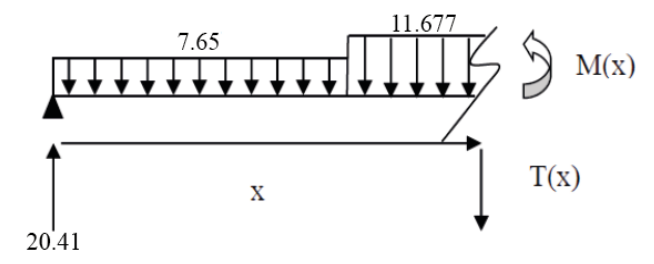
Moment fléchissant :

$$M(x) = 20.41x - 7.65 \times \frac{x^2}{2}$$

$$\frac{d M(x)}{d x} = 0 \implies 20.41 - 7.65x = 0 \implies x = 2.66 \text{ m}$$

$$\begin{cases} x = 0 \implies M(x) = 0 \text{ KN. m} \\ x = 1.7 \implies M(x) = 23.642 \text{ KN. m} \\ x = 2.66 \implies M(x) = 27.226 \text{ KN. m} \end{cases}$$

Pour : $1.7 \le x \le 3.2 \text{ m}$



$$\sum_{x \in T(x)} F_{/V} = 0$$

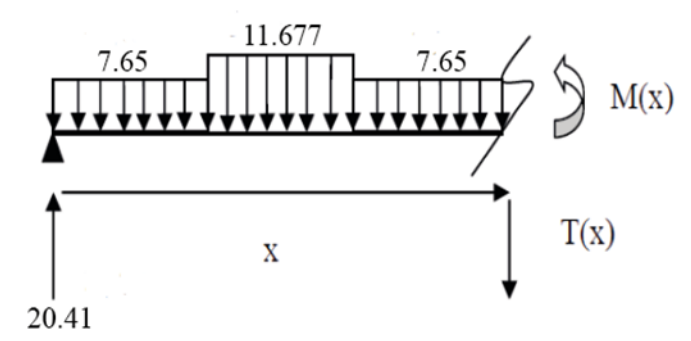
$$\Rightarrow T(x) = 7.405 - 11.667 \times (x - 1.7)$$

$$\begin{cases} x = 1.7 \Rightarrow T(x) = 11.11 \text{ KN} \\ x = 3.2 \Rightarrow T(x) = -10.095 \text{ KN} \end{cases}$$

Moment fléchissant :

$$\begin{split} M(x) &= 20.41x - 7.65 \times 1.7 \left(x - \frac{1.7}{2} \right) - 11.667 \frac{(x - 1.7)^2}{2} \\ M(x) &= -5.8335 \, x^2 + 27.238x - 5.804 \\ \frac{d \, M(x)}{d \, x} &= 0 \, \Rightarrow -11.667x - 27.238 = 0 \, \Rightarrow x = \, 2.33 \, \text{m} \\ \left\{ \begin{matrix} x = 1.7 \, &\Rightarrow M(x) = \, 23.642 \, \text{KN. m} \\ x = \, 2.33 \, \Rightarrow M(x) = \, 25.99 \, \text{KN. m} \\ x = \, 3.2 \, &\Rightarrow M(x) = \, 21.622 \, \text{KN. m} \end{matrix} \right. \end{split}$$

Pour : $3.2 \le x \le 4.6 \text{ m}$



$$\sum_{x \in \mathbb{R}} F_{/V} = 0$$

$$\Rightarrow T(x) = -10.095 - 7.65 \times (x - 3.2)$$

$$\begin{cases} x = 3.2 \Rightarrow T(x) = -10.095 \text{ KN} \\ x = 4.6 \Rightarrow T(x) = -20.805 \text{ KN} \end{cases}$$

Moment fléchissant :

$$\begin{split} &M(x) = 20.41x - 7.65 \times 1.7 \left(x - \frac{1.7}{2} \right) - 11.677 \times 1.5 (x - 2.45) - 7.65 \frac{(x - 3.2)^2}{2} \\ &M(x) = -3.825x^2 + 14.37 \ x + 14.798 \\ &\frac{d\ M(x)}{d\ x} = 0 \ \Rightarrow -7.65x + 14.37 = 0 \ \Rightarrow x = 1.87m \\ &\left\{ \begin{aligned} &x = 1.87 \ \Rightarrow M(x) = 28.294 \ \text{KN.} \ m \\ &x = 3.2 \Rightarrow M(x) = 21.622 \ \text{KN.} \ m \\ &x = 4.6 \ \Rightarrow M(x) = 0 \ \text{KN.} \ m \end{aligned} \right. \end{split}$$

On prend la valeur maximale de moment et d'effort tranchant :

Le moment sur appuis : $M_a = 0.5 M_0$ Le moment sur travée : $M_t = 0.85 M_0$

Tableau III. 5: Tableau récapitulatif des sollicitations de paillasse 4 et 6.

| Désignation | M ₀ (KN.m) | M _a (KN.m) | M_t (KN.m) | $T_{U}(KN)$ |
|-------------|-----------------------|-----------------------|--------------|-------------|
| ELU | 42.343 | 7.642 | 12.99 | -31.229 |
| ELS | 28.294 | 8.66 | 10.353 | -20.805 |

e. Paillasse 5:

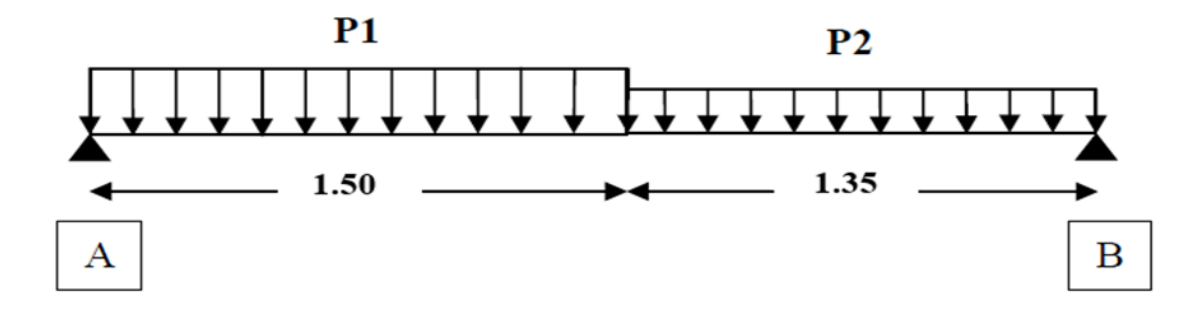


Figure III. 11: Schéma statique de Paillasse 5.

Calcul des réactions :

ELU:

$$\sum M_{/B} = 0 \implies 2.85R_A - (17.516 \times 1.5 \times 2.1) - (11.475 \times 1.35 \times 0.675) = 0$$

$$R_A = 23.02 \text{ KN}$$

$$\sum F_{/V} = 0 \implies R_A + R_B = (17.516 \times 1.5) + (11.475 \times 1.35)$$

$$R_B = 18.74 \text{ KN}$$

ELS:

$$\sum M_{/B} = 0 \implies 2.85R_A - (11.677 \times 1.5 \times 2.21) - (7.65 \times 1.35 \times 0.675) = 0$$

$$R_A = 15.35 \text{ KN}$$

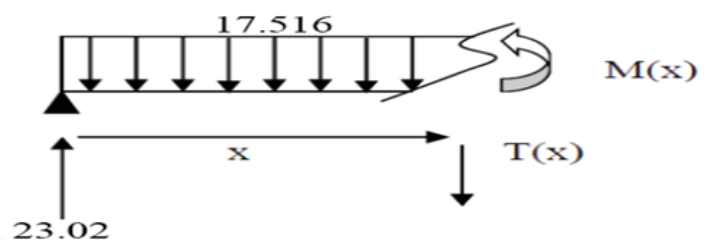
$$\sum F_{/V} = 0 \implies R_A + R_B = (11.677 \times 1.5) + (7.65 \times 1.35)$$

$$R_B = 12.53 \text{ KN}$$

Calcul des moments et efforts tranchants :

ELU:

Pour: $0 \le x \le 1.50 \text{ m}$



Effort tranchant:

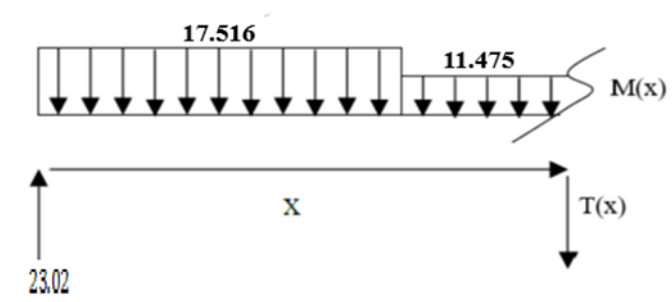
$$\sum_{X \in \mathcal{F}_{/V}} F_{/V} = 0 \Rightarrow T(x) = 23.02 - 17.516 x$$

$$\begin{cases} x = 0 \Rightarrow T(x) = 23.02 \text{ KN} \\ x = 1.5 \Rightarrow T(x) = -3.254 \text{ KN} \end{cases}$$

Moment fléchissant :

$$\begin{split} M(x) &= 23.02 \ x - 17.516 \times \frac{x^2}{2} \\ \frac{d \ M(x)}{d \ x} &= 0 \ \Rightarrow \ 23.02 \ - 17.516 \ x = 0 \ \Rightarrow x = 1.31 \ m \\ \begin{cases} x &= 0 \ \Rightarrow M(x) = 0 \ \text{KN. m} \\ x &= 1.31 \ \Rightarrow M(x) = 15.216 \ \text{KN. m} \\ x &= 1.5 \ \Rightarrow M(x) = 14.824 \ \text{KN. m} \\ \end{cases} \end{split}$$

Pour : $1.5 \le x \le 2.85 \text{ m}$



$$\sum F_{/V} = 0$$

$$\Rightarrow T(x) = -3.254 - 11.475 \times (x - 1.5)$$

$$\begin{cases} x = 1.5 \Rightarrow T(x) = -3.254 \text{ KN} \\ x = 2.85 \Rightarrow T(x) = -18.745 \text{ KN} \end{cases}$$

Moment fléchissant :

$$M(x) = 23.02x - 17.516 \times 1.5 \left(x - \frac{1.5}{2}\right) - 11.475 \frac{(x - 1.5)^2}{2}$$

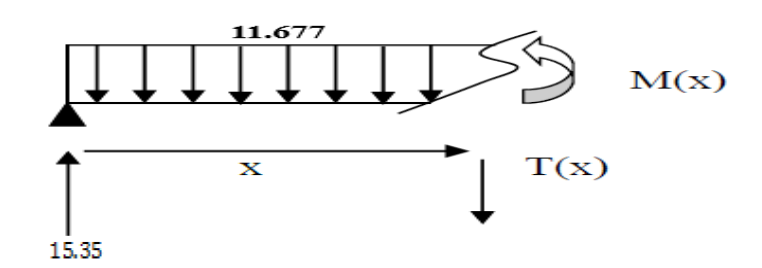
$$M(x) = -5.737 x^2 + 13.957x + 6.796$$

$$\frac{d M(x)}{d x} = 0 \Rightarrow -11.475x + 13.957 = 0 \Rightarrow x = 1.21 \text{ m}$$

$$\begin{cases} x = 1.21 \Rightarrow M(x) = 15.284 \text{ KN. m} \\ x = 1.5 \Rightarrow M(x) = 14.824 \text{ KN. m} \\ x = 2.85 \Rightarrow M(x) = 0.02 \text{ KN. m} \end{cases}$$

ELS:

Pour: $0 \le x \le 1.5m$



Effort tranchant:

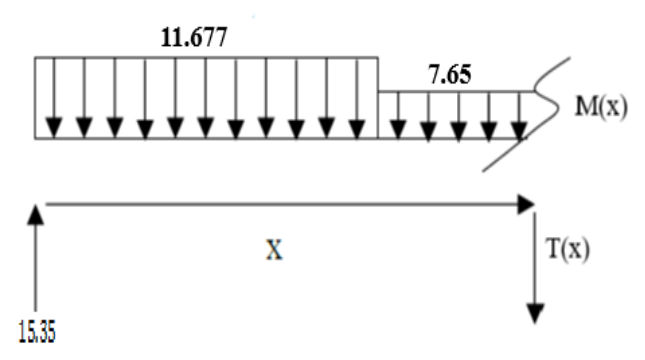
$$\sum_{X} F_{/V} = 0 \Rightarrow T(x) = 15.35 - 11.677 x$$

$$\begin{cases} x = 0 \Rightarrow T(x) = 15.35 \text{ KN} \\ x = 1.5 \Rightarrow T(x) = -2.16 \text{ KN} \end{cases}$$

Moment fléchissant :

$$\begin{split} M(x) &= 15.35 \, x - 11.677 \times \frac{x^2}{2} \\ \frac{d \, M(x)}{d \, x} &= 0 \ \Rightarrow 15.35 - 11.677 \, x = 0 \ \Rightarrow x = 1.31 \, m \\ \begin{cases} x &= 0 \ \Rightarrow M(x) = 0 \, \text{KN. m} \\ x &= 1.31 \, \Rightarrow M(x) = 10.08 \, \text{KN. m} \\ x &= 1.5 \ \Rightarrow M(x) = 9.88 \, \text{KN. m} \end{split}$$

Pour : $1.5 \le x \le 2.85 \text{ m}$



$$\sum_{x \in T(x)} F_{/V} = 0$$

$$\Rightarrow T(x) = -2.16 - 7.65 \times (x - 1.5)$$

$$\begin{cases} x = 1.5 \Rightarrow T(x) = -2.16 \ KN \\ x = 2.85 \Rightarrow T(x) = -12.487 \ KN \end{cases}$$

Moment fléchissant :

$$M(x) = 15.35 x - 11.677 \times 1.5 \left(x - \frac{1.5}{2}\right) - 7.65 \frac{(x - 1.5)^2}{2}$$

$$M(x) = -3.825x^2 + 9.309 x + 4.53$$

$$\frac{d M(x)}{d x} = 0 \Rightarrow -7.65x + 9.309 = 0 \Rightarrow x = 1.21 m$$

$$\begin{cases} x = 1.21 & \Rightarrow M(x) = 10.19 \text{ KN. m} \\ x = 1.5 \Rightarrow M(x) = 9.88 \text{ KN. m} \\ x = 2.85 & \Rightarrow M(x) = 0 \text{ KN. m} \end{cases}$$

On prend la valeur maximale de moment et d'effort tranchant :

Le moment sur appuis : $M_a = 0.5 M_0$ Le moment sur travée : $M_t = 0.85 M_0$

Tableau III. 6: Tableau récapitulatif des sollicitations de paillasse 5.

| Designation | M ₀ (KN.m) | M _a (KN.m) | M _t (KN.m) | T _U (KN) |
|-------------|-----------------------|-----------------------|-----------------------|---------------------|
| ELU | 15.284 | 7.642 | 12.99 | 23.02 |
| ELS | 5.09 | 8.66 | 10.353 | 15.35 |

❖ Les résultats sont regroupés dans les tableaux qui suit :

Tableau III. 7: Tableau récapitulatif des sollicitations générale.

| | Designation | M ₀ (KN.m) | M _a (KN.m) | M _t (KN.m) | T _U (KN) |
|----------------|-------------|-----------------------|-----------------------|-----------------------|---------------------|
| Paillasse 1 | ELU | 58.236 | 29.118 | 49.5 | 44.725 |
| r amasse 1 | ELS | 39.879 | 19.938 | 33.897 | 30.479 |
| Paillasse 2 | ELU | 14.51 | 7.225 | 12.333 | 22.368 |
| ramasse 2 | ELS | 9.674 | 4.837 | 8.222 | 14.912 |
| Paillasse 3 | ELU | 18.52 | 9.26 | 15.74 | 25.28 |
| ramasse 3 | ELS | 12.18 | 6.09 | 10.353 | 16.86 |
| Paillasse 4 et | ELU | 42.343 | 7.642 | 12.99 | -31.229 |
| 6 | ELS | 28.294 | 8.66 | 10.353 | -20.805 |
| Paillasse 5 | ELU | 15.284 | 7.642 | 12.99 | 23.02 |
| 1 amasse 3 | ELS | 5.09 | 8.66 | 10.353 | 15.35 |

NOTE 1:

A partir des résultats obtenus, nous suggérons deux types de ferraillage :

Le premier type : Pour (Paillasse 1)

Le deuxième type : Pour (Paillasse 2, Paillasse 3, Paillasse 4, Paillasse 5, Paillasse 6).

NOTE 2:

Les armatures seront calculées sous les sollicitations les plus défavorables.

NOTE 3:

Les résultats sont similaires et il n'y aura pas d'impact économique.

NOTE 4:

Dans notre cas, les escaliers relies directement au voile, donc n'étudie pas la poutre palière.

III. 3. 3. Calcul des armatures :

a. Le premier type:

Armatures longitudinales :

$$\begin{split} f_e &= 400 \text{ MPa}, \ \sigma_s = 347.82 \text{ MPa}, \ f_{bu} = 14.2 \text{ MPa}, \ \mu_l = 0.392, b = 1 \text{ m}, d = 18 \text{ cm} \\ \mu_{bu} &= \frac{M_U}{f_{bu} \times b \times d^2} = \frac{46.5 \times 10^{-3}}{14.2 \times 1 \times 0.18^2} = 0.107 < 0.186 \\ \alpha &= 1.25 \big(1 - \sqrt{1 - 2 \times 0.107}\big) = 0.14 \quad , \\ z &= d(1 - 0.4 \times \alpha) = 18(1 - 0.4 \times 0.14) = 16.99 \text{ cm} \\ A_t &= \frac{M_U}{Z \times \sigma_S} = A_t = \frac{46.5 \times 10^6}{169.9 \times 347.82} = 7.86 \text{ cm}^2 \end{split}$$

Tableau III. 8: Armatures longitudinales (type 1).

| Designation | $\mathbf{M}_{\mathbf{U}}$ | μ | α | Z cm | A _{t CAL} cm ² |
|-------------|---------------------------|-------|-------|-------|------------------------------------|
| Travée | 46.5 | 0.107 | 0.14 | 16.99 | 7.86 |
| Appius | 29.118 | 0.06 | 0.077 | 17.44 | 4.8 |

Condition de non fragilité :

$$A_{S\,min} = \frac{0.23 \times b \times d \times f_{t28}}{f_e}$$

$$f_{t28} = 2.1MPa$$

$$A_{S min} = \frac{0.23 \times 1000 \times 180 \times 2,1}{400} = 217.35 \text{mm}^2 = 2.1735 \text{ cm}^2$$

$$A_S = \max[A_t; A_{S \min}]$$

$$A_S = max [7.86 \text{ cm}^2; 2.1735 \text{ cm}^2]; A_S = 7.86 \text{ cm}^2$$

Tableau III. 9: Résultats de calcul de ferraillage d'escalier (type 1).

| Désignation | $A_{t CAL}(cm^2)$ | $A_{S min}(cm^2)$ | $A_{max}(cm^2)$ | $A_{adp}(cm^2)$ |
|-------------|-------------------|-------------------|-----------------|-----------------|
| Travée | 7.86 | 2.1735 | 7.86 | 7T12 = 7.92 |
| Appuis | 4.8 | 2.1735 | 4.8 | 5T12 = 5.65 |

❖ Vérification de l'effort tranchant : (BAEL 91 A.5.1, 1)

On calcul tous les types de poutrelles avec l'effort tranchant maxima $V_{max} = 44.725 \text{ KN}$; On vérifie la condition de rupture par cisaillement :

$$\tau_u < \overline{\tau_u}$$

Avec:

$$\tau_{\rm u} = \frac{{
m Vu}}{({
m b}_0 \times {
m d})} = \frac{44.725 \times 10^3}{1000 \times 180} = 0,248 \ {
m MPa}$$

Les armatures d'âme sont droites, La fissuration et peu nuisible ... (BAEL 91 A.5.1,211)

$$\overline{\tau_{u}} = \min\left(0.2 \frac{f_{c28}}{\gamma_{b}}; 5 \text{ MPa}\right) = \min(3,33 \text{MPa}; 4 \text{ MPa}) = 3,33 \text{ MPa}$$
 $\tau_{u} < \overline{\tau_{u}} \Rightarrow 0.248 \text{ MPa} < 3,33 \text{ MPa} \dots \dots \text{CV}$

Les armatures de répartition :

$$A_t = \frac{A_{max}}{4}$$

Tableau III. 10: les armatures de répartition.

| Désignation | A_{t} (cm ²) | $A_{adp}(cm^2)$ |
|-------------|----------------------------|-----------------|
| Travée | 1.98 | 3T10 = 2.36 |
| Appuis | 1.41 | 3T8 = 1.51 |

- **Espacement entre les armatures : (BAEL91 A.8.2, 4.2) [1]**
- Armatures longitudinales :

$$S_t \le min(3h; 33cm)$$

 $S_t \le 33cm$

Travée : $S_t = 15 \text{cm} \le 33 \text{cm} \dots \dots \text{Condition vérifiée}.$ **Appuis** : $S_t = 15 \text{cm} \le 33 \text{cm} \dots \dots \text{Condition vérifiée}.$

• Armatures transversals:

$$S_t \le \min(4h; 45cm)$$

 $S_t \le 45cm$

Travée : $S_t = 20 \text{cm} \le 45 \text{cm}$ Condition vérifiée. **Appuis** : $S_t = 20 \text{cm} \le 45 \text{cm}$ Condition vérifiée.

- **❖** Vérification à ELS
- En travée :

$$\begin{aligned} &M_t = 33.897 \text{ KN. m} \\ &\sigma_b = \frac{M_{ser}}{I} y \ \leq \overline{\sigma_{bc}} = 0.6 f_{c28} = 15 \text{ MPa} \end{aligned}$$

Position de l'axe neutre :

$$\frac{1}{2}by^{2} - \eta(d - y)A_{s} = 0$$

$$\frac{1}{2} \times 100y^{2} - 15(18 - y)7.92 = 0$$

$$50 y^{2} + 270y - 2138.4 = 0$$

$$y = 4,37 \text{ cm}$$

Moment d'inertie :

$$I = \frac{1}{3}by^{3} + \eta(d - y)^{2}A_{s}$$

$$I = \frac{1}{3} \times 100 \times 4.74^{3} + 15(18 - 4.74)^{2} \times 5.65 = 18451.26 \text{ cm}^{4}$$

$$\sigma_{b} = \frac{M_{ser}}{I}y = \frac{19.938 \times 10^{6}}{18451.26 \times 10^{4}} \times 47.4 = 5,12 \text{ MPa}$$

$$\sigma_{b} = 5,12 \text{ MPa} \leq \overline{\sigma_{bc}} = 15 \text{ MPa ... CV}$$

❖ Vérification de la flèche (BAEL B .6.5.1 ,1) [1]

La vérification de la flèche n'est pas nécessaire si les conditions suivantes sont vérifiées.

Les conditions ne sont pas satisfaites. Donc il y'a un risque de la flèche.

$$1 \ge 1$$

$$\bar{f} = 0.5 + \frac{L}{1000}$$
 Si L ≥ 5.00 m
 $\bar{f} = \frac{L}{500}$ Si L < 5.00 m

Donc:

$$\bar{f} = \frac{L}{500} = \frac{4400}{500} = 8.8 \text{ mm}.$$

$$f = \frac{M_t \times l^2}{10 \times E_i \times I_{fi}}$$

 E_i : Module instantané de béton. $E_i = 32164,2$ MPa

$$I_{fi}$$
: L'inertie fissurée. $I_{fi} = \frac{1,1I_0}{1+\lambda_i \mu}$

$$\begin{split} I_0 &= \frac{bh^3}{12} + bh \left[\frac{h}{2} - v \right]^2 + 15 A_s (d-v)^2 \\ v &= \frac{\frac{bh^2}{2} + 15 A_s d}{bd + 15 A_s} = \frac{\frac{100 \times 20^2}{2} + 15 \times 7.86 \times 18}{100 \times 18 + 15 \times 7.86} = 11.53 \text{ cm} \\ I_0 &= \frac{100 \times 20^3}{12} + 100 \times 20 \left[\frac{20}{2} - 11.53 \right]^2 + 15 \times 7.86 \left(18 - 11.53 \right)^2 = 76283.86 \text{ cm}^4 \\ \lambda_i &= \frac{0.05 f_{t28}}{\rho \left(2 + 3 \frac{b_0}{b} \right)} \end{split}$$

$$\rho = \frac{A}{bd} = \frac{7.86}{100 \times 18} = 0,0043$$

$$\lambda_{i} = \frac{0,05 \times 2,1}{0,0043 \left(2 + 3\frac{100}{100}\right)} = 4.88$$

$$\mu = 1 - \frac{1,75f_{t28}}{4\rho\sigma_s + f_{t28}}$$

$$\begin{split} \mu &= 1 - \frac{1,75f_{t28}}{4\rho\sigma_s + f_{t28}} \\ \sigma_s &= \frac{^{15M_s(d-y)}}{^I} = \frac{^{15\times33.847\times10^6(180-43.7)}}{^{24852.07\times10^4}} = 278.44 \text{ MPa} \\ \mu &= 1 - \frac{1,75\times2,1}{4\times0,0043\times278.44+2,1} = 0,466 \end{split}$$

$$\begin{split} \mu &= 1 - \frac{1,75 \times 2,1}{4 \times 0,0043 \times 278.44 + 2,1} = 0,466 \\ I_{fi} &= \frac{1,1I_0}{1 + \lambda_i \; \mu} = \frac{1,1 \times 76283.86}{1 + 4.88 \times 0.466} = 25630.26 \; \text{cm}^4 \end{split}$$

$$f = \frac{M_t \times l^2}{10 \times E_i \times I_{fi}} = \frac{33.847 \times 4.40^2}{10 \times 32164,2 \times 25630.26} = 0.007 \text{mm} < 8 \text{ mm}$$

Donc: $f \leq \bar{f} \dots \dots CV$

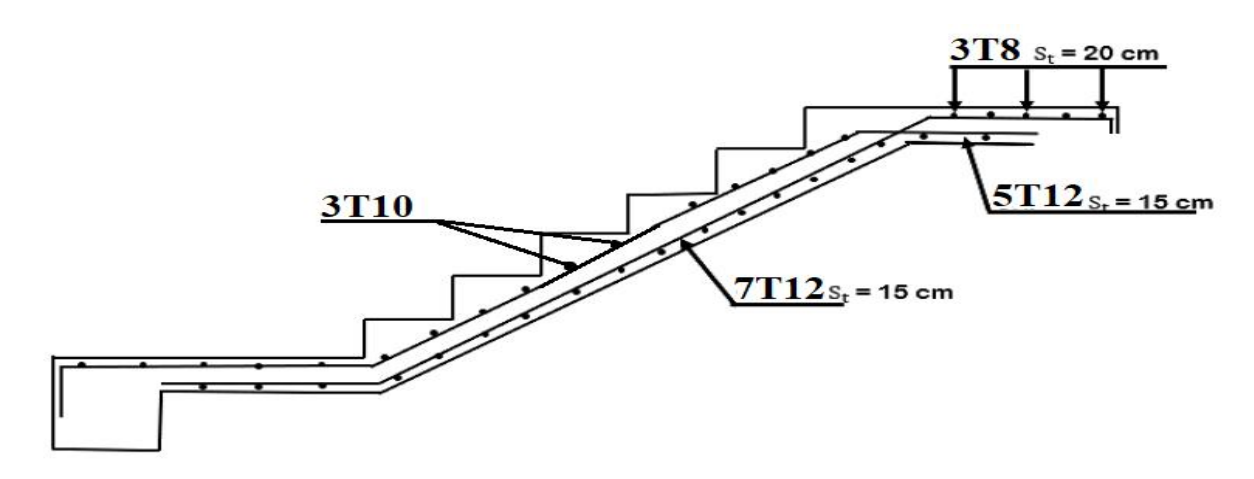


Figure III. 12: Schéma de ferraillage d'escalier type 1.

b. Le deuxième type :

Armatures longitudinal:

$$\begin{split} f_e &= 400 \text{ MPa}, \ \sigma_s = 347.82 \text{MPa}, \ f_{bu} = 14.2 \text{ MPa}, \ \mu_l = 0.392, \, \text{b} = 1 \text{ m}, \, \text{d} = 13.5 \text{cm} \\ \mu_{bu} &= \frac{M_U}{f_{bu} \times b \times d^2} = \frac{15.74 \times 10^{-3}}{14.2 \times 1 \times 0.135^2} = 0.060 < 0.186 \\ \alpha &= 1.25 \big(1 - \sqrt{1 - 2 \times 0.060}\big) = 0.077 \quad , \\ z &= d(1 - 0.4 \times \alpha) = 13.5 \big(1 - 0.4 \times 0.077\big) = 13.08 cm \\ A_t &= \frac{M_U}{Z \times \sigma_S} = A_t = \frac{15.74 \times 10^6}{130.8 \times 347.82} = 3.45 \text{ cm}^2 \end{split}$$

Tableau III. 11: Armatures longitudinales (type 2).

| Désignation | $M_{U}(KN.m)$ | μ | α | Z (cm) | A _{t CAL} (cm ²⁾ |
|-------------|---------------|-------|-------|--------|--------------------------------------|
| Travée | 15.74 | 0.060 | 0.077 | 13.08 | 3.45 |
| Appuis | 9.26 | 0.035 | 0.044 | 13.26 | 2.00 |

Condition de non fragilité

$$A_{S \min} = \frac{0.23 \times b \times d \times f_{t28}}{f_e}$$

$$\begin{split} f_{t28} &= 2.1 \text{MPa} \\ A_{S\,min} &= \frac{0.23\,\times 1000 \times 135 \times 2,1}{400} = 1.63\,\text{cm}^2 \\ A_{S} &= \text{max}[A_t\,;A_{S\,min}\,] \\ A_{S} &= \text{max}\,[3.45\,\text{cm}^2;1.63\text{cm}^2]\;;A_{S} = 3.45\,\text{cm}^2 \end{split}$$

Tableau III. 12: Résultats de calcul de ferraillage d'escalier (type 2).

| Désignation | $A_{t CAL}(cm^2)$ | $A_{S min}(cm^2)$ | $A_{max}(cm^2)$ | $A_{adp}(cm^2)$ |
|-------------|-------------------|-------------------|-----------------|-----------------|
| Travée | 3.45 | 1.63 | 3.45 | 4T12 = 4.52 |
| Appuis | 2.00 | 1.63 | 2.00 | 4T8 = 2.01 |

❖ Vérification de l'effort tranchant : (BAEL 91 A.5.1, 1)

On calcul tous les types de poutrelles avec l'effort tranchant maxima $V_{max}=31.229KN$; On vérifie la condition de rupture par cisaillement :

$$\tau_{\rm u} < \overline{\tau_{\rm u}}$$

Avec:

$$\tau_{\rm u} = \frac{{
m Vu}}{({
m b_0} \times {
m d})} = \frac{31.229 \times 10^3}{1000 \times 135} = 0.231 \,{
m MPa}$$

Les armatures d'âme sont droites, La fissuration et peu nuisible ... (BAEL 91 A.5.1,2.1.1).

Les armatures de répartition :

$$A_t = \frac{A_{max}}{4}$$

Tableau III. 13: les armatures de répartition.

| Désignation | $A_t(cm^2)$ | $A_{adp}(cm^2)$ |
|-------------|-------------|-----------------|
| Travée | 1.13 | 4T6 = 1.13 |
| Appuis | 0.50 | 4T6 = 1.13 |

Second Property of Second Prope

• Armatures longitudinal:

$$S_t \le \min(3h; 33cm)$$

 $S_t \le 33cm$

Travée : $S_t = 15 \text{cm} \le 33 \text{cm} \dots \dots \text{Condition vérifiée}.$ Appuis : $S_t = 15 \text{cm} \le 33 \text{cm} \dots \dots \text{Condition vérifiée}.$

• Armatures transversals:

$$S_t \le \min(4h; 45cm)$$

 $S_t \le 45cm$

Travée : $S_t = 20 \text{cm} \le 45 \text{cm}$ Condition vérifiée. Appuis : $S_t = 20 \text{cm} \le 45 \text{cm}$ Condition vérifiée.

❖ Vérification à ELS :

• En travée :

$$M_t = 10.35$$
 KN. m
 $\sigma_b = \frac{M_{ser}}{I}y \le \overline{\sigma_{bc}} = 0.6f_{c28} = 15$ MPa

Position de l'axe neutre :

$$\frac{1}{2}by^2 - \eta(d - y)A_s = 0$$

$$\frac{1}{2} \times 100y^2 - 15(13.5 - y)4.52 = 0$$

$$50y^2 + 67.8y - 915.3 = 0$$

$$y = 3.65 \text{ cm}$$

Moment d'inertie :

$$I = \frac{1}{3}by^{3} + \eta(d - y)^{2}A_{s}$$

$$I = \frac{1}{3} \times 100 \times 3.65^{3} + 15(13.5 - 3.65)^{2} \times 4.52 = 8199.02 \text{ cm}^{4}$$

$$\sigma_{b} = \frac{M_{ser}}{I}y = \frac{10.35 \times 10^{6}}{8199.02 \times 10^{4}} \times 36.5 = 4.60 \text{ MPa}$$

$$\sigma_{b} = 4.60 \text{ MPa} \leq \overline{\sigma_{bc}} = 15 \text{ MPa ... CV}$$

• En appui:

$$M_a = 6.09 \text{ KN. m}$$

 $\sigma_b = \frac{M_{ser}}{I} y \le \overline{\sigma_{bc}} = 0.6 f_{c28} = 15 \text{ MPa}$

Position de l'axe neuter:

$$\frac{1}{2}by^2 - \eta(d - y)A_s = 0$$

$$\frac{1}{2} \times 100y^2 - 15(13.5 - y)2.01 = 0$$

$$50 y^2 + 30.15y - 407.02 = 0$$

$$y = 2.56 \text{ cm}$$

Moment d'inertie:

$$\begin{split} I &= \frac{1}{3} \, by^3 + \eta (d-y)^2 A_s \\ I &= \frac{1}{3} \times 100 \times 2.56^3 + 15(13.5 - 2.56)^2 \times 2.01 = 4167.70 \, \text{cm}^4 \\ \sigma_b &= \frac{M_{ser}}{I} y = \frac{6.09 \times 10^6}{4167.70 \, \times 10^4} \times 25.6 = 3.74 \, \text{MPa} \\ \sigma_b &= 3.74 \, \text{MPa} \leq \overline{\sigma_{bc}} = 15 \, \text{MPa} \dots \text{CV} \end{split}$$

❖ Vérification de la flèche (BAEL B .6.5.1 ,1) [1]

La vérification de la flèche n'est pas nécessaire si les conditions suivantes sont vérifiées.

$$\begin{split} h &= 0,15 \text{ m}; \quad l = 3.2 \text{ m}; \quad A_{s \text{ t}} = 4.52 \text{ cm}^2 \\ \frac{h}{l} &\geq \frac{1}{16} \Rightarrow \frac{0.15}{3.2} \geq \frac{1}{16} \dots \text{Condition non V\'erifièe,} \\ \frac{h}{l} &\geq \frac{M_t}{10M_0} \Rightarrow \frac{0.15}{3.20} \geq 0.084 \dots \text{Condition non V\'erifièe,} \\ \frac{A_t}{b \times d} &\leq \frac{4,2}{f_e} \Rightarrow \frac{4.52 \times 10^{-4}}{1 \times 0,15} \leq \frac{4,2}{400} \dots \text{Condition V\'erifi\`ee.} \end{split}$$

Les conditions ne sont pas satisfaites. Donc il y'a un risque de la flèche.

$$f < \bar{f}$$

Tel que:

$$\bar{f} = 0.5 + \frac{L}{1000}$$
 Si L ≥ 5.00 m
 $\bar{f} = \frac{L}{500}$ Si L < 5.00 m

Donc:

$$\bar{f} = \frac{L}{500} = \frac{3200}{500} = 6.4 \text{ mm} \,.$$

$$f = \frac{M_t \times l^2}{10 \times E_i \times l_{fi}}$$

$$E_i : \text{Module instantané de béton.} \quad E_i = 32164, 2 \text{ MPa}$$

$$I_{fi} : L' \text{inertie fissurée.} I_{fi} = \frac{1.7l_0}{1+\lambda_i \mu}$$

$$V = \frac{\frac{bh^2}{2} + 15A_s d}{\frac{100 \times 15^3}{12}} + \frac{\frac{100 \times 15^2}{2} + 15 \times 4.52 \times 13.5}{\frac{1000 \times 13.5 + 15 \times 4.52 \times 13.5}{2}} = 8.58 \text{ cm}$$

$$I_0 = \frac{100 \times 15^3}{12} + 100 \times 15 \left[\frac{15}{2} - 8.58 \right]^2 + 15 \times 4.52 \left(13.5 - 8.58 \right)^2 = 6765.79 \text{ cm}^4$$

$$\lambda_i = \frac{0.05 t_{128}}{\rho \left(2 + 3 \frac{b_0}{b_0} \right)}$$

$$\rho = \frac{A}{bd} = \frac{4.52}{100 \times 13.5} = 0,0033$$

$$\lambda_i = \frac{0.05 \times 2.1}{0.0033 \left(2 + 3 \frac{100}{100} \right)} = 6.36$$

$$\mu = 1 - \frac{1.75 f_{128}}{4\rho \sigma_s + f_{128}}$$

$$\sigma_s = \frac{15M_s (d - y)}{1} = \frac{15 \times 10.35 \times 10^6 (135 - 36.5)}{8199.02 \times 10^4} = 186.51 \text{ MPa}$$

$$I_f = \frac{1.1l_0}{1 + \lambda_i \mu} = \frac{1.7 \times 675.79}{1 + 6.36 \times 0.194} = 3331.15 \text{ cm}^4$$

$$f = \frac{M_t \times l^2}{10 \times E_i \times I_{fi}} = \frac{15.774 \times 3.2^2}{10 \times 32164, 2 \times 3331.15} = 0.015 \text{ mm} < 8 \text{ mm} \text{ Donc } f \leq \bar{f} \dots \text{CV}$$

Figure III. 13: Schéma de ferraillage d'escalier type 2.

4T12st = 15 cm

III. 4. LES PLANCHERS:

III. 4. 1. Généralité:

Dimensionnement des poutrelles :

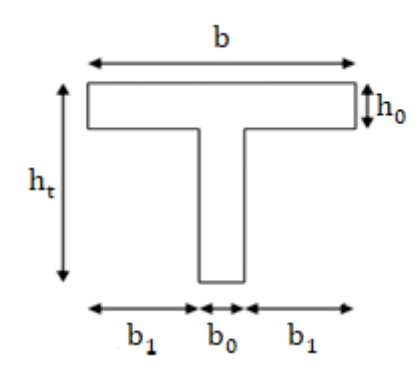


Figure III. 14: dimensions de la poutrelle.

b = 65 cm

 $b_1 = 27.5 \text{ cm}$

 $b_0 = 10 \text{ cm}$

h = 20 cm

III. 4. 2. Evaluation des charges appliquées à chaque nervure :

• Plancher terrasse: (terrasse inaccessible)

 $G = 6290 N/m^2$

 $Q=1000 \quad N/m^2$

 $g = G \times 0.65 = 4088.5 \text{ N/ml}$

$$q = Q \times 0.65 = 650 \text{ N/ ml}$$

• Plancher étage courant :

 $G=6000 \quad N/m^2$

 $Q = 1500 \ N/m^2$

 $g = G \times 0.65 = 3900 \text{ N/ml}$

 $q = Q \times 0.65 = 975 \text{ N/ml}$

III. 4. 3. Les combinaisons d'action :

$$ELU : P_U = 1.35 G + 1.5 Q$$

 $q_{\rm U} = 0.65 P_{\rm U}$

 $ELS : P_S = G + Q$

 $q_s = 0.65 P_s$

Tableau III. 14: Les combinaisons d'action.

| Designation | Terrasse inaccessible | Étage courant |
|-------------|-----------------------|---------------|
| ELU | 6.49 | 6.24 |
| ELS | 4.7385 | 4.875 |

III. 4. 4. Type et Position des poutrelles :

Différents types de poutrelles :

Dans le cas de notre projet on plusieurs types de poutrelles a étudiées :

• Plancher étage courant : on a deux types de poutrelles :

Type 1: poutrelle sur 8 appuis a 7 travées :

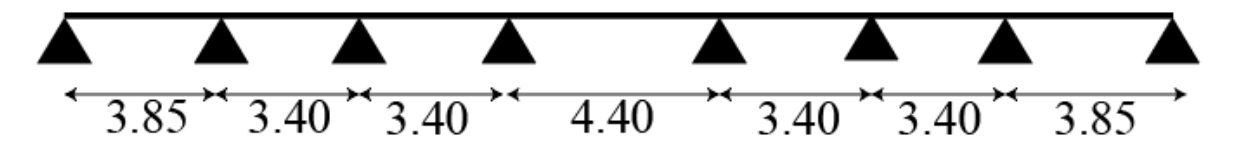


Figure III. 15: poutrelle type1 (étage).

Type 2 : poutrelle sur 4 appuis a 3 travées :

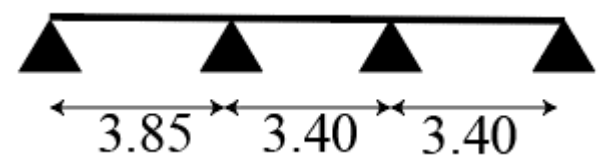


Figure III. 16: poutrelle type2 (étage).

• Plancher terrasse inaccessible : il ya un seul type de poutrelles :

Type 1: poutrelle sur 8 appuis à 7 travées :

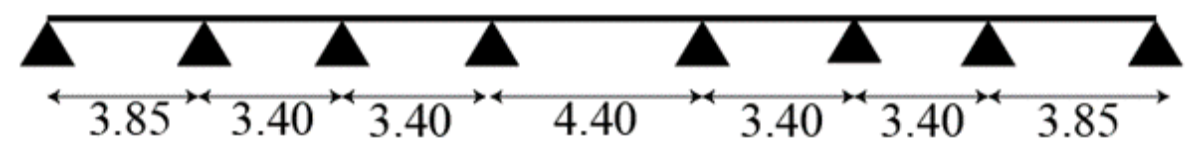


Figure III. 17: poutrelle type 1 (terrasse).

III. 4. 5. Méthodes de calculs :

III. 4. 5. 1. Méthode forfaitaire : (annexe E.1 du BAEL 91/99)

Conditions d'application (Article. B6.2.210) [5]:

Cette méthode s'applique si les conditions suivantes sont satisfaites :

- Plancher à surcharge modérée :
- $Q \le \min(2G; 5KN/m^2).$
 - Le rapport entre deux portées successives doivent satisfaire la condition :

$$0.8 < \frac{L_i}{L_{i+1}} < 1.25.$$

• La fissuration doit être est peu nuisible (F.P.N) (élément qui n'est pas en contact avec les intempéries).

- Les moments d'inertie des sections transversales sont les mêmes dans les différentes travées en continuité (I = Constant).
- **Exposée de la méthode:**

Soit une poutre continue soumise à une charge q. et soit : $\alpha = \frac{Q}{O+G}$

- Moment appuis:
- ➤ Sur les Appuis de rive : les moments sont nuls cependant on les ferraille (aciers de fissuration) avec une quantité d'acier équilibrant un moment égale : (-0,15M0).
- ➤ Appuis intermédiaires : Poutres à deux travées : Les moments sont de l'ordre de (-0.6M0)
 - Poutres à deux travées : Les moments sont de l'ordre de (-0.6M0)
 - Poutres à plus de deux travées :

(-0.5M0): Pour les appuis voisins de l'appui de rive

(-0,4M0): Pour les autres appuis intermédiaires.

Tel que:

M₀: Le maximum des deux moments isostatique encadrant l'appui considéré.

$$M_0 = \frac{q l^2}{8}$$

• Moment en Travées :

(1) ...
$$M_t + \frac{(M_d + M_g)}{2} \ge \max [1,05M_0; (1 + 0,3\alpha)M_0]$$

$$(2) \dots \left\{ \begin{array}{l} M_t \geq \frac{(1+0,3\alpha)M_0}{2} & \text{Pour la travée intermédiaire} \\ M_t \geq \frac{(1,2+0,3\alpha)M_0}{2} & \text{Pour la travée de rive.} \end{array} \right.$$

 M_t : Est le maximum entre (1) et (2).

M₀: Moment isostatique de la travée considérée.

• Valuation des efforts tranchants :

Les efforts tranchants sont évalués soit forfaitairement en supposant la discontinuité entre les travées, dans ce cas les efforts tranchants hyperstatiques sont confondue même avec les efforts tranchants isostatiques sauf pour les premiers appuis intermédiaires (voisin de rive)

- L'effort tranchant isostatique doit être majoré de :
- 15 % s'il s'agit d'une poutre deux travées.
- 10 % s'il s'agit d'une poutre plus de deux travées.
 - > Soit par la méthode RDM : Compte tenu de la continuité :

$$V_{u} = V_{u0}(isostatique) + \frac{M_{i} - M_{i-1}}{L_{i}}$$

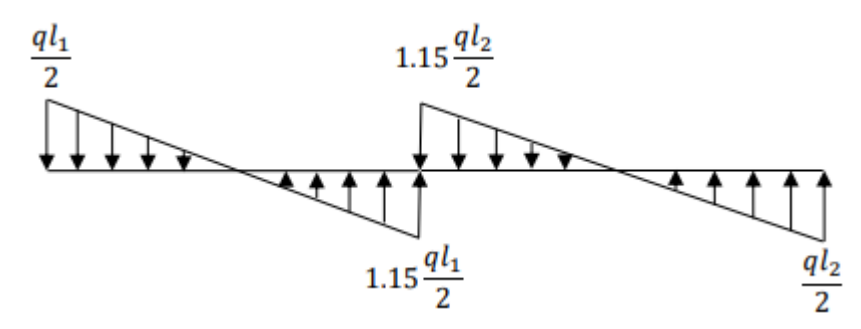


Figure III. 18: Diagramme des efforts tranchants une poutre à deux travées.

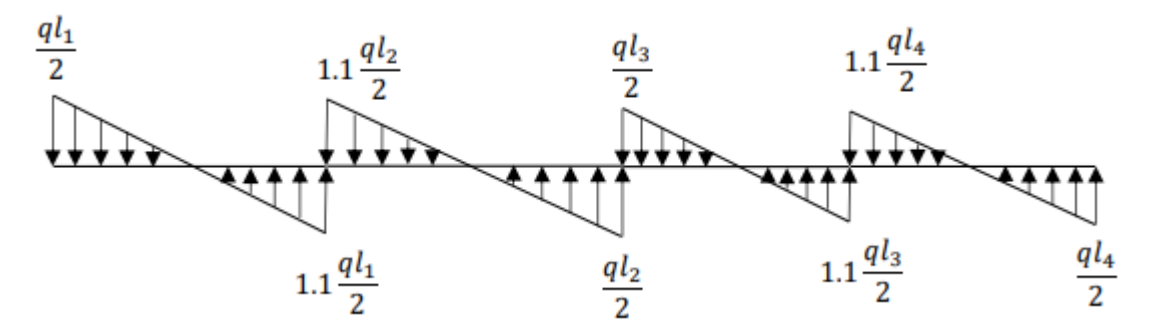


Figure III. 19: Diagramme des efforts tranchants une poutre à plusieurs travées.

- **❖ Méthode de Caquot** (Annexe E.2 du BAEL 91/99)
- ➤ Condition d'application Article B.6.2, 220 [1]

La méthode de Caquot s'applique lorsque le plancher est à surcharge élevé : $(Q > min (5KN/m^2; 2G))$.

> Principe de la méthode Article B.6.2, 221 [1]

Le principe repose sur la méthode des trois moments simplifiée et corrigée afin de tenir compte de la variation des moments d'inerties des sections transversales le long de la ligne moyenne de la poutre, ainsi que de l'amortissement des efforts de chargement des travées successives.

- > Application de la méthode
- Moments aux appuis article E.2.2,1 [1]

Le moment aux appuis est donné par l'expression suivante (sous charge répartie):

$$M_{i} = \frac{q_{g} \times l_{g}^{\prime 3} + q_{d} \times l_{d}^{\prime 3}}{8.5 \times (l_{g}^{\prime} + l_{d}^{\prime})}$$

Avec:

 l'_g ; l'_d : Longueurs fictives à gauche et à droite de l'appui considéré.

q_g; q_d : Chargement à gauche et à droite de l'appui considéré.

 $\int l' = 0.81 \dots \dots$ travée intermédiaire.

 $l' = l \dots \dots travée de rive.$

• Moment en travée article E.2.2, 2 [1]

$$M_{t}(x) = M_{0} + M_{g} \times \left(1 - \frac{x}{l}\right) + M_{d} \times \left(\frac{x}{l}\right)$$

Avec:

$$M_0 = q \times \frac{x}{2} \times (l - x)$$
$$x = \frac{1}{2} - \frac{M_g - M_d}{q \times l}$$

• **Efforts tranchants** (Article E.2.2, 3) [1]

Les efforts tranchants sont déterminés en utilisant la méthode de la RDM :

$$V_{i} = \pm \frac{q_{u} \times l_{i}}{2} - \frac{M_{i} - M_{i+1}}{l_{i}}$$

Avec:

l_i : Portée de la travée.

M_i: Moment sur l'appui de droite de la travée considérée.

M_{i+1}: Moment sur l'appui de gauche de la travée considérée.

III. 4. 5. 2. Méthode de Caquot minorée

Cette méthode consiste à calculer les moments au niveau des appuis avec la méthode de Caquot mais en remplaçant la charge permanente G par une charge permanente minorée G' = 2/3 G.

Remarque : Pour le calcul des moments max en travée, nous utilisons la charge permanente réelle G.

III. 4. 6. Choix de la méthode de calcul des sollicitations :

III. 4. 6. 1. Vérifications des Conditions d'application de la méthode forfaitaire :

Plancher à surcharge modérée : $Q \le min(2G, 5 \text{ KN/m}^2)$

Plancher terrasse : $G_{terrasse} = 6.29 \text{ KN/m}^2$; $Q_{terrasse} = 1 \text{ KN/m}^2$

 $1 \le \min(2 \times 6.29, 5\text{KN/m}^2) \Rightarrow 1 \le \min(12,58 \text{ KN/m}^2, 5\text{KN/m}^2).....\text{Condition vérifiée.}$

Plancher étage: $G_{etage} = 6KN/m^2$; $Q_{etage} = 1.5 KN/m^2$

 $1.5 \le \min(2 \times 6.5 \text{KN/m}^2) \Rightarrow 1.5 \le \min(12 \text{KN/m}^2; 5 \text{KN/m}^2) \dots \text{Condition vérifiée.}$

- Fissuration peu préjudiciable.
- Le moment d'inertie est constant sur tout le long de la travée.
- Le rapport : $0.8 < \frac{L_i}{L_{i+1}} < 1.25$.

Pour type 1:

$$\begin{cases} 0,8 \leq \frac{3,85}{3.40} = 1,13 \leq 1,25 \dots & \text{Condition v\'erifi\'ee.} \\ 0,8 \leq \frac{3.40}{3,40} = 1 \leq 1,25 \dots & \text{Condition v\'erifi\'ee.} \\ 0,8 \leq \frac{3,40}{4,40} = 0.77 \leq 1,25 \dots & \text{Condition v\'erifi\'ee.} \\ 0,8 \leq \frac{4,40}{3,40} = 1,29 \leq 1,25 \dots & \text{Condition non v\'erifi\'ee.} \\ 0,8 \leq \frac{3,40}{3,40} = 1 \leq 1,25 \dots & \text{Condition v\'erifi\'ee.} \\ 0,8 \leq \frac{3,40}{3,85} = 0,88 \leq 1,25 \dots & \text{Condition v\'erifi\'ee.} \\ 0,8 \leq \frac{3,40}{3,85} = 0,88 \leq 1,25 \dots & \text{Condition v\'erifi\'ee.} \end{cases}$$

La condition (d) de la méthode forfaitaire n'étant pas vérifiée, la méthode appliquée sera ainsi celle de Caquot minorée.

Pour type 2:

Toutes les conditions vérifiées donc la méthode applique c'est la méthode forfaitaire.

III. 4. 7. Exemple d'application : (charge permanente minorée)

La charge permanente $G = 6 \text{ KN/ } m^2$

La surcharge d'exploitation $Q = 1.5 \text{ KN/m}^2$

$$G' = \frac{2}{3} \times (G) = \frac{2}{3} \times (6)$$

 $G' = 4 \text{ KN/m}^2$

• ELU:

$$\begin{aligned} P_u' &= 1.35 \times G' + 1.5 \times Q \\ P_u' &= 1.35 \times 4 + 1.5 \times 1.5 = 7.65 \text{ KN/m}^2 \\ q_u' &= 0.65 \times P_u' \\ q_u' &= 0.65 \times 7.65 = 4.972 \text{ KN/m} \end{aligned}$$

• **ELS**:

$$\begin{aligned} P_s' &= G' + Q \\ P_s' &= 4 + 1.5 = 5.5 \text{ KN/m}^2 \\ q_s' &= 0.65 \times P_s' \\ q_s' &= 0.65 \times 5.5 = 3.575 \text{ KN/m} \end{aligned}$$

Tableau III. 15: les chargements sur les poutrelles.

| Designation | G′ | 0 | EI | LU | ELS | | |
|-------------|------------|------------|-------------------------|-----------------------|-------------------|-----------------|--|
| | (KN/m^2) | (KN/m^2) | $\frac{P_u'}{(KN/m^2)}$ | $q_u^\prime \ (KN/m)$ | P_s' (KN/m^2) | $q_s' = (KN/m)$ | |
| Terrasse | 4.19 | 1 | 7.61 | 4.654 | 5.19 | 3.375 | |
| Étage | 4 | 1.5 | 7.65 | 4.972 | 5.5 | 3.575 | |

III. 4. 8. Calcul les moments et les efforts tranchants pour la poutrelle Type 01 (Terrasse et étage) :

Pour calculer les moments max sur appuis et sur travée on trois types de combinaison de charge :

Cas 01: CCCCC:

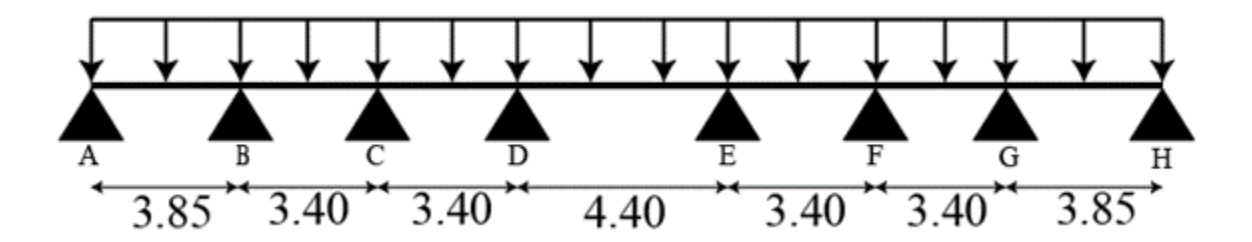


Figure III. 20: Schéma de cas 1.

Cas 02: DCDCD:

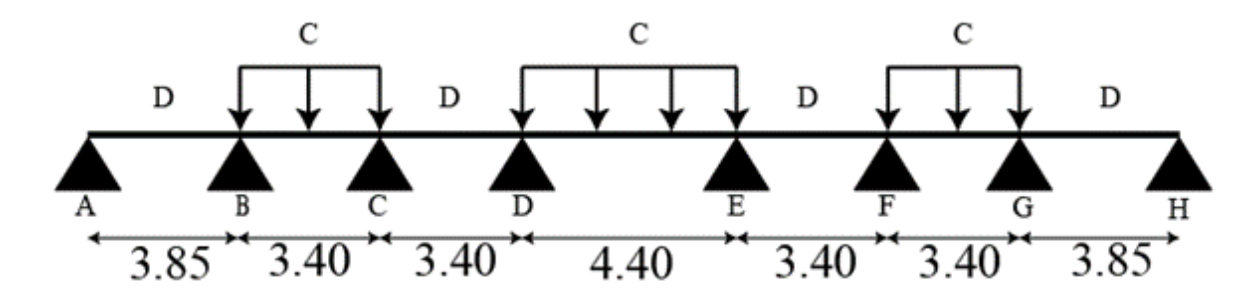


Figure III. 21: Schéma de cas 2.

Cas 03: CDCDC:

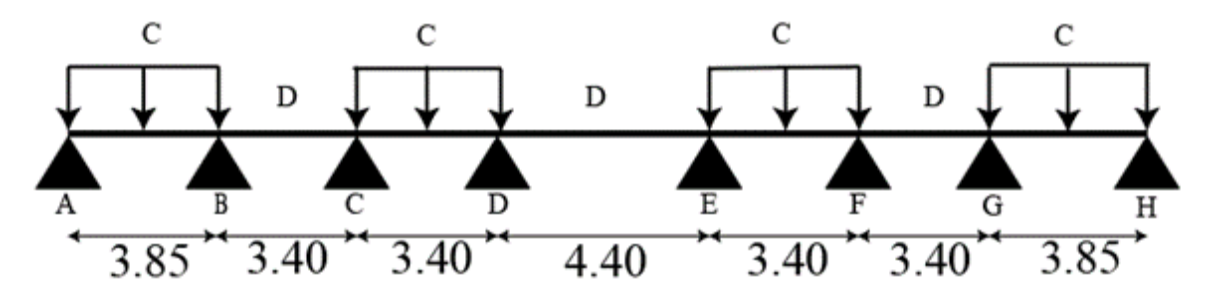


Figure III. 22: Schéma cas 3.

Avec:

En ELU :
$$C = 1,35G + 1,5Q$$
 ; $D = 1,35G$

En ELS :
$$C = G + 1,5Q$$
 ; $D = G$

Pour chaque cas on fait le calcul en ELU et en ELS des moments sur appuis et sur travée enfin on prend le maximum des moments (courbes enveloppe)

A titre d'exemple on prend le cas 1 pour expliquer la méthode de calcul des moments sur appuis par la méthode de Caquot minoré et les moments en travée par la méthode de Caquot :

a. Calcul des moments aux appuis :

- **Appuis intermediaries:**
- ❖ Appui B:

$$M_{B} = -\frac{q'_{g} \times l'^{3}_{g} + q'_{d} \times l'^{3}_{d}}{8.5 \times (l'_{g} + l'_{d})}$$

À ELU:

Avec:

$$\begin{aligned} q_g' &= q_d' = 4.65 \text{ KN/m} \\ l_g' &= l_g = 3.85 \text{ m} \\ l_d' &= 0.8 \, l_d = 0.8 \times 3.4 = 2.72 \text{ m} \\ M_B &= -\frac{q_g' \times l_g'^3 + q_d' \times l_d'^3}{8.5 \times \left(l_g' + l_d'\right)} = -\frac{4.654 \times 3.85^3 + 4.654 \times 2.72^3}{8.5 \times (3.85 + 2.72)} = -6.432 \text{ KN. m} \end{aligned}$$

À ELS:

Avec:

$$q_g' = q_d' = 3.37 \text{ KN/m}$$

$$l_g' = l_g = 3.85 \text{ m}$$

$$l_d' = 0.8 l_d = 0.8 \times 3.4 = 2.72 \text{ m}$$

$$M_B = -\frac{q_g' \times l_g'^3 + q_d' \times l_d'^3}{8.5 \times (l_g' + l_d')} = -\frac{3.375 \times 3.85^3 + 3.375 \times 2.72^3}{8.5 \times (3.85 + 2.72)} = -4.665 \text{ KN. m}$$

Tableau III. 16: moments aux appuis intermédiaires.

| Appuis | ELU | ELS | Longueu | rs fictives | Moments | (KN.m) |
|---------------|---|---|----------------------------|-------------|----------------|---------|
| intermédiaire | $\mathbf{q}_{\mathbf{g}}' = \mathbf{q}_{\mathbf{d}}'$ | $\mathbf{q}_{\mathbf{g}}'=\mathbf{q}_{\mathbf{d}}'$ | $\mathbf{l}_{\mathbf{g}}'$ | l_d' | ELU | ELS |
| В | 4.654 | 3.375 | 3.85 | 2.72 | - 6.432 | - 4.665 |
| C | 4.654 | 3.375 | 2.72 | 2.72 | - 4.050 | - 2.937 |
| D | 4.654 | 3.375 | 2.72 | 3.52 | – 5.592 | - 4.055 |
| E | 4.654 | 3.375 | 3.52 | 2.72 | – 5.592 | - 4.055 |
| F | 4.654 | 3.375 | 2.72 | 2.72 | - 4.050 | - 2.937 |
| G | 4.654 | 3.375 | 2.72 | 3.85 | - 6.432 | - 4.665 |

***** Appuis des rives :

Pour les appuis de rive solidaires à un poteau ou à une poutre, il est recommandé d'employer des aciers longitudinaux supérieurs, afin d'équilibrer un moment négatif au moins égal à :

$$M_A=0.15\ M_0^{AB}$$
 ; $\,M_H=0.15\ M_0^{GH}$

$$\begin{split} M_0^{AB} &= - \; \frac{q' \times l_{AB}^2}{8} \\ M_0^{GH} &= - \; \frac{q' \times l_{GH}^2}{8} \end{split} \label{eq:moments}$$

Tableau III. 17: Moments aux appuis de rive.

| Appuis | Longueur de la trvée « l » | | La charge transmis « q » | | Moments M ₀ (KN.m) | | Moments aux appuis (KN.m) | |
|--------|-------------------------------|------|-----------------------------|--------|-------------------------------|---------|---------------------------|--|
| | tivee « i » | ELU | ELS | ELU | ELS | ELU | ELS | |
| A | 3.85 | 4.65 | 3.37 | - 8.61 | - 6.24 | - 1.293 | -0.937 | |
| Н | 3.85 | 4.65 | 3.37 | - 8.61 | - 6.24 | - 1.293 | -0.937 | |

b. Calcul des moments en travées :

* Travée AB:

Les moments en travées sont calculés à partir des équations suivantes :

$$X_{0} = \frac{1}{2} - \frac{M_{g} - M_{d}}{q \times l}$$

$$M_{0}(X_{0}) = \frac{q - X_{0}}{2} \times (l - X_{0})$$

$$M_{t} = M_{0}(X_{0}) + M_{g}\left(1 - \frac{X_{0}}{l}\right) + M_{d}\left(\frac{X_{0}}{l}\right)$$

Remarque : pour le calcul des moments en travées on aura a considérées la charge permanente G.

 $\grave{\mathbf{A}}$ **ELU**: Soit $q_u = 6.24$ KN/m

Travée AB:

$$\begin{split} X_0 &= \frac{3.85}{2} - \frac{-1.29 - (-6.432)}{6.49 \times 3.85} = 1.719 \text{ m} \\ M_0(1.719) &= \frac{6.49 - 1.719}{2} \times (3.85 - 1.719) = 5.083 \text{ KN. m} \\ M_t &= 5.083 + (-1.29) \left(1 - \frac{1.719}{3.85}\right) + (-6.42) \left(\frac{1.719}{3.85}\right) = 1.49 \text{ KN. m} \end{split}$$

 $\grave{\mathbf{A}}$ **ELS**: Soit $q_u = 4.875$ KN/m

$$\begin{split} X_0 &= \frac{3.85}{2} - \frac{-0.93 - (-4.66)}{4.738 \times 3.85} = 1.720 \text{ m} \\ M_0(1.627) &= \frac{4.738 - 1.720}{2} \times (3.85 - 1.720) = 3.214 \text{ KN. m} \\ M_t &= 3.214 + (-0.937) \left(1 - \frac{1.720}{3.85}\right) + (-4.66) \left(\frac{1.720}{3.85}\right) = 0.615 \text{ KN. m} \end{split}$$

Les résultats sont regroupés dans les tableaux qui suit :

Tableau III. 18: Moments sur travées CAS 1 (poutrelle type1 (terrasse)).

| Travées | X | 0 | M | I ₀ | M _t | | |
|---------|-------|-------|--------|----------------|----------------|-------|--|
| Travees | ELU | ELS | ELU | ELS | ELU | ELS | |
| AB | 1.719 | 1.720 | 5.083 | 3.214 | 1.499 | 0.615 | |
| BC | 1.812 | 1.803 | 8.977 | 7.018 | 3.825 | 3.280 | |
| CD | 1.627 | 1.633 | 9.00 | 7.033 | 4.223 | 3.569 | |
| DE | 2.20 | 2.20 | 15.1 | 11.797 | 9.52 | 7.575 | |
| EF | 1.627 | 1.633 | 9.00 | 7.033 | 4.223 | 3.569 | |
| FG | 1.812 | 1.803 | 8.977 | 7.018 | 3.825 | 3.280 | |
| GH | 1.711 | 1.627 | 11.418 | 3.610 | 7.86 | 1.107 | |

Tableau III. 19: Moments aux appuis (poutrelle type1 (terrasse)).

| Cog | | ELU | | | | | | | | | | |
|--------------------|---------|---------|---------|---------|---------|---------|---------|---------|--|--|--|--|
| Cas | A | В | C | D | E | F | G | Н | | | | |
| Cas 01 | - 1.293 | - 6.432 | - 4.050 | - 5.592 | - 5.592 | - 4.050 | - 6.432 | - 1.293 | | | | |
| Cas 02 | - 1.022 | - 5.436 | - 3.626 | - 5.222 | - 5.222 | - 3.626 | - 5.436 | - 1.022 | | | | |
| Cas 03 | - 1.293 | - 6.081 | - 3.626 | - 4.790 | - 4.790 | - 3.626 | - 6.081 | - 1.293 | | | | |
| M _{a max} | - 1.293 | - 6.432 | - 4.050 | - 5.592 | - 5.592 | - 4.050 | - 6.432 | - 1.293 | | | | |

Tableau III. 20: Moments aux appuis (poutrelle type1 (terrasse)).

| Con | | ELS | | | | | | | | | | |
|--------------------|---------|---------|---------|---------|---------|---------|---------|---------|--|--|--|--|
| Cas | A | В | C | D | E | F | G | H | | | | |
| Cas 01 | - 0.937 | - 4.665 | - 2.937 | - 4.055 | - 4.055 | - 2.937 | - 4.665 | -0.937 | | | | |
| Cas 02 | -0.756 | - 3.998 | - 2.653 | - 3.808 | - 3.808 | - 2.653 | - 3.998 | -0.756 | | | | |
| Cas 03 | - 0.937 | - 4.430 | - 2.653 | - 3.519 | - 3.519 | - 2.653 | - 4.430 | -0.937 | | | | |
| M _{a max} | - 0.937 | - 4.665 | - 2.937 | - 4.055 | - 4.055 | - 2.937 | - 4.665 | - 0.937 | | | | |

Tableau III. 21: Moments sur travées (poutrelle type1 (terrasse)).

| Cas | Travées | X | 0 | N | I_0 | M | I _t |
|-------|---------|-------|-------|--------|--------|---------|----------------|
| Cas | Travees | ELU | ELS | ELU | ELS | ELU | ELS |
| | AB | 1.719 | 1.720 | 5.083 | 3.214 | 1.495 | 0.611 |
| | BC | 1.807 | 1.824 | 3.730 | 2.296 | -1.436 | -1.456 |
| | CD | 1.630 | 1.630 | 4.301 | 2.750 | -0.488 | -0.722 |
| Cas 1 | DE | 2.20 | 2.20 | -0.055 | -0.931 | -5.647 | -4.986 |
| | EF | 1.630 | 1.630 | 4.301 | 2.750 | -0.488 | -0.722 |
| | FG | 1.807 | 1.824 | 3.730 | 2.296 | -1.436 | -1.456 |
| | GH | 1.719 | 1.720 | 5.083 | 3.214 | 1.495 | 0.611 |
| | | | | | | | |
| | AB | 1.748 | 1.747 | 4.983 | 3.145 | 2.102 | 0.917 |
| Cas 2 | BC | 1.782 | 1.872 | 3.808 | 2.189 | - 0.679 | -1.714 |
| Cas 2 | CD | 1.627 | 1.628 | 4.311 | 2.755 | -0.030 | -0.451 |
| | DE | 2.20 | 2.20 | -0.055 | -0.931 | -5.277 | -4.739 |

| | EF | 1.627 | 1.628 | 4.311 | 2.755 | -0.030 | -0.451 |
|-------|----|-------|-------|--------|--------|---------|---------|
| | FG | 1.782 | 1.872 | 3.808 | 2.189 | - 0.679 | -1.714 |
| | GH | 1.748 | 1.747 | 4.983 | 3.145 | 2.102 | 0.917 |
| | | | | | | | |
| | AB | 1.720 | 1.738 | 4.813 | 3.312 | 1.454 | 0.790 |
| | BC | 1.811 | 1.810 | 3.717 | 2.327 | -1.056 | - 1.157 |
| | CD | 1.647 | 1.646 | 4.244 | 2.711 | 0.054 | -0.361 |
| Cas 3 | DE | 2.20 | 2.20 | -0.055 | -0.931 | -4.845 | -4.450 |
| | EF | 1.647 | 1.646 | 4.244 | 2.711 | 0.054 | -0.361 |
| | FG | 1.811 | 1.810 | 3.717 | 2.327 | -1.056 | - 1.157 |
| | GH | 1.720 | 1.738 | 4.813 | 3.312 | 1.454 | 0.790 |

Tableau III. 22: Moments aux appuis (poutrelle type1 (étage)).

| Cas | | ELU | | | | | | | | | | |
|--------------------|---------|---------|---------|---------|---------|---------|---------|---------|--|--|--|--|
| Cas | A | В | C | D | E | F | G | Н | | | | |
| Cas 1 | - 1.293 | -6.872 | -4.327 | - 5.974 | - 5.974 | -4.327 | -6.872 | - 1.293 | | | | |
| Cas 2 | - 1.022 | - 5.378 | - 3.691 | - 5.420 | - 5.420 | - 3.691 | - 5.378 | - 1.022 | | | | |
| Cas 3 | - 1.293 | - 6.345 | - 3.691 | -4.772 | -4.772 | - 3.691 | - 6.345 | - 1.293 | | | | |
| M _{a max} | - 1.293 | - 6.872 | - 4.327 | - 5.974 | - 5.974 | - 4.327 | - 6.872 | - 1.293 | | | | |

Tableau III. 23: Moments aux appuis (poutrelle type1 (étage)).

| Cas | | ELS | | | | | | | | | |
|--------------------|---------|---------|---------|---------|---------|---------|---------|---------|--|--|--|
| Cas | A | В | C | D | E | F | G | Н | | | |
| Cas 1 | - 1.381 | - 4.941 | - 3.111 | - 4.296 | - 4.296 | - 3.111 | - 4.941 | - 1.381 | | | |
| Cas 2 | -0.975 | - 3.945 | - 2.687 | - 3.926 | - 3.926 | - 2.687 | - 3.945 | -0.975 | | | |
| Cas 3 | - 1.381 | - 4.890 | - 2.987 | - 3.494 | - 3.494 | - 2.987 | - 4.890 | - 1.381 | | | |
| M _{a max} | - 1.381 | - 4.941 | - 3.111 | - 4.296 | - 4.296 | - 3.111 | - 4.941 | - 1.381 | | | |

Tableau III. 24: Moments sur travées (poutrelle type1 (étage)).

| Cas | Travées | X | 0 | IV. | 10 | N | 1 _t |
|-------|---------|-------|-------|--------|--------|--------|----------------|
| Cas | Travees | ELU | ELS | ELU | ELS | ELU | ELS |
| | AB | 1.650 | 1.753 | 4.879 | 3.278 | 1.435 | 0.623 |
| | BC | 1.734 | 1.860 | 3.580 | 2.341 | -1.378 | -1.485 |
| | CD | 1.564 | 1.662 | 4.128 | 2.805 | -0.468 | -0.736 |
| Cas 1 | DE | 2.112 | 2.244 | -0.052 | -0.949 | -5.421 | -5.085 |
| | EF | 1.564 | 1.662 | 4.128 | 2.805 | -0.468 | -0.736 |
| | FG | 1.734 | 1.860 | 3.580 | 2.341 | -1.378 | -1.485 |
| | GH | 1.650 | 1.753 | 4.879 | 3.278 | 1.435 | 0.623 |
| | | | | | | | |
| Cas 2 | AB | 1.678 | 1.781 | 4.783 | 3.207 | 2.017 | 0.935 |

| | BC | 1.710 | 1.909 | 3.655 | 2.232 | -0.651 | -1.748 |
|-------|----|-------|-------|--------|--------|--------|--------|
| | CD | 1.561 | 1.660 | 4.138 | 2.810 | -0.028 | -0.460 |
| | DE | 2.112 | 2.244 | -0.052 | -0.949 | -5.065 | -4.833 |
| | EF | 1.561 | 1.660 | 4.138 | 2.810 | -0.028 | -0.460 |
| | FG | 1.710 | 1.909 | 3.655 | 2.232 | -0.651 | -1.748 |
| | GH | 1.678 | 1.781 | 4.783 | 3.207 | 2.017 | 0.935 |
| | | | | | | | |
| | AB | 1.651 | 1.772 | 4.620 | 3.378 | 1.395 | 0.805 |
| | BC | 1.738 | 1.846 | 3.568 | 2.373 | -1.013 | -1.180 |
| | CD | 1.581 | 1.678 | 4.074 | 2.765 | 0.051 | -0.368 |
| Cas 3 | DE | 2.112 | 2.244 | -0.052 | -0.949 | -4.651 | -4.539 |
| | EF | 1.581 | 1.678 | 4.074 | 2.765 | 0.051 | -0.368 |
| | FG | 1.738 | 1.846 | 3.568 | 2.373 | -1.013 | -1.180 |
| | GH | 1.651 | 1.772 | 4.620 | 3.378 | 1.395 | 0.805 |

c. Calcul des efforts tranchants : (poutrelle type1 (terrasse et étage)).

Les efforts tranchants sont déterminés en utilisant la méthode de la RDM :

$$V_i = \pm \frac{q_u \times l_i}{2} - \frac{M_i - M_{i+1}}{l_i}$$

l_i : Portée de la travée

Travée AB:

$$V_{A} = \frac{6.49 \times 3.85}{2} - \frac{-1.293 - (-6.432)}{3.85} = 11.15 \text{ KN}$$

$$V_{B} = -\frac{6.49 \times 3.85}{2} - \frac{-1.293 - (-6.432)}{3.85} = -13.82 \text{ KN}$$

Tableau III. 25: Efforts tranchants (poutrelles type 1 (Terrasse)).

| Travées | efforts trend | chants (KN) | | |
|------------------|---------------|-------------|--|--|
| Travees | Gauche | Droite | | |
| AB | 11.15 | 13.82 | | |
| BC | 11.87 | -10.28 | | |
| CD | 10.57 | -11.48 | | |
| DE | 14.27 | - 14.27 | | |
| EF | 10.57 | -11.48 | | |
| FG | 11.87 | -10.28 | | |
| GH | 11.15 | 13.82 | | |
| V _{max} | 14.27 | | | |

Tableau III. 26: Efforts tranchants (poutrelles type 1 (étage)).

| Travées | efforts trend | chants (KN) | | | |
|------------------|---------------|-------------|--|--|--|
| Travees | Gauche | Droite | | | |
| AB | 10.56 | -13.46 | | | |
| BC | 11.35 | -9.85 | | | |
| CD | 10.12 | -11.09 | | | |
| DE | 13.72 | -13.72 | | | |
| EF | 10.12 | -11.09 | | | |
| FG | 11.35 | -9.85 | | | |
| GH | 10.56 | -13.46 | | | |
| V _{max} | 13.72 | | | | |

III. 4. 9. Calcul les moments et les efforts tranchants pour la poutrelle Type 02 (étage) :

$$\alpha = \frac{Q}{Q+G}$$
 ; $\alpha = 0.2$

Tableau III. 27: Moment et effort tranchant (ELU) (poutrelle Type 02 (étage)).

| Travée | L (M) | P _U | M_0 | M_{g} | M _d | M _{t 1} | M _{t2} | M _t | Tg | T _d |
|----------|-------|----------------|-------|---------|----------------|------------------|-----------------|----------------|-------|----------------|
| travée 1 | 3.85 | 6.24 | 11.56 | 1.73 | 5.78 | 8.49 | 14.56 | 14.56 | 12.01 | 13.21 |
| travée 2 | 3.4 | 6.24 | 9.01 | 4.50 | 4.50 | 5.05 | 9.55 | 9.55 | 11.66 | 11.66 |
| travée 3 | 3.4 | 6.24 | 9.01 | 4.5 | 1.35 | 6.63 | 9.55 | 9.55 | 11.66 | 10.60 |

Tableau III. 28: Moment et effort tranchant (ELS) (poutrelle Type 02 (étage)).

| Travée | L(M) | P_{U} | M_0 | M_{g} | M_d | M _{t1} | M _{t2} | M _t | T_{g} | T_d |
|----------|------|---------|-------|---------|-------|-----------------|-----------------|----------------|---------|-------|
| travée 1 | 3.85 | 4.875 | 9.03 | 1.35 | 4.51 | 6.64 | 11.37 | 11.37 | 9.38 | 10.32 |
| travée 2 | 3.4 | 4.875 | 7.04 | 3.52 | 3.52 | 3.94 | 7.46 | 7.46 | 9.11 | 9.11 |
| travée 3 | 3.4 | 4.875 | 7.04 | 3.52 | 1.05 | 5.18 | 7.46 | 7.46 | 9.11 | 8.28 |

III. 4. 10. Ferraillage des poutrelles :

a. Poutrelle type1 (terrasse):

Les armatures seront calculées sous les sollicitations les plus défavorables et le calcul est conduit pour une section en T soumise à la flexion simple.

Tableau III. 29: Les sollicitations les plus défavorables.

| CAS | ELU | ELS |
|--------------------------------------|---------|----------------|
| Moment en travée (KN.m) | -5.647 | -4.986 |
| Moment en appui intermédiaire (KN.m) | - 6.432 | - 4.665 |
| Moment en appui de rive (KN.m) | - 1.293 | - 0.937 |
| Effort tranchant (KN) | 14. | 27 |

***** Ferraillage en travée :

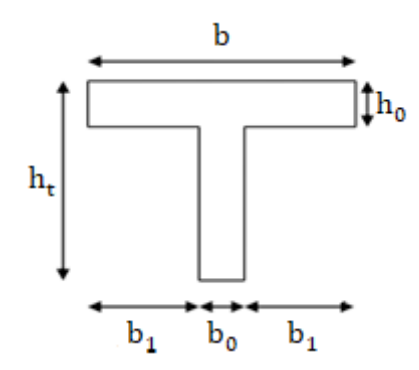


Figure III. 23: dimensionnement des poutrelles.

Données:

b = 65 cm, $h_0 = 4 \text{ cm}$, $b_0 = 10 \text{ cm}$

h = 20 cm

Moment équilibré par la table de compression Mtu

$$M_{TU} = f_{bu} \times b \times h_0 \left(d - \frac{h_0}{2}\right)$$

Si : $M_U \le M_{TU} \to la$ table n'est pas entièrement comprimée, l'axe neutre est dans la table de compression, de ce fait nous calculons une section rectangulaire (b×h).

Si : $M_U \ge M_{TU} \rightarrow 1$ 'axe neutre passe par la nervure, dans e cas nous calculons une section en T.

$$M_{TU} = 14.2 \times 0.65 \times 0.04 \left(0.18 - \frac{0.04}{2}\right) = 59.072 \text{ KN.m}$$

$$M_{TU} = 59.072 > M_{U} = 5.647$$

Donc : la table n'est pas entièrement comprimée, l'axe neutre est dans la table de compression, de ce fait nous calculons une section rectangulaire $(b \times h)$.

Calcul du moment réduit ultime µ_{bu}

$$\begin{split} \mu_{\text{bu}} &= \frac{M_U}{f_{\text{bu}} \times b \times d^2} = \frac{5.647 \times 10^{-3}}{14.2 \times 0.65 \times 0.18^2} = \frac{M_U}{14.2 \times 0.65 \times 0.18^2} = 0.0188 \\ & 0.0188 < 0.186 \Rightarrow (\text{PIVOT A}) \\ & \alpha = 1.25 \big(1 - \sqrt{1 - 2\mu}\big) = 1.25 \big(1 - \sqrt{1 - 2 \times 0.0188}\big) = 0,023 \\ & z = d(1 - 0.4\alpha) = 18 \times (1 - 0.4 \times 0.023) = 17,83 \text{ cm} \\ & A_t = \frac{M_U}{Z \times \sigma_S} \\ & \sigma_S = 347.82 \text{ MPa} \\ & A_t = \frac{5.647 \times 10^6}{178.3 \times 347.82} = 91.05 \text{mm}^2 = 0.9105 \text{ cm}^2 \end{split}$$

Condition de non fragilité :

$$A_{S min} = \frac{0.23 \text{ b} \times \text{d} \times \text{f}_{t28}}{f_e}$$

$$f_{t28} = 2.1 \text{MPa}$$

$$A_{S \min} = \frac{0.23 \times 650 \times 180 \times 2,1}{400} = 141,277 \text{mm}^2 = 1,412 \text{cm}^2$$

 $A_S = \max[A_t; A_{S \min}]$

 $A_S = max [0.9105cm^2; 1,412 cm^2]; A_S = 1,412 cm^2$

D'après les résultats ci-dessus on prend $A_S = 1.412 \text{cm}^2$.

Alors on adopte: $2HA10 = 1,57cm^2$.

Ferraillage en appuis :

Le moment aux appuis est négatif, ce qui revient à dire que la table de compression est tendue, et le béton tendu n'intervient pas dans la résistance, pour cela, on va considérer une section rectangulaire d=18 cm et $b_0=10$ cm

$$\mu_{bu} = \frac{M_U}{f_{bu} \times b \times d^2}$$

$$\mu_{bu} = \frac{6,432 \times 10^6}{100 \times 180^2 \times 14,16} = 0,135 < \mu_l = 0,392 => \text{Section simplement armée A'}_S = 0$$

$$\alpha = 1.25 \left(1 - \sqrt{1 - 2\mu}\right) = 1.25 \left(1 - \sqrt{1 - 2 \times 0,135}\right) = 0,181$$

$$z = d(1 - 0.4\alpha) = 18 \times (1 - 0.4 \times 0,181) = 16,69 \text{ cm}$$

$$A_a = \frac{M_a \max}{7 \times \sigma_c}$$

$$\sigma_S = 347.82 \text{ MPa}$$

$$A_a = \frac{6,432 \times 10^6}{166, \times 347.82} = 110.7 \text{ mm}^2 = 1.107 \text{cm}^2$$

Condition de non fragilité:

$$A_{S min} = \frac{0.23 b \times d \times f_{t28}}{f_e}$$

$$f_{t28} = 2.1 \text{MPa}$$

$$A_{S min} = \frac{0.23 \times 100 \times 180 \times 2,1}{400} = 21,735 \text{mm}^2 = 0,217 \text{cm}^2$$

 $A_{S} = \max[A_{a}; A_{S \min}]$

 $A_S = max[1,107cm^2; 0,217cm^2]; A_S = 1,107 cm^2$

D'après les résultats ci-dessus on prend $A_S = 1,107 \text{ cm}^2$.

Alors on adopte: $2HA10 = 1.57cm^2$.

❖ Vérifications à l'ELU :

• Vérification de la contrainte de cisaillement :

On calcul tous les types de poutrelles avec l'effort tranchant maxima V_{max} =14.27 KN ; On vérifie la condition de rupture par cisaillement :

$$\tau_{\rm n} < \overline{\tau_{\rm n}}$$

Avec:

$$au_{\rm u} = rac{{
m Vu}}{({
m b}_0 imes {
m d})} = rac{14,27 imes 10^3}{100 imes 180} = 0,792 \; {
m MPa}$$

Les armatures d'âme sont droites, La fissuration et peu nuisible. ... (BAEL 91 A.5.1,211)

$$\begin{split} \overline{\tau_u} &= \text{min}\left(0.2\frac{f_{c28}}{\gamma_b}; \text{5 MPa}\right) = \text{min}(3,\!33\text{ MPa}; \text{4 MPa}) = 3,\!33\text{ MPa} \\ \tau_u &< \overline{\tau_u} \Rightarrow 0,\!797\text{ MPa} < 3,\!33\text{ MPa} \dots \dots \text{Condition Vérifiée}. \end{split}$$

⇒ Pas de risque de rupture par cisaillement, Les armatures transversales ne sont pas nécessaires.

• Choix des armatures transversales :

$$\begin{split} \varphi_t \leq \min \left\{ \frac{h}{35}; \frac{b_0}{10}; \varphi_{L \max} \right\} \\ \varphi_t \leq \min \left\{ \frac{200}{35}; \frac{100}{10}; 10 \right\} = \min \left\{ 5,714; 10; 10 \right\} = 5,714 \\ \varphi_t = 6 \text{ mm} \quad ; A_t = 2 \varphi 6 = 0,57 \text{ cm}^2 \end{split}$$

❖ L'espacement S_t(BAEL A.5.1,23) :

$$S_t = \min(S_{t1}; S_{t2}; S_{t3})$$

1)
$$S_{t1} \le \min(0.9d; 40 \text{ cm}) = \min(0.9 \times 18; 40 \text{ cm})$$

 $S_{t1} = 16.2 \text{ cm}$

2)
$$S_{t2} \le \frac{(A_t \times f_e)}{(0.4 \times b_0)}$$

$$S_{t2} \le \frac{(0.57 \times 235)}{(0.4 \times 10)} = 33,48 \text{ cm}$$

3)
$$S_{t3} \le \frac{(0.8A_t \times f_e)}{b_0(\tau_u - 0.3f_{t28})}$$

$$S_{t3} \le \frac{(0.8 \times 0.57 \times 235)}{10(0.792 - 0.3 \times 2.1)} = 66.14 \text{ cm}$$

 $S_t = min(16.2 \text{ cm}; 33.48 \text{ cm}; 66.14 \text{ cm})$

On prend l'espacement de nos armatures transversales S_t = 15 cm.

❖ Vérification de la bielle de béton (BAEL A.5.1 ,313) [1]

On limite la contrainte de bielle à :

$$\frac{2V_{\rm u}}{b \times a} \le \frac{0.8 \, f_{\rm cj}}{v_{\rm b}}$$

$$a \ge \frac{3,75 \text{ V}_u}{b \times f_{c28}} = \frac{3,75 \times 14,27 \times 10^3}{100 \times 25} = 2,45 \text{ cm}$$

 $a = min(0.9d; (40 - 4)cm) = 16.2 cm \Rightarrow 2.154 cm < 16.2 cm Condition Vérifiée.$

⇒ Pas de risque d'écrasement du béton au niveau de l'appui.

Vérification de la jonction table-nervure :

$$\tau_u = \frac{V_u \; b_1}{0.9 \; b \; d \; h_0} < \overline{\tau_u}$$

Avec $b_1 = 27.5 \text{ cm}$; $\overline{\tau_u} = 3.33 \text{ MPa}$

$$\tau_{\rm u} = \frac{14,27 \times 10^3 \times 275}{0,9 \times 650 \times 180 \times 40} = 0,93 \text{ MPa} < 3,33 \text{ MPa} \dots \dots \text{Condition Vérifiée.}$$

⇒ Pas de risque de rupture à la jonction table nervure.

❖ Vérification des armatures longitudinales en partie basses de l'appui (BAEL A.5.1,321)

L'effort de traction dans ces aciers équilibre l'effort tranchant V_u diminué de l'effetdumoment qui vient les comprimer.

$$F_{st} = |V_u| - \frac{M_u}{Z}$$
 ; $Z = 0.9d$

$$F_{st} = |V_u| - \frac{M_u}{0.9d} \begin{cases} M_u \geq 0.9 dV_u \text{ ;} & V_u \text{negligeable} \\ M_u \geq 0.9 dV_u A_s \geq \frac{\gamma_s \left(|V_u| - \frac{M_u}{0.9d}\right)}{f_e} \end{cases}$$

 $5.647 > 0.9 \times 0.18 \times 14.27 = 2.31$; 5.647 > 2.31 Donc les efforts V_u sont négligeables.

❖ Vérifications à l'ELS :

Vérification des contraintes :

* En travée:

$$\sigma_{\rm b} = \frac{\rm M_{\rm ser}}{\rm I} \rm y \le \overline{\sigma_{\rm bc}} = 0.6 f_{\rm c28} = 15 \rm MPa$$

• Position de l'axe neutre

$$H = \frac{bh_0^2}{2} - 15A_t(d - h_0) = \frac{65 \times 4^2}{2} - 15 \times 1.57(18 - 4) = 190,30 \text{ cm}^3$$

H > 0 L'axe neutre passe par la table, le calcul se fera pour une section rectangulaire $b \times h$. Détermination de la valeur de "y"

$$\frac{1}{2}by^{2} + \eta(d - y) \times A_{s} = 0$$

$$\frac{1}{2} \times 65y^{2} - 15 \times (18 - y) \times 1.57 = 0$$

$$32,5 y^{2} + 23.55 y - 423.9 = 0$$

$$y = 4.029 cm$$

• Moment d'inertie :

$$\begin{split} I &= \frac{1}{3} \, by^3 + \eta (d-y)^2 A_s \\ I &= \frac{1}{3} \times 65 \times 4.029^3 + 15(18 - 4.029)^2 \times 1.57 = 6821.45 \ cm^4 \\ \sigma_b &= \frac{M_{ser}}{I} y = \frac{4.986 \times 10^6}{6821.45 \times 10^4} \times 40.29 = 2.9 \ \text{MPa} \\ \sigma_b &= 0.29 \ \text{MPa} \leq \overline{\sigma_{bc}} = 15 \ \text{MPa} \dots \dots \text{Condition V\'erifi\'ee}. \end{split}$$

❖ En appui:

$$\sigma_{\rm b} = \frac{M_{\rm ser}}{I} y \le \overline{\sigma_{\rm bc}} = 0.6 f_{\rm c28} = 15 \text{ MPa}$$

• Position de l'axe neutre

$$H = \frac{bh_0^2}{2} - 15A_t(d - h_0) = \frac{65 \times 4^2}{2} - 15 \times 1,57(18 - 4) = 190,30 \text{cm}^3$$

H > 0 L'axe neutre passe par la table, le calcul se fera pour une section rectangulaire $b \times h$. Détermination de la valeur de "y"

$$\frac{1}{2}by^2 + \eta(d - y)A_s = 0$$

$$\frac{1}{2} \times 65y^2 + 15(18 - y)1,57 = 0$$

$$32,5 y^2 + 23,55 y - 423,9 = 0$$

$$y = 3,267 cm$$

• Moment d'inertie :

$$\begin{split} I &= \frac{1}{3} b y^3 + \eta (d-y)^2 A_s \\ I &= \frac{1}{3} \times 65 \times 3,267^3 + 15(18-3,267)^2 \times 1,57 = 5867,302 \text{ cm}^4 \\ \sigma_b &= \frac{M_{ser}}{I} y = \frac{4.665 \times 10^6}{5867,302 \times 10^4} \times 32,67 = 2,59 \text{ MPa} \\ \sigma_b &= 2,650 \text{ MPa} \leq \overline{\sigma_{bc}} = 15 \text{ MPa} \dots \dots \dots \text{Condition V\'erifi\'ee}. \end{split}$$

Tableau III. 30: Vérification des contraintes à l'ELS.

| | $M_{ser}(KN.m)$ | $A_s(cm^2)$ | y(cm) | I(cm ⁴) | $\sigma_b(MPa)$ | $\sigma_{\rm b} < \overline{\sigma_{ m bc}}$ |
|--------|-----------------|-------------|-------|---------------------|-----------------|--|
| Travée | 6,883 | 1.57 | 4.029 | 6821.45 | 2.9 | CV |
| Appuis | 4,665 | 1.57 | 3,267 | 5867,302 | 2,59 | CV |

❖ Vérification de la flèche (BAEL B .6.5.1 ,1) [2]

La vérification de la flèche n'est pas nécessaire si les conditions suivantes sont vérifiées.

$$h=0.2~m \qquad ; \quad l=4.20~m \qquad ; \quad A_{s\,t}=1.57~cm^2$$

1)
$$\frac{h}{l} \ge \frac{1}{16} \Rightarrow \frac{0,2}{4,40} \ge \frac{1}{16} \dots \dots$$
 Condition non Vérifiée

2)
$$\frac{h}{l} \ge \frac{M_t}{10M_0}$$
...... Condition non Vérifiée.

Les conditions ne sont pas satisfaites. Donc il y'a un risque de la flèche.

$$f \leq \bar{f}$$

Tel que:

$$\begin{cases} \overline{f} = 0.5 + \frac{L}{1000} & \text{Si L} \ge 5.00 \text{ m} \\ \overline{f} = \frac{L}{500} & \text{Si L} < 5.00 \text{ m} \end{cases}$$

Donc: $\bar{f} = \frac{L}{500} = \frac{4000}{500} = 8.8 \text{ mm}$.

$$f = \frac{M_{ser} \times l^2}{10 \times E_i \times I_{fi}}$$

 E_i : Module instantané de béton. $E_i = 32164.195 \text{ MPa}$

Ifi: L'inertie fissurée.

$$\begin{split} I_{fi} &= \frac{\text{1,1}I_0}{\text{1+}\lambda_i\,\mu} \;\; ; \quad \mu = 1 - \frac{\text{1,75}f_{\text{t28}}}{\text{4}\rho\sigma_s + f_{\text{t28}}} \;\; ; \quad \lambda_i = \frac{\text{0,05}f_{\text{t28}}}{\rho\left(2 + 3\frac{b_0}{b}\right)} \;\; ; \quad \rho = \frac{A}{b_0d} \\ \mu &= 0,236; \;\; \rho = 0,012; \quad \lambda_i = 3,554 \; ; \quad I_0 = 38326,315 \; \text{cm}^2 \\ I_{fi} &= \frac{\text{1,1}I_0}{1 + \lambda_i\,\mu} = 22928,120 \text{cm}^4 \\ f &= \frac{M_t \times l^2}{10 \times E_i \times I_{fi}} = 0.65 \; \text{mm} \;\; < 8 \; \text{mm} \end{split}$$

Donc: $f \leq \overline{f} \dots \dots \dots \dots$ Condition Vérifiée.

❖ Schéma de ferraillage : (poutrelle Type 01 Terrasse)

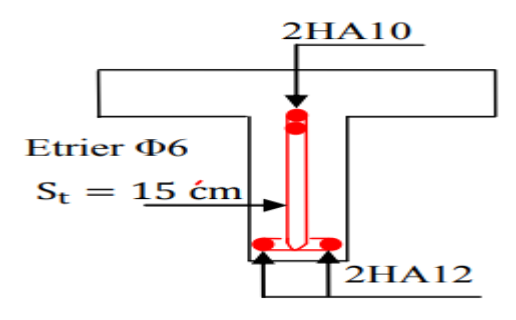


Figure III. 24: Appui intermédiaire.

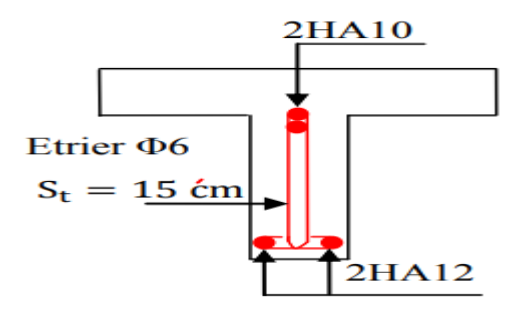


Figure III. 25: Appui de rive.

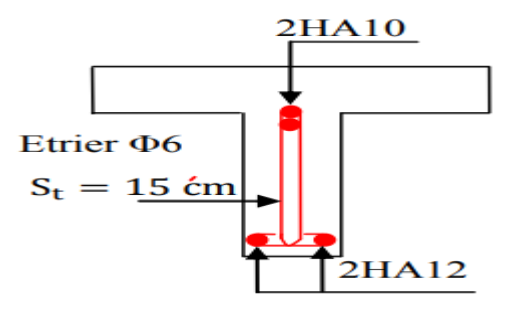


Figure III. 26: Travée.

b. Poutrelle type1 (étage):

Les armatures seront calculées sous les sollicitations les plus défavorables et le calcul est conduit pour une section en T soumise à la flexion simple.

Tableau III. 31: Les sollicitations les plus défavorables.

| CAS | ELU | ELS |
|--------------------------------------|---------|---------|
| Moment en travée (KN.m) | -5.421 | -5.085 |
| Moment en appui intermédiaire (KN.m) | - 6.872 | - 4.941 |
| Moment en appui de rive (KN.m) | - 1.293 | - 1.381 |
| Effort tranchant (KN) | 13. | 72 |

***** Ferraillage en travée :

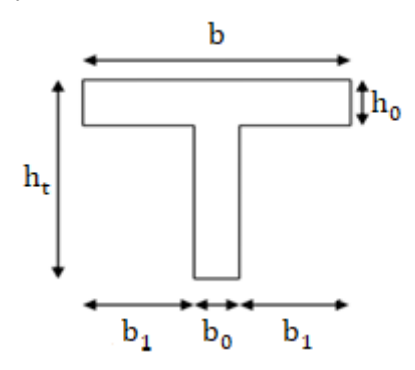


Figure III. 27: dimensionnement des poutrelles.

Données:

$$b = 65 \text{ cm}$$
, $h_0 = 4 \text{ cm}$, $b_0 = 10 \text{ cm}$

h = 20 cm

Moment équilibré par la table de compression M_{TU}.

$$M_{TU} = f_{bu} \times b \times h_0 \left(d - \frac{h_0}{2}\right)$$

Si : $M_U \le M_{TU} \to la$ table n'est pas entièrement comprimée, l'axe neutre est dans la table de compression, de ce fait nous calculons une section rectangulaire (b×h).

Si : $M_U \ge M_{TU} \rightarrow 1$ 'axe neutre passe par la nervure, dans e cas nous calculons une section en T

$$M_{TU} = 14.2 \times 0.65 \times 0.04 \left(0.18 - \frac{0.04}{2}\right) = 59.072 \text{ KN.m}$$

$$M_{TU} = 59.072 > M_{U} = 5.421$$

Donc : la table n'est pas entièrement comprimée, l'axe neutre est dans la table de compression, de ce fait nous calculons une section rectangulaire $(b \times h)$.

Calcul du moment réduit ultime μ_{bu} :

$$\begin{split} \mu_{\text{bu}} &= \frac{\text{M}_{\text{U}}}{\text{f}_{\text{bu}} \times \text{b} \times \text{d}^2} = \frac{5.421 \times 10^{-3}}{14.2 \times 0.65 \times 0.18^2} = \ 0.0181 \\ &\Rightarrow \ 0.0181 < 0.186 \ \text{(PIVOT A)} \\ \alpha &= 1.25 \big(1 - \sqrt{1 - 2\mu}\big) = 1.25 \big(1 - \sqrt{1 - 2 \times 0.0181}\big) = 0,022 \\ z &= d(1 - 0.4\alpha) = 18 \times (1 - 0.4 \times 0.022) = 17,84 \ \text{cm} \\ A_t &= \frac{M_U}{Z \times \sigma_s} \end{split}$$

 $\sigma_{S} = 347.82 \text{ MPa}$

$$A_t = \frac{5.421 \times 10^6}{178.4 \times 347.82} == 0.8736 \text{ cm}^2$$

• Condition de non fragilité

$$A_{S \min} = \frac{0.23 \text{ b} \times \text{d} \times f_{t28}}{f_{e}}$$

 $f_{t28} = 2.1MPa$

$$A_{\text{S min}} = \frac{0.23 \times 650 \times 180 \times 2,1}{400} = 141,277 \text{mm}^2 = 1,412 \text{cm}^2$$

$$A_{\text{S}} = \text{max}[A_{\text{t}}; A_{\text{S min}}]$$

$$A_S = \max [0.873 \text{cm}^2; 1,412 \text{ cm}^2]; A_S = 1,412 \text{ cm}^2$$

D'après les résultats ci-dessus on prend $A_S = 1.412 \text{cm}^2$.

Alors on adopte : $2HA10 = 1,57cm^2$.

❖ En appui:

Le moment aux appuis est négatif, ce qui revient à dire que la table de compression est tendue, et le béton tendu n'intervient pas dans la résistance, pour cela, on va considérer une section rectangulaire d = 18 cm et $b_0 = 10$ cm.

$$\begin{split} \mu_{\text{bu}} &= \frac{M_U}{f_{\text{bu}} \times b \times d^2} \\ \mu_{\text{bu}} &= \frac{6,872 \times 10^6}{100 \times 180^2 \times 14,16} = 0,145 < 0.186 \Rightarrow \text{ PIVOT A} \\ \alpha &= 1.25 \Big(1 - \sqrt{1 - 2\mu}\Big) = 1.25 \Big(1 - \sqrt{1 - 2 \times 0,145}\Big) = 0,196 \\ z &= d(1 - 0.4\alpha) = 18 \times (1 - 0.4 \times 0,196) = 16,58 \text{ cm} \\ A_a &= \frac{M_{a \text{ max}}}{Z \times \sigma_S} \end{split}$$

 $\sigma_{\rm S} = 347.82 \, \text{MPa}$

$$A_a = \frac{6.872 \times 10^6}{165.8 \times 347.82} = 1.191 \text{ cm}^2$$

• Condition de non fragilité :

$$A_{S \min} = \frac{0.23 \text{ b} \times \text{d} \times \text{f}_{t28}}{f_e}$$

$$f_{t28} = 2.1MPa$$

$$A_{S min} = \frac{0.23 \times 100 \times 180 \times 2,1}{400} = 21,735 \text{mm}^2 = 0,217 \text{cm}^2$$

$$A_{S} = \text{max}[A_a; A_{S min}]$$

$$A_{S} = \text{max}[1,191 \text{cm}^2; 0,217 \text{cm}^2]; A_{S} = 1.191 \text{ cm}^2$$

D'après les résultats ci-dessus on prend $A_S = 1.191 \text{ cm}^2$.

Alors on adopte: $2HA10 = 1,57cm^2$.

❖ Vérifications à l'ELU :

• Vérification de la contrainte de cisaillement

On calcul tous les types de poutrelles avec l'effort tranchant maxima V_{max} =13.72KN, On vérifie la condition de rupture par cisaillement :

$$\tau_u < \overline{\tau_u}$$

Avec:

$$\tau_{\rm u} = \frac{V \rm u}{(b_0 \times d)} = \frac{13.72 \times 10^3}{100 \times 180} = 0.762 \text{ MPa}$$

Les armatures d'âme sont droites, La fissuration et peu nuisible. (BAEL 91 A.5.1,211)

$$\begin{split} \overline{\tau_u} &= \text{min}\left(0.2\frac{f_{c28}}{\gamma_b}; 5 \text{ MPa}\right) = \text{min}(3,\!33 \text{ MPa}; 4 \text{ MPa}) = 3,\!33 \text{ MPa} \\ \tau_u &< \overline{\tau_u} \Rightarrow \ 0,\!762 \text{ MPa} < 3,\!33 \text{ MPa} \dots \dots \dots \text{Condition Vérifiée}. \end{split}$$

⇒ Pas de risque de rupture par cisaillement, Les armatures transversales ne sont pas nécessaires.

• Choix des armatures transversales :

$$\begin{split} \varphi_t \leq \min \, \left\{ &\frac{h}{35}; \frac{b_0}{10}; \varphi_{L \, max} \right\} \\ \varphi_t \leq \min \, \left\{ &\frac{200}{35}; \frac{100}{10}; 10 \right\} = \min \, \{5,714; 10; 10\} = 5,714 \\ \varphi_t = 6 \, mm \quad ; \, A_t = 2 \varphi 6 = 0,57 \, cm^2 \end{split}$$

❖ L'espacement S_t(BAEL A.5.1,23)

$$\begin{split} S_t &= \min(S_{t1} \; ; S_{t2}; \, S_{t3}) \\ S_{t1} &\leq \min\left(0,9d; \, 40 \; \text{cm}\right) = \min\left(0,9 \times 18; \, 40 \; \text{cm}\right) \\ S_{t1} &= 16,2 \; \text{cm} \\ S_{t2} &\leq \frac{(A_t \times f_e)}{(0,4 \times b_0)} \\ S_{t2} &\leq \frac{(0,57 \times 235)}{(0,4 \times 10)} = 33,48 \; \text{cm} \\ S_{t3} &\leq \frac{(0,8A_t \times f_e)}{b_0(\tau_u - 0,3f_{t28})} \\ S_{t3} &\leq \frac{(0,8 \times 0,57 \times 235)}{10(0,762 - 0,3 \times 2,1)} = 81.18 \; \text{cm} \end{split}$$

 $S_t = min(16.2 \text{ cm}; 33.48 \text{ cm}; 81.18 \text{ cm})$

On prend l'espacement de nos armatures transversales S_t =15 cm

❖ Vérification de la bielle de béton (BAEL A.5.1 ,313) [1] :

On limite la contrainte de bielle à :

$$\frac{2V_{\rm u}}{b \times a} \le \frac{0.8 \, f_{\rm cj}}{\gamma_{\rm b}}$$

$$a \ge \frac{3,75 \text{ V}_u}{b \times f_{c28}} = \frac{3,75 \times 13.72 \times 10^3}{100 \times 25} = 2.05 \text{ cm}$$

 $a = min(0.9d; (40 - 4)cm) = 16.2 cm \Rightarrow 2.05 cm < 16.2 cm Condition Vérifiée.$

⇒ Pas de risque d'écrasement du béton au niveau de l'appui

Vérification de la jonction table-nervure :

$$\tau_u = \frac{V_u \; b_1}{\text{0.9 b d h}_0} < \overline{\tau_u}$$

Avec $b_1 = 27.5 \text{ cm}$; $\overline{\tau_u} = 3.33 \text{ MPa}$

⇒ Pas de risque de rupture à la jonction table nervure.

Vérification des armatures longitudinales en partie basses de l'appui (BAEL A.5.1,321)

L'effort de traction dans ces aciers équilibre l'effort tranchant V_u diminué de l'effet dumoment qui vient les comprimer.

$$F_{st} = |V_u| - \frac{M_u}{Z}$$
 ; $Z = 0.9d$

$$\begin{split} F_{st} &= |V_u| - \frac{M_u}{0.9d} \begin{cases} M_u \geq 0.9 \text{dV}_u \; ; & V_u \, \text{negligeable} \\ M_u \geq 0.9 \text{dV}_u A_s \geq \frac{\gamma_s \, \left(|V_u| - \frac{M_u}{0.9 \text{d}}\right)}{f_e} \\ 5.421 > 0.9 \times 0.18 \times 13.72 = 2.22 \; ; \; 5.421 > 2.22 \end{cases} \end{split}$$

Donc les efforts V_u sont négligeables.

❖ Vérifications à l'ELS :

Vérification des contraintes :

* En travée:

$$\sigma_{\rm b} = \frac{M_{\rm ser}}{I} y \le \overline{\sigma_{\rm bc}} = 0.6 f_{\rm c28} = 15 \text{ MPa}$$

• Position de l'axe neuter:

$$H = \frac{bh_0^2}{2} - 15A_t(d - h_0) = \frac{65 \times 4^2}{2} - 15 \times 1.57 \times (18 - 4) = 190,30 \text{ cm}^3$$

 $H>0\,$ L'axe neutre passe par la table, le calcul se fera pour une section rectangulaire $b\times h$. Détermination de la valeur de "y "

$$\frac{1}{2}by^{2} + \eta(d - y) \times A_{s} = 0$$

$$\frac{1}{2} \times 65y^{2} - 15 \times (18 - y) \times 1.57 = 0$$

$$32,5 y^{2} + 23.55 y - 423.9 = 0$$

$$y = 4.029 cm$$

• Moment d'inertie :

$$\begin{split} I &= \frac{1}{3} b y^3 + \eta (d-y)^2 A_s \\ I &= \frac{1}{3} \times 65 \times 4.029^3 + 15(18-4.029)^2 \times 1.57 = 6821.45 \text{ cm}^4 \\ \sigma_b &= \frac{M_{ser}}{I} y = \frac{5.085 \times 10^6}{6821.45 \times 10^4} \times 40.29 = 3 \text{ MPa} \\ \sigma_b &= 3 \text{ MPa} \leq \overline{\sigma_{bc}} = 15 \text{ MPa} \dots \dots \text{ Condition V\'erifi\'ee}. \end{split}$$

❖ En appui :

$$\sigma_{\rm b} = \frac{\rm M_{ser}}{\rm I} \rm y \, \leq \overline{\sigma_{bc}} = 0.6 f_{c28} = 15 \, MPa$$

• Position de l'axe neutre

$$H = \frac{bh_0^2}{2} - 15A_t(d - h_0) = \frac{65 \times 4^2}{2} - 15 \times 1,57(18 - 4) = 190,30 \text{cm}^3$$

H > 0 L'axe neutre passe par la table, le calcul se fera pour une section rectangulaire $b \times h$. Détermination de la valeur de "y"

$$\frac{1}{2}by^{2} + \eta(d - y)A_{s} = 0$$

$$\frac{1}{2} \times 65y^{2} + 15(18 - y)1,57 = 0$$

$$32,5 y^{2} + 23,55 y - 423,9 = 0$$

$$y = 3,267 cm$$

• Moment d'inertie

Tableau III. 32: Vérification des contraintes à l'ELS.

| | $M_{ser}(KN.m)$ | $A_s(cm^2)$ | y(cm) | I(cm ⁴) | $\sigma_b(MPa)$ | $\sigma_{\rm b} < \overline{\sigma_{ m bc}}$ |
|--------|-----------------|-------------|-------|---------------------|-----------------|--|
| Travée | 5.421 | 1.57 | 4.029 | 6821.45 | 3 | CV |
| Appuis | 6.872 | 1.57 | 3,267 | 5867,302 | 2,75 | CV |

❖ Vérification de la flèche (BAEL B .6.5.1 ,1) [2]

La vérification de la flèche n'est pas nécessaire si les conditions suivantes sont vérifiées.

$$\begin{split} h &= 0.2 \text{ m} \qquad ; \quad l = 4.20 \text{ m} \qquad ; \quad A_{\text{s t}} = 1.57 \text{ cm}^2 \\ \begin{cases} \frac{H}{I} \geq \frac{1}{16} \Rightarrow \frac{0.2}{4.40} \geq \frac{1}{16} \dots \dots \text{CNV} \\ \frac{H}{I} \geq \frac{M_t}{10M_0} \dots \dots \text{CNV} \\ \frac{A_t}{b \times d} \leq \frac{4.2}{f_e} \Rightarrow \frac{2.36}{65 \times 18} \leq \frac{4.2}{400} \dots \dots \text{CV} \end{split}$$

Les conditions ne sont pas satisfaites. Donc il y'a un risque de la flèche.

$$f \leq \bar{f}$$

Tel que:

$$\begin{cases} \overline{f} = 0.5 + \frac{L}{1000} & \text{Si L} \ge 5.00 \text{ m} \\ \overline{f} = \frac{L}{500} & \text{Si L} < 5.00 \text{ m} \end{cases}$$

Donc : $\bar{f} = \frac{L}{500} = \frac{4200}{500} = 8.4 \text{ mm}$.

$$f = \frac{M_{ser} \times l^2}{10 \times E_i \times I_{fi}}$$

 E_i : Module instantané de béton. $E_i = 32164.195 \text{ MPa}$

I_{fi}: L'inertie fissurée.

$$I_{fi} = \frac{_{1,1}I_{0}}{_{1+\lambda_{i}\,\mu}} \; ; \quad \mu = 1 - \frac{_{1,75f_{t28}}}{_{4\rho\sigma_{s}+f_{t28}}} \; ; \quad \lambda_{i} = \frac{_{0,05f_{t28}}}{_{\rho\left(2+3\frac{b_{0}}{b}\right)}} \; ; \quad \rho = \frac{_{A}}{_{b_{0}d}} \; ; \quad \rho = \frac{_{A}}{_{A}} \; ; \quad \rho =$$

$$\mu = 0.236$$
; $\rho = 0.012$; $\lambda_i = 3.554$; $I_0 = 38326.315 \text{ cm}^2$

$$I_{fi} = \frac{1,1I_0}{1+\lambda_i \mu} = 22928,120 \text{cm}^4$$

 $= 0.65 \,\mathrm{mm} < 8.4 mm$

Donc : $f \le \overline{f} \dots \dots \dots$ Condition Vérifiée.

❖ Schéma de ferraillage : (poutrelle Type 01 étage)

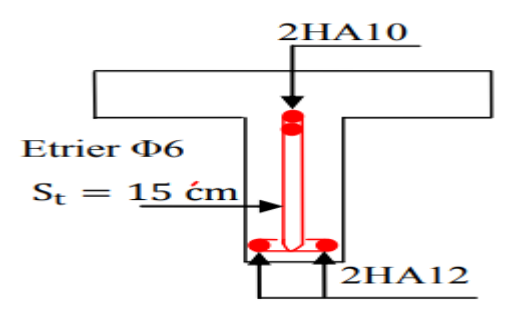


Figure III. 28: Appui intermédiaire.

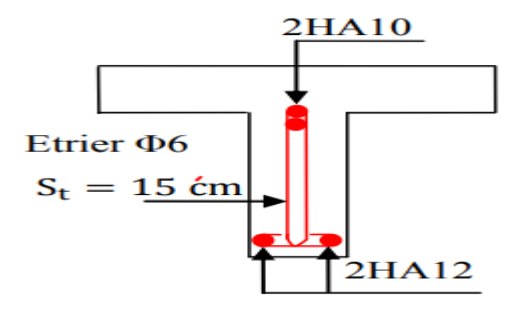


Figure III. 29: Appui de rive.

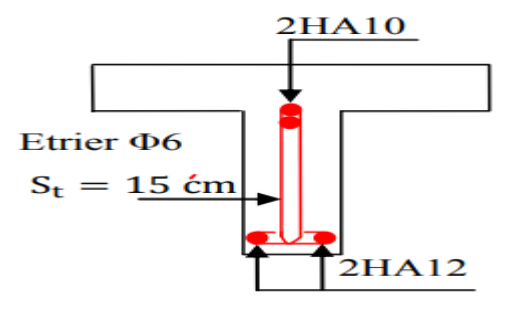


Figure III. 30: Travée.

c. Poutrelle type2 (étage):

Tableau III. 33: Les sollicitations les plus défavorables.

| CAS | ELU | ELS | |
|--------------------------------------|-------|-------|--|
| Moment en travée (KN.m) | 14.56 | 11.37 | |
| Moment en appui intermédiaire (KN.m) | 5.78 | 4.51 | |
| Moment en appui de rive (KN.m) | 1.73 | 1.35 | |
| Effort tranchant (KN) | 13.21 | | |

Données:

$$b = 65 \text{ cm}$$
 , $h_0 = 4 \text{ cm}$, $b_0 = 10 \text{ cm}$

h = 20 cm

Moment équilibré par la table de compression M_{TU} .

$$M_{TU} \, = \, f_{bu} \, \times b \times h_0 \left(d - \frac{h_0}{2} \right)$$

Si : $M_U \le M_{TU} \to la$ table n'est pas entièrement comprimée, l'axe neutre est dans la table de compression, de ce fait nous calculons une section rectangulaire (b×h).

Si : $M_U \ge M_{TU} \rightarrow$ l'axe neutre passe par la nervure, dans e cas nous calculons une section en T

$$M_{TU} = 14.2 \times 0.65 \times 0.04 \left(0.18 - \frac{0.04}{2}\right) = 59.072 \text{ kn.m}$$

$$M_{TU}\,=59.072\,>M_{U}\,=14.56$$

Donc : la table n'est pas entièrement comprimée, l'axe neutre est dans la table de compression, de ce fait nous calculons une section rectangulaire ($b \times h$).

Calcul du moment réduit ultime μ_{bu} :

$$\mu_{\mathbf{bu}} = \frac{M_{U}}{f_{\text{bu}} \times b \times d^{2}} = \frac{14.56 \times 10^{-3}}{14.2 \times 0.65 \times 0.18^{2}} = 0.048$$

$$\Rightarrow 0.048 < 0.186 \text{ (PIVOT A)}$$

$$\begin{split} \alpha &= 1.25 \big(1 - \sqrt{1 - 2\mu}\big) = &1.25 \big(1 - \sqrt{1 - 2 \times 0.048}\big) = 0,061 \\ z &= d(1 - 0.4\alpha) = 18 \times (1 - 0.4 \times 0.061) = 17,56 \text{ cm} \\ A_t &= \frac{M_U}{Z \times \sigma_S} \end{split}$$

 $\sigma_{S} = 347.82 \text{ MPa}$

$$A_t = \frac{14.56 \times 10^6}{175.6 \times 347.82} = 2.38 \text{cm}^2$$

• Condition de non fragilité

$$A_{S min} = \frac{0.23 \text{ b} \times \text{d} \times \text{f}_{t28}}{f_e}$$

 $f_{t28} = 2.1MPa$

$$\begin{split} A_{S\,min} &= \frac{0.23\,\times 650\times 180\times 2,1}{400} = 141,\!277\text{mm}^2 = 1,\!412\text{cm}^2\\ A_{S} &= \text{max}[A_{t}\,;A_{S\,min}\,]\\ A_{S} &= \text{max}\left[2.38\text{cm}^2;1,\!412\text{ cm}^2\right];\,A_{S} = 2.38\text{ cm}^2. \end{split}$$

D'après les résultats ci-dessus on prend $A_S = 2.38 \text{ cm}^2$.

Alors on adopte: $3HA12 = 3.36 \text{ cm}^2$.

- ❖ En appui:
- Vérification de la contrainte de cisaillement :

On calcul tous les types de poutrelles avec l'effort tranchant maxima V_{max} =13.21 KN ; On vérifie la condition de rupture par cisaillement :

$$\tau_{\rm u} < \overline{\tau_{\rm u}}$$

Avec:

$$\tau_{\rm u} = \frac{{
m Vu}}{({
m b}_0 \times {
m d})} = \frac{13.21 \times 10^3}{100 \times 180} = 0{,}733 \ {
m MPa}$$

Les armatures d'âme sont droites, La fissuration et peu nuisible. (BAEL 91 A.5.1,211)

$$\overline{\tau_u} = \min\left(0.2 \frac{f_{c28}}{\gamma_b}; 5 \text{ MPa}\right) = \min(3,33 \text{MPa}; 4 \text{ MPa}) = 3,33 \text{ MPa}$$

⇒Pas de risque de rupture par cisaillement, Les armatures transversales ne sont pas nécessaires.

• Choix des armatures transversales :

$$\begin{split} \varphi_t \leq \min \left\{ \frac{h}{35}; \frac{b_0}{10}; \varphi_{L \, max} \right\} \\ \varphi_t \leq \min \left\{ \frac{200}{35}; \frac{100}{10}; 10 \right\} = \min \left\{ 5,714; 10; 10 \right\} = 5,714 \\ \varphi_t = 6 \, \text{mm} \quad ; A_t = 2 \varphi 6 = 0,57 \, \text{cm}^2 \end{split}$$

❖ L'espacement S_t(BAEL A.5.1,23)

$$S_t = \min(S_{t1}; S_{t2}; S_{t3})$$

$$\begin{split} S_{t1} & \leq \text{min} \ (0,9\text{d}; 40 \ \text{cm}) = \text{min} \ (0,9 \times 18; 40 \ \text{cm}) \\ S_{t1} & = 16,2 \ \text{cm} \\ S_{t2} & \leq \frac{(A_t \times f_e)}{(0,4 \times b_0)} \\ S_{t2} & \leq \frac{(0,57 \times 235)}{(0,4 \times 10)} = 33,48 \ \text{cm} \\ S_{t3} & \leq \frac{(0,8A_t \times f_e)}{b_0(\tau_u - 0,3f_{t28})} \\ S_{t3} & \leq \frac{(0,8 \times 0,57 \times 235)}{10(0,792 - 0,3 \times 2,1)} = 66.14 \ \text{cm} \end{split}$$

 $S_t = min(16.2 \text{ cm}; 33.48 \text{ cm}; 66.14 \text{ cm})$

On prend l'espacement de nos armatures transversales $S_t=15$ cm

❖ Vérification de la bielle de béton (BAEL A.5.1 ,313) [1]

On limite la contrainte de bielle à :

$$\frac{2V_{\rm u}}{b \times a} \le \frac{0.8 \, f_{\rm cj}}{\gamma_{\rm b}}$$

$$a \ge \frac{3,75 \text{ V}_u}{b \times f_{c28}} = \frac{3,75 \times 13.21 \times 10^3}{100 \times 25} = 1.19 \text{ cm}$$

 $a = min(0.9d; (40 - 4)cm) = 16.2 cm \Rightarrow 2.154 cm < 16.2 cm Condition Vérifiée.$

⇒ Pas de risque d'écrasement du béton au niveau de l'appui.

Vérification de la jonction table-nervure

$$\tau_{\rm u} = \frac{V_{\rm u} \; b_{\rm 1}}{0.9 \; b \; d \; h_{\rm 0}} < \overline{\tau_{\rm u}}$$

Avec $b_1 = 27.5 \text{ cm}$; $\overline{\tau_u} = 3.33 \text{ MPa}$

⇒Pas de risque de rupture à la jonction table nervure.

❖ Vérification des armatures longitudinales en partie basses de l'appui (BAEL A.5.1,3.2.1)

L'effort de traction dans ces aciers équilibre l'effort tranchant V_u diminué de l'effet dumoment qui vient les comprimer.

$$F_{st} = |V_u| - \frac{M_u}{Z}$$
 ; $Z = 0.9d$

$$F_{st} = |V_u| - \frac{M_u}{0.9d} \begin{cases} M_u \geq 0.9 dV_u \text{;} & V_u \text{negligeable} \\ M_u \geq 0.9 dV_u A_s \geq \frac{\gamma_s \left(|V_u| - \frac{M_u}{0.9 d}\right)}{f_e} \end{cases}$$

 $14.56 > 0.9 \times 0.18 \times 13.21 = 2.14$; 14.56 > 2.14 Donc les efforts V_u sont négligeables.

❖ Vérifications à l'ELS

Vérification des contraintes

* En travée

$$\sigma_{\rm b} = \frac{\rm M_{\rm ser}}{\rm I} \rm y \le \overline{\sigma_{\rm bc}} = 0.6 f_{\rm c28} = 15 \rm \ MPa$$

• Position de l'axe neutre

$$H = \frac{bh_0^2}{2} - 15A_t(d - h_0) = \frac{65 \times 4^2}{2} - 15 \times 3.36 \times (18 - 4) = -185.6 \text{ cm}^3$$

H0 >L'axe neutre est dans la table, le calcul se fera pour une section en T.

Détermination de la valeur de "y "

$$\frac{1}{2}by^2 + \eta(d - y) \times A_s = 0$$

$$\frac{1}{2} \times 65y^2 - 15 \times (18 - y) \times 3.36 = 0$$

$$32,5 \ y^2 + 50.4 \ y - 907.2 = 0$$

$$y = 4.46 \ cm$$

• Moment d'inertie

$$\begin{split} I &= \frac{1}{3} \, by^3 + \frac{(b-b_0)(y-h_0)^2}{3} + \eta (d-y)^2 A_s \\ I &= \frac{1}{3} \times 65 \times 4.46 + \frac{(65-10)(4.46-4)^2}{3} + 15(18-4.46)^2 \times 3.36 = 9340.42 \ cm^4 \\ \sigma_b &= \frac{M_{ser}}{I} y = \frac{11.37 \times 10^6}{9340.42 \times 10^4} \times 44.6 = 5.42 \ \text{MPa} \\ \sigma_b &= 5.42 \text{MPa} \leq \overline{\sigma_{bc}} = 15 \ \text{MPa} \dots \dots \text{Condition V\'erifi\'ee}. \end{split}$$

* En appui

$$\sigma_{b} = \frac{M_{ser}}{I}y \le \overline{\sigma_{bc}} = 0.6f_{c28} = 15 \text{ MPa}$$

• Position de l'axe neutre

$$H = \frac{bh_0^2}{2} - 15A_t(d - h_0) = \frac{65 \times 4^2}{2} - 15 \times 1,57(18 - 4) = 190,30 \text{cm}^3$$

H > 0 L'axe neutre passe par la table, le calcul se fera pour une section rectangulaire $b \times h$. Détermination de la valeur de "y"

$$\frac{1}{2}by^{2} + \eta(d - y)A_{s} = 0$$

$$\frac{1}{2} \times 65y^{2} + 15(18 - y)1,57 = 0$$

$$32,5 y^{2} + 23,55 y - 423,9 = 0$$

$$y = 3,267 cm$$

• Moment d'inertie

$$I = \frac{1}{3}by^{3} + \eta(d - y)^{2}A_{s}$$

Tableau III. 34: Vérification des contraintes à l'ELS.

| | $M_{ser}(KN.m)$ | $A_s(cm^2)$ | y(cm) | I(cm ⁴) | $\sigma_b(MPa)$ | $\sigma_{\rm b} < \overline{\sigma_{ m bc}}$ |
|--------|-----------------|-------------|-------|---------------------|-----------------|--|
| Travée | 11.37 | 3.36 | 4.46 | 3940.42 | 5.42 | CV |
| Appuis | 4,51 | 1.57 | 3,267 | 5867,302 | 2,51 | CV |

❖ Vérification de la flèche (BAEL B .6.5.1 ,1) [2]

La vérification de la flèche n'est pas nécessaire si les conditions suivantes sont vérifiées.

Les conditions ne sont pas satisfaites. Donc il y'a un risque de la flèche.

$$f \leq \overline{f}$$

Tel que

$$\begin{cases} \overline{f} = 0.5 + \frac{L}{1000} & \text{Si L} \ge 5.00 \text{ m} \\ \overline{f} = \frac{L}{500} & \text{Si L} < 5.00 \text{ m} \end{cases}$$

Donc: $\overline{f} = \frac{L}{500} = \frac{4200}{500} = 8.4 \text{ mm}$.

$$f = \frac{M_{ser} \times l^2}{10 \times E_i \times I_{fi}}$$

 E_i : Module instantané de béton. $E_i = 32164.195 \text{ MPa}$

I_{fi}: L'inertie fissurée.

$$\begin{split} I_{fi} &= \frac{1,1I_0}{1+\lambda_i\,\mu} \ ; \quad \mu = 1 - \frac{1,75f_{t28}}{4\rho\sigma_s + f_{t28}} \ ; \quad \lambda_i = \frac{0,05f_{t28}}{\rho\left(2+3\frac{b_0}{b}\right)} \ ; \quad \rho = \frac{A}{b_0d} \\ \mu &= 0.61 \ ; \quad \rho = 0,018 \ ; \quad \lambda_i = 2.36 \ ; \quad I_0 = 9340.42 \ cm^4 \\ I_{fi} &= \frac{1,1I_0}{1+\lambda_i\,\mu} = 23372.29 \ cm^4 \\ f &= \frac{M_t \times l^2}{10 \times E_i \times I_{fi}} = 3.4 \ mm \ < 8.4 \ mm \end{split}$$

Donc $f \leq \overline{f} \dots \dots \dots$ Condition Vérifiée.

Schéma de ferraillage:

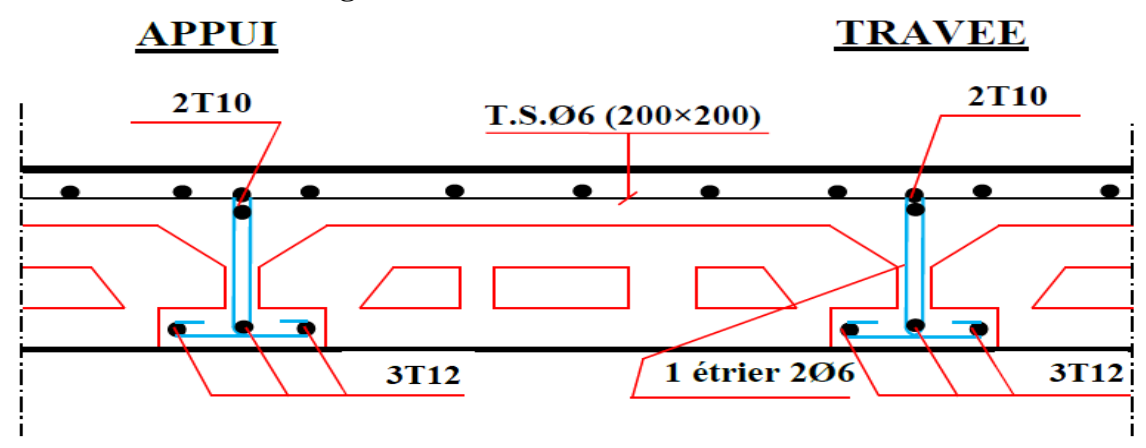


Figure III. 31: Schéma de ferraillage de poutrelle Type 02 (Etage).

III. 5. LES BALCONS:

Les balcons sont des plaques minces et planes, dont l'épaisseur est faible par rapport aux autres dimensions en plan. Le calcul des balcons se fait selon le mode de fonctionnement et tout dépend de la configuration de la dalle (condition aux limites) Si le balcon est une dalle pleine encastrée dans une poutre dans ce cas il sera calculé comme une poutre console Si le balcon est une dalle pleine sur deux appuis (en L), trois ou quatre appuis, le calcul dans ce cas se fait de la même manière que celui des dalles pleines. Dans notre cas on trois types des balcons :

- Type 1 : Balcons reposant sur deux appuis.
- Type 2 : Balcons reposant sur trois appuis.
- Type 3: Balcons reposant sur quatre appuis.

Note:

Dans chaque type, nous avons des balcons de différentes dimensions. Nous allons donc calculer le balcon le plus défavorables de chaque type et appliquer le résultat aux autres

III. 5. 1. Exemple de calcule :

***** Evaluation des charges :

$$\begin{cases} G = 6350 \text{ N/m}^2 \\ Q = 3500 \text{ N/m}^2 \end{cases}$$

Combinaison des charges :

ELU :
$$q_u = (1,35G + 1,5Q) \times 1 = (1,35 \times 6500 + 1,5 \times 3500) \times 1 = 14.6325 \text{ KN/ml}$$

ELS: $q_{ser} = (G + Q) \times 1 = (6350 + 3500) \times 1 = 10.45 \text{ KN/ml}$

Type 1 : dalle sur deux (2) appui :

$$L_X=1~m$$
 , $L_Y=2.35~m$
$$\rho=\frac{L_X}{L_Y}=\frac{1}{2.35}=0.42>0.4\Rightarrow La~dalle~travaille~dans~les~deux~sens$$

Calcul des sollicitations :

Pour le calcul des moments on utilise les dispositions indiquées à l'annexe E3 des règles BAEL91 :

- Dans le sens de la petite portée : $M_x = \mu_x q_u L_X^2$
- Dans le sens de la grande portée : $M_v = \mu_v q_u L_v^2$

Les coefficients μ_x et μ_v sont fonction de :

$$\rho = \frac{L_X}{L_V} \ et \ v \ .$$

v: Coefficient de poisson $\begin{cases} 0 & \text{ELU} \\ 0.2 & \text{ELS} \end{cases}$

 μ_x et μ_v sont donnés par l'abaque de calcul des dalles rectangulaire.

$$\rho = 0.42$$
 Donc $\mu_x = 0.102$

 μ_y : Ne sont pas prendre en considération car $\rho < 0.557$ [7]

$$M_x = \mu_x \ q_u \ L_X^2 = 1492.51 \ N.m$$

$$M_v = M_x = 1492.51 \text{ N.m}$$

• Moments en travées :

Notre balcon est une dalle de rive donc :

$$M_{tx} = M_{ty} = 0.85 \times 1492.51 = 1268.6335 \text{ N.m}$$

• Moments sur appuis :

$$M_{ax} = M_{ay} = 0.3 M_x = 447.753 N.m$$

$$M_{ax} = M_{ay} = 0.5 M_x = 476.255 N.m$$

***** Ferraillage du balcon :

b=100cm ; h=15 cm ; d=0,9h=13.5cm ; $f_{\rm e}$ =400MPa ; $f_{\rm c28}$ = =25MPa ; $f_{\rm t28}$ =2,1MPa ; $\sigma_{\rm s}$ =347.82 MPa, $f_{\rm bu}$ = 14.16 MPa

Pour appuis:

$$\mu = \frac{M_{Ua}}{bd^2 f_{bu}} \Rightarrow \mu = \frac{0.476255 \times 10^{-3}}{0.1 \times 0.135^2 \times 14.16} \Rightarrow \mu = 0.0184$$

$$\mu = 0.0184 < \mu_1 = 0.392 \Rightarrow Section simplement armée A'_S = 0$$

$$\alpha = 1.25 \left(1 - \sqrt{1 - 2\mu}\right) = 1.25 \left(1 - \sqrt{1 - 2 \times 0.0184}\right) = 0.0232$$

$$z = d(1 - 0.4\alpha) = 13.5 \times (1 - 0.4 \times 0.0232) = 13.374 \text{ cm}$$

$$A_{U1} = \frac{M_{UA}}{Z \times \sigma_S}$$

$$A_{U1} = \frac{M_{UA}}{Z \times \sigma_S} = \frac{0.476255 \times 10^6}{133.74 \times 347.82} = 10.23 \text{ mm}^2 = 0.1023 \text{ cm}^2$$

Pour travées:

$$\mu = \frac{M_{Ua}}{bd^2 \, f_{bu}} \, \Rightarrow \mu = \frac{1.2686335 \times 10^{-3}}{0.1 \times 0.135^2 \times 14.16} \, \Rightarrow \, \mu = 0.0491$$

$$\mu = 0.0491 < \mu_1 = 0.392 \Rightarrow$$
 Section simplement armée A'_S = 0

$$\alpha = 1.25 \left(1 - \sqrt{1 - 2\mu} \right) = 1.25 \left(1 - \sqrt{1 - 2 \times 0.0491} \right) = 0.0629$$

$$z = d(1 - 0.4\alpha) = 13.5 \times (1 - 0.4 \times 0.0629) = 13.160 \text{ cm}$$

$$A_{U1} = \frac{M_{UA}}{Z \times \sigma_S}$$

$$A_{U1} = \frac{M_{UA}}{Z \times \sigma_S} = \frac{1.2686335 \times 10^6}{131.60 \times 347.82} = 27.71 \text{ mm}^2 = 0.2771 \text{ cm}^2$$

Tableau III. 35: Ferraillage de la dalle pleine type1.

| | Sens | M _U (N. m) | μ | A_s' (cm^2) | α | Z(cm) | A_{cal} (cm^2) | Choix | A_{adp} (cm^2) |
|--------|------------|-----------------------|--------|-----------------|--------|--------|--------------------|-------|--------------------|
| Appuis | X-X Y-Y | 476.225 | 0.0184 | 0 | 0.0232 | 13.347 | 0.1023 | 4T8 | 2.01 |
| Travée | X-X Y-Y | 1268.6335 | 0.0491 | 0 | 0.0629 | 13.160 | 0.2771 | 4T8 | 2.01 |

Service Espacement :

$$\begin{aligned} \textbf{Appuis:} & \left\{ \begin{aligned} \text{sens } x - x : S_t &= \frac{100}{4} = 25 \text{ cm} < \text{min (3h , 33 cm)} \dots \dots \text{cv} \\ \text{sens } y - y : S_t &= \frac{100}{4} = 25 \text{ cm} < \text{min (4h , 45 cm)} \dots \dots \text{cv} \end{aligned} \right. \\ & \left\{ \begin{aligned} \text{sens } x - x : S_t &= \frac{100}{4} = 25 \text{ cm} < \text{min (3h , 33 cm)} \dots \dots \text{cv} \\ \text{sens } y - y : S_t &= \frac{100}{4} = 25 \text{ cm} < \text{min (4h , 45 cm)} \dots \dots \text{cv} \end{aligned} \right. \end{aligned}$$

Condition de non fragilité :

$$h = e = 15$$
 cm, $b = 100$ cm, $\rho = 0.42$

$$A_{x min} = \rho_0 \frac{(3-\rho)}{2} b h = 1.54 cm^2$$

$$A_{y min} = \rho_0 b h = 1.2 cm^2$$

 $\rho_0 = 0.8$ % Pour les barres HA

$$\begin{aligned} & \textbf{Appuis} : \begin{cases} \text{sens } x - x : A_x = 2.01 \text{ cm}^2 > A_{x \text{ min}} = 1.54 \text{ cm}^2 \dots \dots \text{cv} \\ \text{sens } y - y : A_x = 2.01 \text{ cm}^2 > A_{y \text{ min}} = 1.2 \text{ cm}^2 \dots \dots \text{cv} \end{cases} \\ & \textbf{Trav\'ee} : \begin{cases} \text{sens } x - x : A_x = 2.01 \text{ cm}^2 > A_{x \text{ min}} = 1.54 \text{ cm}^2 \dots \dots \text{cv} \\ \text{sens } y - y : A_x = 2.01 \text{ cm}^2 > A_{y \text{ min}} = 1.2 \text{ cm}^2 \dots \dots \text{cv} \end{cases}$$

❖ Vérification de l'effort tranchant : (BAEL A.5.1.1) [3]

Les armatures transversales ne sont pas nécessaires si la condition ci-dessous est vérifiée :

$$\begin{split} &\tau_u = \frac{\tau_{max}}{b\,d} < \overline{\tau_u} = 0.05\,f_{c28} = 1.25\,\text{MPa} \\ &\tau_x = \frac{q_u L_x L_y}{2L_X + L_y} = \frac{14.6325\,\times 2350\,\times 1000}{2\,\,\times 1000 + 2350} = \,7.904\,\text{KN} \\ &\tau_y = \frac{q_u L_x}{3} = \frac{14.6325\,\times 2350}{3} = 4.877\,\text{KN} \\ &\tau_{u\,max} = 7.904\,\text{KN} \\ &\tau_u = \frac{7.904 \times 10^3}{1000 \times 12} = 0.065 < \,\overline{\tau_u} = 1.25\text{MPa} \,\,\dots\dots\dots \text{CV} \end{split}$$

Les armatures de répartition :

$$A_t = \frac{A_{max}}{4}$$

Tableau III. 36: Les armatures de répartition.

| Designation | $A_t(cm^2)$ | $A_{adp}(cm^2)$ |
|-------------|-------------|-----------------|
| Travée | 0.50 | 4T8 = 2.01 |
| Appuis | 0.50 | 4T8 = 2.01 |

❖ Vérification à L'ELS :

$$\begin{split} \rho &= \frac{L_x}{L_y} = \ 0.42 \Rightarrow \begin{cases} \mu_x = 0.106 \\ \mu_y = 0.304 \end{cases} \\ \begin{cases} M_x &= \ \mu_x \ q_S \ L_X^2 = 0.102 \ \times 10.45 \times 1 = 1.059 \ \text{KN. m} \\ M_y &= \ M_x \ = 1.059 \ \text{KN. m} \\ \begin{cases} M_{tx} &= 0.85 M_x = 0.90 \ \text{KN. m} \\ M_{ty} &= 0.85 = 0.90 \ \text{KN. m} \end{cases} \end{split}$$

Vérification des contraintes :

En travée

$$M_t = 0.9 \, \text{KN. m}$$

 $\sigma_b = \frac{M_{ser}}{I} y \leq \overline{\sigma_{bc}} = 0.6 f_{c28} = 15 \, \text{MPa}$

• Position de l'axe neutre

$$\frac{1}{2}by^2 - \eta(d - y)A_s = 0$$

$$\frac{1}{2} \times 100y^2 - 15(13.5 - y) \times 2.01 = 0$$

$$50 y^2 + 30.15 y - 407.025 = 0$$

$$y = 2.56 cm$$

• Moment d'inertie

$$\begin{split} I &= \frac{1}{3} b y^3 + \eta (d-y)^2 A_s \\ I &= \frac{1}{3} \times 100 \times 2.56 + 15 (13.5 - 2.56\,)^2 \times 2.01 = 3779.98 \text{ cm}^4 \\ \sigma_b &= \frac{M_{ser}}{I} y = \frac{0.9 \times 10^6}{3779.98 \times 10^4} \times 25.6 = 0.62 \text{ MPa} \\ \sigma_b &= 0.62 \text{ MPa} \leq \overline{\sigma_{bc}} = 15 \text{ MPa} \dots \dots \text{Condition V\'erifi\'ee}. \end{split}$$

Les résultats trouvés en travée et sur appui dans les deux sens sont regroupés dans le tableau suivant :

Tableau III. 37: Vérification des contraintes à l'ELS.

| | $M_{ser}(KN.m)$ | $A_s(cm^2)$ | y(cm) | I(cm ⁴) | $\sigma_b(MPa)$ | $\sigma_{\rm b} < \overline{\sigma_{ m bc}}$ |
|--------|-----------------|-------------|-------|---------------------|-----------------|--|
| Travée | 0.9 | 2.01 | 2.56 | 3779.98 | 0.62 | CV |
| Appuis | 0.9 | 2.01 | 2.56 | 3779.98 | 0.62 | CV |

❖ Vérification de la flèche : (BAEL B.6.5, 1) [1]

La vérification de la flèche n'est pas nécessaire si les conditions suivantes sont vérifiées :

Avec:
$$h = 0.15 \text{ m et } 1 = 2.35 \text{ m}.$$

$$A_{st} = 2.01 \text{cm}^{2}$$

$$\frac{h}{I} \ge \frac{1}{16} \Rightarrow 0.063 < 0.062 \dots \dots CV$$

$$\frac{h}{I} \ge \frac{1}{10} \times \frac{M_{t}}{M_{0}} \Rightarrow 0.063 < 0.084 \dots CV$$

$$\frac{A_{s \text{ app}}}{b \times d} \le \frac{4.2}{f_{0}} \Rightarrow 0.0014 < 0.0105 \dots CV$$

Donc il n'y a aucun risque de flèche.

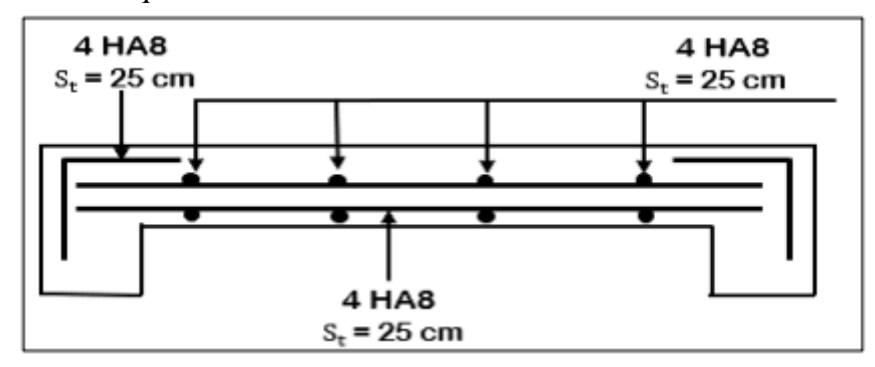


Figure III. 32: Schéma de ferraillage du balcon type 1.

Tableau III. 38: Ferraillage de la dalle pleine type 02.

| G | 6350 N/m ² | | | | | |
|--|-----------------------|--|--|--|--|--|
| Q | 3500 N/m ² | | | | | |
| q_{u} | 14.6325 KN/ml | | | | | |
| q _{ser} | 10.45 KN/ml | | | | | |
| L_{x} | 1.30 m | | | | | |
| L _y | 4.20 m | | | | | |
| e | 0.15 cm | | | | | |
| d | 13.5 cm | | | | | |
| ρ | 0.30 | | | | | |
| Travaille dans un seul sens | | | | | | |
| μ | 0.143 | | | | | |
| α | 0.194 | | | | | |
| Z | 7.38 cm | | | | | |
| A_{S} | 5.07 cm ² | | | | | |
| A _{S min} | 0.97 cm^2 | | | | | |
| A _{S max} | 5.07 cm ² | | | | | |
| A _{S adp} | 5.65 cm ² | | | | | |
| S _t | 15 cm | | | | | |
| Choix de barres | 5T12 | | | | | |
| A _{S rep} | 1.41 cm ² | | | | | |
| A _{Srepadp} | 2.01 | | | | | |
| Choix de barres | 4T8 | | | | | |
| S _t | 15 cm | | | | | |
| <u>. </u> | | | | | | |

Tableau III. 39: Ferraillage de la dalle pleine type 03.

| G | 6350 N/m ² | | | | |
|-----------------------------|-----------------------|--|--|--|--|
| Q | 3500 N/m ² | | | | |
| q_{u} | 14.6325 KN/ml | | | | |
| q _{ser} | 10.45 KN/ml | | | | |
| L_{x} | 1 m | | | | |
| L_{y} | 3.55 m | | | | |
| e | 0.15 cm | | | | |
| d | 13.5cm | | | | |
| ρ | 0.28 | | | | |
| Travaille dans un seul sens | | | | | |
| μ | 0.088 | | | | |
| α | 0.1156 | | | | |
| Z | 7.63cm | | | | |
| A_S | 3.01 cm^2 | | | | |
| $A_{S \min}$ | 0.97 cm^2 | | | | |
| A _{S max} | 3.01 cm^2 | | | | |
| A _{S adp} | 3.14 cm^2 | | | | |
| S _t | 15 cm | | | | |
| Choix de barres | 4T10 | | | | |
| A _{Srep} | 0.785 cm^2 | | | | |
| A _{Srepadp} | 2.01 | | | | |
| Choix de barres | 4T8 | | | | |
| S _t | 15 cm | | | | |

III. 6. L'ASCENSEUR:

La dalle machine est une dalle pleine, qui reprend un chargement important par rapport à celle des dalles de l'étage courant ou terrasse, cela est due au mouvement de l'ascenseur ainsi qu'à son poids, en tenant compte de la variation des efforts de la machine par rapport à la dalle.

III. 6. 1. Prédimensionnement :

La dalle d'ascenseur doit avoir une certaine rigidité vu le poids de la machine. Nous avons deux conditions à vérifier : $L_x = 170$ cm et $L_y = 180$ cm

Donc une surface : $S = 3,06 \text{ m}^2$

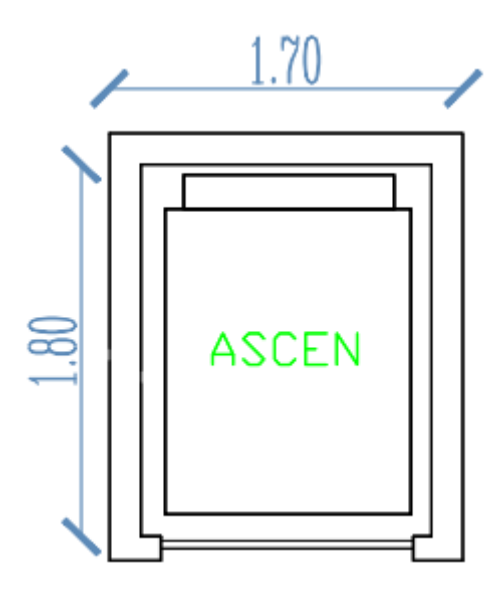


Figure III. 33: Schéma de la cage d'ascenseur.

a. Résistance à la flexion :

$$\frac{L_X}{50} < e < \frac{L_X}{40}$$

$$\frac{170}{50} < e < \frac{180}{40}$$
3.4 cm < e < 4.5 cm ... CV

b. Condition de l'E.N. A:

L'entreprise nationale des ascenseurs (E.N.A) préconise que l'épaisseur de la dalle machine est e ≥ 25 cm

On prend : e = 25 cm.

III. 6. 2. Détermination des charges et surcharges :

a. Charges permanentes:

Dans notre structure, on utilise un ascenseur, dont ses caractéristiques sont :

H = 2.20 m: Hauteur de l'ascenseur,

 $F_c = 145 \text{ KN}$: Charge due à la cuvette,

 $D_m = 51 \text{ KN}$: Charge due à la charge des machines,

 $P_m = 15 \text{ KN}$: Charge due à l'ascenseur,

P_{personnes} = 6.3 KN: La charge nominale,

V = 1 m/s: La vitesse,

 $S = 3.06 \text{ m}^2$: surface

Poids propre de la salle et de revêtement :

$$G_1 = 25 \times 0.25 + 22 \times 0.02 = 6.69 \text{KN/m}^2$$

Poids de la dalle machine supportée :

$$G_2 = \frac{F_c}{S} = \frac{145 + 51 + 15 + 6.3}{3.06} = 71.01 \text{ KN/m}^2$$

Poids totals:

$$G_T = G_1 + G_2 = 6,69 + 71.01 = 77.70 \text{ KN/m}$$

b. Surcharge exploitation:

$$Q = 1.00 \text{ KN/m}^2$$

III. 6. 3. Combinaison des charges :

 $G=71.01 \text{ KN/m}^2$, $Q=1 \text{ KN/m}^2$.

Le calcul peut se faire pour une bande de 1 m.

***** ELU:

$$\begin{split} q_u &= (\text{1,35G} + \text{1,5Q}) \times \text{1m} \; . \\ q_u &= (\text{1,35} \times \text{71.01} + \text{1,5} \times \text{1}) \times \text{1m} = \text{97.36 KN/m} \\ q_u &= \text{97.36 K/Nm}. \end{split}$$

***** ELS:

$$\begin{aligned} &q_s = (G+Q) \times 1m. \\ &q_s = 72.01 \times 1m = 72.01 \text{ KN/m.} \\ &q_s = 72.01 \text{ KN/m.} \end{aligned}$$

III. 6. 4. Calcul des efforts :

Le calcul des efforts de la dalle se fait selon la méthode de calcul des dalles reposantes sur 4 côtés.

$$L_x = 1,70 \text{ m}, L_y = 1.80 \text{ m}$$

 $\rho = \frac{L_x}{L_y} = \rho = \frac{170}{180} = 0,94 \Rightarrow \rho > 0,4$

Donc en travaille dans les deux sens.

$$\begin{aligned} \textbf{M}_{x} &= \mu_{x} \;.\; \textbf{q}_{u} \;.\; \textbf{L}_{x}{}^{2} \\ \textbf{M}_{y} &=\; \mu_{y} \;.\; \textbf{M}_{x} \end{aligned}$$

& ELU:

$$v = 0, \rho = 0.9$$

$$\mu_x = 0.0419, \ \mu_y = 0.8661$$

$$M_x = 0.0419 \times 97.36 .\times 1.70^2$$

$$M_x = 11.78 \ KN.m$$

$$M_y = 0.8661 \times 18.01$$

$$M_v = 10.20 \ KN.m$$

• Moment en travée :

$$M_{tx} = 0.85 M_x = 0.85 \times 11.78$$

 $M_{tx} = 10.01 KN.m$
 $M_{ty} = 0.85 M_y = 0.85 \times 10.20$
 $M_{ty} = 8.67 KN.m$

• Moment sur appuis :

$$M_{ax} = -0.3 M_x = -0.3 \times 11.78$$

 $M_{ax} = -3.53 KN.m$
 $M_{ay} = -0.3 M_y = -0.3 \times 10.20$
 $M_{ay} = -3.06 KN.m$

$$M_a = \max (M_{ax}; M_{ay})$$

 $M_a = \max (-3.53; -3.06)$
 $M_a = -3.53 \text{ KN.m}$

& ELS:

$$v = 0.2, \, \rho = 0.7$$

$$\mu_x = 0.0491, \, \mu_y = 0.9087$$

$$M_x = 0.0491 \times 72.01 \times 1,70^2$$

$$M_x = 10.21 \, \text{KN.m}$$

$$M_y = 0.9087 \times 10.21$$

$$M_v = 9.27 \, \text{KN.m}$$

• Moment en travée :

$$\begin{aligned} M_{tx} &= 0.85 \ M_x = 0.85 \times 10.21 \\ M_{tx} &= 8.67 \ KN.m \\ M_{ty} &= 0.85 \ M_y = 0.85 \times 9.27 \\ M_{ty} &= 7.87 \ KN.m \end{aligned}$$

• Moment sur Appius:

$$\begin{split} M_{ax} &= -0.3 \ M_x = -0.3 \times 10.21 \\ M_{ax} &= -3.06 \ KN.m \\ M_{ay} &= -0.3 \ M_y = -0.3 \times 9.27 \\ M_{ay} &= -2.78 \ KN.m \\ M_a &= max \left(M_{ax} \ ; \ M_{ay} \right) \\ M_a &= max \left(-3.06 \ ; \ -2.78 \right) \\ M_a &= -3.06 \ KN.m. \end{split}$$

III. 6. 5. Ferraillage de la dalle :

Le ferraillage de la dalle machine se fait comme suite :

Pour une bande de 1m on aura une section ($b \times h$) = (100×25) cm² qui travaille en flexion simple.

❖ Sens X-X:

$$M_t = 10.01 \text{ KN.m}$$

 $f_{bu} = 14,16 \text{ MPA}$

$$\mu_{bu} = \frac{M_t}{b \cdot d^2 \cdot f_{bu}} = \frac{10.01 \times 10^6}{1000.225^2 \cdot 14,16}$$

$$\mu_{bu} = 0,013$$

$$\mu_{bu} = 0,013 \le \mu_{AB} = 0,186 \Rightarrow \text{Pivot A.}$$

$$\mu_{bu} = 0,013 \le \mu_l = 0,392 \Rightarrow \text{A'} = 0$$

$$\alpha_u = 1,25 \left(1 - \sqrt{1 - 2\mu_{bu}}\right) = 0,016$$

$$Z = d(1 - 0,4\alpha_u) = 225(1 - 0,4 \times 0,016)$$

$$Z = 223,56 \text{ mm}$$

$$A_s = \frac{M_t}{z \times \sigma_s} = \frac{10.21 \times 10^6}{223.56 \times 348} = 1.31 \text{ cm}^2$$

$$A_s = 1.31 \text{ cm}^2$$

On prend : $5HA8 = 2,51 \text{ cm}^2$.

• Espacement maximale:

$$S_t \le min(3h; 33) \text{ cm}$$

 $S_t \le min(3 \times 25; 33) \text{ cm}$
 $S_t = 33 \text{ cm}$
 $S_t = \frac{100}{5} = 20 \text{ cm} < 33 \text{ cm} \dots \text{CV}$

❖ Sens Y-Y:

 $M_t = 8.67 \text{ KN.m.}$

$$\begin{split} \mu_{bu} = & \frac{M_t}{b \cdot d^2 \cdot f_{bu}} = \frac{8.67 \times 10^6}{1000 \times 225^2 \times 14,16} \\ & \mu_{bu} = 0,012 \\ \mu_{bu} = 0,012 \leq \mu_{AB} = 0,186 \Rightarrow \text{Pivot A.} \\ & \mu_{bu} = 0,012 \leq \mu_l = 0,392 \Rightarrow \text{A'=0} \\ & \alpha_u = 1,25 \Big(1 - \sqrt{1 - 2\mu_{bu}}\Big) = 0.015 \\ & Z = d(1 - 0,4\alpha_u) = 225(1 - 0,4 \times 0,015) \\ & Z = 223,65 \text{ mm} \\ & A_s = \frac{M_t}{z \times \sigma_s} = \frac{8.67 \times 10^6}{223.65 \times 348} \\ & A_s = 1.11 \text{ cm}^2 \end{split}$$

On prend: $5HA8 = 2,51 \text{ cm}^2$

• Espacement maximale:

$$S_t \le min(3h; 33) cm$$

 $S_t \le min(3 \times 25; 33) cm$
 $S_t = 33 cm$
 $S_t = \frac{100}{5} = 20 cm < 33 cmCV$

III. 6. 5. 2. En appuis :

 $M_a = 3.53 \text{ KN.m.}$

$$\begin{split} \mu_{bu} &= \frac{M_t}{b.d^2.f_{bu}} = \frac{3.53 \times 10^6}{1000.225^2.14,16} \\ \mu_{bu} &= 0,004 \\ \mu_{bu} &= 0,004 \leq \mu_{AB} = 0,186 \implies Pivot \ A. \\ \mu_{bu} &= 0,004 \leq \mu_l = 0,392 \implies A' = 0 \\ \alpha_u &= 1,25 \left(1 - \sqrt{1 - 2\mu_{bu}}\right) \Rightarrow \alpha_u = 0,005 \\ Z &= d(1 - 0,4\alpha_u) = 225(1 - 0,4 \times 0,008) \\ Z &= 224,55 \ mm \\ A_s &= \frac{M_t}{z \times \sigma_s} = \frac{3.53 \times 10^6}{223.65 \times 348} \\ A_s &= 0.45 \ cm^2 \end{split}$$

On prend: $5HA8 = 2.51 \text{ cm}^2$

• Espacement maximale

❖ Sens X-X:

$$S_t \le min(3h; 33)cm$$

 $S_t \le min(3 \times 25; 33)cm$
 $S_t = 33 cm$
 $S_t = \frac{100}{5} = 20 cm < 33 cm..... CV.$

❖ Sens Y-Y:

$$S_t \le min(3h; 33)cm$$

 $S_t \le min(3 \times 25; 33)cm$
 $S_t = 33 cm$
 $S_t = \frac{100}{5} = 20 cm < 33 cm..... CV.$

Tableau III. 40: Ferraillage de la dalle machine.

| Sens | | M(KN. m) | μ_{bu} | α | Z(mm) | $A_{cal}(cm^2)$ | $A_{adp}(cm^2)$ |
|--------|-----|----------|------------|-------|--------|-----------------|-----------------|
| Travée | X-X | 15,30 | 0,013 | 0,016 | 223,56 | 1,31 | 5HA8 = 2,51 |
| | Y-Y | 6,67 | 0,012 | 0,015 | 223,65 | 1.11 | 5HA8 = 2,51 |
| Appuis | X-X | -3.06 | 0,004 | 0,005 | 224,55 | 0,45 | 5HA8 = 2,51 |
| | Y-Y | -3.06 | 0,004 | 0,005 | 224,55 | 0.45 | 5HA8 = 2,51 |

III. 6. 6. Vérification a l'ELU:

• Condition de non fragilité :

$$\rho = 0.7 > 0.4$$

$$\begin{split} A_{min\,x} &= \rho_0 \frac{(3-\rho)}{2}\,bh_0 \\ A_{min\,y} &= \rho_0\;b\;h_0 \end{split}$$

Pour l'acier Fe400 $\Rightarrow \rho_0 = 0.08 \%$

$$A_{\min x} = 0.0008 \times \frac{(3-0.7)}{2} \times 100 \times 25 = 2.3 \text{ cm}^2.$$

$$A_{\min y} = 0.0008 \times 100 \times 25 = 2.00 \text{ cm}^2.$$

❖ Sens X-X:

En appuis:

$$A_{\min x} = 2.51 \text{ cm}^2 < 2.3 \text{ cm}^2 \dots \text{ CV}.$$

En travée:

$$A_{min x} = 2.51 \text{ cm}^2 < 2.3 \text{ cm}^2 \dots \text{ CV}.$$

❖ Sens Y-Y:

En appuis:

$$A_{\min v} = 2.51 \text{ cm}^2 < 2 \text{ cm}^2 \dots \text{CV}.$$

En travée:

$$A_{min\,y} = 2.51~cm^2 < 2~cm^2~......~CV.$$

• Vérification de la contrainte de cisaillement :

$$\begin{split} \tau_u &\leq \tau_u \\ \tau_u &= \frac{V_u}{b.d} \\ V_x &= \frac{q_u.l_x.l_y}{2l_x+l_y} = \frac{97.36\times1,70\times1.80}{2\times1,70+1.80} \\ V_x &= 57,29 \text{ KN} \\ V_y &= \frac{q_u.l_x}{3} = \frac{97.36\times1,70}{3} \\ V_y &= 55.17 \text{ KN} \\ V_u &= \max\left(V_x \; ; \; V_y\right) = \max\left(57,29;55.17\right) \\ V_u &= 57,29 \text{ KN} \\ \tau_u &= \frac{57,29\times10^3}{1000\times225} = 0,25 \text{ MPa.} \\ \overline{\tau}_u &= 0,5 \; f_{c28} \Rightarrow \overline{\tau}_u = 0,5\times25 \Rightarrow \overline{\tau}_u = 1,25 \text{ MPa.} \\ \tau_u &= 0,25 \text{ MPa} \leq \overline{\tau}_u = 1,25 \text{ MPa.} \dots \text{ CV.} \end{split}$$

Pas de risque de rupture par cisaillement. Donc Les armatures transversales ne sont pas nécessaires.

III. 6. 7. Vérification a l'ELS:

III. 6. 7. 1. La contrainte dans le béton :

$$\sigma_{bc} \leq \overline{\sigma}_{bc}$$

$$\sigma_{bc} = \frac{M_{ser} \times y}{I}$$

$$\overline{\sigma}_{bc} = 0.6 \text{ f}_{c28} = 0.6 \times 25 = 15 \text{ MPa} \Rightarrow \overline{\sigma}_{bc} = 15 \text{ MPa}$$
 a. En travée

❖ Sens X-X :

 $M_{tx} = 8.67 \text{ KN.m}$

Position de l'axe neutre

$$\frac{1}{2}by^{2} + \eta(y - d)A'_{s} - \eta(d - y)A_{s} = 0$$

$$\frac{1}{2} \times 100 \times y^{2} - 15(22,5 - y) \times 2,51 = 0$$

$$50y^{2} + 37,65y - 847,125 = 0$$

$$y = 3,75 \text{ cm}$$

• Moment d'inertie

$$\begin{split} I &= \frac{1}{3} \, by^3 + \eta (d-y)^2 A_s + \eta (y-d) A'_s = 0 \\ I &= \frac{1}{3} \times 100 \, \times 3,75^3 + 15 \, (22,5-3,75)^2 \times 2,51 = 22132,69 \, cm^4 \\ I &= 14994,14 \, cm^4 \\ \sigma_{bc} &= \frac{M_{ser} \times \, y}{I} = \frac{8.67 \times 10^6 \times \, 37,5}{14994,14 \, \times 10^4} = 2.16 \, MPa \\ \sigma_{bc} &= 2.16 \, MPa \leq \, \overline{\sigma}_{bc} = 15 \, MPa \, \dots \quad CV. \end{split}$$

❖ Sens Y-Y:

 $M_{tv} = 7.87 \text{ KN.m}$

• Position de l'axe neutre :

$$\frac{1}{2}by^{2} + \eta(y - d)A'_{s} - \eta(d - y)A_{s} = 0$$

$$\frac{1}{2} \times 100 \times y^{2} - 15(22,5 - y) \times 2,51 = 0$$

$$50y^{2} + 37,65y - 847,125 = 0$$

$$y = 3,75 \text{ cm}$$

• Moment d'inertie :

$$\begin{split} I = & \frac{1}{3} \, by^3 \, + \eta (d-y)^2 A_s + \eta (y-d) A'_s = 0 \\ I = & \frac{1}{3} \times 100 \, \times 3,75^3 + 15 \, (22,5-3,75)^2 \times 2,51 = 14994,14 \, cm^4 \\ I = & 14994,14 \, cm^4 \\ \sigma_{bc} = & \frac{M_{ser} \times \, y}{I} = \frac{9,74 \times 10^6 \times \, 37,5}{14994,14 \, \times 10^4} = 196 \, MPa \\ \sigma_{bc} = & 1.96 \, MPA \leq \overline{\sigma}_{bc} = 15 \, MPa \, \, CV. \end{split}$$

b. En appuis:

 $M_a = 3.06KN.m.$

• Position de l'axe neutre :

$$\frac{1}{2}by^{2} + \eta(y - d)A'_{s} - \eta(d - y)A_{s} = 0$$

$$\frac{1}{2} \times 100 \times y^{2} - 15(22,5 - y) \times 2,51 = 0$$

$$50y^{2} + 37,65y - 847,125 = 0$$

$$y = 3,75 \text{ cm}$$

• Moment d'inertie :

$$I = \frac{1}{3} by^{3} + \eta (d - y)^{2} A_{s} + \eta (y - d) A'_{s} = 0$$

$$I = \frac{1}{3} \times 100 \times 3,75^{3} + 15 (22,5 - 3,75)^{2} \times 2,51 = 14994,14 \text{ cm}^{4}$$

$$I = 14994,14 \text{ cm}^{4}$$

$$\sigma_{bc} = \frac{M_{ser} \times y}{I} = \frac{5,88 \times 10^{6} \times 37,5}{14994,14 \times 10^{4}} = 0.76 \text{ MPa}$$

 $\sigma_{bc} = 0.76 \text{ MPA} \leq \overline{\sigma}_{bc} = 15 \text{ MPa} \dots \text{ CV}.$

III. 6. 7. 2. La contrainte dans l'acier :

$$\begin{split} \overline{\sigma}_{st} & \leq \min \left(\frac{2}{3} \times f_e ; 110 \times \sqrt{\eta \times f_{t28}}\right) \\ \overline{\sigma}_{st} & \leq \min \left(\frac{2}{3} \times 400 ; 110 \times \sqrt{1,6 \times 2,1}\right) \\ \overline{\sigma}_{st} & \leq \min (266,66 ; 201,63) = 201,63 \text{ MPa} \\ \overline{\sigma}_{st} & = 201,63 \text{ MPa} \\ \sigma_{st} & = \frac{15M_s(d-y)}{I} \end{split}$$

a. En travée

❖ Sens X-X:

$$\begin{split} & M_{tx} = &8.67 \text{ KN.m} \\ & \sigma_{st} = \frac{_{15\times 8.67\times 10^{6}(225-37;5)}}{_{14994.14\times 10^{4}}} \Rightarrow \sigma_{st} = 162.62 \text{ MPa} \end{split}$$

CHAPITRE III: CALCUL DES ELEMENTS SECONDAIRES.

$$\sigma_{\rm st} = 162,52 \text{ MPA} \le \overline{\sigma}_{\rm st} = 201,63 \text{MPa} \dots \text{CV}.$$

Sens Y-Y:

 $M_{tv} = 7.87 \text{ KN.m}$

$$\begin{split} \sigma_{st} &= \frac{_{15\times7.87\times10^{6}(225-37,5)}}{_{14994,14\times10^{4}}} \\ \sigma_{st} &= 147.62 \text{ MPa} \\ \sigma_{st} &= 147.62 \text{ MPa} \leq \overline{\sigma}_{st} = 201,63 \text{MPa} \dots \text{CV}. \end{split}$$

b. En appuis

$$\begin{split} &M_a = 3.06 \text{ KN.m.} \\ &\sigma_{\text{st}} = \frac{_{15\times5,88\times10^6(225-37,5)}}{_{14994,14\times10^4}} \Rightarrow \sigma_{\text{st}} = 110,29 \text{ MPa} \\ &\sigma_{\text{st}} = 57.39 \text{ MPA} \leq \overline{\sigma}_{\text{st}} = 201,63 \text{Pa} \dots \text{CV.} \end{split}$$

Tableau III. 41: Vérification à l'ELS de la dalle machine.

| Sen | M | Y | I | σ_{bc} | $\overline{\sigma}_{bc}$ | Observatio | $\sigma_{ m st}$ | $\overline{\sigma}_{st}$ | Observatio |
|-----|-----------|------|-------------|------------------------|--------------------------|------------|------------------|--------------------------|------------|
| S | (KN. m) | (cm) | (cm^4) | (MPa) | (MPa) | n | (MPa) | (MPa) | n |
| | En travée | | | | | | | | |
| х-х | 8.67 | 3,75 | 14994.1 | 2.16 | 15 | Vérifiée | 162.52 | 201.63 | Vérifiée |
| у-у | 7.87 | 3,75 | 14994.1 | 1.96 | 15 | Vérifiée | 174.62 | 201.63 | Vérifiée |
| | | | | | En appu | ıis | | | |
| х-х | -3.06 | 3,75 | 14994. 1 | 0.76 | 15 | Vérifiée | 57.39 | 201.6 | Vérifiée |
| у-у | -3.06 | 3,75 | 14994. 1 | 0.76 | 15 | Vérifiée | 57.39 | 201.6 | Vérifiée |

III. 6. 8. Vérification de la flèche : (BAEL 91article B.6.5.1)

Si les trois conditions suivantes de la flèche sont vérifiées, le calcul de la flèche ne s'imposera pas :

$$\begin{cases} \frac{H}{I} \ge \frac{1}{16} \Rightarrow \frac{0.25}{1.70} = 0.147 \ge \frac{1}{16} = 0.0625 \dots \dots CV \\ \frac{H}{I} \ge \frac{M_t}{10M_0} \Rightarrow \frac{0.25}{1.70} = 0.147 > \frac{10.01}{10 \times 11.78} = 0.084 \dots CV \\ \frac{A_s}{b \times d} \le \frac{4.2}{f_e} \Rightarrow \frac{2.51}{100 \times 25} = 0.001 \le \frac{4.2}{400} = 0.0105 \dots CV \end{cases}$$

Les trois conditions sont vérifiées, donc le calculer de la flèche ne s'impose pas.

CHAPITRE III: CALCUL DES ELEMENTS SECONDAIRES.

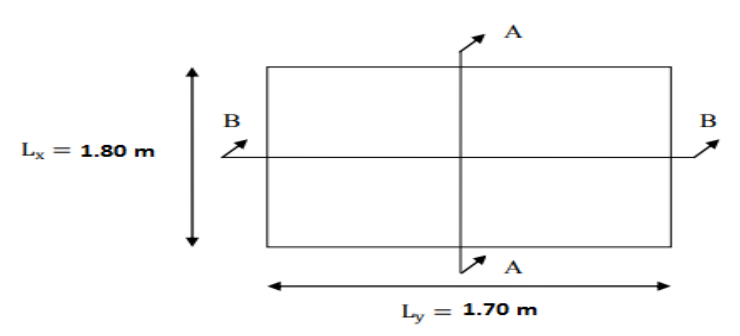
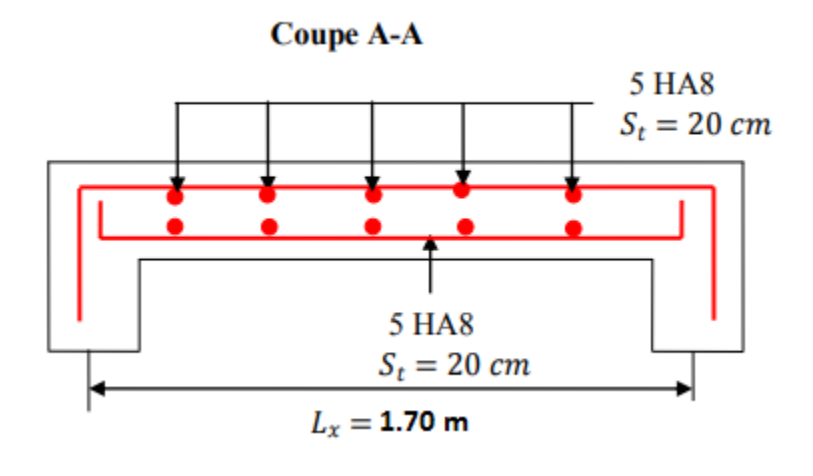


Figure III. 34: Vue en plan de dalle machine.



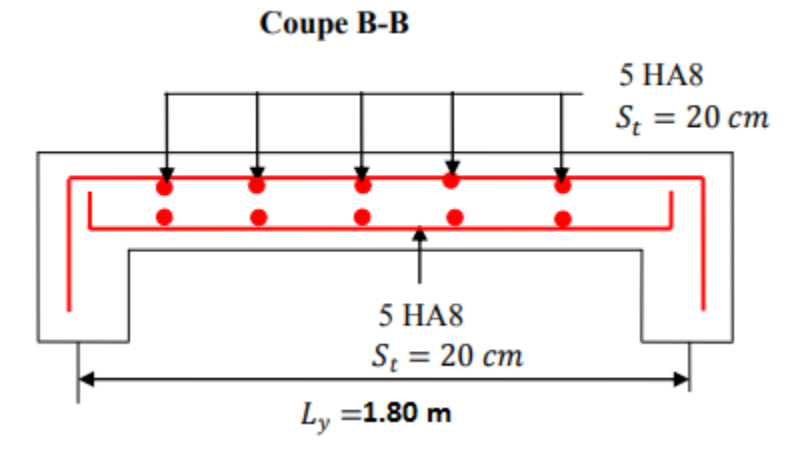


Figure III. 35: Disposition constructive des armatures de l'ascenseur.

IV. 1. INTRODUCTION:

Le séisme correspond à une vibration du sol provoquée par une libération de l'énergie de déformation accumulée dans la croûte terrestre.

Le Nord de l'Algérie est une région où de violents séismes peuvent se produire ainsi il est utile de souligner que lors de la dernière décennie pas moins de 03 séismes de magnitude supérieure ou égale à 5.5 sur l'échelle de Richter ont eu lieu. Ces séismes qui ont touché aussi bien les régions du centre que les régions ouest du pays, ont provoqué d'importants dégâts matériels, et occasionné la perte de nombreuses vies humaines.

L'une des questions qui se posent est : Comment limiter les endommagements causés aux constructions par le séisme ?

Il est donc nécessaire de construire des structures résistant aux séismes « constructions parasismiques » selon le règlement en vigueur (**RPA 99 Version 2003**).

Remarque:

Après les calculs nous avons trouvéé :

Pour les poteaux de section (40×40) la vérification de l'effort réduit est non vérifiée, Donc on augmente la section des poteaux, nous utilisons une nouvelle section (50×50) .

L'étude a été réalisée en utilisant le nouvel section (50×50)

IV. 2. OBJECTIF DE L'ETUDE DYNAMIQUE:

Le but de ce chapitre est de définir un modèle de structure qui vérifie les conditions et critères de sécurités imposées par RPA99/version 2003.

L'étude dynamique d'une structure telle qu'elle se présente réellement, est souvent très complexe et demande un calcul très fastidieux voire impossible. C'est pour cette raison qu'on on fait souvent appel à des modélisations qui permettent de simplifier suffisamment le problème pour pouvoir l'analyser.

La modélisation de notre structure a été effectuée à l'aide du logiciel « **ROBOT** » qui est un logiciel de calcul automatique des structures.

IV. 3. MÉTHODES DE CALCUL:

Les règles parasismiques algériennes (RPA99/version2003) préconisent trois méthodes de calcul :

- La méthode statique équivalente.
- La méthode d'analyse modale spectrale.
- La méthode d'analyse dynamique par accélérogramme.

IV. 3. 1. Méthode statique équivalente : (article 4.2 du RPA99/2003) :

a. Principe:

Les forces réelles dynamiques qui se développent dans la construction sont remplacées par un système de forces statiques fictives dont les effets sont considérés équivalents à ceux de l'action sismique.

Le mouvement du sol peut se faire dans une direction quelconque dans le plan horizontal.

Les forces sismiques horizontales équivalentes seront considérées appliquées successivement suivant deux directions orthogonales caractéristiques choisies par le projecteur. Dans le cas général, ces deux directions sont les axes principaux du plan horizontal de la structure.

b. Conditions d'applications :

La méthode statique équivalente peut être utilisée dans les conditions suivantes :

- a) Le bâtiment ou bloc étudié, satisfaisait aux conditions de régularité en plan et en élévation avec une hauteur au plus égale à 65m en zones I et II et à 30 m en zones III.
- **b**) Le bâtiment ou bloc étudié présente une configuration irrégulière tout en respectant, outres les conditions de hauteur énoncées en (a), les conditions complémentaires suivantes :
 - Zone I: Tous groups
 - Zone II: Groupe usage 3
 - Groupe d'usage 2, si la hauteur est inférieure ou égale à 7 niveaux ou 23m.
 - Groupe d'usage 1B, si la hauteur est inférieure ou égale à 5 niveaux ou 17m.
 - Groupe d'usage 1A, si la hauteur est inférieure ou égale à 3 niveaux ou 10 m.
 - Zone III : Groupes d'usage 3 et 2, si hauteur est inférieure ou égale à 5 niveaux ou 17m
 - Groupe d'usage 1B, si la hauteur est inférieure ou égale à 3 niveaux ou 10m.
 - Groupe d'usage 1A, si la hauteur est inférieure ou égale à 2 niveaux ou 08m.

IV. 3. 2. Méthode dynamique modale spectrale :

a. Principe de la méthode dynamique modale spectrale : [1]

Selon le RPA La méthode d'analyse modale spectrale peut être utilisée dans tous les cas, et en particulier, dans le cas où la méthode statique équivalente n'est pas permise. Par cette méthode, il est recherché pour chaque mode de vibration, le maximum des effets engendrés dans la structure par les forces sismiques représentées par un spectre de réponse de calcul. Ces effets sont par la suite combinés pour obtenir la réponse de la structure.

b. Modélisation:

- Pour les structures régulières en plan comportant des planchers rigides, l'analyse est faite séparément dans chacune des deux directions principales du bâtiment. Celui-ci est alors représenté dans chacune des deux directions de calcul par un modèle plan, encastré à la base et où les masses sont concentrées au niveau des centres de gravité des planchers avec un seul DDL en translation horizontale.
- Pour les structures irrégulières en plan, sujettes à la torsion et comportant des planchers rigides, elles sont représentées par un modèle tridimensionnel, encastré à la base et où les masses sont concentrées au niveau des centres de gravité des planchers avec trois (03) DDL (2 translations horizontales et une rotation d'axe vertical).
- Pour les structures régulières ou non régulières comportant des planchers flexibles, elles sont représentées par des modèles tridimensionnels encastrés à la base et à plusieurs DDL par plancher.
- La déformabilité du sol de fondation doit être prise en compte dans le modèle toutes les fois où la réponse de la structure en dépend de façon significative.

- Le modèle de bâtiment à utiliser doit représenter au mieux les distributions des rigidités et des masses de façon à prendre en compte tous les modes de déformation significatifs dans le calcul des forces d'inertie sismiques (ex : contribution des zones nodales et des éléments non structuraux à la rigidité du bâtiment).
- Dans le cas des bâtiments en béton armé ou en maçonnerie la rigidité des éléments porteurs doit être calculée en considérant les sections non fissurées. Si les déplacements sont critiques particulièrement dans le cas de structures associées à des valeurs élevées du coefficient de comportement, une estimation plus précise de la rigidité devient nécessaire par la prise en compte de sections fissurées.

c. Spectre de calcul:

L'action sismique est représentée par le spectre de calcul suivant :

$$\frac{S_{a}}{g} = \begin{cases} 1.25A \left(1 + \frac{T}{T_{1}} \left(2.5\eta \frac{Q}{R} - 1 \right) \right) & 0 \le T \le T_{1} \\ 2.5\eta(1.25A) \left(\frac{Q}{R} \right) & T_{1} \le T \le T_{2} \\ 2.5\eta(1.25A) \left(\frac{Q}{R} \right) \left(\frac{T_{2}}{T} \right)^{2/3} & T_{2} \le T \le 3.0 \text{ s} \\ 2.5\eta(1.25A) \left(\frac{Q}{R} \right) \left(\frac{T_{2}}{T} \right)^{2/3} \left(\frac{3}{T} \right)^{5/3} \left(\frac{Q}{R} \right) & T \ge 3.0 \text{ s} \end{cases}$$

A: coefficient d'accélération de zone (tableau 4.2, RPA)

Tableau IV. 1: Coefficient d'accélération de zone.

| | Zone | | | | |
|--------|------|------|------|------|--|
| Groupe | 1 | IIa | IIb | III | |
| 1A | 0.15 | 0.25 | 0.30 | 0.40 | |
| 1B | 0.12 | 0.20 | 0.25 | 0.30 | |
| 2 | 0.10 | 0.15 | 0.20 | 0.25 | |
| 3 | 0.07 | 0.10 | 0.14 | 0.18 | |

$$A = 0.15$$

η: facteur de correction d'amortissement (quand l'amortissement est différent de 5%):

$$\eta = \sqrt{7/(2+\zeta)} \, \geq 0.7$$

 ζ : pourcentage d'amortissement critique (tableau 4.2, RPA) $\zeta = 7 \%$

$$\eta = \sqrt{7/(2+7)} = 0.881 \ge 0.7$$

T₁, T₂: périodes caractéristiques associées à la catégorie de site (Tableau 4.7, RPA).

Tableau IV. 2: Valeurs des périodes caractéristiques T1, T2.

| Site | S_1 | S_2 | S_3 | S_4 |
|-------|-------|-------|-------|-------|
| T_1 | 0.15 | 0.15 | 0.15 | 0.15 |
| T_2 | 0.30 | 0.40 | 0.50 | 0.70 |

$$T_1=0.15\,s$$

$$T_2 = 0.50 s$$

Q : facteur de qualité (tableau 4.4, RPA).

Tableau IV. 3: Valeur de facteur de qualité.

| | P_q | | |
|---|---------|-------------|--|
| Critère q | Observé | Non Observé | |
| 1.Conditions minimales sur les files de contreventement | 0 | 0.05 | |
| 2. Redondance en plan | 0 | 0.05 | |
| 3. Régularité en plan | 0 | 0.05 | |
| 4. Régularité en élévation | 0 | 0.05 | |
| 5. Contrôle de la qualité des matériaux | 0 | 0.05 | |
| 6. Contrôle de la qualité de l'exécution | 0 | 0.10 | |

$$Q = 1 + 0.05 + 0 + 0 + 0 + 0 + 0.10 = 1.15$$

Coefficient de comportement R:

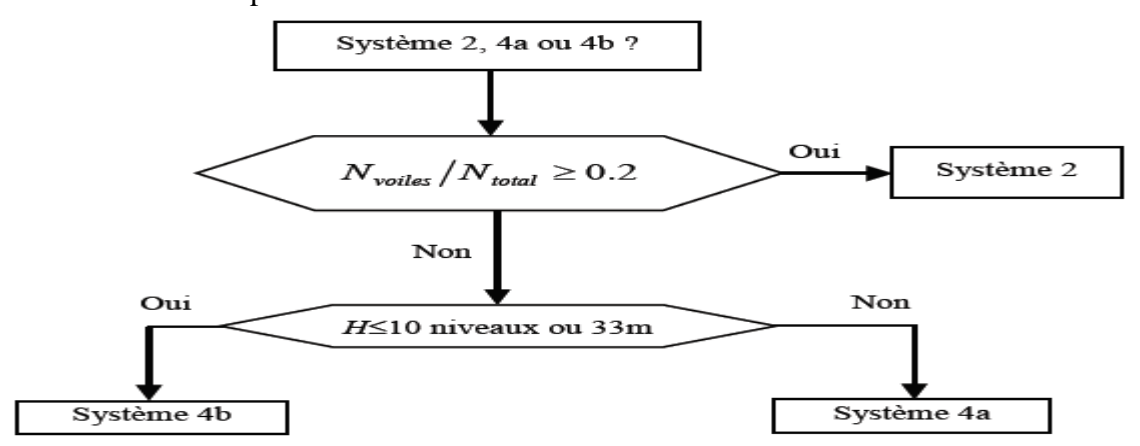


Figure IV. 1:Organigramme de classification des systèmes de contreventement avec voiles (Systèmes 2, 4a et 4b) **[6].**

R : coefficient de comportement de la structure

$$\frac{N_{\text{VOILES}}}{N_{\text{TOTAL}}} = \frac{31988.7}{115956.97} = 0.275 \ge 0.2 \quad \text{(obtenu par } \textbf{ROBOT } \text{ cas G)},$$

Donc: R = 3.5

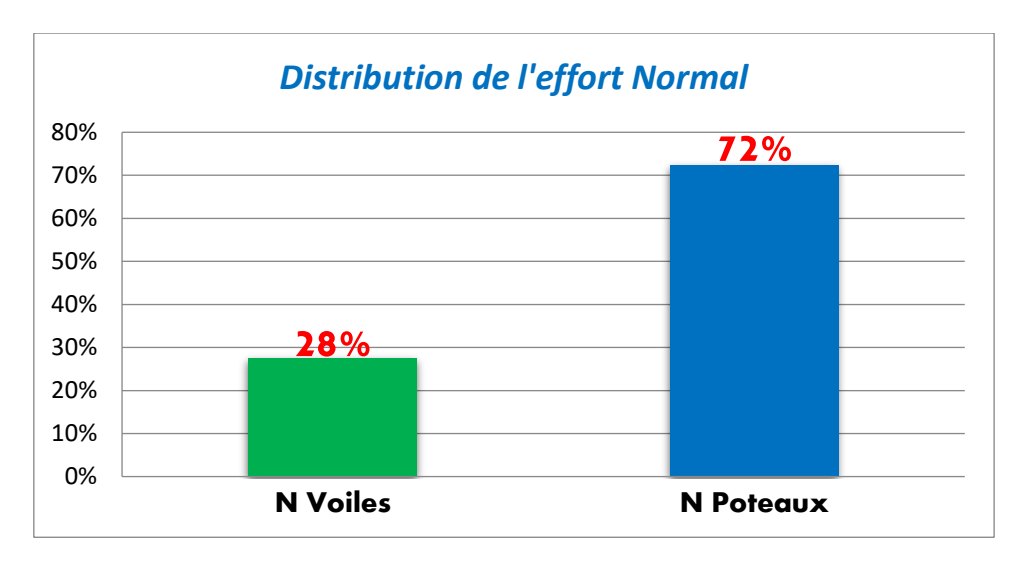


Figure IV. 2: Distribution de l'effort normal.

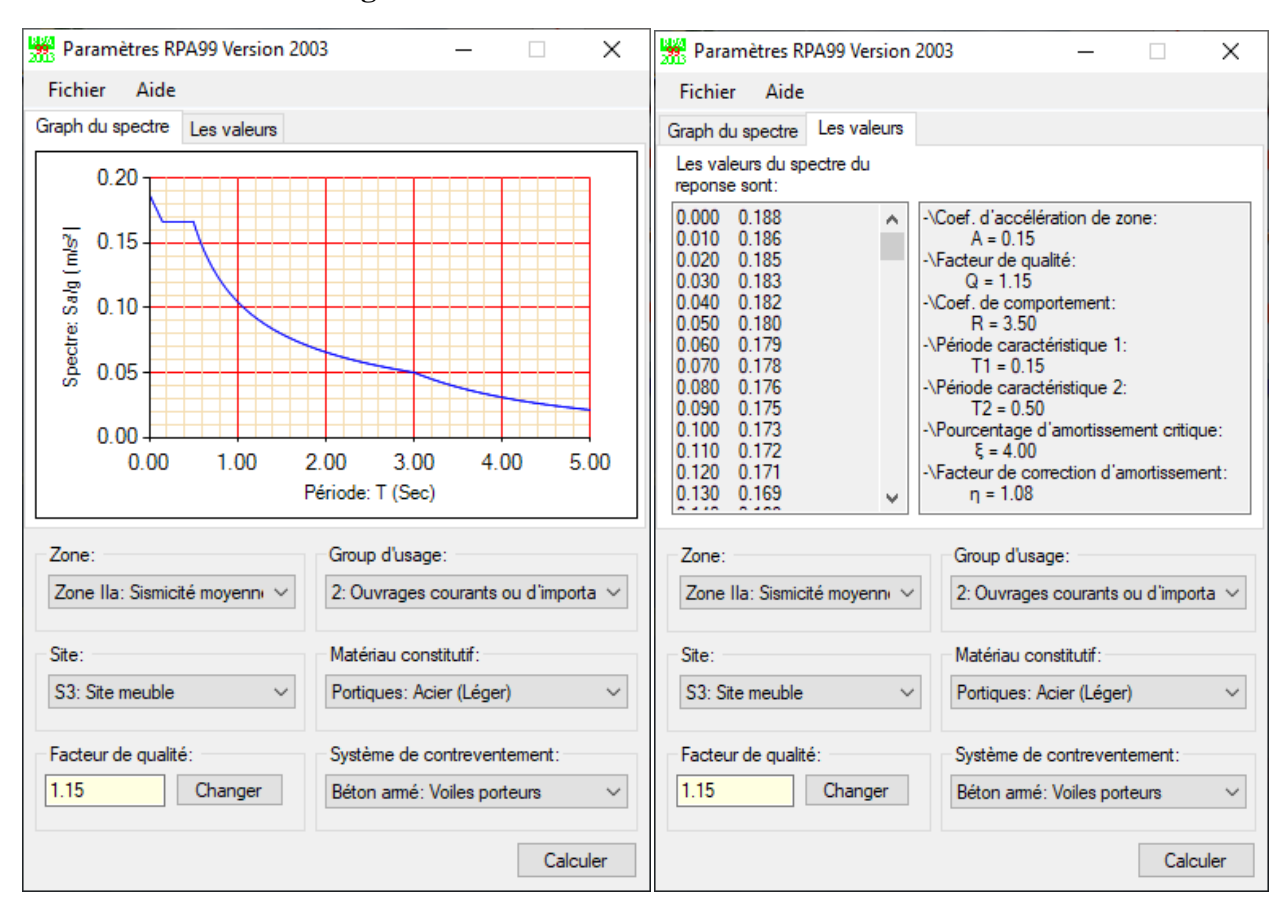


Figure IV. 3: Spectre de calcul.

IV. 4. MODÉLISATION DE LA STRUCTURE:

IV. 4. 1. Présentation du logiciel ROBOT (version 2021) :

Robot structural analyses professionnelle 2021 est un logiciel CAO/DAO destiné à modéliser, analyser et dimensionner les différents types de structures. Il est basé sur la méthode des éléments finis (MEF) et permet de :

• Modéliser des structures.

- Les calculer.
- Vérifier les résultats obtenus.
- Dimensionner les éléments spécifiques de la structure.

C'est un logiciel qui permet de modéliser tous types de structures en génie civil (portiques, treillis soudés, bâtiments, coques, plaques... etc.). Il offre de nombreuses possibilités pour l'analyse statique et dynamique des structures, ainsi que le calcul des efforts internes qui sollicitent chaque élément de la structure. Les efforts engendrés dans la structure seront ensuite utilisés pour ferrailler les éléments résistants suivant les combinaisons et les dispositions constructives exigées par la réglementation algérienne dans le domaine du bâtiment.

IV. 4. 2. Disposition des voiles :

Plusieurs dispositions ont été testées afin d'obtenir un bon comportement de la structure tout en essayant de respecter l'aspect architecturale qui est un point important dans notre ouvrage et aussi satisfaire les conditions du RPA99/2003(Article 3.4.4.a P27) [3].

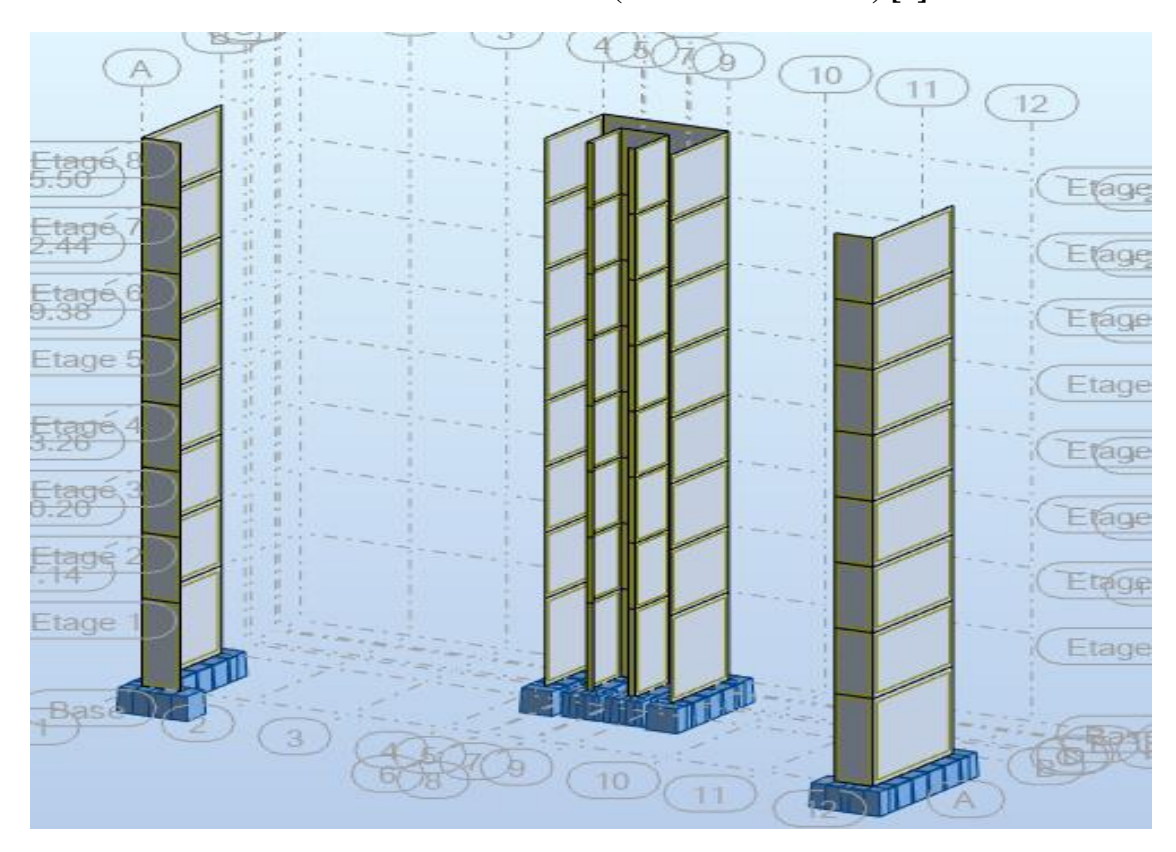


Figure IV. 4: Disposition des voiles.

IV. 4. 3. Modes de vibration et taux de participation des masses :

Pour les structures représentées par des modèles plans dans deux directions orthogonales, le nombre de modes de vibration à retenir dans chacune des deux directions d'excitation doit être tel que :

• La somme des masses modales effectives pour les modes retenus soit égale à 90 % au moins de la masse totale de la structure.

- Ou que tous les modes ayant une masse modale effective supérieure à 5% de la masse totale de la structure soient retenus pour la détermination de la réponse totale de la structure.
- Le minimum de modes à retenir est de trois (03) dans chaque direction considérée (Article 4.3.4 P45-46) [3].

Le tableau suivant illustre les résultats des douze premiers modes de vibration obtenus :

Tableau IV. 4: Périodes et taux de participation massique de la structure.

| Cas/N | Mode | Période [sec] | Masses Cumulées UX [%] | Masses Cumulées UY [%] | Masse Modale UX [%] | Masse Modale UY [%] | Tot.mas.UX [kg] | Tot.mas.UY [kg] |
|-------|------|---------------|------------------------------|------------------------------|------------------------|------------------------|--------------------|--------------------|
| 3/ | 1 | 0.61 | 69.16 | 0.00 | 69.16 | 0.00 | 2726841.27 | 2726841.27 |
| 3/ | 2 | 0.50 | 69.16 | 69.97 | 0.00 | 69.97 | 2726841.27 | 2726841.27 |
| 3/ | 3 | 0.38 | 72.90 | 69.97 | 3.73 | 0.00 | 2726841.27 | 2726841.27 |
| 3/ | 4 | 0.16 | 89.32 | 69.97 | 16.42 | 0.00 | 2726841.27 | 2726841.27 |
| 3/ | 5 | 0.11 | 89.32 | 89.11 | 0.00 | 19.13 | 2726841.27 | 2726841.27 |
| 3/ | 6 | 0.11 | 89.32 | 89.16 | 0.00 | 0.06 | 2726841.27 | 2726841.27 |
| 3/ | 7 | 0.11 | 89.34 | 89.16 | 0.02 | 0.00 | 2726841.27 | 2726841.27 |
| 3/ | 8 | 0.09 | 90.25 | 89.16 | 0.91 | 0.00 | 2726841.27 | 2726841.27 |
| 3/ | 9 | 0.08 | 90.25 | 89.22 | 0.00 | 0.06 | 2726841.27 | 2726841.27 |
| 3/ | 10 | 0.08 | 90.25 | 89.22 | 0.00 | 0.00 | 2726841.27 | 2726841.27 |
| 3/ | 11 | 0.08 | 94.46 | 89.22 | 4.20 | 0.00 | 2726841.27 | 2726841.27 |
| 3/ | 12 | 0.08 | 94.46 | 89.26 | 0.00 | 0.04 | 2726841.27 | 2726841.27 |
| 3/ | 13 | 0.07 | 94.54 | 89.26 | 0.08 | 0.00 | 2726841.27 | 2726841.27 |
| 3/ | 14 | 0.07 | 94.54 | 89.31 | 0.00 | 0.05 | 2726841.27 | 2726841.27 |
| 3/ | 15 | 0.07 | 94.57 | 89.31 | 0.02 | 0.00 | 2726841.27 | 2726841.27 |
| 3/ | 16 | 0.07 | 94.57 | 89.31 | 0.00 | 0.00 | 2726841.27 | 2726841.27 |
| 3/ | 17 | 0.06 | 94.57 | 89.31 | 0.00 | 0.00 | 2726841.27 | 2726841.27 |
| 3/ | 18 | 0.06 | 94.57 | 89.31 | 0.00 | 0.00 | 2726841.27 | 2726841.27 |
| 3/ | 19 | 0.06 | 94.58 | 89.31 | 0.01 | 0.00 | 2726841.27 | 2726841.27 |
| 3/ | 20 | 0.06 | 94.58 | 89.39 | 0.00 | 0.07 | 2726841.27 | 2726841.27 |
| 3/ | 21 | 0.06 | 94.58 | 89.39 | 0.00 | 0.00 | 2726841.27 | 2726841.27 |
| 3/ | 22 | 0.05 | 94.58 | 89.44 | 0.00 | 0.06 | 2726841.27 | 2726841.27 |
| 3/ | 23 | 0.05 | 94.58 | 94.06 | 0.00 | 4.62 | 2726841.27 | 2726841.27 |
| 3/ | 24 | 0.05 | 96.10 | 94.07 | 1.52 | 0.00 | 2726841.27 | 2726841.27 |
| 3/ | 25 | 0.05 | 96.10 | 94.22 | 0.00 | 0.16 | 2726841.27 | 2726841.27 |
| 3/ | 26 | 0.05 | 96.10 | 94.22 | 0.00 | 0.00 | 2726841.27 | 2726841.27 |
| 3/ | 27 | 0.05 | 96.10 | 94.22 | 0.00 | 0.00 | 2726841.27 | 2726841.27 |
| 3/ | 28 | 0.05 | 96.10 | 94.29 | 0.00 | 0.06 | 2726841.27 | 2726841.27 |
| 3/ | 29 | 0.05 | 96.10 | 94.29 | 0.00 | 0.00 | 2726841.27 | 2726841.27 |
| 3/ | 30 | 0.05 | 96.10 | 94.35 | 0.00 | 0.07 | 2726841.27 | 2726841.27 |
| 3/ | 31 | 0.05 | 96.10 | 94.44 | 0.00 | 0.09 | 2726841.27 | 2726841.27 |
| 3/ | 32 | 0.05 | 96.25 | 94.45 | 0.15 | 0.00 | 2726841.27 | 2726841.27 |
| 3/ | 33 | 0.05 | 96.26 | 94.47 | 0.01 | 0.02 | 2726841.27 | 2726841.27 |
| 3/ | 34 | 0.05 | 96.27 | 94.49 | 0.01 | 0.02 | 2726841.27 | 2726841.27 |
| 3/ | 35 | 0.05 | 96.27 | 94.49 | 0.00 | 0.00 | 2726841.27 | 2726841.27 |
| 3/ | 36 | 0.05 | 96.27 | 94.49 | 0.00 | 0.00 | 2726841.27 | 2726841.27 |
| 3/ | 37 | 0.05 | 96.27 | 94.49 | 0.00 | 0.00 | 2726841.27 | 2726841.27 |
| 3/ | 38 | 0.04 | 96.27 | 94.49 | 0.00 | 0.00 | 2726841.27 | 2726841.27 |
| 3/ | 39 | 0.04 | 96.38 | 94.49 | 0.10 | 0.00 | 2726841.27 | 2726841.27 |
| 3/ | 40 | 0.04 | 96.38 | 94.49 | 0.00 | 0.00 | 2726841.27 | 2726841.27 |

Remarque:

- Ce modèle présente une période fondamentale T = 0.61 s
- Les 1er et 2ème mode sont des modes de translation
- Le 3ème mode est un mode de rotation.
- On doit retenir les 23 premiers modes, pour que la masse modale atteigne les 90% (selon le RPA99).

Les modes de vibration sont montrés sur les figures suivantes :

Tableau IV. 5: le comportement des trois premiers modes.

| Mode 1 | Mode 2 | Mode 3 |
|---------------------------|---------------------------|---------------------------|
| T = 0.61 s | T = 0.50 s | T = 0.38 s |
| Translation selon l'axe y | Translation selon l'axe x | Torsion autour de l'axe Z |

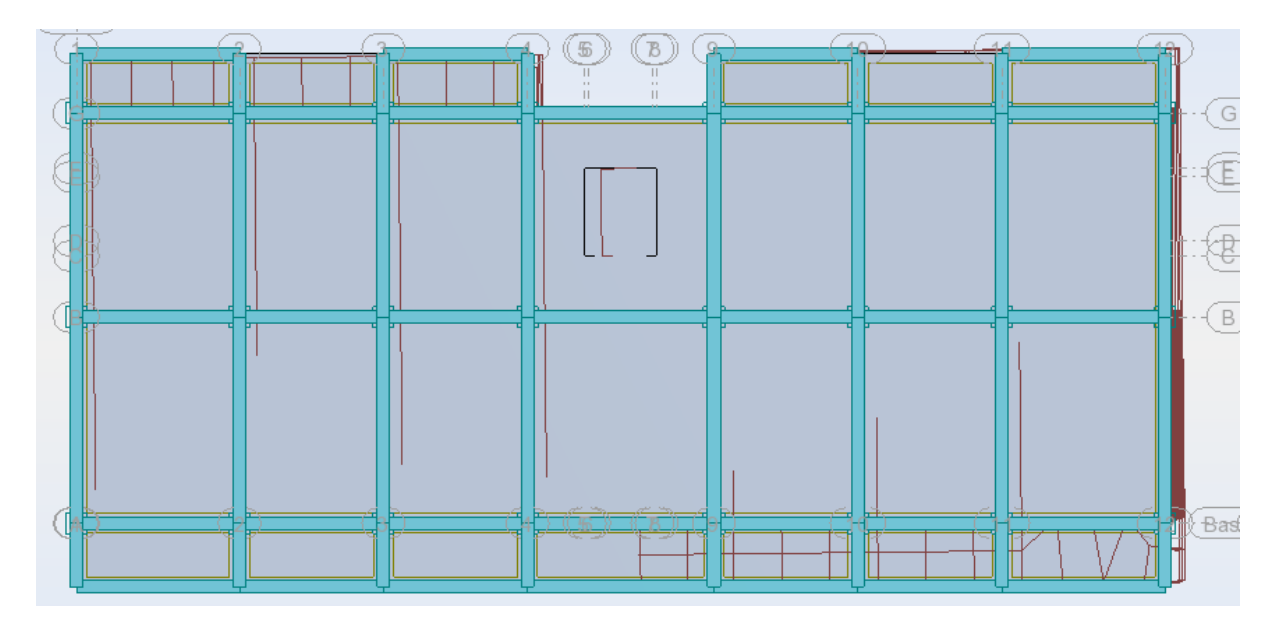


Figure IV. 5: Première Mode.

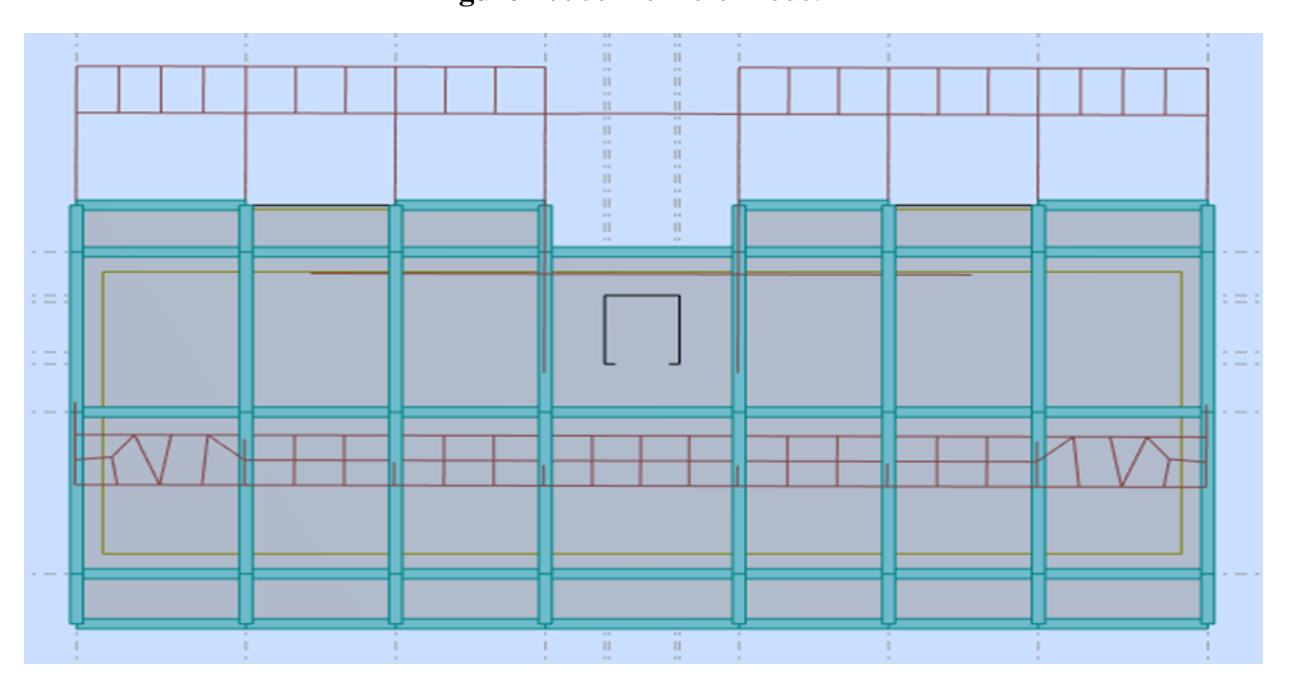


Figure IV. 6: Deuxième Mode.

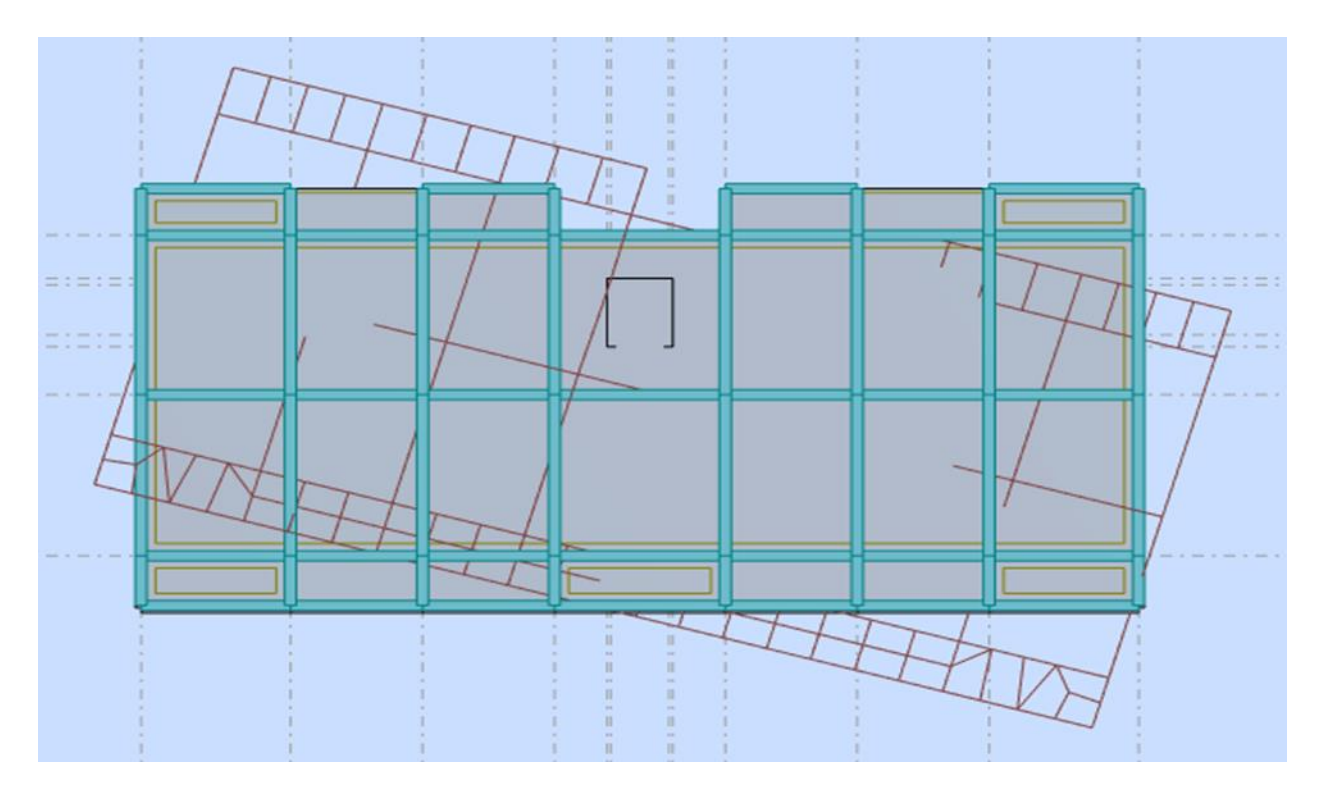


Figure IV. 7: Troisième Mode.

IV. 5. VERIFICATION DE LA RESULTANTE SISMIQUE :

En se référant à **l'article 4-3-6 de RPA99 [3],** la résultante des forces sismiques à la base Vdy obtenue par combinaison des valeurs modales ne doit pas être inférieure à 80% de la résultante des forces sismiques déterminée par la méthode statique équivalente V_{sta} , nous avons :

L'une des vérifications préconisées par le **RPA99/version 2003** est relative à la résultante des forces sismiques. En effet la résultante des forces sismiques à la base " V_{st} " obtenue par la combinaison des valeurs modales ne doit pas être inférieure à 80% de la résultante des forces sismiques déterminée par la méthode statique équivalente V.

Si $\frac{V_{dym}}{V_{st}} \ge 0.8$, il faudra augmenter tous les paramètres de la réponse (forces, déplacements, moments...) dans le rapport : $r = \frac{0.8V_{st}}{V_{dym}}$.

On doit donc évaluer l'effort tranchant à la base de structure par la méthode statique équivalente donnée par la formule ci-dessous :

$$V_{st} = \frac{A \times D \times Q}{R} \times W \dots \dots \dots (RPA \text{ Art } 4, 2, 3)$$

$$A = 0.15, Q = 1.15, R = 3.5$$

W: poids total de la structure:

W est égal à la somme des poids Wi, calculés à chaque niveau (i)

$$W = \sum_{i=1}^{n} W_i \text{ avec } W_i = W_{Gi} + \beta W_{Qi}$$

 β : coefficient de pondération, fonction de la nature et de la durée de la charge d'exploitation et donné par le tableau 4.5 du RPA. Dans le cas d'un bâtiment à usage d'habitation la valeur de ce coefficient est fixée à 0.2.

Tableau IV. 6: valeurs du coefficient de pondération β.

| Cas | Type d'ouvrage | β |
|-----|--|------|
| 1 | Bâtiments d'habitation, bureaux ou assimilés | 0,20 |
| 2 | Bâtiments recevant du public temporairement : | |
| | Salles d'exposition, de sport, lieux de culte, salles de réunions avec places debout. salles de classes, restaurants, dortoirs, salles de réunions avec | 0,30 |
| | places assises | 0,40 |
| 3 | Entrepôts, hangars | 0,50 |
| 4 | Archives, bibliothèques, réservoirs et ouvrages assimilés | 1,00 |
| 5 | Autres locaux non visés ci-dessus | 0,60 |

Dans notre cas : $\beta = 0.20$

 W_{Gi} : poids dû aux charges permanentes et à celles des équipements fixes éventuels, solidaires de la structure.

W_{Oi}: charges d'exploitation.

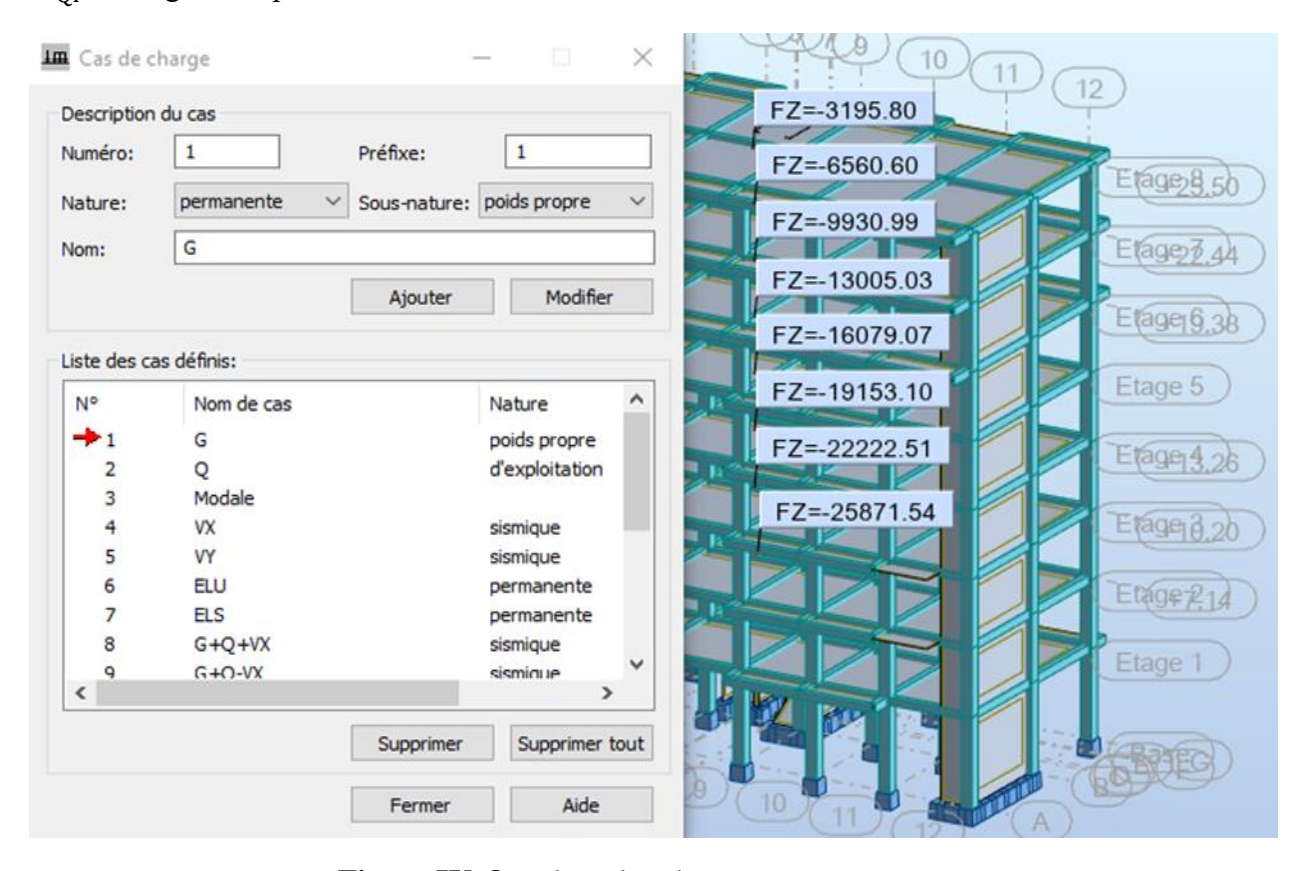


Figure IV. 8: valeur des charges permanente.

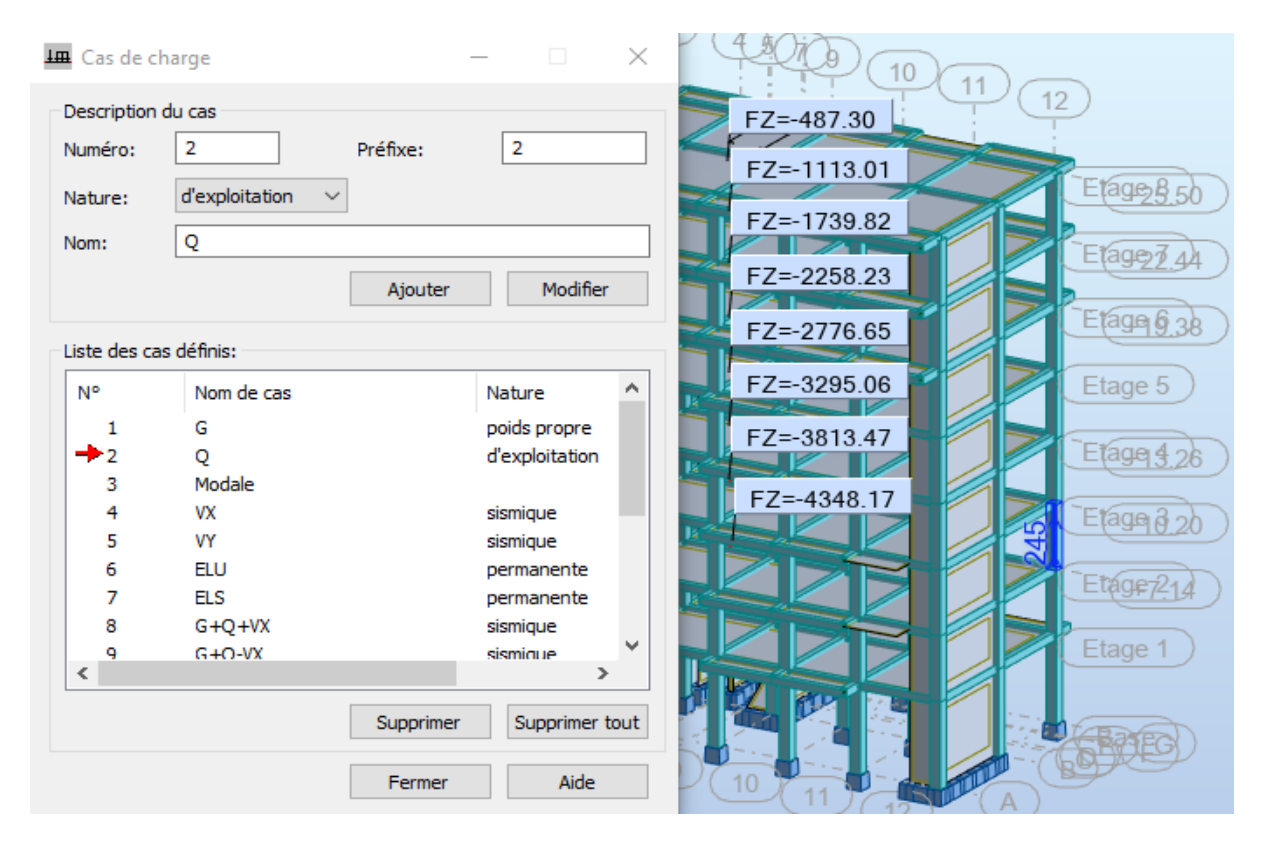


Figure IV. 9: valeur des charges d'exploitation.

$$W = 25871.54 + 0.2 \times 4348.17 = 26741.174 \text{ KN}$$

Donc tous les paramètres sont calculés sauf le facteur d'amplification dynamique moyenne D.

Le facteur d'amplification dynamique moyens D_x et D_y , respectivement pour le sens longitudinal et transversal comme suit :

$$D = \begin{cases} 2.5\eta & 0 \le T \le T_1 \\ 2.5\eta \left(\frac{T_2}{T}\right)^{2/3} T_2 & T_2 \le T \le 3.0 \text{ s} \\ 2.5\eta \left(\frac{T_2}{3}\right)^{2/3} \left(\frac{3}{T}\right)^{5/3} & T \ge 3.0 \text{ s} \end{cases}$$

Don pour calculer la valeur de D on doit calculer la période T.

IV. 5. 1. Détermination de la période fondamentale T : (RPA Article 4.2.4) [3]

La valeur de la période fondamentale (T) de la structure peut être estimée à partir de formules empiriques ou calculée par des méthodes analytiques ou numériques.

a. Période empirique :

$$T = C_T h_N^{3/4} ... (1)$$

 h_N : hauteur mesurée en mètres à partir de la base de la structure jusqu'au dernier niveau (N). C_T : coefficient, fonction du système de contreventement, du type de remplissage et donné par le tableau 4.6. RPA.

Tableau IV. 7: valeurs du coefficient C_T .

| Cas n° | Système de contreventement | $\mathbf{C}_{\mathbf{T}}$ | | | |
|--------|--|---------------------------|--|--|--|
| 1 | Portiques autostables en béton armé sans remplissage en maçonnerie | | | | |
| 2 | Portiques autostables en acier sans remplissage en maçonnerie | | | | |
| 3 | Portiques autostables en béton armé ou en acier avec remplissage en | | | | |
| | maçonnerie | 0,050 | | | |
| 4 | Contreventement assuré partiellement ou totalement par des voiles en béton | | | | |
| | armé, des palées triangulées et des murs en maçonnerie | 0,050 | | | |

Dans notre cas : $C_T = 0.050$, $h_N = 25.50 \text{ m}$

$$T = 0.050 \times 25.50^{3/4}$$
$$T = 0.567 s$$

On peut également utiliser aussi la formule :

$$T = \frac{0.09 \times h_N}{\sqrt{D}} \dots (2)$$

Où D est la dimension du bâtiment mesurée à sa base dans la direction de calcul considérée. Dans ce cas de figure il y a lieu de retenir dans chaque direction considérée la plus petite des deux valeurs données respectivement par (1) et (2).

$$\begin{aligned} D_x &= 25.70 \text{ m} \text{ , } D_y = 9.65 \text{ m} \\ T_x &= 0.453 \text{ s} \text{ , } T_y = 0.739 \text{ s} \\ T_x &= \min(0.453 \text{ ; } 0.567) = 0.453 \text{ s} \\ T_v &= \min(0.739 \text{ ; } 0.567) = 0.567 \text{ s} \end{aligned}$$

Dans l'article (4.2.4 P42) RPA 2003 exige que les périodes calculées à partir des méthodes numériques ne doivent pas dépasser celles des formules empiriques au plus de 30%.

$$T_{empirique} < T_{analytique} < 1.3T_{empirique}$$

 $0.567 \text{ s} < 0.61 \text{ s} < 0.737 \text{ s}$

 $T = T_{\text{empirique}}$

On doit calculer (D) avec T_{empirique}:

$$T_x = 0.453 \text{ s}$$

 $T_v = 0.739 \text{ s}$

Le facteur d'amplification dynamique moyens D_x et D_y , respectivement pour le sens longitudinal et transversal comme suit :

❖ Sens x-x:

$$\begin{split} T_2 &\leq T \leq 3.0 \text{ s} \\ 0.40 &\leq 0.45 \leq 3.0 \text{ s... CV} \\ D_x &= 2.5 \eta \left(\frac{T_2}{T}\right)^{2/3} T_2 = 2.5 \eta \left(\frac{0.40}{0.453}\right)^{2/3} 0.40 = 0.810 \\ V_{st} &= \frac{A \times D \times Q}{R} \times W = \frac{0.15 \times 0.810 \times 1.15}{3.5} \times \ 26741.174 \\ V_{st} &= 1067.545 \text{ KN} \end{split}$$

❖ Sens y-y:

$$T_2 \le T \le 3.0 \text{ s}$$

$$0.40 \le 0.739 \le 3.0 \text{ s... CV}$$

$$D_{y} = 2.5\eta \left(\frac{T_{2}}{T}\right)^{2/3} T_{2} = 2.5\eta \left(\frac{0.40}{0.739}\right)^{2/3} 0.40 = 0.585$$

$$V_{st} = \frac{A \times D \times Q}{R} \times W = \frac{0.15 \times 0.585 \times 1.15}{3.5} \times 26741.174$$

$$V_{st} = 771.005 \text{ KN}$$

A partir des résultats de modélisation par ROBOT on trouve :

$$V_{dyn x} = 2306.57 \text{ KN}$$
; $V_{dyn y} = 2663.18 \text{ KN}$

IV. 5. 2. Vérification de l'effort tranchant à la base :

A partir des résultats de modélisation par **ROBOT** on trouve :

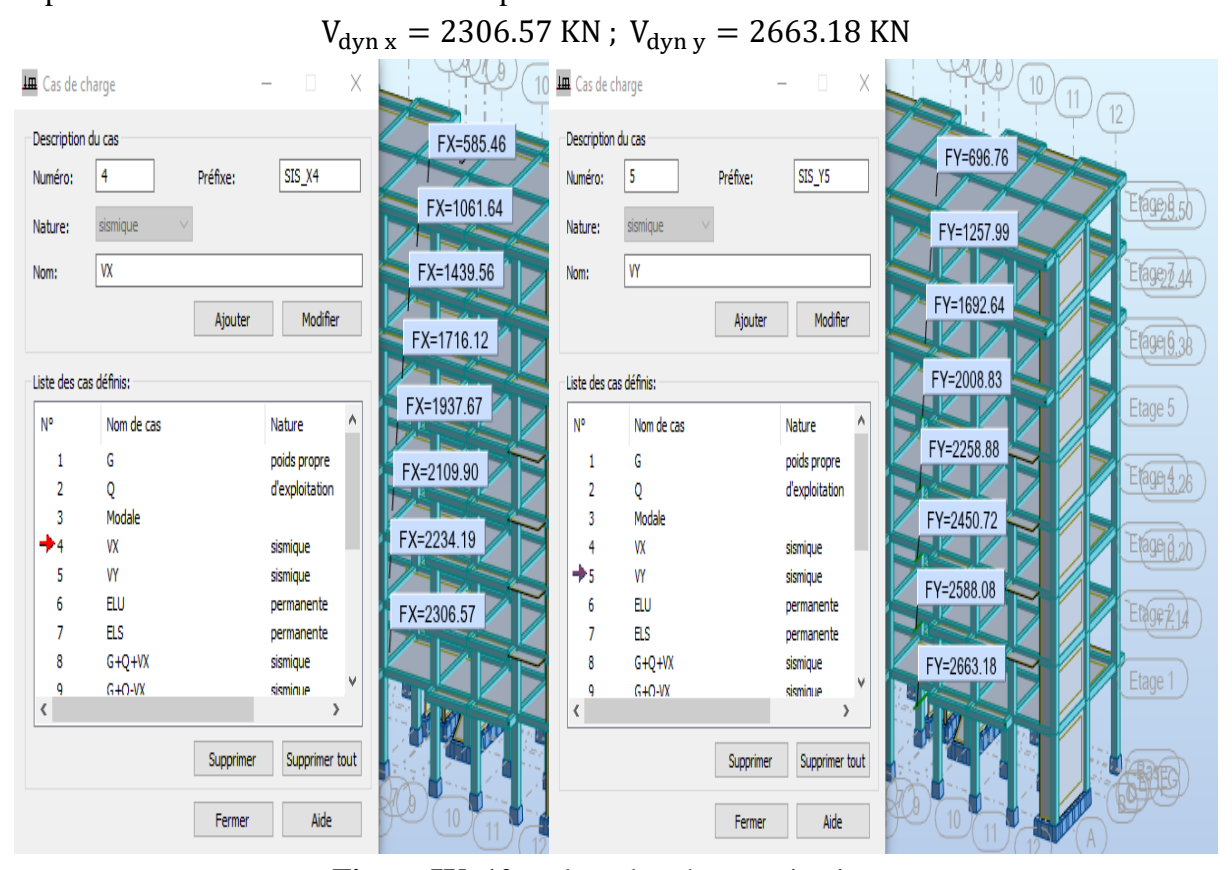


Figure IV. 10: valeur des charges sismique.

Tableau IV. 8: Vérification de l'effort tranchant à la base.

| Résultante des forces sismiques | $V_{ m dyn}$ | V_{st} | $V_{\rm dyn}/V_{\rm st}$ | Observation |
|---------------------------------|--------------|----------|--------------------------|-------------|
| Sens x-x | 2306.57 | 1067.545 | 2.160 | CV |
| Sens y-y | 2663.18 | 771.005 | 3.454 | CV |

IV. 5. 3. Déplacement et efforts tranchant de chaque diaphragme :

Tableau IV. 9: Déplacement et efforts tranchant de chaque diaphragme.

| Étage | $U_x(cm)$ | $U_y(cm)$ | $F_{x}(KN)$ | $F_{y}(KN)$ |
|------------------------|-----------|-----------|-------------|-------------|
| RDC | 0.404 | 0.268 | 2306.57 | 2663.18 |
| 1 ^{er} étage | 0.962 | 0.657 | 2234.19 | 2588.08 |
| 2 ^{eme} étage | 1.626 | 1.156 | 2109.90 | 2450.72 |
| 3 ^{eme} étage | 2.356 | 1.727 | 1937.67 | 2258.88 |
| 4 ^{eme} étage | 3.110 | 2.341 | 1716.12 | 2008.83 |
| 5 ^{eme} étage | 3.840 | 2.970 | 1439.56 | 1692.64 |
| 6 ^{eme} étage | 4.538 | 3.595 | 1061.64 | 1257.99 |
| 7 ^{eme} étage | 5.175 | 4.194 | 585.46 | 696.76 |

IV. 5. 4. Vérification des déplacements : (vérification de l'article 5.10 RPA 2003) [1]

Les déplacements latéraux d'un étage par rapport à l'étage qui lui est adjacent ne doivent pas dépasser 1% de la hauteur d'étage.

Le déplacement horizontal à chaque niveau (k) de la structure est calculé par :

$$\delta_K = R \times \delta_{ek}$$

 δ_{ek} : Déplacement dû aux forces Fi (y compris l'effet de torsion),

R : Coefficient de comportement.

Le déplacement relatif au niveau K par rapport au niveau K-1 est égal à :

$$\Delta_k = \delta_k - \delta_{k-1}$$

Avec : $\Delta_k \le 1\% \times h_k \dots ...(RPA 99 article 5.10)$

Tableau IV. 10: Vérification des déplacements selon x-x.

| Étage | $U_{x}(cm)$ | $\delta_k(cm)$ | Δ_{k} (cm) | $h_k(m)$ | $1\%h_K(cm)$ | Observation |
|------------------------|-------------|----------------|-------------------|----------|--------------|-------------|
| RDC | 0.404 | 1.414 | 1.414 | 4.08 | 4.08 | CV |
| 1 ^{er} étage | 0.962 | 3.367 | 1.953 | 3.06 | 3.06 | CV |
| 2 ^{eme} étage | 1.626 | 5.691 | 2.324 | 3.06 | 3.06 | CV |
| 3 ^{eme} étage | 2.356 | 8.246 | 2.555 | 3.06 | 3.06 | CV |
| 4 ^{eme} étage | 3.110 | 10.885 | 2.639 | 3.06 | 3.06 | CV |
| 5 ^{eme} étage | 3.840 | 13.44 | 2.555 | 3.06 | 3.06 | CV |
| 6 ^{eme} étage | 4.538 | 15.883 | 2.443 | 3.06 | 3.06 | CV |
| 7 ^{eme} étage | 5.175 | 18.112 | 2.229 | 3.06 | 3.06 | CV |

Tableau IV. 11: Vérification des déplacements selon y-y.

| Étage | $U_y(cm)$ | $\delta_k(cm)$ | Δ_{k} (cm) | $h_k(m)$ | $1\%h_K(cm)$ | Observation |
|------------------------|-----------|----------------|-------------------|----------|--------------|-------------|
| RDC | 0.268 | 0.938 | 0.938 | 4.08 | 4.08 | CV |
| 1 ^{er} étage | 0.657 | 2.2995 | 1.361 | 3.06 | 3.06 | CV |
| 2 ^{eme} étage | 1.156 | 4.046 | 1.746 | 3.06 | 3.06 | CV |
| 3 ^{eme} étage | 1.727 | 6.0445 | 1.998 | 3.06 | 3.06 | CV |
| 4 ^{eme} étage | 2.341 | 8.1935 | 2.149 | 3.06 | 3.06 | CV |
| 5 ^{eme} étage | 2.970 | 10.395 | 2.201 | 3.06 | 3.06 | CV |
| 6 ^{eme} étage | 3.595 | 12.582 | 2.457 | 3.06 | 3.06 | CV |
| 7 ^{eme} étage | 4.194 | 14.679 | 2.097 | 3.06 | 3.06 | CV |

IV. 5. 5. Vérification de l'effet P- Δ (RPA99/2003(Article 5.9) [3] :

Les effets du second ordre (ou effet P- Δ) sont les effets dus aux charges verticales après déplacement. Ils peuvent être négligés dans le cas des bâtiments si la condition suivante est satisfaite à tous les niveaux (Article 5.9) [3]

$$\theta = \frac{P_K \times \Delta_K}{h_k \times V_K}$$

Avec:

 P_K : Poids total de la structure et des charges d'exploitations associées au-dessus du niveau k

 V_K : Effort tranchant d'étage de niveau « k ».

 Δ_K : Déplacement relatif du niveau « k » par rapport au niveau « k-1 ».

 h_k : Hauteur de l'étage « k ».

- Si : $0.1 \le \theta_k \le 0.2$, l'effet P- Δ peut être pris en compte de manière approximative en amplifiant les effets de l'action sismique calculée au moyen d'une analyse élastique du premier ordre par le facteur $1/(1-\theta k)$.
- $Si\theta_k \ge 0.2$, la structure est potentiellement instable et doit être redimensionnée. Les résultats obtenus sont regroupés dans les tableaux suivants :

Tableau IV. 12: Vérification de l'éffet P- Δ au sens x-x.

| Étage | P_k | $\Delta_k(x)$ | h_k | V_x | $\boldsymbol{\theta}_{x}$ | $\theta \leq 0.1$ |
|------------------------|----------|---------------|-------|---------|---------------------------|-------------------|
| RDC | 35796.22 | 0.419 | 4.08 | 2306.57 | 0.016 | CV |
| 1 ^{er} étage | 30763.09 | 0.589 | 3.06 | 2234.19 | 0,027 | CV |
| 2 ^{eme} étage | 26515.7 | 0.707 | 3.06 | 2109.90 | 0,029 | CV |
| 3 ^{eme} étage | 22262.07 | 0.784 | 3.06 | 1937.67 | 0,029 | CV |
| 4 ^{eme} étage | 18008.44 | 0.818 | 3.06 | 1716.12 | 0,028 | CV |
| 5 ^{eme} étage | 13754.8 | 0.797 | 3.06 | 1439.56 | 0,025 | CV |
| 6 ^{eme} étage | 9079.42 | 0.774 | 3.06 | 1061.64 | 0,022 | CV |
| 7 ^{eme} étage | 4411.8 | 2,5375 | 4.08 | 855.46 | 0,042 | CV |

Tableau IV. 13: Vérification de l'éffet P- Δ au sens y-y.

| Étage | \boldsymbol{P}_{k} | $\Delta_k(y)$ | h_k | V_y | $\boldsymbol{\theta}_{y}$ | $\theta \leq 0.1$ |
|------------------------|----------------------|---------------|-------|---------|---------------------------|-------------------|
| RDC | 35796.22 | 0.280 | 4.08 | 2663.18 | 0,009 | CV |
| 1 ^{er} étage | 30763.09 | 0.417 | 3.06 | 2588.08 | 0,016 | CV |
| 2 ^{eme} étage | 26515.7 | 0.541 | 3.06 | 2450.72 | 0,018 | CV |
| 3 ^{eme} étage | 22262.07 | 0.624 | 3.06 | 2258.88 | 0,020 | CV |
| 4 ^{eme} étage | 18008.44 | 0.674 | 3.06 | 2008.83 | 0,020 | CV |
| 5 ^{eme} étage | 13754.8 | 0.696 | 3.06 | 1692.64 | 0,018 | CV |
| 6 ^{eme} étage | 9079.42 | 0.695 | 3.06 | 1257.99 | 0,016 | CV |
| 7 ^{eme} étage | 4411.8 | 0.674 | 3.06 | 696.76 | 0,014 | CV |

IV. 5. 6. Vérification au renversement : (RPA99/V2003 Art.5.5) [1]:

Pour que le bâtiment soit stable sur renversement il doit vérifier la relation suivante:

$$\frac{M_s}{M_r}$$
 > 1,5

 $\mathbf{M_s}$: Moment stabilisateur dû aux charges verticales $\mathbf{M_s} = \mathbf{W} \times \frac{\mathbf{L}}{2}$,

 $\mathbf{M_r}$: Moment stabilisateur dû aux charges horizontales $\mathbf{M_r} = \sum F_i \times h_i$

W: Poids de bâtiment,

F: Force sismique de niveau.

Le moment de renversement est calculé par la formule suivante :

$$M_r = \sum F_i \times h_i$$

Les résultats sont résumés dans le tableau suivant :

Tableau IV. 14: valeurs de force sismique F_X .

| Étage | $V_{\rm X}$ | F _X |
|------------------------|-------------|----------------|
| RDC | 2306.57 | 72.38 |
| 1 ^{er} étage | 2234.19 | 124.29 |
| 2 ^{eme} étage | 2109.90 | 172.3 |
| 3 ^{eme} étage | 1937.67 | 221.5 |
| 4 ^{eme} étage | 1716.12 | 276.56 |
| 5 ^{eme} étage | 1439.56 | 377.92 |
| 6 ^{eme} étage | 1061.64 | 206.18 |
| 7 ^{eme} étage | 855.46 | 855.44 |

Tableau IV. 15: valeurs de force sismique F_Y .

| Étage | V_{y} | $\mathbf{F_y}$ |
|------------------------|---------|----------------|
| RDC | 2663.18 | 75.1 |
| 1 ^{er} étage | 2588.08 | 137.36 |
| 2 ^{eme} étage | 2450.72 | 191.84 |
| 3 ^{eme} étage | 2258.88 | 250.05 |
| 4 ^{eme} étage | 2008.83 | 316.24 |
| 5 ^{eme} étage | 1692.64 | 434.65 |
| 6 ^{eme} étage | 1257.99 | 561.23 |
| 7 ^{eme} étage | 696.76 | 696.71 |

Tableau IV. 16: Calcul moment de renversement.

| Étage | h | F _x | M_{rx} | $\mathbf{F_y}$ | M_{ry} |
|--|--------------------|----------------|-----------|----------------|-----------|
| RDC | RDC 4.08 72 | | 295.3104 | 75.1 | 306.408 |
| 1^{er}étage 3.06 124.29 | | 124.29 | 380.3274 | 137.36 | 420.3216 |
| 2 ^{eme} étage | 3.06 | 172.3 | 572.238 | 191.84 | 587.0304 |
| 3 ^{eme} étage | 3.06 | 221.5 | 677.79 | 250.05 | 765.153 |
| 4 ^{eme} étage | 3.06 | 276.56 | 846.2736 | 316.24 | 967.6944 |
| 5 ^{eme} étage | 3.06 | 377.92 | 1156.4352 | 434.65 | 1330.029 |
| 6 ^{eme} étage | 3.06 | 206.18 | 630.9108 | 561.23 | 1717.3638 |
| 7 ^{eme} étage | 3.06 | 855.44 | 2617.6464 | 696.71 | 2136.112 |
| | TOTAL | | 7176.9318 | | 8230.112 |

a. Vérification:

❖ Sens x-x :

Tableau IV. 17: Vérification au renversement (x-x).

| W (kn) | $\mathbf{L}_{\mathbf{x}}$ | $L_{x/2}$ | M _S | M _{rx} | ${ m M_S}_{ m M_{rx}}$ | Observation |
|-----------|---------------------------|-----------|----------------|-----------------|------------------------|-------------|
| 26741.174 | 25.7 | 12.85 | 343624.085 | 7176.9318 | 47.878 | CV |

❖ Sens y-y:

Tableau IV. 18: Vérification au renversement (y-y).

| W (kn) | L _x | L _{x/2} | M _S | M _{rx} | $M_{\rm S}/_{M_{\rm rx}}$ | Observation |
|-----------|----------------|------------------|----------------|-----------------|---------------------------|-------------|
| 26741.174 | 9.65 | 4.825 | 129026.164 | 8230.112 | 15.677 | CV |

IV. 5. 7. Vérification de l'effort normal réduit : [3]

L'article **7.4.3.1 du RPA99/2003**, dont le but d'éviter ou limiter le risque de rupture fragile sous sollicitations d'ensemble dues au séisme, l'effort normal de compression de calcul est limité par la condition suivante :

$$v = \frac{N_d}{B_c \times f_{c28}} \le 0.3$$

 N_d : Désigne l'effort normal de calcul s'exerçant sur une section de béton (obtenu par **ROBOT**).

B_c: Est l'aire (section brute) de cette dernière.

Tableau IV. 19: Vérification de l'effort normal réduit des poteaux.

| Poteaux | N _d (KN) | $B_{c}(m^{2})$ | $f_{c28} (KN/m^2)$ | v | $v \leq 0,3$ |
|----------------|---------------------|----------------|--------------------|--------|--------------|
| 50×50 | 1790.25 | 0.25 | 25000 | 0.2864 | CV |

IV. 5. 8. Vérification de L'excentricité : [1]

L'excentricité est la distance entre le centre de masse et le centre de torsion, elle est calculée dans les deux directions par la formule suivante :

$$e_x = |XCM - XCR|$$
; $e_v = |YCM - YCR|$

* L'excentricité accidentelle :

Selon RPA version 2003, pour tous les structures composantes les planchers ou des diaphragmes horizontales rigides dans leur plan, on suppose qu'à chaque niveau et dans chaque direction, la résultante des forces horizontales a une excentricité par rapport au centre de torsion égale à la plus grande des deux valeurs suivantes :

$$e_x = |XCM - XCR|$$
; $e_y = |YCM - YCR|$

5 % de plus grand dimension de bâtiment à ce niveau

• Excentricité théorique résultante du plan.

$$e_x = 0.05 \times L_x = 0.52 \text{ m}$$

 $e_v = 0.05 \times L_v = 1.305 \text{m}$

Tableau IV. 20: Centre de masse et de rigidité de chaque étage.

| Étage | XCM | YCM | XCR | YCR | e _{cacu} | leé (m) | $e_{th\acute{e}orique}(m)$ | |
|------------------------|-------|--------|-------|------|---------------------------|---------------------------|----------------------------|---------------------------|
| Etage | ACM | 1 CIVI | ACK | ICK | $\mathbf{e}_{\mathbf{x}}$ | $\mathbf{e}_{\mathbf{y}}$ | $\mathbf{e}_{\mathbf{x}}$ | $\mathbf{e}_{\mathbf{y}}$ |
| RDC | 12.85 | 4.825 | 12.85 | 4.92 | 0 | 0.095 | 0.52 | 1.305 |
| 1 ^{er} étage | 12.85 | 4.825 | 12.85 | 4.92 | 0 | 0.095 | 0.52 | 1.305 |
| 2 ^{eme} étage | 12.85 | 4.825 | 12.85 | 4.92 | 0 | 0.095 | 0.52 | 1.305 |
| 3 ^{eme} étage | 12.85 | 4.825 | 12.85 | 4.92 | 0 | 0.095 | 0.52 | 1.305 |
| 4 ^{eme} étage | 12.85 | 4.825 | 12.85 | 4.92 | 0 | 0.095 | 0.52 | 1.305 |
| 5 ^{eme} étage | 12.85 | 4.825 | 12.85 | 4.92 | 0 | 0.095 | 0.52 | 1.305 |
| 6 ^{eme} étage | 12.85 | 4.825 | 12.85 | 4.92 | 0 | 0.095 | 0.52 | 1.305 |
| 7 ^{eme} étage | 12.85 | 4.825 | 12.85 | 4.92 | 0 | 0.095 | 0.52 | 1.305 |

D'après les résultats des excentricités accidentelles dans chaque étage représenté dans le tableau précédent, l'excentricité dans tous les étages ne dépasse pas $0.05 \times L_i$ dans chaque direction.

V. 1. INTRODUCTION:

L'étude des éléments porteurs présente une grande importance dans la conception de cette étude vue le rôle important que joue ces éléments dans la construction, ces éléments reprennent seuls les différentes actions horizontales et verticales. Le calcul des sections sera mené selon la règle du calcul de béton armé (CBA93) en respectant les prescriptions des règles parasismiques algériennes (RPA99/version 2003). Les objectifs de la détermination des sections d'aciers nécessaires pour assurer les critères relatifs à la résistance, la ductilité, et la stabilité des éléments constructifs de notre ouvrage.

Pour pouvoir ferrailler les éléments de la structure, on a utilisé l'outil informatique à travers le logiciel d'analyse des structures (Robot), qui permet la détermination des différents efforts internes de chaque section des éléments pour les différentes combinaisons de calcul.

V. 2. Poteaux:

Les poteaux sont des éléments structuraux assurant la transmission des efforts des poutres vers les fondations. Un poteau est soumis à un effort "N" et à un moment de flexion "M" dans les deux sens soit dans le sens longitudinal et transversal. Donc les poteaux sont sollicités en flexion composée. Les armatures seront calculées à l'état limite ultime "ELU" sous l'effet des sollicitations les plus défavorables introduites dans le logiciel ROBOT dans l'ordre suivant (RPA99/2003).

- Effort normal maximal et le moment correspondant : $N_{max} \rightarrow M_{correspondant}$.
- Effort normal minimal et le moment correspondant : $N_{min} \rightarrow M_{correspondant}$.
- Moment maximum et effort normal correspondant : $M_{max} \rightarrow N_{correspondant}$.

Les combinaisons utilisées pour la détermination des sollicitations sont :

- 1.35 G + 1.5 Q
- G + Q
- $G + Q + E_x$
- $G + Q + E_y$
- $0.8 G + E_x$
- $0.8 G + E_v$

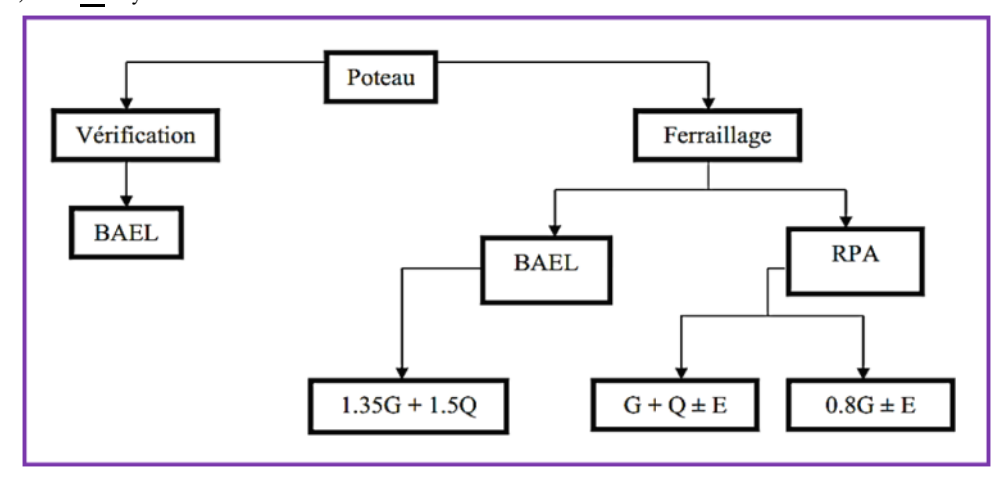


Figure V. 1: Schéma des Combinaisons de ferraillage des Poteaux.

V. 2. 1. Recommandations du RPA99/2003[1]:

V. 2. 1. 1. Armatures longitudinales: RPA99 (Article 7.4.2.1)

- Les armatures longitudinales doivent être à haute adhérence droites et sans crochets.
- Le pourcentage minimum est de 0.8% (zone IIa).
- Le pourcentage maximum est de 4% en zone courante et de 6% en zone de recouvrement.
- La longueur minimale de recouvrement est de 40Φ (zone IIa).
- Le diamètre minimum est de 12mm.
- La distance entre les barres verticales sur une face du poteau ne doit pas dépasser 25cm (zone IIa).
- Les jonctions par recouvrement doivent être faites si possible à l'extérieur des zones nodales (zones critiques).
- h' = max $(\frac{h_e}{6}; b_1; h_1; 60$ cm).

a. Section armature selon l'RPA99V2003:

$$A_{min} = 8\% \times b \times a$$

$$A_{max}$$
= 4% × b × a \rightarrow En zone courante.

$$A_{max} = 6\% \times b \times a \rightarrow En$$
 zone de recouvrement.

b. Section d'armature selon BAEL91 :

$$A_{\min} = 0.2 \times \frac{B}{100}$$
$$A_{\max} = 5 \times \frac{B}{100}$$

Les valeurs numériques relatives aux prescriptions du RPA99/V2003et BAEL91 concernant notre ouvrage sont apportées dans le tableau ci-après.

Tableau V. 1: Armatures longitudinales minimales et maximales dans les poteaux.

| Section | Δ | Δ | Δ | A _{max} | _{RPA} (cm²) |
|--------------------|--|--|-------------------------------|------------------|----------------------|
| (cm ²) | A _{min BAEL} (cm ²) | A _{max BAEL} (cm ²) | A _{min RPA} (cm²) | Zone courante | Zone de recouvrement |
| (40 × 40) | 3.2 | 80 | 12.8 | 64 | 96 |

V. 2. 1. 2. Armatures transversales: RPA99 (Art 7.4.2.2)

Les armatures transversales des poteaux sont calculées à l'aide de la formule

$$\frac{A_t}{t} = \frac{\rho_a \times V_u}{h_1 \times f_e}$$

Avec:

V_u: Effort tranchant de calcul.

h₁: Hauteur totale de la section brute.

 f_e : Contrainte limite élastique de l'acier des armatures transversales f_e = 400 MPA

 ρ_a : Coefficient correcteur (tient compte de la rupture).

 $\rho_a = 2,5 \text{Si l'élancement Géométrique} \ge 5$; $\rho_a = 3,75 \text{ Si l'élancement Géométrique} < 5$

t: Espacement des armatures transversales.

• Dans la zone nodale :

 $t \le \min (10\phi; 15cm) \rightarrow En zone IIa$

• Dans la zone courante :

 $t \le 15 \phi \rightarrow \text{En zone IIa}$

Où: φ : Est le diamètre minimal des armatures longitudinales du poteau.

La quantité d'armatures minimale $\left(\frac{A_t}{b_1 \times t}\right)$ est donnée par :

- $0.3\% \text{ si } \lambda_g \ge 5$
- $0.8 \% \text{ si } \lambda_g \leq 3$
- $3 < \lambda_g < 5$ Par interpolation Avec $\lambda_g = \frac{l_f}{a}$ ou $\frac{l_f}{b}$

a et b : les dimensions de la section du poteau.

 l_f : Longueur de flambement $\rightarrow l_f = 0,707 l_0$.

l₀: Hauteur libre d'étage

a. Calcule Ferraillage des poteaux :

Le ferraillage des poteaux est calculé en flexion composée en fonction de l'effort normal (N) et le moment fléchissant (M). Les poteaux seront ferraillés à partir des résultats obtenus de l'analyse dynamique qui a été effectuée par le logiciel ROBOT.

Les poteaux sont soumis aux efforts revenant de la combinaison ($\mathbf{G} + \mathbf{Q} \pm \mathbf{E}$) suivants :

- Effort Normal
- Effort Tranchant.
- Moment Fléchissant.

Le résumées des sollicitations données par le logiciel ROBOT.

$$\gamma_b = 1.5$$
 $\gamma_s = 1.15$ $f_{c28} = 25 \text{ MPA}$ $f_e = 400 \text{ MPA}$

N > 0: effort de traction.

N < 0: effort de compression.

Tableau V. 2: Les sollicitations dues aux poteaux.

| | E | ELU | | G ± E | G + | | |
|----------------|----------|---------|--------------------|---------------------|--------------------------------|---------|-----------|
| Poteau | iliaxcom | | N _{min} - | → M _{corr} | $M_{max} \rightarrow N_{corr}$ | | V_{max} |
| (50×50) | N (KN) | M(KN.m) | N (KN) | M(KN.m) | N (KN) | M(KN.m) | V(KN) |
| | 1445.07 | 21.24 | -1334.98 | -21.25 | 162.81 | 128.13 | 76,92 |

V. 2. 1. 3. Armatures longitudinales :

Cas 1:

 $N_{\text{max}} = 1445.07 \text{ kN}$ $M_{\text{corr}} = 21.24 \text{ kN}. m$

• Calcule de l'excentricité :

$$e = e_0 + e_2 + e_a$$

Avec:

e₀: Excentricités de la résultante.

e 2 : Excentricités due aux effets du second ordre lié à la déformation de la structure.

e_a: Excentricités additionnelle traduisant les imperfections géométriques initiales.

• Calcul l'excentricité de la résultante :

$$e_G = \frac{M_{corr}}{N_{max}} = \frac{21.24}{1445.07} = 1.46 \text{ cm}$$

• Calcul l'excentricité additionnelle :

$$\begin{array}{l} e_a \ = \ max \left[2\ cm\ , \frac{L}{250} \right] \ , \quad L: longueur\ de\ la\ pièce\ (BAELA4.3.5)\ [3] \\ e_a \ = \ max\ [2cm\ , 1.224\ cm] \\ e_a \ = \ 2\ cm\ = \ 0.02\ m \\ e_1 \ = \ e_0 \ + \ e_a \ = \ 0.0146 \ + \ 0.02 \ = \ 0.0346\ m \end{array}$$

• Calcul l'excentricité due aux effets du second ordre :

Selon l'article (A.4.3.5) du CBA93 [2], l'excentricité du deuxième ordre (e₂) liée a la déformation de la structure. Pour déterminer l'excentricité du second ordre.

$$\begin{split} \frac{l_f}{h} &\leq \text{Max} \left[15, 20 \; \frac{e_1}{h} \right] \\ l_f &= 0.7 \; \times 3.06 = 2.142 \; \text{m}. \\ 4.284 &\leq \text{Max} \left[15, 1.384 \right] \\ 4.284 &\leq 15 \; \dots \dots \; \text{CV}. \end{split}$$

On détermine l'excentricité e2 de façon forfaitaire

$$\alpha = \frac{M_G}{M_Q + M_G} = \frac{49.67}{9.25 + 49.67} = 0.843$$

$$e_2 = \frac{3 \, l^2_{\,\, f}}{10^4 \, h} (2 + \, \alpha \varphi) = \frac{3 \times 2.142^2}{10^4 \, .0.50} \times (2 + \, 0.843 \, \times 2 \,) = 0.0101 \, m$$

 $\phi = 2$

Donc:

$$e_T = e_1 + e_2 = 0.0346 + 0.0101 = 0.0447m = 4.47 cm.$$
 $e_t \le \frac{h}{2} = \frac{50}{2} = 25 cm.$

Le centre de pression et à l'intérieure de la section II faut vérifier la condition suivante :

$$N_{\rm u}({\rm d}-{\rm \acute{d}}) - M_{\rm uA} \le \left(0.337 - 0.81\frac{{\rm \acute{d}}}{h}\right) \times b \times h^2 \times f_{bu}$$

 Où : $M_{\rm uA} = N_{\rm u}\left({\rm d}-\frac{h}{2}+{\rm e_t}\right) = 1445.07 \times (0.45 - 0.25 + 0.0447) = 353.608 \text{ KN. m}$
 $1445.07 \times 10^3 \times (450 - 50) - 353.608 \times 10^6 \le (0.337 - 0.81\frac{50}{500}) \times 500 \times 500^2 \times 14.2$
 $109.24 \text{ KN. m} \le 454.4 \text{KN.m}$

Donc la section est partiellement comprimée. La méthode de calcul se fait par assimilation à la flexion simple

$$\begin{split} \mu_{bu} &= \frac{M_{ua}}{bd^2 f_{bc}} = \frac{353.608 \times 10^6}{500 \times (450)^2 \times 14.2} = \ 0.245 \\ &\quad 0.245 > 0.186 \ \Rightarrow \text{Pivot B} \\ \mu_{bu} &< \mu_l = \ 0.392 \dots \dots \dots A' = \ 0 \\ &\quad \alpha = 1.25 (1 - \sqrt{1 - 2\mu_{bu}}) \end{split}$$

$$\alpha = 0.357$$

$$Z = d (1 - 0.4\alpha)$$

$$Z = 0.45 \times (1 - 0.4 \times 0.357) = 0.3857m$$

$$A_{u1} = \frac{M_{ua}}{Z\sigma_S}$$

$$A_{u1} = \frac{353.608 \times 10^6}{385.7 \times 348} = 26.34cm^2$$

***** Cas 2 :

$$\begin{cases} N_{min} = -1334.98 \text{ kN} \\ M_{corr} = -21.25 \text{ kN. m} \end{cases}$$

• Calcul l'excentricité de la résultante :

$$\begin{split} e_G &= \frac{M_{corr}}{N_{min}} = \frac{-21.25}{-1334.98} = 1.59 \text{ cm} \\ e_G &\leq \frac{h}{2} = \frac{50}{2} = 25 \text{ cm} \dotsCV. \end{split}$$

Le centre de pression et à l'inférieur de la section Il faut vérifier la condition suivante :

$$\begin{split} N_u \Big(d - \acute{d} \Big) - M_{uA} & \leq \left(0.337 - 0.81 \frac{\acute{d}}{h} \right) \times b \times h^2 \times f_{bu} \\ Où: M_{uA} &= M_G + N_u \left(d - \frac{h}{2} \right) = -21.25 - 1334.98 \\ (0.45 - 0.25) &= -271.246 \text{ m} \\ -1334.98 \times 10^3 \times (450 - 50) &\mp 271.246 \times 10^6 \leq (0.337 - 0.81 \times \frac{50}{500}) \times 500 \times 500^2 \times 14.2 \\ & -262.746 \text{ KN. m} \leq 454.4 \text{KN.m} \end{split}$$

Donc la section est entièrement tendue N traction et e entre les armatures :

$$e_{1} = \frac{h}{2} - d + e_{G} \quad ; \quad e_{2} = (d - d') - e_{1}$$

$$e_{1} = 21.59 \text{ cm} \quad ; e_{2} = 38.41 \text{ cm}$$

$$A_{1} = \frac{N_{u} \times e_{2}}{(d - d')\sigma_{st}} = \frac{1334.98 \times 38.41}{(45 - 5) \times 348} = 3.68 \text{ cm}^{2}$$

$$A_{2} = \frac{N_{u} \times e_{1}}{(d - d')\sigma_{st}} = \frac{1334.98 \times 21.59}{(45 - 5) \times 348} = 2.07 \text{ cm}^{2}$$

$$A_{s} = A_{1} + A_{2} = 5.75 \text{ cm}^{2}$$

❖ Cas 3:

$$N_{min} = 162.81 \text{ kN}$$

 $M_{corr} = 128.13 \text{ kN. m}$

• Calcul l'excentricité de la résultante :

$$e_G = \frac{M_{corr}}{N_{min}} = \frac{59.45}{1335.18} = 78.6 \text{ cm}$$

• Calcul l'excentricité additionnelle :

$$e_1 = e_0 + e_a = 0.786 + 0.02 = 0.806 \text{ m}$$

• Calcul l'excentricité due aux effets du second ordre :

$$4.284 \le \text{Max} [15, 2.58]$$

 $4.284 \le 15 \dots \text{CV}.$

$$\alpha = 0.843$$

$$e_2 = \frac{3 l_f^2}{10^4 h} (2 + \alpha \phi) = \frac{3 \times 2.142^2}{10^4 \cdot 0.50} \times (2 + 0.843 \times 2) = 0.0101 m$$

$$\phi = 2$$

Donc:

$$e_T = e_1 + e_2 = 0.803 + 0.0101 = 0.8131 \text{ m} = 81.31 \text{ cm}.$$
 $e_t \ge \frac{h}{2} = \frac{50}{2} = 25 \text{ cm}.$

NOTE:

Le centre de pression et à l'extérieure de la section.

$$\begin{split} N_u \Big(d - \hat{d} \Big) - M_{uA} &\leq \left(0.337 - 0.81 \frac{\hat{d}}{h} \right) \times b \times h^2 \times f_{bu} \\ Où: M_{uA} &= N_u \left(d - \frac{h}{2} + e_t \right) = 162.81 \times (0.45 - 0.25 + 0.8131) = 164.92 \text{ KN. m} \\ 1335.18 \times 10^3 \times (450 - 50) - 366.64 \times 10^6 &\leq (0.337 - 0.81 \times \frac{50}{500}) \times 500 \times 500^2 \times 14.2 \\ &\qquad \qquad -99.76 \text{ KN. m} \leq 454.4 \text{KN.m} \end{split}$$

Donc la section est partiellement comprimée. La méthode de calcul se fait par assimilation à la flexion simple

$$\begin{split} \mu_{bu} &= \frac{M_{ua}}{bd^2 f_{bc}} = \frac{164.92 \times 10^6}{500 \times (450)^2 \times 14.2} = 0.114 \\ \alpha_R &= \frac{3.5}{3.5 + 1000 \zeta_{es}} = \frac{3.5}{3.5 + 1.739} = 0.668 \\ \mu_R &= 0.8 \, \alpha_R (1 - 0.4 \alpha_R) = 0.391 \\ 0.114 &< 0.391 \Rightarrow \text{Pivot B} \\ \mu_{bu} &< \mu_R = 0.391 \dots MA' = 0 \\ \alpha &= 1.25 (1 - \sqrt{1 - 2\mu_{bu}}) \\ \alpha &= 0.15 \\ Z &= d \, (1 - 0.4 \alpha) = 0.45 \times (1 - 0.4 \times 0.15) \\ Z &= 0.423 \, \text{m} \\ A_{u1} &= \frac{M_{ua}}{Z\sigma_S} = \frac{164.92 \times 10^6}{423 \times 348} \\ A_{u1} &= 11.20 \, \text{cm}^2 \end{split}$$

Tableau V. 3: Sections des armatures longitudinales.

| Niveaux | Cas 1 (cm ²) | Cas 2 (cm ²) | Cas 3 (cm ²) | A _{min BAEL} (cm ²) | $\begin{array}{c} A_{min~RPA} \\ (cm^2) \end{array}$ | A _{max} (cm ²) |
|-----------------|-----------------------------|-----------------------------|-----------------------------|--|--|-------------------------------------|
| RDC (50 × 50) | 27.37 | 5.75 | 11.29 | 3.2 | 12.8 | 27.37 |
| Etage (50 × 50) | 26.34 | 5.75 | 11.20 | 3.2 | 12.8 | 26.34 |

Tableau V. 4: Sections des armatures longitudinales adoptées.

| Niveaux | A_{max} (cm ²) | $A_{adp}(cm^2)$ |
|------------------------|------------------------------|---------------------|
| RDC (50×50) | 27.37 | 4T20 + 8T16 = 28.65 |
| Etage (50×50) | 26.34 | 4T20 + 8T16 = 28.65 |

V. 2. 1. 4. Armatures transversales : (RPA article.7.4.2.2) [3]

Les armatures transversales des poteaux sont calculées à l'aide de la formule :

$$\frac{A_t}{t} = \frac{\rho_a \times V_u}{h_1 \times f_e}$$

On calcule les armatures transversales du poteau de section (60×60) cm²

$$\emptyset_{1 \, \text{min}} = 2 \, \text{cm} ; L_f = 0.707 L_0 = 0.707 \times 3.06$$

 $L_f = 2.884 \text{m}$

 V_u : Effort tranchant de calcul V_{max} .

h₁:Hauteur totale de la section brute.

f_e:Contrainte limite élastique de l'acier d'armature transversale.

t: L'espacement des armatures transversales.

D'après les recommandations du RPA l'espacement t est pris égale à :

 $t \le min(10\emptyset_1; 15 cm)$ En zone nodale (zone II).

On adoptera t = 10 cm

 $t \le 15\emptyset_1 En$ zone courante

On adoptera t = 10 cm

 ρ_a : est un coefficient correcteur qui tient compte du mode fragile de la rupture par effort tranchant, il est pris égal à :

$$\begin{split} \rho_{a} &= 2{,}5 \qquad \text{Si } \lambda_{g} \geq 5. \\ \rho_{a} &= 3{,}75 \qquad \text{Si } \lambda_{g} < 5. \\ \lambda_{g} &= \frac{L_{f}}{a} = \frac{2{,}16}{0{,}5} = 5.768 \text{ ou} \quad \lambda_{g} = \frac{L_{f}}{b} = \frac{2{,}16}{0{,}5} = 5.768 \quad \Rightarrow \quad \rho_{a} = 2.5 \end{split}$$

fe : Contrainte limite élastique de l'acier d'armature transversale.

$$\frac{A_t}{t} = \frac{\rho_a \times V_u}{h_1 \times f_e} \Rightarrow A_t = \frac{\rho_a \times V_u}{h_1 \times f_e} \times t = \frac{76.92 \times 10^3 \times 2.5}{500 \times 400} \times 100 = 0.961 \text{ cm}^2$$

Calcul de la section de ferraillage transversale minimale $A_{t min}$

$$\lambda_g \ge 5 \rightarrow A_{min} = 0.3\%(t \times b_1)$$

 $\lambda_g \le 3 \rightarrow A_{min} = 0.8\%(t \times b_1)$

 $3 < \lambda_{\rm g} < 5$ Interpolation entre les valeurs limites précédentes.

Tableau V. 5: Armatures transversales.

| Niveaux | RDC | Etage |
|------------------------|------------|------------|
| b×h (cm ²) | 50 × 50 | 50 × 50 |
| V _{max} (KN) | 76.92 | 76.92 |
| $L_{f}(m)$ | 2,884 | 2.163 |
| $\lambda_{ m g}$ | 5.768 | 4,326 |
| ρ_a | 0.961 | 3,75 |
| t (cm) | 10 | 10 |
| $A_t(cm^2)$ | 0.961 | 1.34 |
| A _{t min} | 1.5 | 1,88 |
| $A_{t adop}(cm^2)$ | 6T8 = 3.02 | 6T8 = 3.02 |

D'après le Code De Béton Armé (CBA93. Article A7.1.3). Le diamètre des armatures transversales est au moins égal à la valeur normalisée la plus proche du tiers (1/3) du diamètre

des armatures longitudinales.

$$\emptyset_{t} \ge \frac{\emptyset_{1 \text{ max}}}{3} = \frac{20}{3} = 6,66 \text{ mm CV}.$$

V. 2. 1. 5. Vérifications nécessaires :

a. Vérification aux sollicitations tangentielles :

La contrainte de cisaillement doit être inférieure ou égale à la valeur limite suivante :

$$\tau_{\rm u} = \frac{T_{\rm u}}{{\rm b} \times {\rm d}} \le \overline{\tau}_{\rm u}$$

 τ_u : Contrainte de cisaillement.

 T_u : L'effort tranchant pour l'état limite ultime.

b : Largeur de la section du poteau.

d: Hauteur utile de la section du poteau.

• Selon BAEL99 : Fissuration préjudiciable

$$\overline{\tau}_{\rm u} = \min \left[0.15 \times \frac{f_{\rm c28}}{\gamma_{\rm b}} ; 4 \text{MPa} \right] = 2.5 \text{ MPa}$$

• Selon RPA99 v 2003 :
$$\overline{\tau}_{u} = \rho_{d} \times f_{c28}$$

$$\rho_{d} = \begin{cases} 0.075 & Si \ \lambda \geq 5 \\ 0.04 & Si \ \lambda < 5 \end{cases}$$

λ: L'élancement du poteau.

Tableau V. 6: Vérification de la contrainte de cisaillement pour les poteaux.

| Niveaux | RDC | Etage |
|--|---------|----------------|
| $\mathbf{b} \times \mathbf{h} \ (\mathbf{cm}^2)$ | 50 × 50 | 50×50 |
| V _{max} (KN) | 76.92 | 76.92 |
| τ _u (MPa) | 0,30 | 0,30 |
| λ | 5.768 | 4,32 |
| $ ho_{ m d}$ | 0,04 | 0,04 |
| $\overline{\tau}_{u RPA} (MPa)$ | 1.87 | 1 |
| τ _{u BAEL} (MPa) | 2,5 | 2,5 |
| Observation | CV | CV |

b. Vérification de stabilité de forme : (CBA 93Article B.8.4.1)

Les éléments soumis à la flexion composée, doivent être justifiés vis-à-vis du flambement.

Nu
$$\leq \overline{N} = \propto \left[\frac{Br \times fc28}{0.9 \times \gamma b} + A \frac{fe}{\gamma s} \right]$$
 CBA 93(Article B.8.4.1) [2]

 α : est un coefficient fonction de l'élancement mécanique $\lambda.$

$$\lambda = \max(\lambda x; \lambda y) \text{ Avec}: \quad \lambda = \sqrt{12} \times \frac{L_f}{b} .$$

$$L_f = 0.7 \times L_0 \Rightarrow L_f = 0.7 \times 408 = 285.6 \text{cm}$$

$$\lambda = \sqrt{12} \times \frac{285.6}{35} = 28.2$$

$$\lambda = 28.26 < 50$$

$$\alpha = \frac{0.85}{1 + 0.2\left(\frac{\lambda}{35}\right)^2} = \frac{0.85}{1 + 0.2\left(\frac{28.26}{35}\right)^2} = 0.752$$

B_r: est la section réduite du poteau obtenue en déduisant de sa section réelle 1 cm d'épaisseur sur tout son périphérique.

$$\begin{split} B_r &= (\text{h-2}) \; (\text{b-2}) = 0.2304 \; \text{m}^2 \\ \gamma b &= 1.50 \quad ; \quad \gamma s = 1.15 \; \rightarrow \quad \text{As=} \; 44.76 \; \text{cm}^2 \\ \overline{N} &= \; 0.752 \times \left[\frac{0.2304 \times 10^6 \, \times \, 25}{0.9 \, \times \, 1.5} + 4476 \times \frac{400}{1.15} \right] = 4379.29 \text{KN} \\ N_U &= \; 1445.07 \; \text{KN} < \overline{N}. \end{split}$$

Tableau V. 7: vérification au flambement.

| Poteau | N _U (KN) | L _f (cm) | α | λ | A (mm ²) | $B_r \ (m^2)$ | N (KN) | Condition |
|---------|---------------------|---------------------|-------|-------|----------------------|---------------|-----------|-----------|
| 50 × 50 | 1445.07 | 285.6 | 0.752 | 28.6 | 4476 | 0.2304 | 4379.29 | CV |
| 50 × 50 | 1445.07 | 214.2 | 0.791 | 21.20 | 3317 | 0.2304 | 4065.30 | CV |

c. Schéma de ferraillage :

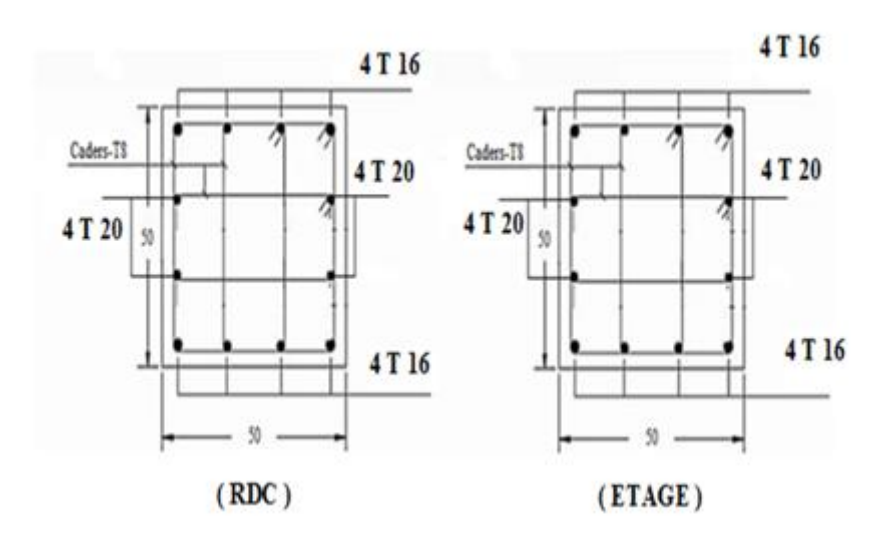


Figure V. 2: Schéma de ferraillage des poteaux.

V. 3. FERRAILLAGE DES POUTRES:

Les poutres sont des éléments structuraux horizontaux leur rôle est transmettre les charges apportées par les dalles aux poteaux. Elles sont sollicitées par des moments de flexion. Le moment fléchissant permet la détermination des dimensions des armatures longitudinales. L'effort tranchant permet de déterminer les armatures transversales.

On distingue deux types de poutres, les poutres principales qui supportent les poutrelles et les poutres secondaires assurent le chaînage.

Les poutres seront calculées en flexion simple d'après les règlements du BAEL 91 modifie 99 on tenant compte des efforts données par le logiciel ROBOT.

On fait le calcul pour les combinaisons suivantes :

Selon le BAEL 91 les Combinaisons fondamentales sont : article A.3.3

- 1,35G + 1,5Q (ELU).
- G + Q (ELS).

Selon le RPA 99/v2003 les Combinaisons accidentelles sont : article 5.2

- $G + Q \pm Ex$, y
- $0.8G \pm Ex, y$

V. 3. 1. Recommandation du RPA 99/2003:

a. Armatures longitudinales :(RPA A.7.5.2.1) [3]

- Le pourcentage total minimum des aciers longitudinaux sur toute la longueur de la poutre est de 0.5% de la section totale du béton,
- Le pourcentage total maximum des aciers longitudinaux est de :
- ➤ 4% de la section de béton en zone courante.
- ➤ 6% de la section de béton en zone de recouvrement.
- La longueur minimale de recouvrement est de 40 Ø en zone IIa.
- L'ancrage des armatures longitudinales supérieures et inférieures dans les poteaux de rive et d'angle doit être effectué avec des crochets à 90°.

b. Armatures transversales : (RPA A.7.5.2.1) [3]

• La quantité d'armatures transversales minimale est donnée par :

$$A_t = 0.003 \times S_t \times b$$

- L'espacement maximum entre les armatures transversales, est donné comme suit :
 - $ightharpoonup S_t = \min\left(\frac{h}{4}; 12 \times \emptyset_l\right)$ Dans la zone nodale et en travée si les armatures Comprimées sont nécessaires.
 - $ightharpoonup S_{t} \leq \frac{h}{2}$: en dehors de la zone nodale.
- La valeur du diamètre des armatures longitudinales \emptyset_1 à prendre est le plus petit diamètre utilisé et dans le cas d'une section en travée avec des armatures comprimées, c'est le diamètre le plus petit des aciers comprimés.
- Les premières armatures transversales doivent être disposées à 5cm au plus du nu de l'appui ou de l'encastrement.

V. 3. 2. Ferraillage des poutres :

V. 3. 2. 1. Poutre principale:

a. Les armatures longitudinales :

Les sollicitations obtenues pour les différentes combinaisons sont données par le logiciel ROBOT.

Tableau V. 8: Les sollicitations dues aux PP.

| Section | Section M _t ^{max} | | V _{max} | |
|-------------------------|---------------------------------------|--------|------------------|--|
| Pouter (40 × 30) | 105.93 | 110.35 | 182.41 | |

***** Ferraillage en travée :

$$\begin{split} M_{t\,max} &= 105.93 \; \text{KN.} \, \text{m} \\ h &= 40 \; \text{cm}; \; b = 30 \; \text{cm}; \; d = 0.9 \times h = 36 \; \text{cm} \\ \mu &= \frac{Mu}{\sigma_b.b.d^2} = \frac{105.93 \times 10^6}{14.2 \times 300 \times 360^2} = 0.191 \\ \alpha &= 1.25 \; \times \left(1 - \sqrt{1 - 2\mu}\right) = 1.25 \; \times \left(1 - \sqrt{1 - 2 \times 0.191}\right) \\ \alpha &= 0.267 \\ Z &= d(1 - 0.4 \; \alpha) \\ Z &= 321.552 \; \text{mm} \\ A_s &= \frac{Mu}{\sigma s \; . \; Z} = \frac{105.93 \; \times 10^6}{348 \; \times \; 321.552} \\ A_s &= 9.466 \; \text{cm}^2 \end{split}$$

***** Ferraillage en appui :

 $M_{a \text{ max}} = 110.35 \text{KN .m}$

$$\mu = \frac{Mu}{\sigma_b \cdot b \cdot d^2} = \frac{110.35 \times 10^6}{14.2 \times 300 \times 360^2} = 0.199$$

$$\mu < 0.186 \text{ et } \mu < \mu_l = 0.392 \rightarrow A' = 0$$

Donc:

$$\alpha = 1.25 \times \left(1 - \sqrt{1 - 2\mu}\right)$$

$$\alpha = 0.280$$

$$Z = d(1 - 0.4 \alpha)$$

$$Z = 331.34 \text{ mm}$$

$$A_s = \frac{Mu}{\sigma s \cdot Z} = \frac{110.35 \times 10^6}{348 \times 331.34}$$

$$A_s = 9.57 \text{ cm}^2$$

❖ Condition de non fragilité : (BAEL 91 A.4.2.1) [1]

$$\begin{split} A_{min} & \geq 0.23 \times b \times d \times \frac{ft_{28}}{f_e} \\ A_{min} & \geq 0.23 \times 300 \times 360 \times \frac{2.1}{400} = \ 1.34 \ cm^2 \\ A_s & > A_{min} \dots . CV. \end{split}$$

• Armatures minimales :(RPA A.7.5.2.1) [3]

$$A_{min} = 0.5\%(b \times h) = 0.5\%(30 \times 40) = 6 \text{ cm}^2$$

• Armatures maximales : (RPA A.7.5.2.1) [3]

Zone courante : $A_{max} = 4\%(b \times h) = 48 \text{ cm}^2$

Zone de recouvrement : $A_{max} = 6\%(b \times h) = 72 \text{ cm}^2$

b. Calcul du ferraillage transversal:

Les armatures transversales des poutres sont calculées à l'aide de la formule (BAEL91).

$$\emptyset_{t} \leq \min(h/35; b/10; \emptyset_{1})$$

 \emptyset_1 : Diamètre minimal des armatures longitudinales du poutre.

$$\emptyset_t \le \min (40/35; 30/10; 1.4)$$

 $\emptyset_t \le \min (1.14; 3; 1.4)$

 $\emptyset_t = 1.14 \text{ cm}$, Donce on prend $\Phi_t = 8 \text{ mm}$

A Calcul de l'espacement :

• L'espacement est calculé par le RPA99 V2003 :

dans la zone nodale : $S_t = min\left(\frac{h}{4}; 12 \times \emptyset_1\right) = min\left(\frac{40}{4}; 12 \times 1.4\right) = 10$ cm.

en zone courante : $S_t \le \frac{h}{2} = \frac{40}{2} = 20$ cm.

 $S_t = 10 \text{ cm zone nodale}$ $S_t = 10 \text{ cm zone courante}$

• La section minimale des armatures transversales :

$$A_{t \min} = 0.003 \times S_t \times b = 0.003 \times 10 \times 30 = 0.9 \text{ cm}^2$$

 $A_t = 4T8 = 2.01$ cm² (un cadre et un étrier).

• Recouvrement des armatures longitudinales

D'après l'RPA99V2003 la longueur minimale de recouvrement dans la zone IIa est de 400 poutre longitudinale : 400

$$L_r = 40 \times \emptyset_1 = 40 \times 1, 2 = 48 \text{ cm} \Rightarrow \text{On adopte} : L_r = 50 \text{ cm}$$

V. 3. 2. 2. Poutre secondaire :

Exemple de calcul:

a. Les armatures longitudinales :

Les sollicitations obtenues pour les différentes combinaisons sont données par le logiciel ROBOT.

Tableau V. 9: Les sollicitations dues aux PS.

| Section | Section M _t ^{max} | | V_{max} | |
|-----------------|---------------------------------------|-------|-----------|--|
| Pouter (35× 30) | 92.16 | 98.52 | 248.64 | |

***** Ferraillage en travée :

$$\begin{split} M_{t\;max} &= 92.16\;\text{KN.}\,\text{m} \\ h &= 35\;\text{cm};\, b = 30\;\text{cm};\, d = 0.9 \times h = 31.5\;\text{cm} \\ \mu &= \frac{\text{Mu}}{\sigma_b.b\,.d^2} = \frac{92.16 \times 10^6}{14.2 \times 300 \times 315^2} = 0.248 \\ \alpha &= 1.25\;\times \left(1 - \sqrt{1 - 2\mu}\right) = 1.25\;\times \left(1 - \sqrt{1 - 2 \times 0.248}\right) \\ \alpha &= 0.311 \\ Z &= d(1 - 0.4\;\alpha) \\ Z &= 275.814\;\text{mm} \\ A_s &= \frac{\text{Mu}}{\sigma s\,.\,Z} = \frac{92.16\;\times 10^6}{348\;\times 275.814} \\ A_s &= 9.601\;\text{cm}^2 \end{split}$$

❖ Ferraillage en appui:

 $M_{a \text{ max}} = 98.52 \text{ .m}$

$$\mu = \frac{Mu}{\sigma_b \cdot b \cdot d^2} = \frac{98.52 \times 10^6}{14.2 \times 300 \times 315^2} = 0.223$$

$$\mu < 0.186 \text{ et } \mu < \mu_l = 0.392 \rightarrow A' = 0$$

Donc:

$$\alpha = 1.25 \times (1 - \sqrt{1 - 2\mu})$$

$$\alpha = 0.319$$

$$Z = d(1 - 0.4 \alpha)$$

$$Z = 274.806 \text{ mm}$$

$$A_s = \frac{Mu}{\sigma s \cdot Z} = \frac{98.52 \times 10^6}{348 \times 274.806}$$

$$A_s = 10.30 \text{ cm}^2$$

❖ Condition de non fragilité : (BAEL 91 A.4.2.1) [1]

$$\begin{split} A_{min} \geq \ 0.23 \times b \times d \times \frac{ft_{28}}{f_e} \\ A_{min} \geq \ 0.23 \, \times \, 300 \, \times \, 315 \times \frac{2.1}{400} = \ 1.14 \, cm^2 \\ As > A_{min} \dots \dots CV. \end{split}$$

• Armatures minimales :(RPA A.7.5.2.1) [3]

$$A_{min} = 0.5\%(b \times h) = 0.5\%(30 \times 35) = 5.25 \text{ cm}^2$$

• Armatures maximales: (RPA A.7.5.2.1) [3]

Zone courante : $A_{max} = 4\%(b \times h) = 42 \text{ cm}^2$

Zone de recouvrement : $A_{max} = 6\%(b \times h) = 63 \text{ cm}^2$

b. Calcul du ferraillage transversal:

Les armatures transversales des poutres sont calculées à l'aide de la formule (BAEL91) :

$$\emptyset_t \le \min(h/35; b/10; \emptyset_l)$$

Ø₁: Diamètre minimal des armatures longitudinales du poutre.

$$\emptyset_t \le \min (35/35; 30/10; 1.4)$$

 $\emptyset_t \le \min (1; 3; 1.4)$

 $\emptyset_t = 1 \text{ cm}$, Donce on prend $\Phi_t = 8 \text{ mm}$

- **A Calcul de l'espacement :**
- L'espacement est calculé par le RPA99 V2003 :

dans la zone nodale : $S_t = min\left(\frac{h}{4}; 12 \times \emptyset_1\right) = min\left(\frac{35}{4}; 12 \times 1.4\right) = 8.75$ cm.

en zone courante : $S_t \leq \frac{h}{2} \, = \frac{40}{2} \, = 20$ cm

 $S_t = 8.5 \text{ cm zone nodale}$

 $\left\{ S_{t}=10\text{ cm zone courante}\right\}$

La section minimale des armatures transversales :

$$A_{t min} = 0.003 \times S_t \times b = 0.003 \times 10 \times 30 = 0.9 \text{ cm}^2$$

 $A_t = 4T8 = 2.01$ cm² (un cadre et un étrier).

* Recouvrement des armatures longitudinales :

D'après l'RPA99V2003 la longueur minimale de recouvrement dans la zone IIa est de 40\psi poutre longitudinale : 40\psi.

$$L_r = 40 \times \emptyset_l = 40 \times 1,2 = 48 \text{ cm} \Rightarrow \text{On adopte} : L_r = 50 \text{ cm}.$$

Tableau V. 10: Les ferraillage des poutres.

| Section | Λ | Δ. | Λ | A _{max RPA} cm ² | | Λ |
|-----------------|---|---------------------------------------|--|--------------------------------------|---------------|-------------------------------------|
| cm ² | A _{min RPA} cm ² | A _{appui} cm ² | A _{travée} cm ² | Zone | Zone de | A _{max} cm ² |
| CIII | CIII | CIII | CIII | courante | recouvertment | CIII |
| 30×40 | 9.57 | 9.46 | 6 | 48 | 72 | 9.57 |
| 30×35 | 10.30 | 9.60 | 5.25 | 42 | 63 | 10.30 |

! Choix des barres :

Poutre (30×40) 6T12+3T14 = 11.41 cm²

Poutre (30×35) 6T12+3T14 = 11.41 cm²

V. 3. 3. Vérifications :

V. 3. 3. 1. Poutres principales :

a. Vérification des contraintes tangentielles :

La vérification à faire vis-à-vis de la contrainte tangentielle maximale est celle relative à la fissuration peu nuisible suivante :

eu nuisible survante :
$$\tau u = \frac{Tu}{b \cdot d} \implies \tau u = \frac{182.41}{300 \times 360} = 1.68 \text{ MPa}$$

$$\bar{\tau}_u = \min\left(\frac{0.2 \text{ fc28}}{\gamma_b} \text{ ; 5MPa}\right) (\text{F. P. P}) \implies \bar{\tau}_u = 3.33 \text{ MPa}$$

$$\tau_u = 1.55 \text{ MPa} \le \bar{\tau}_u = 3.33 \text{ MPa}$$

Pas de risque de cisaillement.

b. Vérification à l'ELS:

A l'état limite d'ouvertures des fissures : Aucune vérification à faire car la fissuration est peu préjudiciable.

A l'état limite de compression du béton : La fissuration est peu préjudiciable donc la vérification de la contrainte de compression du béton est nécessaire.

$$\sigma_{b} = \frac{M_{ser}}{I}y \le \overline{\sigma}_{bc} = 0.6f_{c28} = 15MPa$$

• Détermination de la valeur de « y » :

$$\frac{b}{2}y^2 + nA_s'(d - c')^2 + nA_s(d - y)^2 = 0$$

Avec: n = 15

• Déterminer le moment d'inertie « I » :

$$I = \frac{b}{3}y^3 + nA'_s(d - c')^2 + nA_s(d - y)^2$$

Les résultats trouvés en travée et sur appui sont regroupés dans le tableau suivant :

Tableau V. 11: Vérification des contraintes (PP) à l'ELS.

| | M _{ser} (KN. m) | A_s (cm ²) | y (cm) | I (cm ⁴) | σ _b (MPa) | $\sigma_{bc} \leq \overline{\sigma}_{bc}$ |
|--------|--------------------------|--------------------------|--------|----------------------|----------------------|---|
| Travée | 36.90 | 10.65 | 32.72 | 422078.41 | 2.86 | CV |
| Appuis | 70 | 10.65 | 32.72 | 422078.41 | 5.42 | CV |

c. Vérification de la compression du béton :

Les résultats sont regroupés dans les tableaux suivants :

Tableau V. 12: Vérification de la compression du béton.

| Section | T _{max} (KN) | $0.4 \times b \times a \times \frac{f_{c28}}{\gamma_b}$ | Condition |
|---------------------|-----------------------|---|-----------|
| $PP (30 \times 40)$ | 182.41 | 8000 | CV |

d. Vérification de la flèche : (CBA article B.6.5.1) [2]

La vérification de la flèche n'est pas nécessaire si les conditions suivantes sont vérifiées :

Avec : h = 0.4 m et l = 4.40 m.

 $A_{st t} = 10.65 \text{ cm}^2$

$$\begin{cases} \frac{h}{l} \ge \frac{1}{16} & 0.147 > 0.062 \dots CV. \\ \frac{h}{l} \ge \frac{1}{10} \times \frac{M_{SER}}{M_0} & 0.147 > 0.033. \dots CV. \\ \frac{A_{s \ app}}{b \times d} \le \frac{4.2}{f_e} & 0.00986 < 0.0105. \dots CV. \end{cases}$$

Donc : Pas de risque de flèche.

V. 3. 3. 2. Poutre secondaire :

a. Vérification des contraintes tangentielles :

La vérification à faire vis-à-vis de la contrainte tangentielle maximale est celle relative à la fissuration peu nuisible suivante :

$$\tau_{\rm u} = \frac{T_{\rm u}}{\rm b \cdot d} \implies \tau_{\rm u} = \frac{248.64}{300 \times 315} = 2.63 \text{MPa}$$

$$\bar{\tau}_{\rm u} = \min\left(\frac{0.2 \text{ fc28}}{\gamma_{\rm b}} \text{ ; 5MPa}\right) \implies \bar{\tau}_{\rm u} = 3.33 \text{MPa}$$

$$\tau_{\rm u} = 2.63 \text{ MPa} \leq \bar{\tau}_{\rm u} = 3.33 \text{MPa}$$

Donc : Pas de risque de cisaillement.

b. Vérification à l'ELS:

Les résultats trouvés en travée et sur appui sont regroupés dans le tableau suivant :

Tableau V. 13: Vérification des contraintes (PS) à l'ELS.

| | M _{ser} (KN. m) | A_s (cm ²) | y (cm) | I (cm ⁴) | σ_{bc} (MPa) | $\sigma_{bc} \leq \overline{\sigma}_{bc}$ |
|--------|--------------------------|--------------------------|--------|----------------------|---------------------|---|
| Travée | 24.52 | 10.65 | 33.8 | 405084.5 | 2.04 | CV |
| Appuis | 42.45 | 10.65 | 33.8 | 405084.5 | 3.54 | CV |

c. Vérification de la flèche : (CBA article B.6.5.1) [2]

La vérification de la flèche n'est pas nécessaire si les conditions suivantes sont vérifiées :

Avec: h = 0.35 m et l = 4.85 m.

 $A_{st t} = 10.65 \text{ cm}^2$

$$\begin{cases} \frac{h}{l} \geq \frac{1}{16} & 0.072 > 0.062 \dots CV. \\ \frac{h}{l} \geq \frac{1}{10} \times \frac{M_{SER}}{M_0} & 0.147 > 0.0026 \dots CV. \\ \frac{A_{s \, app}}{b \times d} \leq \frac{4.2}{f_e} & 0.0011 < 0.0105 \dots CV. \end{cases}$$

Donc : Pas de risque de flèche.

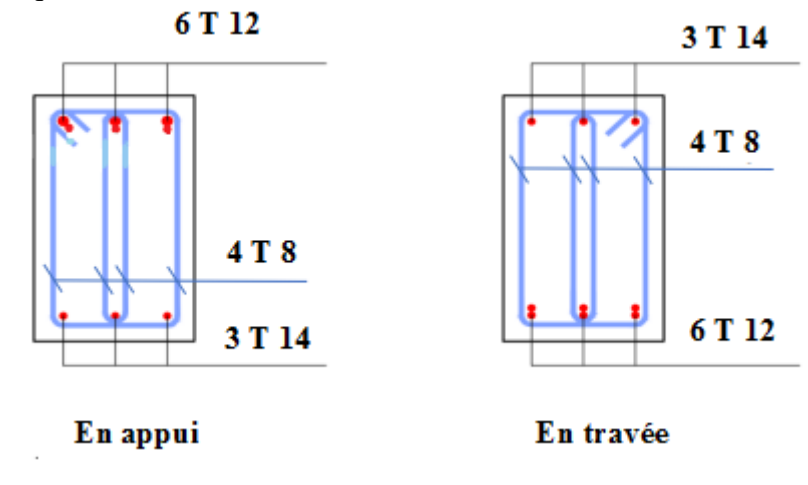


Figure V. 3: Ferraillage des poutres principales.

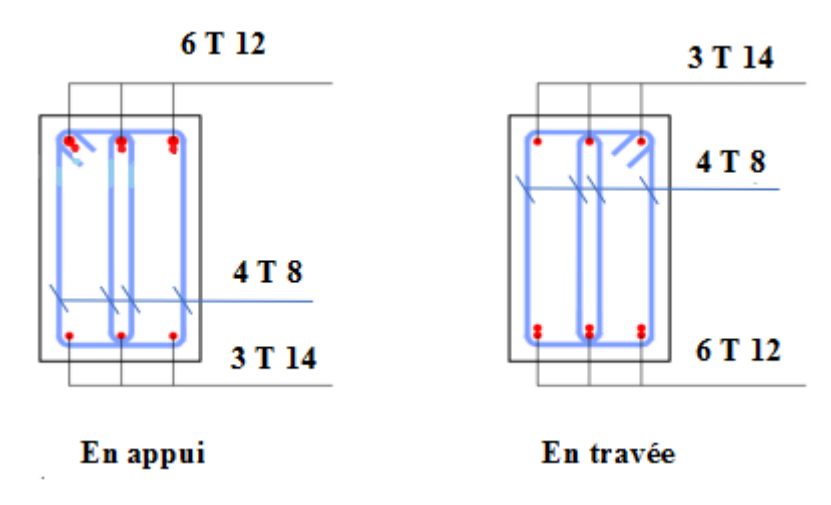


Figure V. 4: Ferraillage des poutres secondaires.

V. 4. Les voiles :

V. 4. 1. Introduction:

Le ferraillage des voiles s'effectuera selon le règlement BAEL91 et les vérifications selon le règlement parasismique Algérien RPA 99/version 2003. Sous l'action des forces horizontales (séisme, vents) ainsi que les forces due aux charges verticales, le voile est sollicité à la flexion composée avec effort tranchant.

Les sollicitations engendrées dans le voile sont :

• Moment fléchissant et effort tranchant provoqués par l'action du séisme.

• Effort normal dû à la combinaison des charges permanentes, d'exploitations et la charge sismique.

Le ferraillage des voiles comprendra essentiellement :

- Des aciers verticaux.
- Des aciers horizontaux.

a. Aciers verticaux:

La disposition du ferraillage vertical se fera de telle sorte qu'il reprendra les contraintes de flexion composée en tenant compte des prescriptions imposées par le RPA99/version 2003 :

- L'effort de traction engendré dans une partie du voile doit être repris en totalité par les armatures dont le pourcentage minimal est de 0.20% de la section horizontale du béton tendu.
 - Les barres verticales des zones extrêmes devraient être ligaturées avec des cadres horizontaux dont l'espacement ne doit pas être supérieur à l'épaisseur du voile.
- Si des efforts importants de compression agissent sur l'extrémité, les barres verticales doivent respecter les conditions imposées aux poteaux.
- Les barres verticales du dernier niveau doivent être munies de crochets à la partie supérieure. Toutes les autres barres n'ont pas de crochets (jonction par recouvrement).
- A chaque extrémité du voile l'espacement des barres doit être réduit de moitié sur (1/10) de la largeur du voile, cet espacement doit être au plus égal à 15cm. [3]

Aciers horizontaux :

- Les aciers horizontaux seront disposés perpendiculairement aux faces du voile.
- Elles doivent être munies de crochets à (90°) ayant une longueur de 10Φ .
- Dans le cas où il existe des talons de rigidité, les barres horizontales devront être ancrées sans crochets si les dimensions des talons permettent la réalisation d'un ancrage droit. [3]

b. Règles communes :

- a) L'espacement des barres horizontales et verticales doivent être inférieur à la plus petite des deux valeurs suivantes :
- $S \le 15e$ (e : épaisseur du voile).
- S < 30 cm.
- b) Les deux nappes d'armatures doivent être reliées au moins par quatre épingles au m², dans chaque nappe, les barres horizontales doivent être disposées vers l'extérieur.
- c) Le diamètre des barres verticales et horizontales du voile (à l'exception des zones d'about) ne devrait pas dépasser 1/10 de l'épaisseur du voile.
- d) Les longueurs de recouvrement doivent être égale à :
- 40Φ : pour les barres situées dans les zones ou le renversement du signe des efforts est possible.
- 20Φ : pour les barres situées dans les zones comprimées sous l'action de toutes les combinaisons possibles de charges. [3]

V. 4. 2. Les combinaisons de calcul:

Les combinaisons d'actions sismiques et d'actions dues aux charges verticales à prendre sont données ci-dessous :

Selon le BAEL 91:

- 1.35 G+1.5Q (ELU)
- G+Q (ELS)

Selon le RPA version 2003:

- G+Q±E
- 0.8G±E

Nous utilisons les combinaisons du RPA99 pour déterminer les efforts de traction dans les voiles.

Ce ferraillage se fera en fissuration peu nuisible sous les sollicitations obtenues par **ROBOT.**

V. 4. 3. Etude de la section soumise à la flexion composée :

On détermine les contraintes par la formule de NAVIER -BERNOULLI:

$$\sigma_{a.b} = \frac{N}{S} \pm \frac{M}{I} y$$

Avec:

N : effort normal agissant sur le refond considéré.

M : moment de flexion agissant sur le refond considéré.

I : moment d'inertie du refond considéré.

y : centre de gravité de la section du voile dans le sens du plan moyen.

Si σ_a et σ_b : sont des signes négatifs on aura une section entièrement tendue (SET).

Si σ_a et σ_b : sont des signes positifs on aura une section entièrement comprimée (SEC).

Si σ_a et σ_b : sont des signes contraires on aura une section partiellement comprimée (SPC).

V. 4. 4. Disposition des voiles :

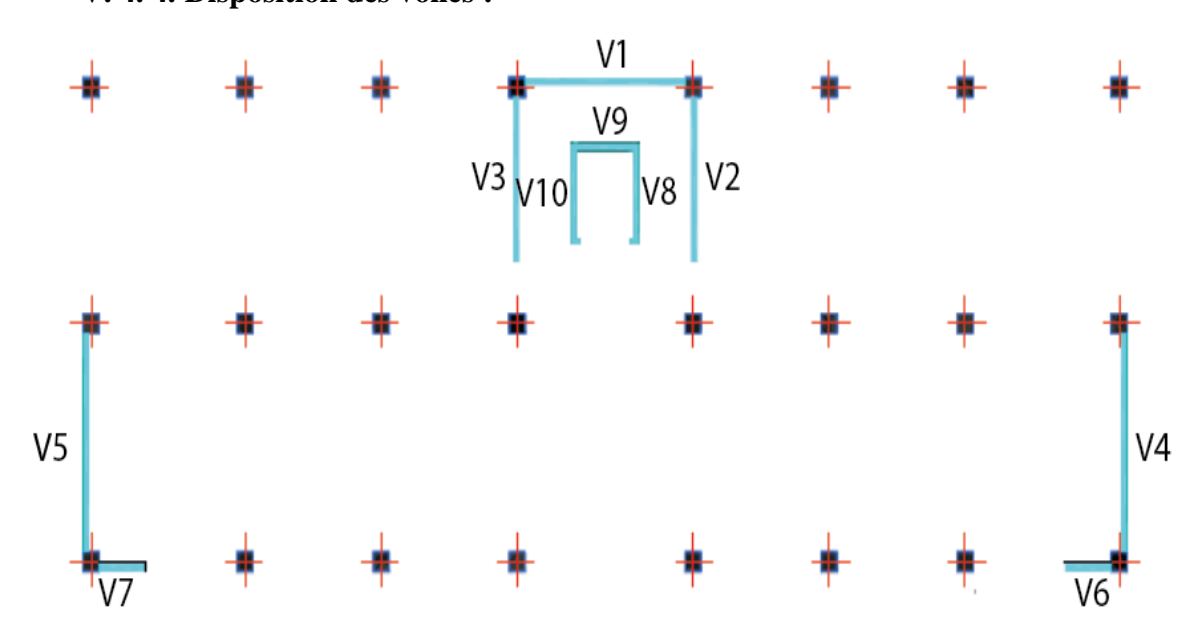


Figure V. 5: Schéma de disposition des voiles.

A partire de (ROBOT):

| VOILE | N (KN) | M (KN.M) | T (KN) |
|----------------|---------|----------|---------|
| Voile 1 (x-x) | 1373.43 | 3391.91 | 1329.12 |
| Voile 2 (y-y) | 1563.94 | 1310.37 | 486.90 |
| Voile 3 (y-y) | 2260.64 | 1491.91 | 456.23 |
| Voile 4 (y-y) | 252.44 | 3192.4 | 816.33 |
| Voile 5 (y-y) | 807.561 | 2517.58 | 619.50 |
| Voile 6 (x-x) | 1226.35 | 366.28 | 527.08 |
| Voile 7 (x-x) | 892.18 | 363.76 | 491.47 |
| Voile 8 (y-y) | 442.04 | 304.96 | 217.86 |
| Voile 9 (x-x) | 177.73 | 240.65 | 519.02 |
| Voile 10 (y-y) | 780.57 | 285.54 | 424.14 |

Tableau V. 14: Résume les résultats de Sollicitations.

V. 4. 5. Le ferraillage des voiles :

(L = 4 m; H = 4.08 m; e = 0.2 m)

On utilise ra la méthode des contraintes :

Remarque:

Nous adopterons une même section d'armatures horizontales pour tous les voiles et à tous les niveaux. Ceci facilitera l'exécution de ces derniers.

$$I = \frac{b \times h^3}{12} = \frac{0.2 \times 4}{12} = 1.066 \text{ m}^4$$

$$S = b \times h = 0.2 \times 4 = 0.8 \text{ m}^2$$

$$y = \frac{L}{2} = \frac{4}{2} = 2 \text{ m}.$$

V. 4. 5. 1. Armatures verticales :

$$\begin{split} \sigma_1 &= \frac{\text{N}}{\text{S}} + \frac{\text{M}}{\text{I}} Y = \frac{1373.43}{0.8} + \frac{3391.91}{1.067} \times 2 = 8074.63 \text{KN/m}^2. \\ \sigma_2 &= \frac{\text{N}}{\text{S}} - \frac{\text{M}}{\text{I}} Y = \frac{1373.43}{0.8} + \frac{3391.91}{1.067} \times 2 = -4641.056 \text{ Kn/m}^2. \end{split}$$

 $\sigma_2 = -4641.056 \, KN/m^2$ d L_t $L = 4 \, m$ $\sigma_2 = -4641.056 \, KN/m^2$

Figure V. 6: Schéma de distribution des contraintes (Voile longitudinale).

Calcul de L':

$$\begin{split} L_t = L \times \frac{\sigma_2}{\sigma_2 + \sigma_1} &= \; \frac{4641.056}{4641.056 + 8074.63} = 1.46 \; m. \\ L' = L - L_t &= 4 - 1.46 = 2.54 \; m. \\ d &\leq \min(h_e/2 \; ; \; (2/3) \times L') \\ d &\leq \min(4.08/2 \; ; \; (2/3) \times 2.54) = 1.69 \; m. \end{split}$$

 $d>L_t$ donc d dans la zone comprimée alors $\,\sigma_2'=0 (d=L_t)\,$ Alors:

$$I' = \frac{b \times h^3}{12} \Rightarrow I' = \frac{0.2 \times 1.46^3}{12} = 0.051 \text{ m}^4$$

$$S' = b \times h \Rightarrow S = 1.46 \times 0.2 \Rightarrow S' = 0.292 \text{ m}^2$$

$$y' = \frac{1}{2} = \frac{1.46}{2} = 0.73 \text{ m}$$

Donc:

$$N_1 = (S'/2) \times (\sigma_2 + \sigma_2') \implies N_1 = -677.586 \text{ KN}$$

 $M_1 = (I'/2y') \times (\sigma_2' - \sigma_2) \implies M_1 = 161.175 \text{ KN.m}$

$$e_0 = \frac{M_1}{N_1} = \frac{161.175}{-677.586} = -0.237 \text{ m} < d/6 \text{ et N est un effort de traction} \Rightarrow \text{S.E.T (section}$$

entièrement tendue).

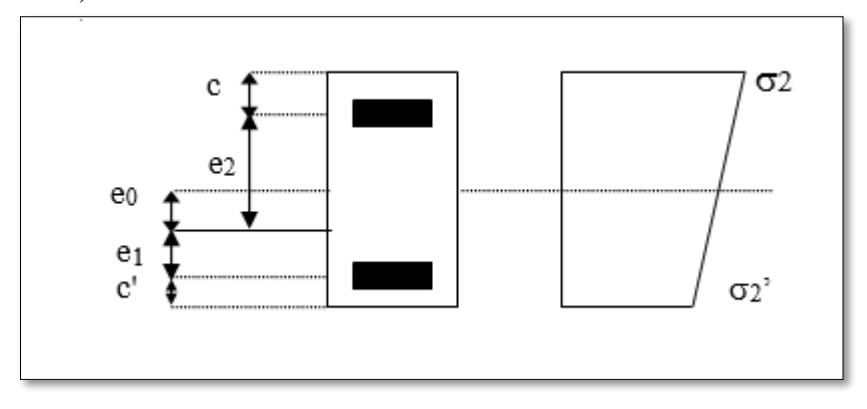


Figure V. 7: Schéma de disposition des excentricités.

Soit :
$$c = 5 \text{ cm}$$
, $c' = 10 \text{ cm}$.

$$\begin{split} e_1 &= \frac{d}{2} - e_0 - c = 0.407 \text{ m.} \\ e_2 &= \frac{d}{2} + e_0 - c' = 0.867 \text{ m.} \\ A_s &= \frac{N_{1 \times} e_1}{(e_{1+} e_2) f_e} = \frac{677.586 \times 867 \times 10^3}{(407 + 867) \times 400} = 11.52 \text{ cm}^2 \\ A_s' &= \frac{N_{1 \times} e_1}{(e_{1+} e_2) f_e} = \frac{677.586 \times 407 \times 10^3}{(407 + 867) \times 400} = 4.41 \text{cm}^2 \\ A_{s \text{ cal}} &= A_s + A_s' = \frac{N_1}{f_o} = 15.93 \text{ cm}^2. \end{split}$$

$$A_s/ml/face = 15.93/(2 \times 1.46) = 5.45 \text{ cm}^2$$
.

a. Armatures minimales de RPA 99:

D'après le RPA 99 (Art 7.7.4.1):

$$A_{RPA} = 0.20\% \times e \times L_t$$
 [3]

e : épaisseur du voile

L_t: longueur de la section tendue

$$A_{RPA} = 0.20\% \times 20 \times 146 = 5.84 \text{ cm}^2.$$

 $A_{RPA}/\text{ml/face} = 5.84/(2 \times 1.46) = 2 \text{ cm}^2.$

b. Le pourcentage minimal: [3]

$$A_{\min} = 0.15\% \times e \times 1 = 0.15\% \times 20 \times 4 = 12 \text{ cm}^2.$$

 $A_{\min}/\text{ml/face} = 12/(2 \times 4) = 1.5 \text{ cm}^2.$

Donc:

$$A_s = max(A_{s cal}; A_{min}; A_{RPA}) = 5.45 cm^2.$$

Le ferraillage sera fait pour la moitié de voile à cause de la symétrie :

$$A_s = 2 \times 5.45 \times (4/2) = 21.8 \text{ cm}^2$$
.

c. Acier de couture : [3]

$$\begin{split} A_{vj} &= 1.1 \, \frac{\overline{V}}{fe} \, \ ; \, \overline{V} = 1.4 \times V \\ \overline{V} &= 1.4 \times 1329.12 = 1860.768 \, \, KN \\ A_{vj} &= 1.1 \times \frac{1860.768 \times 10^3}{400} = 51.17 \, \, cm^2 \\ A_{vj} &= 10.52 \times \frac{L_t}{L} = 18.67 \, \, cm^2 \\ A_s &= 21.8 + 18.67 = 40.70 \, \, cm^2 \end{split}$$

d. L'espacement :

En zone courante : $S_t \le \min (1.5e, 30)$

Soit: $S_t \le 24$ cm

On adopte: $S_t = 18$ cm

En zone d'about : $S_{ta} = S_t/2 = 9$ cm

e. En zone d'about :

La longueur de zone courant : $(L/10)\times 2=80 \text{ cm} \Rightarrow 400-80=120 \text{ cm}$

L'espacement entre les barres est 18 cm donc nombres des barres est 320/18 =17.77

On adopte :18 barres

Alors: On adopte: $18T12 (A_s = 20.36 \text{ cm}^2)$

f. Les armateurs de répartition : [1]

$$A_r = \frac{As}{4} = 9.01 \text{ cm}^2$$

On adopte : $12\emptyset10$ (A_s = 9.42 cm²)

V. 4. 5. 2. Ferraillage horizontal:

a. Vérification des voiles à l'effort tranchant :

La vérification de la résistance des voiles au cisaillement se fait avec la valeur de l'effort tranchant trouvé à la base du voile majoré de 40% (Art 7.2.2 RPA 99).

Il faut vérifier la condition suivante : $\tau_u < \overline{\tau}_u$ [4]

b. La contrainte de cisaillement est :

$$\tau_u = \frac{1.4 \times T}{b \times d}$$

Avec:

T: l'effort tranchant à la base du voile.

b : épaisseur de voile.

d: hauteur utile.

h : hauteur totale de la section brute.

$$\tau_u = \frac{1.4 \times T}{b \times d} \Rightarrow \tau_u = \frac{1.4 \times 1329.12 \times 10^3}{200 \times 3600} = 2.58 \text{ MPa}$$

c. La contrainte limite est :

$$\overline{\tau}_{11} = 0.2 \text{ f}_{c28} = 5 \text{ MPa}$$

Donc:

$$\tau_{\rm u} < \overline{\tau}_{\rm u} \Rightarrow 2.58 \, \text{MPa} < 5 \, \text{MPa} \dots \, \text{CV}$$

d. Calcul de l'armature horizontale résistante à l'effort tranchant :

La section At des armatures d'âmes est donnée par la relation suivante :

$$\frac{A_t}{B_0 S_t} \ge \frac{\tau_u - 0.3 f_{tj} k}{0.8 f_e}$$
 [4]

K = 0 en cas de fissuration jugé très préjudiciable ; en cas de reprise de bétonnage non munie d'indentation dans la surface de reprise.

K=1 en flexion simple, sans reprise de bétonnage.

 $K=1+3\sigma_{cm}/f_{c28}$ en flexion composée avec N, effort de compression.

 $K=1-10\sigma_{tm}/f_{c28}$ en flexion composée avec N, effort de traction.

 σ_{tm} , σ_{cm} : étant la contrainte moyenne de traction et de compression obtenus en divisant l'effort normal de calcul par la section du béton.

Donc : Dans notre cas, on n'a pas de reprise de bétonnage.

Alors : on prend K = 0.

$$\frac{A_t}{B_0 S_t} \ge \frac{\tau_u}{0.8 f_e} [4]$$

D'autre part le RPA 99 prévoit un pourcentage minimum de ferraillage qui est de l'ordre de :

0.15% de la section du voile considérée si : $\tau_u \le 0.025 f_{c28}$.

0.25% de la section du voile considérée si : $\tau_u > 0.025 f_{c28}$

\L'espacement:

$$S_t \le \min(1.5e, 30)$$

Soit : $S_t \le 24$ cm

On adopte : $S_t = 18$ cm

$$A_t = \frac{b \times \tau_u \times St}{0.8 \times fe}$$
 [3]

$$\begin{split} A_t &= \frac{200 \times 2.58 \times 180}{0.8 \times 400} = 290.25 \ \textit{mm}^2 \\ A_t &= 2.90 \ \textit{cm}^2 \\ A_{t \, min} \ (RPA) = &0.15\% \times e \times 400 = 12 \ \textit{cm}^2 \end{split}$$

On adopte : $16T10 = 12.56 \text{ cm}^2$

V. 4. 6. Schéma de Ferraillage :

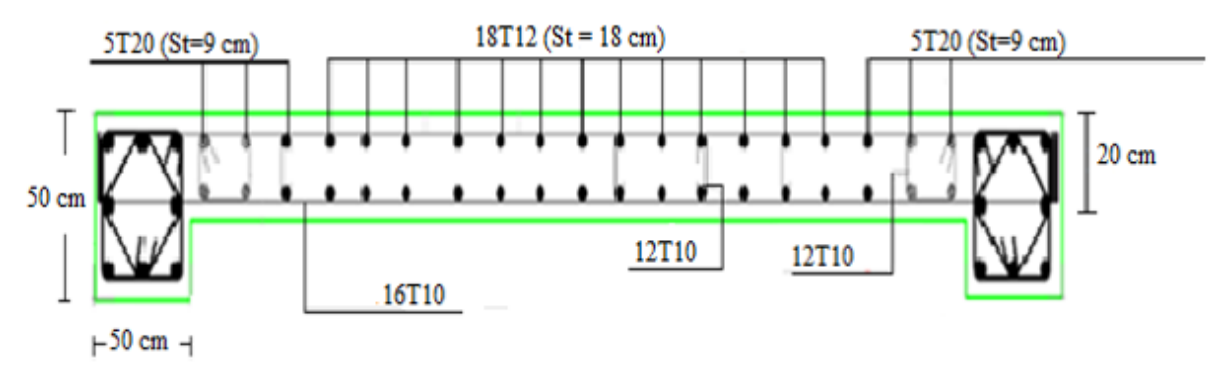


Figure V. 8: Schéma de ferraillage de Voile 1.

V. 4. 7. Résultat de ferraillage des villes :

a. Sens x-x:

Tableau V. 15: Ferraillage voile 6.

| Voile | Résultat |
|---------------------------------------|-------------|
| L (m) | 1.1 |
| B (m) | 0.2 |
| I (m ⁴) | 0.02218333 |
| S (m²) | 0.22 |
| Y(m) | 0.55 |
| M (KN. m) | 366.28 |
| N (KN) | 1226.35 |
| $\sigma_2 (KN/m^2)$ | -3507.00413 |
| σ ₁ (KN/m²) | 14655.6405 |
| L _t (m) | 0.21239773 |
| T (KN) | 527.08 |
| A _{S cal} (cm ²) | 15.15355 |
| A _{S rpa} (cm²) | 0.84959093 |
| A _{min} (cm ²) | 3.3 |
| $A_{V \max}$ (cm ²) | 15.15355 |
| Barre courant | 15T12 |
| Barre about | 4T25 |
| St courant (cm) | 6 |
| S _{t about} (cm) | 3 |
| A _{S rpa} (cm²) | 2.4 |
| Barre horizontal | 16T10 |

Tableau V. 16: Ferraillage voile 7.

| Voile | Résultat |
|---------------------------------------|-------------|
| L (m) | 1.1 |
| B (m) | 0.2 |
| I (m ⁴) | 0.02218333 |
| S (m²) | 0.22 |
| Y(m) | 0.55 |
| M (KN. m) | 363.76 |
| N (KN) | 892.18 |
| $\sigma_2 (KN/m^2)$ | -4963.47934 |
| $\sigma_1 (KN/m^2)$ | 13074.2066 |
| L _t (m) | 0.30269001 |
| T (KN) | 491.47 |
| A _{S cal} (cm ²) | 14.1297625 |
| A _{S rpa} (cm ²) | 1.21076002 |
| A _{min} (cm ²) | 3.3 |
| $A_{V \max}$ (cm ²) | 14.1297625 |
| Barre courant | 15T12 |
| Barre about | 4T25 |
| St courant (cm) | 6 |
| St about (cm) | 3 |
| A _{S rpa} (cm²) | 2.4 |
| Barre horizontal | 16T10 |

Tableau V. 17: Ferraillage voile 9.

| Voile | Résultat |
|--------------------------------|-------------|
| L (m) | 1.7 |
| B (m) | 0.15 |
| I (m ⁴) | 0.0614125 |
| S (m²) | 0.255 |
| Y(m) | 0.85 |
| M (KN. m) | 240.65 |
| N (KN) | 177.73 |
| $\sigma_2 (KN/m^2)$ | -2633.81546 |
| $\sigma_1 (KN/m^2)$ | 4027.77624 |
| $L_{t}\left(\mathbf{m}\right)$ | 0.6721346 |
| T (KN) | 519.02 |
| $A_{S cal}$ (cm ²) | 14.921825 |
| A_{Srpa} (cm ²) | 2.0164038 |
| A_{min} (cm ²) | 3.825 |
| $A_{V max}$ (cm ²) | 14.921825 |
| Barre courant | 14T12 |
| Barre about | 4T25 |
| St courant (cm) | 10 |
| S _{t about} (cm) | 5 |
| A_{Srpa} (cm ²) | 3.82 |
| Barre horizontal | 16T10 |

b. Sens y-y:

Tableau V. 18: Ferraillage voile 2.

| Voile | Résultat |
|-------------------------------------|------------|
| L (m) | 3.3 |
| B (m) | 0.15 |
| I (m ⁴) | 0.4492125 |
| S (m²) | 0.495 |
| Y(m) | 1.65 |
| M (KN. m) | 1310.37 |
| N (KN) | 1563.94 |
| $\sigma_2 (KN/m^2)$ | 1310.37 |
| $\sigma_1 (KN/m^2)$ | 7972.5877 |
| L _t (m) | -0.6490663 |
| T (KN) | 486.9 |
| $A_{S cal}(cm^2)$ | 13.998375 |
| A _{S rpa} (cm²) | -1.9471989 |
| A _{min} (cm ²) | 7.425 |
| $A_{V \max}$ (cm ²) | 13.998375 |
| Barre courant | 18T12 |
| Barre about | 5T20 |
| St courant (cm) | 15 |
| S _{t about} (cm) | 7.5 |
| A _{S rpa} (cm²) | 7.98 |
| Barre horizontal | 16T10 |

Tableau V. 19: Ferraillage voile 3.

| Voile | Résultat |
|---------------------------------|-------------|
| L (m) | 3.3 |
| B (m) | 0.15 |
| I (m ⁴) | 0.4492125 |
| S (m²) | 0.495 |
| Y(m) | 1.65 |
| M (KN. m) | 1491.91 |
| N (KN) | 2260.64 |
| $\sigma_2 (KN/m^2)$ | 1310.37 |
| $\sigma_1 (KN/m^2)$ | 10046.876 |
| $L_{t}(m)$ | -0.49496 |
| T (KN) | 456.23 |
| A _{S cal} (cm²) | 13.1166125 |
| A _{S rpa} (cm²) | -1.48487999 |
| A _{min} (cm²) | 7.425 |
| $A_{V \max}$ (cm ²) | 13.1166125 |
| Barre courant | 18T12 |
| Barre about | 5T20 |
| St courant (cm) | 15 |
| S _{t about} (cm) | 7.5 |
| A _{S rpa} (cm²) | 7.98 |
| Barre horizontal | 16T10 |

Tableau V. 20: Ferraillage voile 4.

| Voile | Résultat |
|---------------------------------------|--------------|
| L (m) | 4,35 |
| B (m) | 0,15 |
| $I(m^4)$ | 1,02891094 |
| S (m²) | 0,6525 |
| Y(m) | 2,175 |
| M (KN. m) | 3192,4 |
| N (KN) | 252,44 |
| $\sigma_2 (KN/m^2)$ | 1310,37 |
| $\sigma_1 (KN/m^2)$ | 7135,24957 |
| $L_{t}(m)$ | -0,9785798 |
| T (KN) | 816,33 |
| A _{S cal} (cm²) | 23,4694875 |
| A _{S rpa} (cm²) | -2,93573941 |
| A _{min} (cm ²) | 9,7875 |
| $A_{V \max}$ (cm ²) | 23,4694875 |
| Barre courant | 14 T12+14T14 |
| Barre about | 5T25 |
| St courant (cm) | 15 |
| S _{t about} (cm) | 7,5 |
| A _{S rpa} (cm ²) | 9.78 |
| Barre horizontal | 16T10 |

Tableau V. 21: Ferraillage voile 5.

| Voile | Résultat |
|-------------------------------------|-------------|
| L (m) | 4,35 |
| B (m) | 0,15 |
| $I(m^4)$ | 1,02891094 |
| S (m ²) | 0,6525 |
| Y(m) | 2,175 |
| M (KN. m) | 2517,58 |
| N (KN) | 807,561 |
| $\sigma_2 (KN/m^2)$ | -4084,23469 |
| $\sigma_1 (KN/m^2)$ | 6559,51745 |
| $L_{t}(m)$ | 1,66918777 |
| T (KN) | 619,5 |
| A _{S cal} (cm²) | 17,810625 |
| A _{S rpa} (cm²) | 5,00756331 |
| A _{min} (cm ²) | 9,7875 |
| $A_{V \max}$ (cm ²) | 17,810625 |
| Barre courant | 14T12+10T14 |
| Barre about | 6T20 |
| St courant (cm) | 15 |
| St about (cm) | 7,5 |
| A _{S rpa} (cm²) | 9.78 |
| Barre horizontal | 16T10 |

Tableau V. 22: Ferraillage voile 8.

| Voile | Résultat |
|---------------------------------------|-------------|
| L (m) | 1,8 |
| B (m) | 0,15 |
| I (m ⁴) | 0,0729 |
| S (m ²) | 0,27 |
| Y(m) | 0,9 |
| M (KN. m) | 304,96 |
| N (KN) | 442,04 |
| $\sigma_2 (KN/m^2)$ | -2127,75309 |
| $\sigma_1 (KN/m^2)$ | 5402,12346 |
| L _t (m) | 0,50863458 |
| T (KN) | 217,86 |
| A _{S cal} (cm ²) | 6,263475 |
| A _{S rpa} (cm²) | 1,52590373 |
| A _{min} (cm²) | 4,05 |
| $A_{V \max}$ (cm ²) | 6,263475 |
| Barre courant | 15T10 |
| Barre about | 5T14 |
| St courant (cm) | 10 |
| S _{t about} (cm) | 5 |
| A _{S rpa} (cm ²) | 4.05 |
| Barre horizontal | 16T10 |

Tableau V. 23: Ferraillage voile 10.

| Voile | Résultat |
|---------------------------------------|-------------|
| L (m) | 1,8 |
| B (m) | 0,15 |
| I (m ⁴) | 0,0729 |
| S (m²) | 0,27 |
| Y(m) | 0,9 |
| M (KN. m) | 285,54 |
| N (KN) | 780,57 |
| $\sigma_2 (KN/m^2)$ | -634,185185 |
| $\sigma_1 (KN/m^2)$ | 6416,18519 |
| $L_{t}(m)$ | 0,16191112 |
| T (KN) | 424,14 |
| A _{S cal} (cm ²) | 12,194025 |
| A _{S rpa} (cm²) | 0,48573335 |
| A _{min} (cm ²) | 4,05 |
| $A_{V \max}$ (cm ²) | 12,194025 |
| Barre courant | 16T10 |
| Barre about | 5T20 |
| St courant (cm) | 10 |
| St about (cm) | 5 |
| A _{S rpa} (cm²) | 4.05 |
| Barre horizontal | 16T10 |

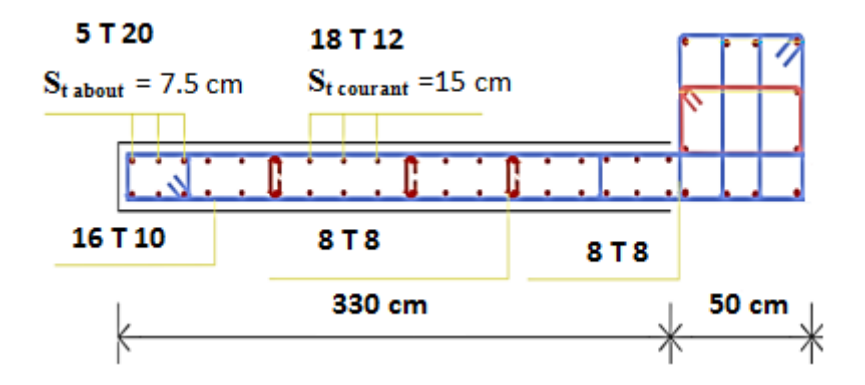


Figure V. 9: Schéma de ferraillage du voile 2 et 3.

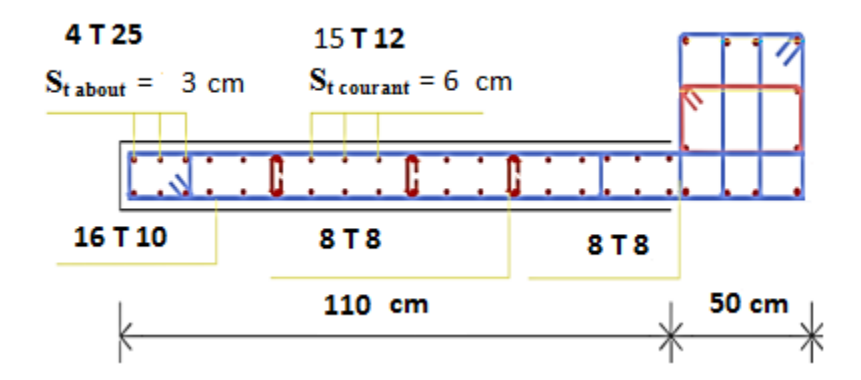


Figure V. 10: Schéma de ferraillage du voile 6 et 7.

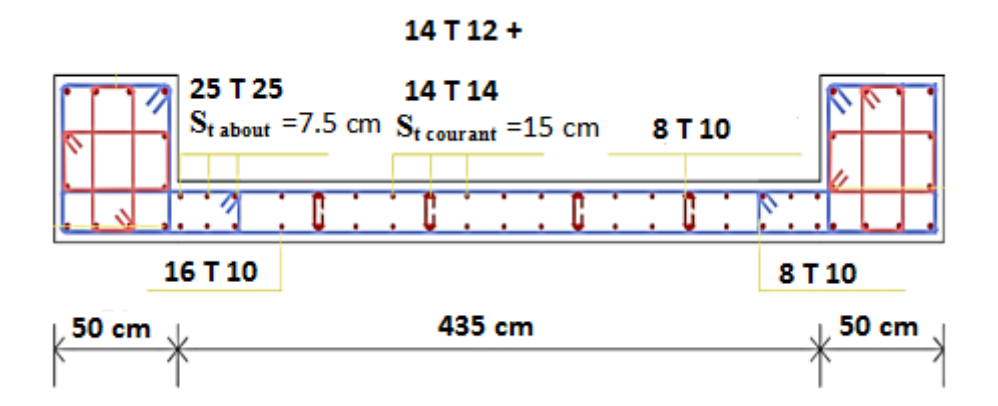


Figure V. 11: Schéma de ferraillage du voile 4.

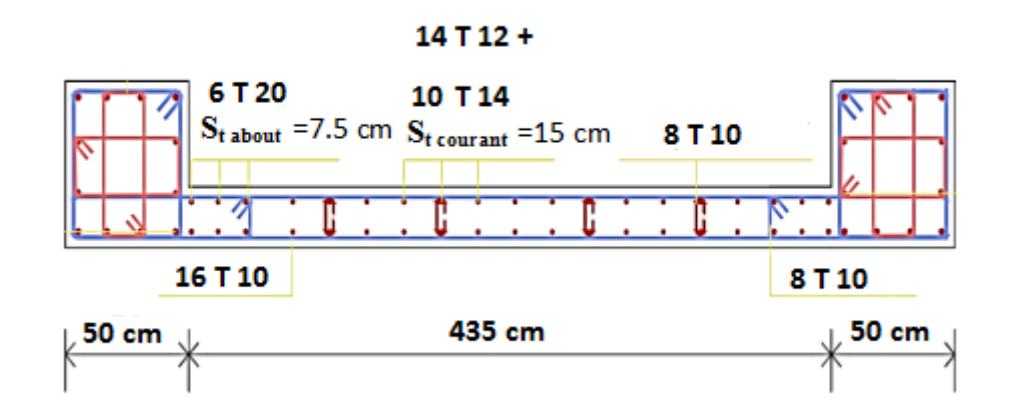


Figure V. 12: Schéma de ferraillage du voile 5.

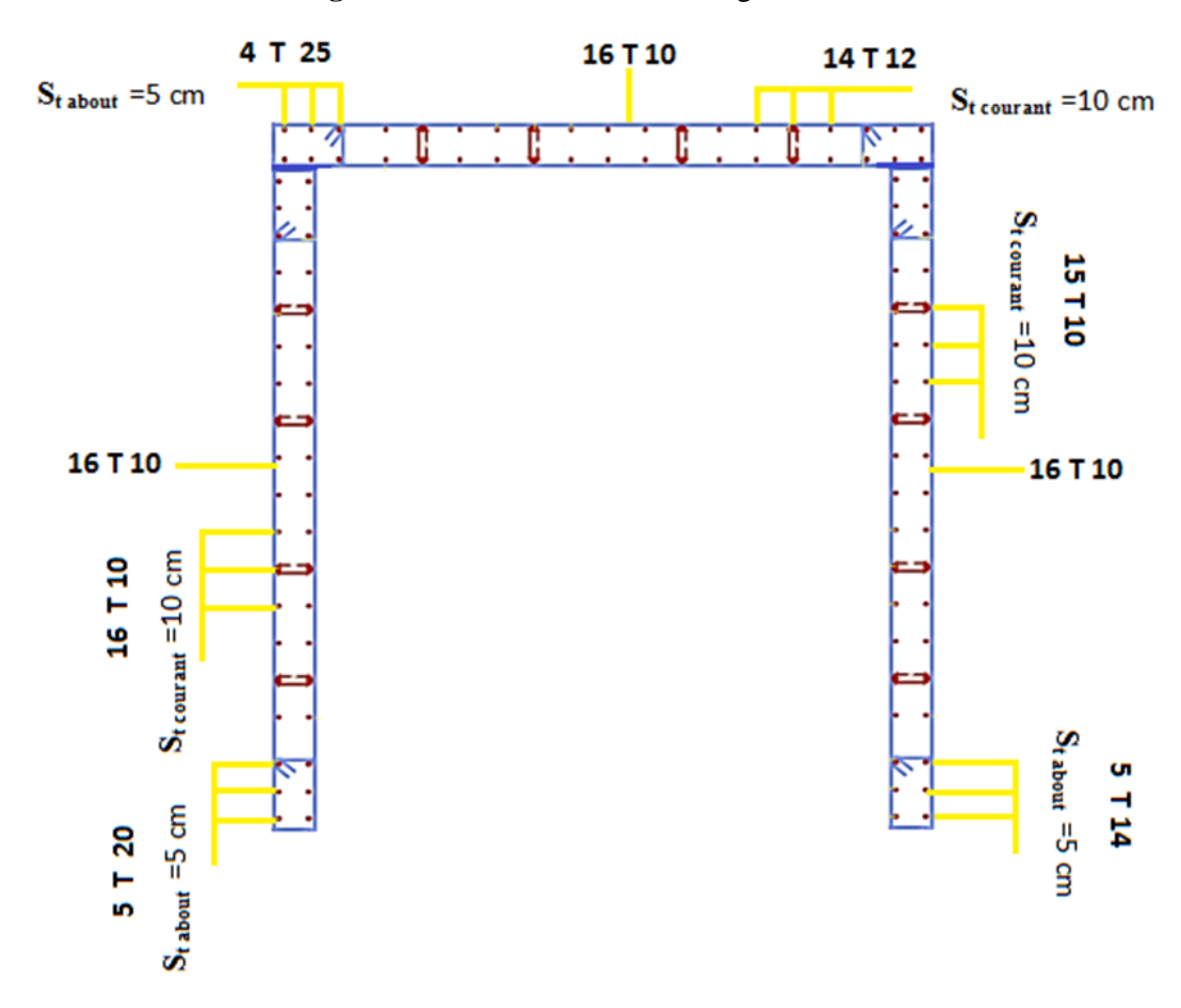


Figure V. 13: Schéma de ferraillage du voile 8, 9, 10 (Ascenseur).

VI. 1. INTRODUCTION:

Les fondations sont la partie inférieure d'un ouvrage reposant sur un terrain d'assise, leur rôle est d'assurer la transmission des charges et surcharges au sol provenant de la superstructure, cette transmission peut être directe (cas des semelles reposant sur le sol ou cas des radiers) ou être assuré par l'intermédiaire de d'autres organes (cas des semelles sur pieux)

Avant de choisir le type de la fondation qui convient mieux à supporter l'ouvrage, il est nécessaire de procéder à un calcul préliminaire à fin d'adopter une solution qui parait satisfaisante et convenable avec notre structure.

Ce choix est en fonction de plusieurs paramètres qui sont :

- Les caractéristiques du sol support.
- Type d'ouvrage à construire.
- La nature et l'homogénéité du sol.
- La capacité portante du terrain de fondation.
- La charge totale transmise au sol.
- L'aspect économique.
- La facilité de réalisation.
- La distance entre axes des poteaux.

VI. 2. CHOIX DE TYPE DE FONDATION:

D'après les caractéristiques du sol (une contrainte moyenne admissible = 2 bars), sur lequel est implanté notre ouvrage et la proximité du bon sol par rapport à la surface, nous conduit dans un premier temps à considérer les semelles isolées comme solution primaire.

D'après RPA 2003 (A.10.1.4.1), les fondations sont dimensionnées par les combinaisons d'actions suivantes :

- G + Q + E.
- 0.8 G + E.

VI. 2. 1. Vérification de la semelle isolée :

Dans ce projet, nous proposons en premier lieu des semelles isolées, pour cela, nous allons procéder à une première vérification telle que :

$$\sigma_{\text{sol}} \ge \frac{N_s}{s} \dots (1)$$

On va vérifier la semelle la plus sollicitée :

N_s: effort normal du poteau le plus sollicité donné par le logiciel ROBOT).

 $N_s = 1797.69 \text{ KN}$

S : Surface d'appuis de la semelle. $S = A \times B$

 σ_{sol} : Contrainte admissible du sol. $\sigma_{sol}=1.7$ bar .

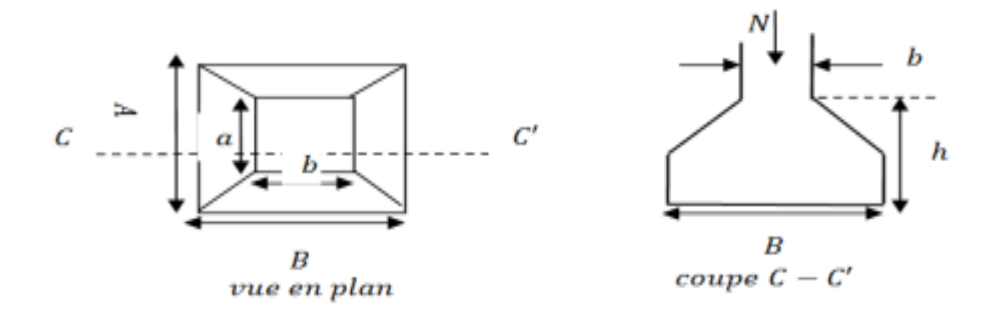


Figure VI. 1: Semelle isolée.

On a une semelle rectangulaire, donc on doit satisfaire la condition d'homothétie :

$$\frac{A}{a} = \frac{B}{b} \Rightarrow A = \frac{a}{b} B$$

a: b: dimensions du poteau à la base.

On remplace A dans l'équation (1) on trouve

$$B \ge \sqrt{\frac{b}{a} \times \frac{N_s}{\sigma_{sol}}}$$

$$B \ge \sqrt{\frac{0.5}{0.5} \times \frac{1797.69}{1.7}}$$

$$B \ge 3.25$$

L'entraxe minimal des poteaux est de 1,7 m. On remarque qu'il aura un chevauchement entre les semelles, ce qui revient à dire que ce type de semelles ne convient pas à notre cas.

VI. 2. 2. Vérification de la semelle filante :

Pour la vérification, on va choisir la semelle filante de la largeur B et de la longueur L situé sous un portique forme de 07 poteaux.

La surface totale des semelles est donnée par :

$$S \ge \frac{N}{\sigma_{sol}}$$

$$B \times L \ge \frac{N}{\sigma_{sol}}$$

$$B \ge \frac{N}{\sigma_{sol} \times L}$$

N_i: L'effort normal provenant du poteau

 $N_1 = 832.12$ Kn

 $N_2 = 1264.13$ Kn

 $N_3 = 1242.39$ Kn

 $N_4 = 1797.69 \text{ Kn}$

 $N_5 = 1783.42 \text{ Kn}$

 $N_6 = 1214.67$ Kn

 $N_7 = 1263.86 \text{ Kn}$

$$\sum_{i}^{7} N_{i} = 9398.28 \text{ KN}$$

$$B \ge \frac{9398.28}{170 \times 25.70} = 2.15 \text{ m}$$

L'entraxe minimal des poteaux est de 1.7 m, donc il y aura un chevauchement entre les semelles filantes, ce qui revient à dire que ce type de semelles ne convient pas à notre cas.

VI. 2. 3. Radier général :

Le radier général fonctionne comme un plancher renversé, soumis à la réaction du sol agissant du bas vers le haut d'une manière uniforme. Ce type de fondation présente plusieurs avantages:

- L'augmentation de la surface de la semelle (fondation) minimise la pression exercée par la structure sur le sol.
- La réduction des tassements différentiels.
- La facilité d'exécution.

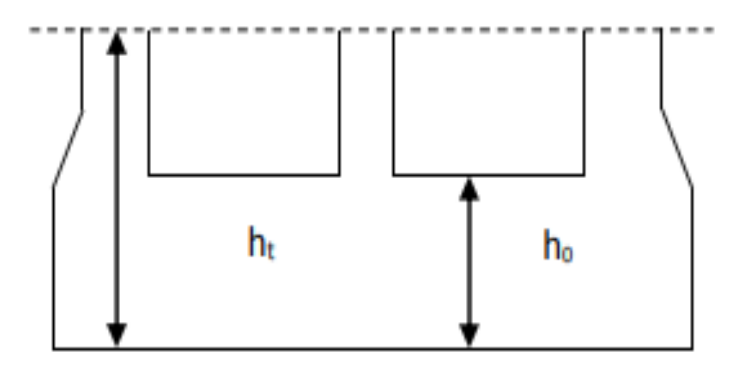


Figure VI. 2: Schéma de radier.

VI. 2. 3. 1. Caractéristiques géométriques du radier :

Le radier est considéré comme infiniment rigide, donc on doit satisfaire les conditions suivantes :

a. Condition de coffrage :

h_t: Hauteur des nervures

h₀: Hauteur de la dalle.

 L_{max} : La plus grande portée entre deux éléments porteurs successifs. ($L_{max} = 4.35 \text{ m}$)

Pour la dalle : $h_0 \ge \frac{L}{20} = \frac{435}{20} = 21.75 \text{ cm}.$

Pour la nervure : $h_0 \ge \frac{L}{20} = \frac{435}{10} = 43.5 \text{ cm}.$

b. Condition de rigidité :

Pour qu'un radier soit rigide il faut que :

$$L_{max} \leq \frac{\pi}{2} \; L_e$$

$$L_{e} \ge \sqrt[4]{\frac{4 E I}{K b}}$$

 L_e : est la longueur élastique, qui permet de déterminer la nature du radier (rigide ou flexible).

K : coefficient de raideur du sol

E: module d'élasticité du béton

b : largeur de la semelle

 $I = \frac{b h^3}{12}$. inertie de la semelle

$$h_t \geq \sqrt[3]{\frac{48 \times L_{max}^4 \times k}{\pi^4 \times E}} = \sqrt[3]{\frac{48 \times 4.30^4 \times 4 \times 10^4}{3.14 \times 3.216 \ \times 10^7}} = 70.57 \ cm$$

Donc:

$$h_t \ge 70.57 \text{ cm} \implies h_t = 75 \text{ cm}$$

$$L_e \ge \sqrt[4]{\frac{3.216 \times 10^7 \times 0.75}{12 \times 10^4}} = 6.34 \text{ m}$$

VI. 2. 3. 2. Calcul de la surface du radier :

$$S_{rad} \ge \frac{N}{\sigma_{sol}}$$

N : Effort normal total transmis par l'ouvrage. La surface du bâtiment est

N = 26741.174

S_{bat}=248m² (surface du bâtiment)

$$S_{\text{rad}} \ge \frac{26741.174}{170} = 157.30 \text{ m}^2$$

On peut prendre $S_{bat} = S_{rad} = 248m^2$

VI. 2. 3. 3. Dimension du radier On adopte les dimensions suivantes :

Hauteur de la nervure $h_t = 75$ cm.

Hauteur de la table du radier $h_0 = 25$ cm.

Enrobage d'= 5cm.

La surface du radier $S_{rad} = 248 \text{m}^2$.

VI. 3. Vérifications nécessaires :

VI. 3. 1. Vérification de la contrainte dans le sol :

$$\begin{split} \sigma_{moy} &= \frac{_{3\sigma_{max} + \sigma_{min}}}{_{4}} \leq \sigma_{sol} \\ \sigma_{max.min} &= \frac{N}{S_{rad}} + \frac{M_{x.y} \times X_G/Y_G}{I_{xx}/I_{yy}} \end{split}$$

Avec:

 $S_{rad} = 248m^2$. $\sigma_{sol} = 0.17 \text{ mpa}$

D'après l'AUTOCADE, on a les caractéristiques suivantes :

Tableau VI. 1: Caractéristiques géométrique XX.

| N | $\mathbf{L}_{\mathbf{x}}$ | X _G | M _x | I _{XX} |
|-----------|---------------------------|----------------|----------------|-----------------|
| 26741.174 | 25.7 | 12.85 | 34362.4085 | 1924.25 |

Tableau VI. 2: Caractéristiques géométrique YY.

| N | L _x | X _G | M _x | I _{XX} | |
|-----------|----------------|----------------|----------------|-----------------|--|
| 26741.174 | 9.65 | 4.825 | 12902.6164 | 13650.4 | |

a. Sens X-X:

$$\begin{split} \sigma_{max} &= \frac{N}{S_{rad}} + \frac{M_x \times Y_G}{I_{XX}} = \frac{26741.174 \times 10^{-3}}{248} + \frac{34362.4085 \times 4.82 \times 10^{-3}}{1924.25} = 0.193 \\ \sigma_{min} &= \frac{N}{S_{rad}} - \frac{M_x \times Y_G}{I_{XX}} = \frac{26741.174 \times 10^{-3}}{248} - \frac{34362.4085 \times 4.82 \times 10^{-3}}{1924.25} = 0.021 \\ \sigma_{moy} &= \frac{3\sigma_{max} + \sigma_{min}}{4} = \frac{3 \times 0.193 + 0.021}{4} = 0.15 \\ 0.15 &\leq 0.17 \dots \text{ CV}. \end{split}$$

b. Sens Y-Y

$$\begin{split} \sigma_{max} &= \frac{N}{S_{rad}} + \frac{M_y \times X_G}{I_{yy}} = \frac{26741.174 \times 10^{-3}}{248} + \frac{12902.6164 \times 12.85 \times 10^{-3}}{13650.4} = 0.119 \\ \sigma_{min} &= \frac{N}{S_{rad}} - \frac{M_y \times X_G}{I_{yy}} = \frac{26741.174 \times 10^{-3}}{248} - \frac{12902.6164 \times 12.85 \times 10^{-3}}{13650.4} = 0.095 \\ \sigma_{moy} &= \frac{3\sigma_{max} + \sigma_{min}}{4} = \frac{3 \times 0.119 + 0.095}{4} = 0.113 \\ 0.113 &\leq 0.17 \dots CV. \end{split}$$

VI. 3. 2. Vérification au cisaillement :

$$\begin{split} \tau_{\rm u} &= \frac{V_{\rm u}}{b\times d} \leq \ \bar{\tau} \\ \bar{\tau} &= \min(0.1\times f_{\rm c28}; 3 \ \text{MPa} \) = 2.5 \ \text{MPa} \end{split}$$

On considère une bande de largeur b = 1m.

$$V_{u} = \frac{N_{u} \times L_{max}}{2 \times S_{rad}} \times 1$$

$$V_{u} = \frac{26741.174 \times 4.35}{2 \times 248} \times 1$$

$$V_{u} = 234.5 \text{ KN}.$$

$$d = 0.9 \times h = 0.9 \times 0.75 = 0.675 \text{ m}.$$

$$\tau_{\rm u} = \frac{234.5 \times 10^3}{1000 \times 630} = 0.53 \text{ MPa}$$
 $0.53 \text{ MPa} \le \bar{\tau} = 2.5 \text{ MPa} \dots \text{CV}.$

VI. 3. 3. Vérification au poinçonnement

Selon le BAEL91/99 (Art A.5.2.4.2), il faut vérifier la résistance de la dalle au poinçonnement par effort tranchant, cette vérification s'effectue comme suit

$$N_d \le 0.045 \times U_C \times h_t \times \frac{f_{c28}}{\gamma_b}$$

N_d: Effort normal de calcul.

ht: Hauteur total de la dalle du radier.

U_C: Périmètre du contour au niveau du feuillet moyen sous poteau le plus sollicité.

Le poteau le plus sollicité est le poteau (50×50) cm², le périmètre d'impactU_C est donné par la formule suivante :

$$U_C = 2 (A + B)$$
 $A = a + h_t$
 $A = 0.5 + 0.75 = 1.25 \text{ cm}$
 $B = b + h_t$
 $B = 0.5 + 0.75 = 1.25 \text{ cm}$
 $U_C = 5$

Alors:

$$N_d = 1945.07 \le 0.045 \times 5 \times 0.75 \times \frac{25}{1.5}$$

 $N_d = 2812.5...$ CV.
 $N_d = 1945.07 \le 2812.5$

Donc : il n'y a pas de risque.

VI. 4. Ferraillage du radier :

Le radier sera calculé comme un plancher renversé, appuyé sur les nervures en flexion simple,

On considère que la fissuration est préjudiciable. On fait Le calcul pour le panneau le plus défavorable et on adoptera le même ferraillage pour tout le radier de dimension.

$$l_x = 3.5$$

$$l_y = 4.35$$

VI. 4. 1. Calcul des sollicitations :

à partir de ROBOT :
$$\begin{cases} N_u = 42448.834 \text{ KN} \\ N_s = 30219.71 \text{ KN} \end{cases}$$

$$q_u = \frac{N_u}{S_{rad}} = \frac{42448.834}{248} = 171.16 \text{ KN/m}^2$$

$$q_S = \frac{N_S}{S_{rad}} = \frac{30219.71}{248} = 12.85 \text{ KN/m}^2$$

$$\rho = \frac{L_x}{L_y} = \frac{3.5}{4.35} = 0.80 > 0.4$$

La dalle du radier travaille dans les deux sens.

Dans ce cas les moments sont déterminés suivant les deux directions l_x et l_y.

VI. 4. 2. Calcul des moments :

Pour le calcul des moments on utilise les dispositions indiquées à l'annexe E3 des règles BAEL91[1]:

Dans le sens de la petite portée : $M_x = \mu_x q_u L_x^2$ Dans le sens de la grande portée : $M_y = \mu_y M_x$ Les coefficients μ_x et μ_y sont fonction de :

$$\bullet \quad \rho = \frac{L_x}{L_v} \, \text{et de } \nu.$$

•
$$v$$
: Coefficient de poisson
$$\begin{cases} ELU \ v = 0 \\ ELS \ v = 0.2 \end{cases}$$

 μ_x et μ_y sont donnés par l'abaque de calcul des dalles rectangulaire.

$$\begin{split} \rho &= 0.80 \Rightarrow \begin{cases} \mu_x = 0.056 \\ \mu_y = 0.595 \end{cases} \\ M_x &= \mu_x q_u L_x^2 = 117.41 \text{ KN. m} \\ M_y &= \mu_y M_x = 69.85 \text{ KN. m} \end{split}$$

• Moments en travées :

$$M_{tx} = 0.75M_x = 0.75 \times 117.41 = 88.05 \text{ KN. m}$$

 $M_{ty} = 0.75M_y = 0.75 \times 69.85 = 52.387 \text{ KN. m}$

• Moments sur appuis :

$$M_{ax} = M_{ay} = 0.5M_x = 0.5 \times 117.41 = 58.70 \text{ KN. m}$$

Le ferraillage se fera pour une section : $(b \times h_r) = (1 \times 0.75) \text{ m}^2$.

VI. 4. 3. Ferraillage de la dalle :

$$b=100$$
 cm, $h=75$ cm, $d=0.9h=67.5$ cm, $f_e=400$ MPa, $f_{c28}=25$ MPa,
$$f_{t28}=2.1$$
 MPa, $\sigma_s=348$ MPa.

Les résultats sont récapitulés dans le tableau suivant :

Tableau VI. 3: Rusélta de ferraillage.

| | Sens | M _u (KN. m) | μ | A' _s (cm ²) | α | Z (cm) | $\begin{array}{c} A_{cal} \\ (cm^2) \end{array}$ | Choix | A_{adp} (cm^2) |
|--------|------|------------------------|-------|------------------------------------|-------|-----------|--|-------|--------------------|
| Travée | X-X | 88.05 | 0,013 | 0 | 0.016 | 67.06 | 3.77 | 6HA12 | 6.79 |
| Travee | Y-Y | 52.387 | 0,008 | 0 | 0.01 | 67.23 | 2.240 | 6HA12 | 6.79 |
| Annui | X-X | 58.70 | 0,009 | 0 | 0.011 | 67.20 | 2.511 | 6HA12 | 6.79 |
| Appui | Y-Y | 58.70 | 0,009 | 0 | 0.011 | 67.20 | 2.511 | 6HA12 | 6.79 |

VI. 4. 3. 1. Condition de non fragilité :

On a: 12 cm < e

h = e = 70 cm, b = 100 cm

$$\begin{cases} A_{min\;X} \geq \rho_0 \frac{(3-\rho)}{2} \times b \times h = 6.6 \\ A_{min\;Y} \geq \rho_0 \times b \times h = 6 \end{cases}$$
 Avec :
$$\begin{cases} \rho_0 = 0.8\%_0 \text{ pour les barres HA} \\ \rho = \frac{L_x}{L_y} = 0.8 \end{cases}$$
 Travée :
$$\begin{cases} sens\;x - x : \; A_x = 6.79\;cm^2 \; > A_{min} = 6.6\;cm^2\;...\;CV. \\ sens\;y - y : \; A_y = 6.79\;cm^2 \; > A_{min} = 6.6\;cm^2\;...\;CV. \end{cases}$$
 Appuis :
$$\begin{cases} sens\;x - x : \; A_x = 6.79\;cm^2 \; > A_{min} = 6.6\;cm^2\;...\;CV. \\ sens\;y - y : \; A_x = 6.79\;cm^2 \; > A_{min} = 6.6\;cm^2\;...\;CV. \end{cases}$$

VI. 4. 3. 2. Vérification de l'effort tranchant : (BAEL A.5.1, 211) [1]

Les armatures transversales ne sont pas nécessaires si la condition ci-dessous est vérifiée :

$$\begin{split} \tau_u &= \frac{T_u}{bd} \leq \overline{\tau_u} = 0.07 \ f_{c28} = 1.75 \ \text{MPa} \\ T_x &= \frac{q_u L_x L_y}{2L_x + L_y} = 229.591 \text{kN} \\ T_y &= \frac{q_u L_x}{3} = 199.61 \ \text{kN} \\ T_u^{max} &= 229.59 \\ \tau_u &= \frac{229.59 \times 10^3}{1000 \times 675} = 0.34 \ \text{MPa} < \bar{\tau}_u = 1.75 \text{MPa} \dots \text{CV}. \end{split}$$

VI. 4. 3. 3. Espacement

$$\begin{split} & \text{Trav\'ee}: \begin{cases} \text{sens } x - x: \ S_t \ = \ \frac{100}{5} = 20 \ \text{cm} \ < \text{Min (3h. 33cm)} \ ... \ \text{CV.} \\ \text{sens } y - y: \ S_t \ = \ \frac{100}{5} = 20 \ \text{cm} \ < \text{Min (3h. 33cm)} \ ... \ \text{CV.} \\ \text{Appuis}: \begin{cases} \text{sens } x - x: \ S_t \ = \ \frac{100}{5} = 20 \ \text{cm} \ < \text{Min (3h. 33cm)} \ ... \ \text{CV.} \\ \text{sens } y - y: \ S_t \ = \ \frac{100}{5} = 20 \ \text{cm} \ < \text{Min (3h. 33cm)} \ ... \ \text{CV.} \end{cases} \end{split}$$

• Moments en travées :

$$M_{tx} = 0.75M_x = 0.75 \times 117.41 = 88.05 \text{ KN. m}$$

 $M_{ty} = 0.75M_y = 0.75 \times 69.85 = 52.387 \text{ KN. m}$

• Moments sur appuis :

$$M_{ax} = M_{ay} = 0.5M_x = 0.5 \times 117.41 = 58.70 \text{ KN. m}$$

a. Vérification des contraintes :

$$\sigma_b = \frac{M_{ser}}{I} y \le \bar{\sigma}_{bc} = 0.6 f_{c28} = 15 MPa.$$

b. Détermination de la valeur de « y » :

$$\frac{b}{2}y^2 + nA_s'(d - c')^2 + nA_s(d - y)^2 = 0$$

Avec: n = 15

c. Déterminer le moment d'inertie « I » :

$$I = \frac{b}{3}y^3 + nA'_s(d - c')^2 + nA_s(d - y)^2$$

Les résultats trouvés en travée et sur appui dans les deux sens sont regroupés dans le tableau suivant :

Tableau VI. 4: Vérification des contraintes.

| | Sens | M _{ser} (KN. m) | A_s (cm ²) | y (cm) | I (cm ⁴) | σ_b (MPa) | $\sigma_{bc} \leq \overline{\sigma}_{bc}$ |
|--------|------|--------------------------|--------------------------|--------|----------------------|------------------|---|
| Travée | X-X | 88.05 | 6.79 | 13.39 | 525246.45 | 2.3 | |
| Travee | Y-Y | 52.387 | 6.79 | 10.35 | 319398.63 | 1.69 | CV |
| Annuic | X-X | 58.70 | 6.79 | 11.90 | 418085.67 | 1.67 | CV |
| Appuis | Y-Y | 58.70 | 6.79 | 11.90 | 418085.67 | 1.67 | |

VI. 5. Ferraillage des nervures :

VI. 5. 1. Calcul des efforts :

Pour le calcul des efforts, nous utilisons la méthode forfaitaire (BAEL91 modifiée 99).

Nous avons : $M_0 = \frac{PL^2}{8}$

En travée : $M_t = 0.85M_0$ En appuis : $M_a = 0.85M_0$

VI. 5. 2. Calcul des armatures :

b = 50 cm; h = 100 cm; L = 4.65 m.

Tableau VI. 5: Ferraillage des nervures du radier.

| | M _u (KN. m) | μ | A' _s (cm ²) | α | Z (cm) | A _{cal} (cm ²) | Choix | A_{adp} (cm^2) |
|--------|------------------------|-------|------------------------------------|-------|-----------|-------------------------------------|-------|--------------------|
| Travée | 344.11 | 0.059 | 0 | 0.076 | 87.26 | 11.34 | 8HA14 | 12.32 |
| Appuis | 202.24 | 0.035 | 0 | 0.044 | 88.41 | 6.57 | 6HA12 | 6.79 |

VI. 5. 3. Vérification des contraintes à l'ELS:

Les résultats sont regroupés dans le tableau suivant :

Tableau VI. 6: Vérification des contraintes à l'ELS.

| | M _{ser} (KN. m) | $A_s(cm^2)$ | σ _b (MPa) | $\overline{\sigma}_{bc}$ | Condition |
|--------|--------------------------|-------------|----------------------|--------------------------|-----------|
| Travée | 15.32 | 12.32 | 4.58 | 15 | CV |
| Appuis | 9.01 | 6.79 | 369 | 15 | |

VI. 5. 4. Vérification de la contrainte tangentielle du béton :

Nous devons vérifier que :

$$\tau_{\rm u} < \overline{\tau}_{\rm u} = {\rm min}(0.1 f_{\rm c28}, 4 {\rm MPa}) = 2.50 {\rm MPa}.$$

Avec:

$$\begin{split} \tau_u &= \frac{T_u}{bd} \\ T_u &= \frac{P_u L}{2} = \frac{171.16 \times 3.35}{2} = 286.693 \text{ KN} \\ \tau_u &= \frac{286.693 \times 10^3}{500 \times 900} = \ 0.637 \text{ MPa} < \bar{\tau}_u = 2,50 \text{MPa} \dots \text{CV}. \end{split}$$

VI. 5. 5. Armatures transversales: RPA99 version 2003:

$$\begin{split} \frac{A_t}{S_t} &\geq 0,\!003 \times b \\ \\ &\text{Zone nodale}: S_t \leq \text{Min}(\frac{h}{4}; 12\phi_l) = 24 \text{ cm} \\ \\ &\text{Zone courante}: S_t \leq \frac{h}{2} \end{split}$$

Avec:

$$\varphi_{t} \leq Min\left(\frac{h}{35}; \varphi_{l}; \frac{b}{10}\right) = 2cm$$

Nous trouvons:

Zone nodale : $S_t = 20$ cm. Zone courante : $S_t = 30$ cm.

$$A_t \ge 3 \text{ cm}^2$$

$$A_t \ge 4.5 \text{ cm}^2$$

Nous prenons : $6T10 = 4,71cm^2$

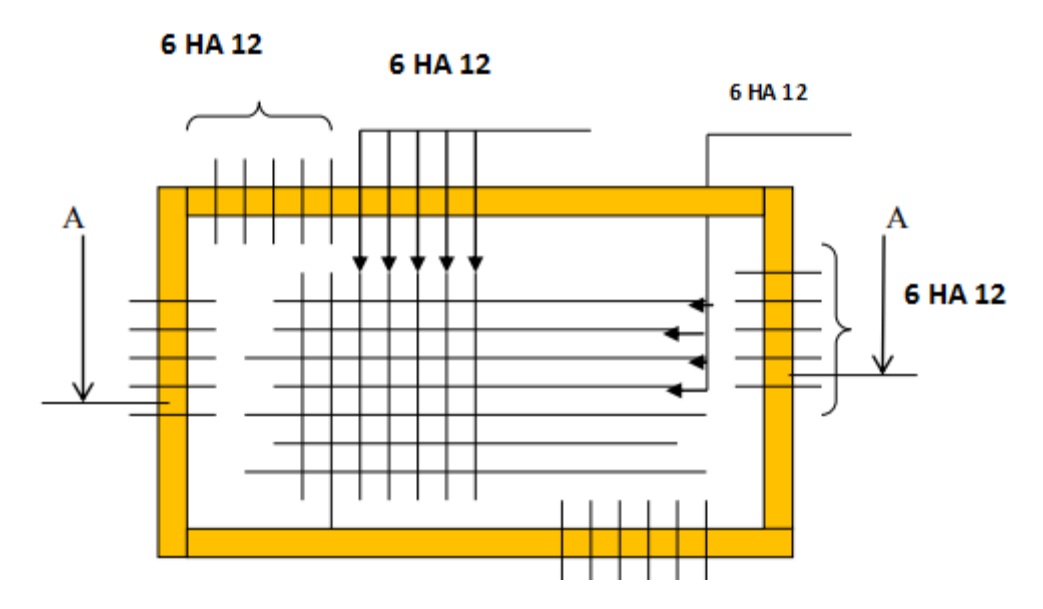


Figure VI. 3: Schéma de ferraillage de la dalle de radier.

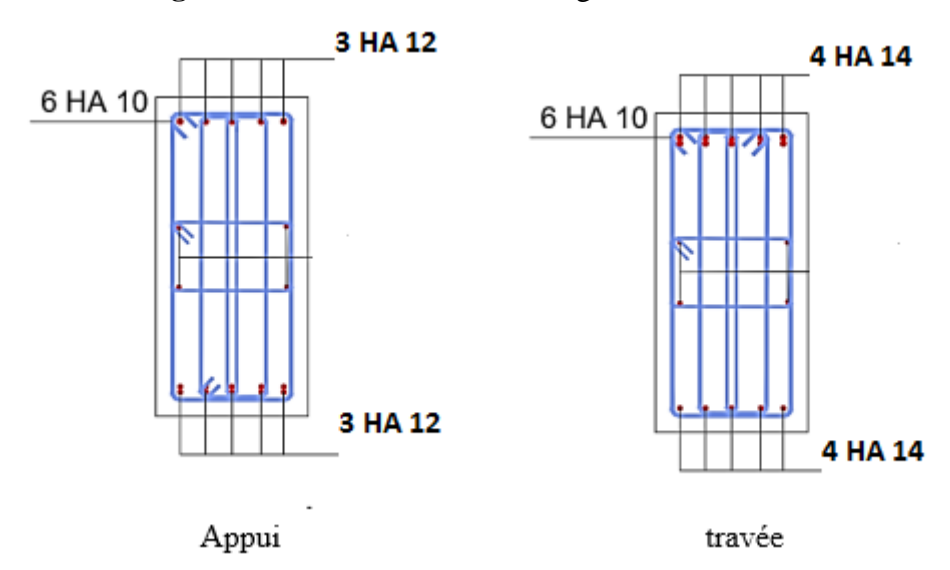


Figure VI. 4: Schéma de ferraillage des nervures.

VI. 6. L'étude des longrines :

Les longrines ont pour rôle :

- Chainer les semelles entre elles.
- Rigidifier l'infrastructure.
- Empêcher le déplacement des semelles l'une par rapport à l'autre.

VI. 6. 1. Pré-dimensionnement :

D'après le règlement RPA 2003 (art 10.1.1) les longrines auront des dimensions minimales :

- (25×30) cm².....sites de catégorie S2, S3
- (30×30) cm².....site de catégorie S4 [4]

Notre site c'est ferme S3, Pour des raisons constructives nous adapterons une section de dimensions suivantes : (35×35) cm²

VI. 6. 2. Ferraillage de la longrine :

La section d'armature est donnée par les armatures minimales :

Amin = $0.6\% \times b \times h$

Amin = $0.006 \times 35 \times 35 = 7.35$ cm²

On adopte: 6T14 (As=9.24 cm²)

• Condition de non fragilité : (BAEL 91)

$$\begin{split} A_{min} & \geq 0.23 \, \times b \times d \, \times \frac{f_{t28}}{f_e} \\ A_{min} & \geq 0.23 \, \times 300 \times 270 \, \times \frac{21}{400} = 97.80 \; mm^2 \\ A_{min} & \geq 0.97 \; cm^2 \\ A_{adopte} & \geq A_{min} \dots CV. \end{split}$$

• L'espacement :

$$S_t \leq min(0.9 \times h; 40cm)$$

$$\Rightarrow S_t \le \min(31.5; 33\text{cm}) \Rightarrow S_t \le 31.5 \text{ cm}$$

On prend : $S_t = 15 \text{ cm}$

• Armatures transversales :

Calcul de la section minimale : CBA93 l'art (A.5.1.2.2)

$$\frac{A_t \times f_e}{b \times S_t} \le 0.4 \, MPa \quad \Rightarrow A_t \le 0.52 \, \text{cm}^2$$

On adopte : $2T8 (A = 1.01cm^2)$

VI. 6. 3. Schéma de ferraillage :

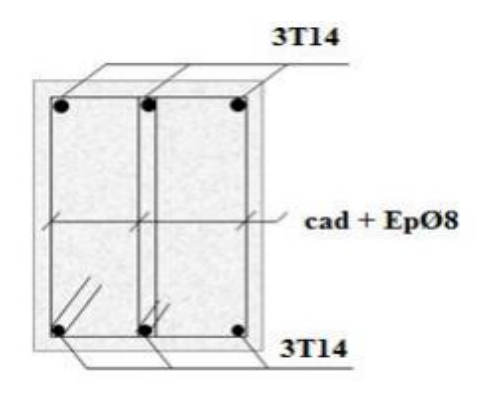


Figure VI. 5 : Schéma de ferraillage de La longrine.

Conclusion générale:

L'étude que nous avons menée dans le cadre de ce projet nous a permis de mettre en application les acquis théoriques assimilés tout au long de notre cursus et d'affiner nos connaissances.

Nous avons aussi pris conscience de l'évolution considérable du Génie Civil dans tous les domaines, en particulier dans le domaine de l'informatique (logiciels de calculs), tous comme le logiciel que nous avons choisi ROBOT et que nous avons appris à utiliser durant la réalisation de ce projet tout en tenant compte des préconisations du RPA qui font passer la sécurité avant l'économie.

Les résultats techniques et les illustrations de cette étude par le biais de ROBOT, nous ont permis de mieux comprendre, interpréter et même d'observer le comportement de la structure en phase de vibration ; comme il nous a permis une grande rentabilité de notre travail en matière de temps et d'efficacité. Les sections de pré dimensionnement ont été pas suffisantes. Ila été nécessaire d'augmenté les sections pour assurer la résistance en dynamique. Les éléments principaux sont calculés et ferrailler par les sollicitations obtenues par le ROBOT et le maximum donnée par le RPA.

Outre la résistance, l'économie est un facteur très important qu'on peut concrétiser en jouant sur le choix de section du béton et d'acier dans les éléments résistants de l'ouvrage, tout en respectant toutes les exigences de résistance et de sécurité. Enfin, nous espérons par le biais de notre présent travail, servir et contribuer aux travaux et Projets des promotions à venir.

Références bibliographiques

REGLEMENT:

- [1]. Règles de Calcul de Béton Armé Aux Etats Limites BAEL91 modifié en 99.
- [2]. Règles de Conception et de Calcul des Structures en Béton Armé CBA 93.
- [3]. Règles Parasismiques Algériennes RPA99/version2003.
- [4]. Charges permanentes et charges d'exploitation D.T.R-B.C 2.2.

LIVRES:

[5] Jean marie Husson. Etude des structures en béton (BAEL91 révisé99). Écoles d'ingénieurs génie civil. CASTELLIA. P39

ARTICLE:

[6] RAFIK TALBE; Règles Parasismiques Algériennes RPA 99 - Version 2003 pour les Structures de Bâtiments en Béton Armé: Interprétations et Propositions

COURS:

M. GUETTICHE:

Cours de béton armé2 3éme année génie civil 2019/2020. Cours Génie parasismique 2éme année master 2021/2022.

M.RABHI:

Cours de Modélisation de structure 2éme Master génie civil.

Dr. LAFIFI Brahim:

Cours de Modélisation des structures (Université 08 Mai 1945 de Guelma).

Annexes

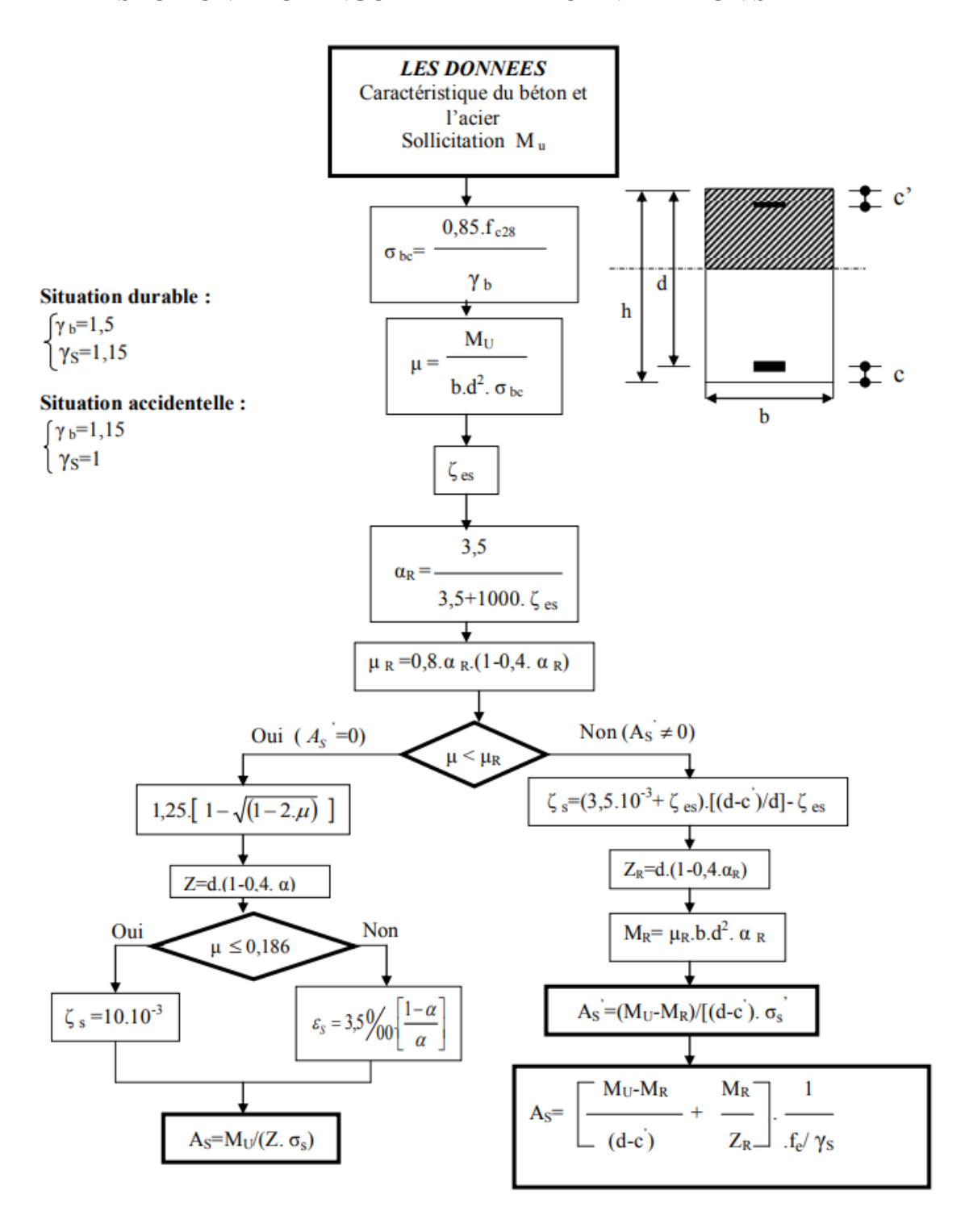
ANNEXE 1 $Section \ en \ cm^2 \ de \ N \ armature \ \varphi \ en \ mm$

| Φ | 5 | 6 | 8 | 10 | 12 | 14 | 16 | 20 | 25 | 32 | 40 |
|----|------|------|-------|-------|-------|-------|-------|-------|-------|--------|--------|
| 1 | 0,2 | 0,28 | 0,5 | 0,79 | 1,13 | 1,54 | 2,01 | 3,14 | 4,91 | 8,04 | 12,57 |
| 2 | 0,39 | 0,57 | 1,01 | 1,57 | 2,26 | 3,08 | 4,02 | 6,28 | 9,82 | 16,08 | 25,13 |
| 3 | 0,59 | 0,85 | 1,51 | 2,36 | 3,39 | 4,62 | 6,03 | 9,42 | 14,73 | 24,13 | 37,70 |
| 4 | 0,79 | 1,13 | 2,01 | 3,14 | 4,52 | 6,16 | 8,04 | 12,57 | 19,63 | 32,17 | 50,27 |
| 5 | 0,98 | 1,41 | 2,51 | 3,93 | 5,65 | 7,70 | 10,05 | 15,71 | 24,54 | 40,21 | 62,83 |
| 6 | 1,18 | 1,70 | 3,02 | 4,71 | 6,79 | 9,24 | 12,06 | 18,85 | 29,45 | 48,25 | 75,40 |
| 7 | 1,37 | 1,98 | 3,52 | 5,50 | 7,92 | 10,78 | 14,07 | 21,99 | 34,36 | 56,30 | 87,96 |
| 8 | 1,57 | 2,26 | 4,02 | 6,28 | 9,05 | 12,32 | 16,08 | 25,13 | 39,27 | 64,34 | 100,53 |
| 9 | 1,77 | 2,54 | 4,52 | 7,07 | 10,18 | 13,85 | 18,10 | 28,27 | 44,18 | 72,38 | 113,10 |
| 10 | 1,96 | 2,83 | 5,03 | 7,85 | 11,31 | 15,39 | 20,11 | 31,42 | 49,09 | 80,42 | 125,66 |
| 11 | 2,16 | 3,11 | 5,53 | 8,64 | 12,44 | 16,93 | 22,12 | 34,56 | 54,00 | 88,47 | 138,23 |
| 12 | 2,36 | 3,39 | 6,03 | 9,42 | 13,57 | 18,47 | 24,13 | 37,70 | 58,91 | 96,51 | 150,8 |
| 13 | 2,55 | 3,68 | 6,53 | 10,21 | 14,70 | 20,01 | 26,14 | 40,84 | 63,81 | 104,55 | 163,36 |
| 14 | 2,75 | 3,96 | 7,04 | 11,00 | 15,83 | 21,55 | 28,15 | 43,98 | 68,72 | 112,59 | 175,93 |
| 15 | 2,95 | 4,24 | 7,54 | 11,78 | 16,96 | 23,09 | 30,16 | 47,12 | 73,63 | 120,64 | 188,50 |
| 16 | 3,14 | 4,52 | 8,04 | 12,57 | 18,10 | 24,63 | 32,17 | 50,27 | 78,54 | 128,68 | 201,06 |
| 17 | 3,34 | 4,81 | 8,55 | 13,35 | 19,23 | 26,17 | 34,18 | 53,41 | 83,45 | 136,72 | 213,63 |
| 18 | 3,53 | 5,09 | 9,05 | 14,14 | 20,36 | 27,71 | 36,19 | 56,55 | 88,36 | 144,76 | 226,20 |
| 19 | 3,73 | 5,37 | 9,55 | 14,92 | 21,49 | 29,25 | 38,20 | 59,69 | 93,27 | 152,81 | 238,76 |
| 20 | 3,93 | 5,65 | 10,05 | 15,71 | 22,62 | 30,79 | 40,21 | 62,83 | 98,17 | 160,85 | 251,33 |

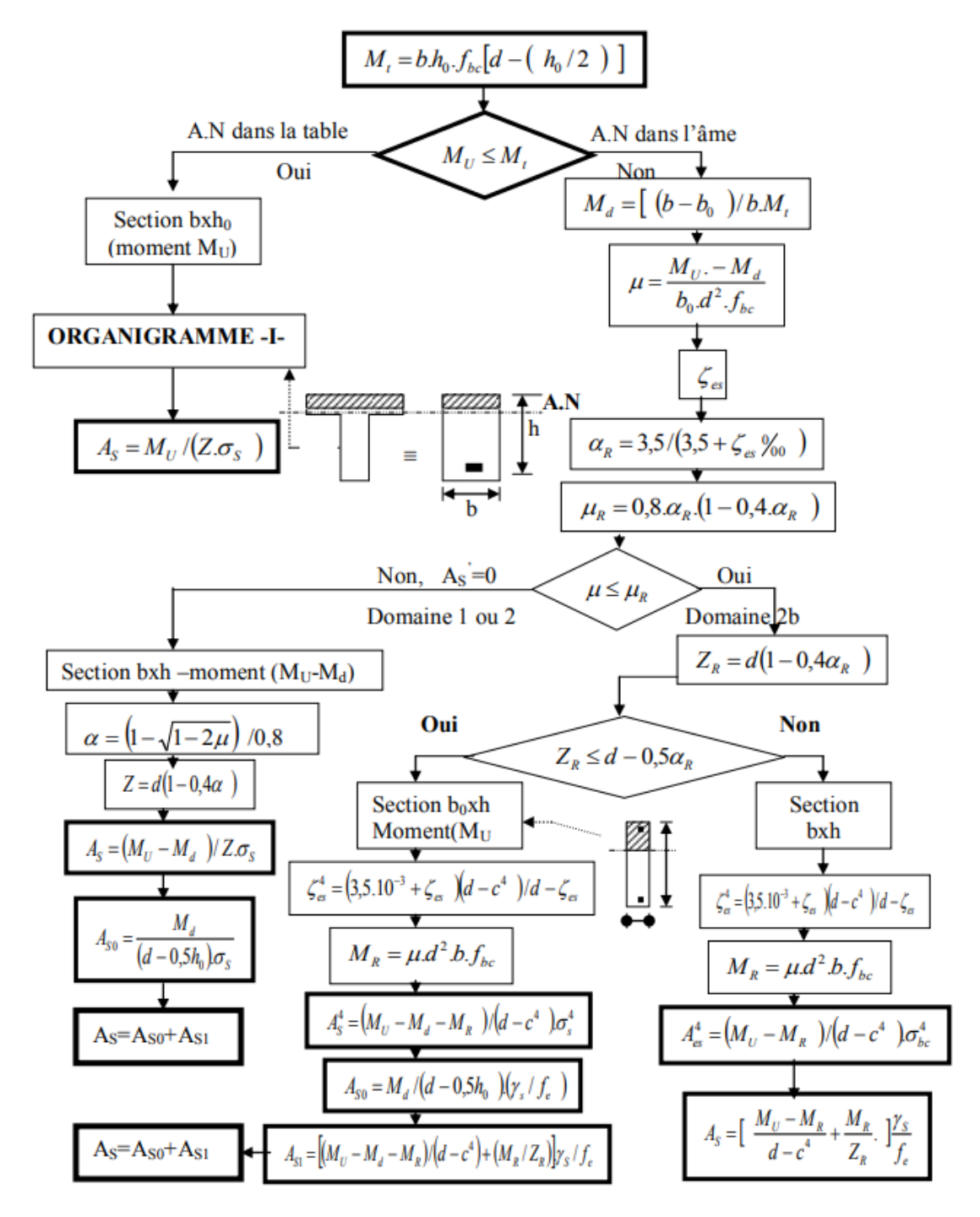
 $\label{eq:Annexe 2} \textbf{Dalles rectangulaires uniformément chargés articulés sur leur contour}$

| $\alpha = L_X$ | ELU | v = 0 | ELS 1 | 0.2 |
|----------------|------------------|------------------|----------------|------------------|
| L _Y | μ _x | μ _ν | μ _x | μν |
| 0.40 | 0.1101 | 0.2500 | 0.0121 | 0.2854 |
| 0.41 | 0.1088 | 0.2500 | 0.1110 | 0.2924 |
| 0.42 | 0.1075 | 0.2500 | 0.1098 | 0.3000 |
| | | | 0.1087 | |
| 0.43 | 0.1062 | 0.2500 | | 0.3077 |
| 0.44 | 0.1049 | 0.2500 | 0.1075 | 0.3155 |
| 0.45 | 0.1036 | 0.2500 | 0.1063 | 0.3234 |
| 0.46 | 0.1022 | 0.2500 | 0.1051 | 0.3319 |
| 0.47 | 0.1008 | 0.2500 | 0.1038 | 0.3402 |
| 0.48 | 0.0994 | 0.2500 | 0.1026 | 0.3491 |
| 0.49 | 0.0980 | 0.2500 | 0.1013 | 0.3580 |
| 0.50 | 0.0966 | 0.2500 | 0.1000 | 0.3671 |
| 0.51 | 0.0951 | 0.2500 | 0.0987 | 0.3758 |
| 0.52 | 0.0937 | 0.2500 | 0.0974 | 0.3853 |
| 0.53 | 0.0922 | 0.2500 | 0.0961 | 0.3949 |
| 0.54 | 0.0908 | 0.2500 | 0.0948 | 0.4050 |
| 0.55 | 0.0894 | 0.2500 | 0.0936 | 0.4150 |
| 0.56 | 0.0880 | 0.2500 | 0.0923 | 0.4254 |
| 0.57 | 0.0865 | 0.2582 | 0.0910 | 0.4357 |
| 0.58 | 0.0851 | 0.2703 | 0.0897 | 0.4456 |
| 0.59 | 0.0836 | 0.2822 | 0.0884 | 0.4565 |
| 0.60 | 0.0822 | 0.2948 | 0.0870 | 0.4672 |
| 0.61 | 0.0808 | 0.3075 | 0.0857 | 0.4781 |
| 0.62 | 0.0794 | 0.3205 | 0.0844 | 0.4892 |
| 0.62 | 0.0799 | 0.3338 | 0.0831 | 0.4692 |
| | | | | |
| 0.64 | 0.0765 | 0.3472 | 0.0819 | 0.5117 |
| 0.65 | 0.0751 | 0.3613 | 0.0805 | 0.5235 |
| 0.66 | 0.0737 | 0.3753 | 0.0792 | 0.5351 |
| 0.67 | 0.0723 | 0.3895 | 0.0780 | 0.5469 |
| 0.68 | 0.0710 | 0.4034 | 0.0767 | 0.5584 |
| 0.69 | 0.0697 | 0.4181 | 0.0755 | 0.5704 |
| 0.70 | 0.0684 | 0.4320 | 0.0743 | 0.5817 |
| 0.71 | 0.0671 | 0.4471 | 0.0731 | 0.5940 |
| 0.72 | 0.0658 | 0.4624 | 0.0719 | 0.6063 |
| 0.73 | 0.0646 | 0.4780 | 0.0708 | 0.6188 |
| 0.74 | 0.0633 | 0.4938 | 0.0696 | 0.6315 |
| 0.75 | 0.0621 | 0.5105 | 0.0684 | 0.6447 |
| 0.76 | 0.0608 | 0.5274 | 0.0672 | 0.6580 |
| 0.77 | 0.0596 | 0.5440 | 0.0661 | 0.6710 |
| 0.78 | 0.0584 | 0.5608 | 0.0650 | 0.6841 |
| 0.78 | 0.0573 | 0.5786 | 0.0639 | 0.6978 |
| 0.79 | 0.0573 | 0.5959 | 0.0628 | 0.6978 |
| 0.81 | 0.0550 | 0.6135 | 0.0617 | 0.7246 |
| 0.82 | 0.0539 | 0.6313 | 0.0607 | 0.7381 |
| 0.83 | 0.0539 | 0.6494 | 0.0956 | 0.7518 |
| | | | 0.0586 | |
| 0.84 0.85 | 0.0517 0.0506 | 0.6678 0.6864 | 0.0586 | 0.7655 0.7794 |
| 0.86 | 0.0496 | 0.7052 | 0.0566 | 0.7932 |
| | | | | |
| 0.87 | 0.0486 | 0.7244 | 0.0556 | 0.8074 |
| 0.88 | 0.0476 | 0.7438 | 0.0546 | 0.8216 |
| 0.89 | 0.0466 | 0.7635 | 0.0537 | 0.8358 |
| 0.90 | 0.0456 | 0.7834 | 0.0528 | 0.8502 |
| 0.91 | 0.0447 | 0.8036 | 0.0518 | 0.8646 |
| 0.92 | 0.0437 | 0.8251 | 0.0509 | 0.8799 |
| 0.93 | 0.0428 | 0.8450 | 0.0500 | 0.8939 |
| 0.94 | 0.0419 | 0.8661 | 0.0491 | 0.9087 |
| 0.95 | 0.0410 | 0.8875 | 0.0483 | 0.9236 |
| 0.96 | 0.0401 | 0.9092 | 0.0474 | 0.9385 |
| 0.97 | 0.0392 | 0.9322 | 0.4065 | 0.9543 |
| 0.98 | 0.0384 | 0.9545 | 0.0457 | 0.9694 |
| 0.99 | 0.0376 | 0.9771 | 0.0449 | 0.9847 |
| 1.00 | 0.0376 | 1.0000 | 0.0441 | 0.1000 |
| | | | | |

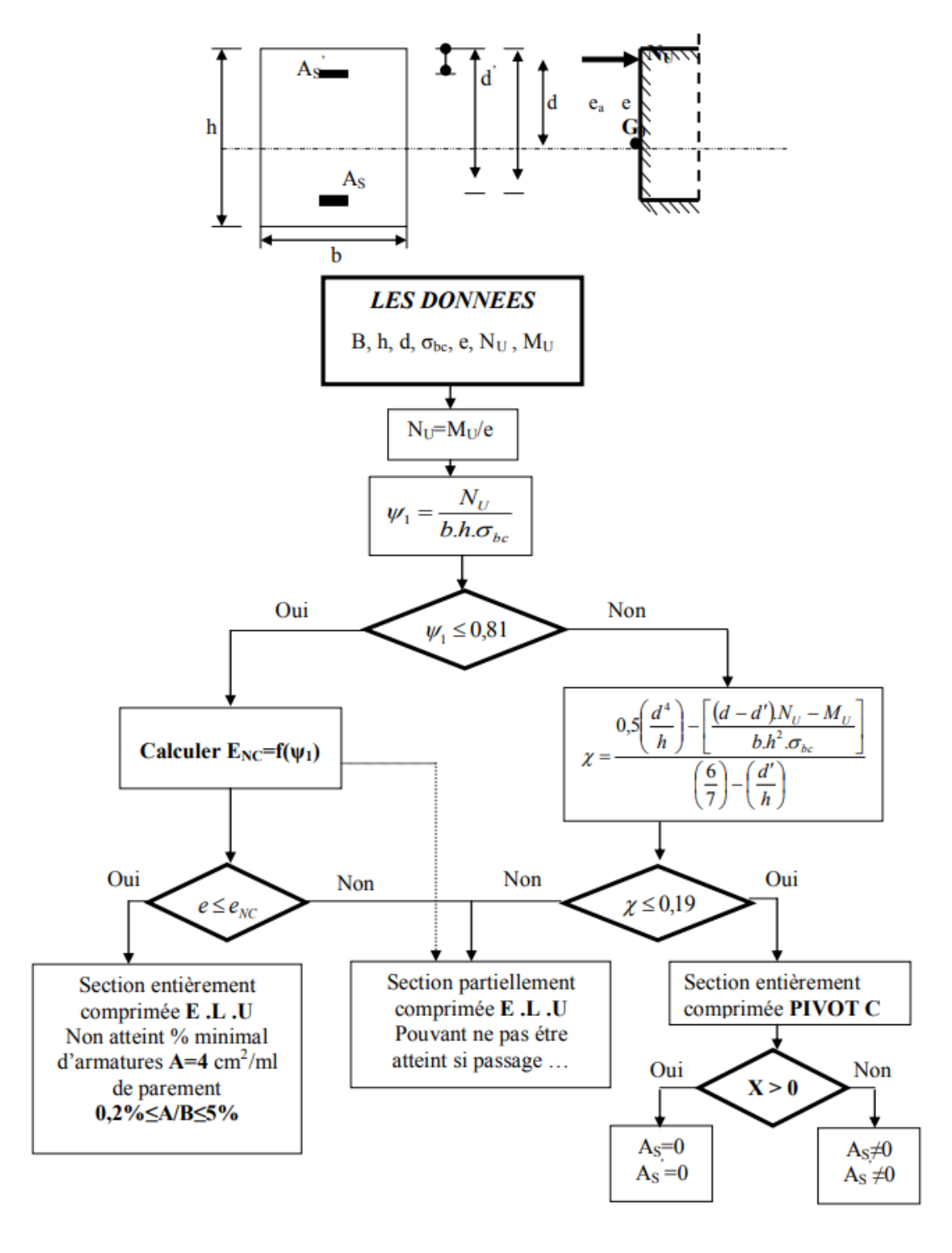
Annexe 3
SECTION RECTANGULAIRE A L'ELU EN FLEXION SIMPLE



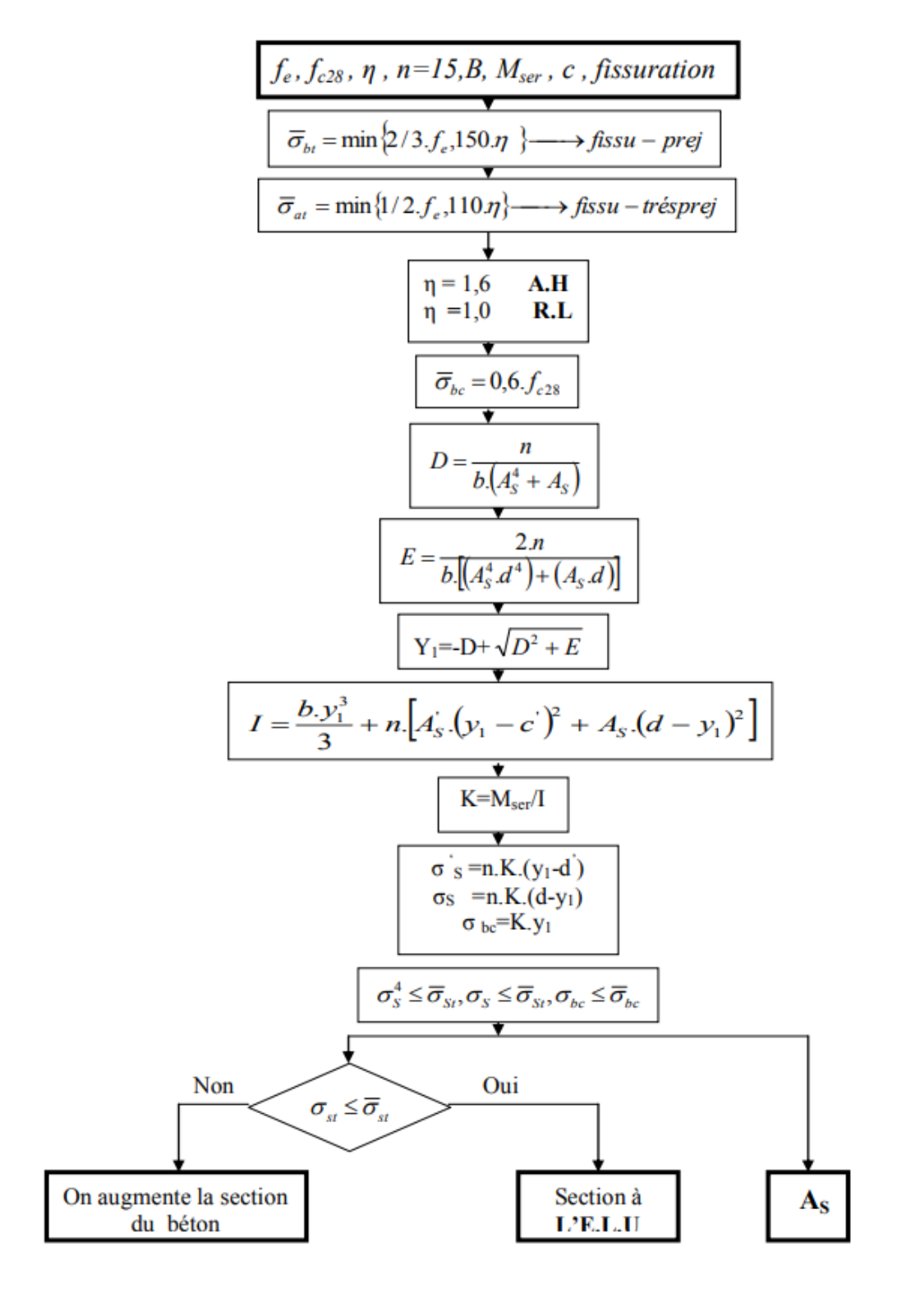
Annexe 4 CALCUL D'UNE SECTION EN -Té - A L'ELU EN FLEXION SIMPLE



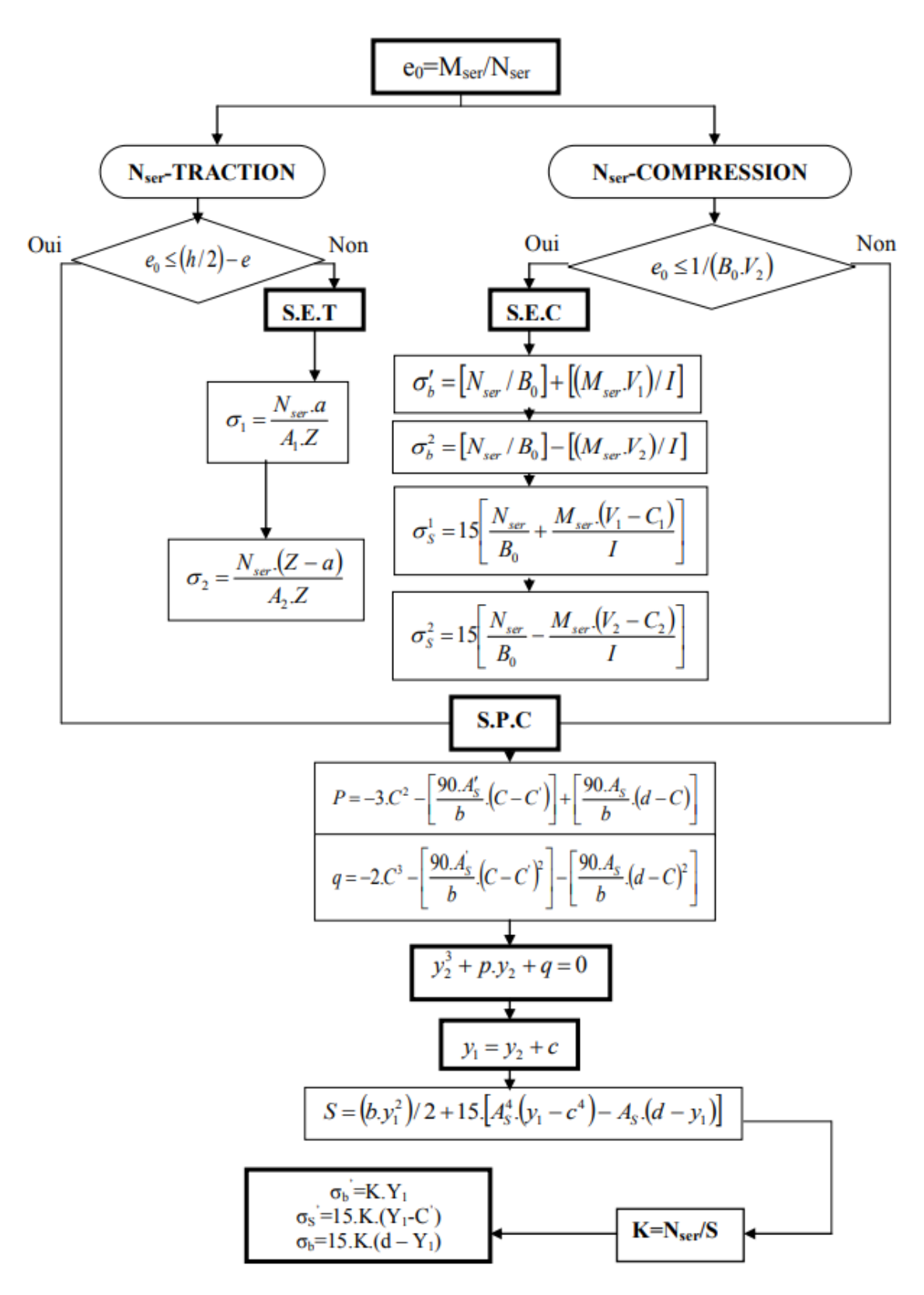
Annexe 5
CALCUL D'UNE SECTION RECTANGULAIRE A L'ELU EN FLEXION COMPOSEE



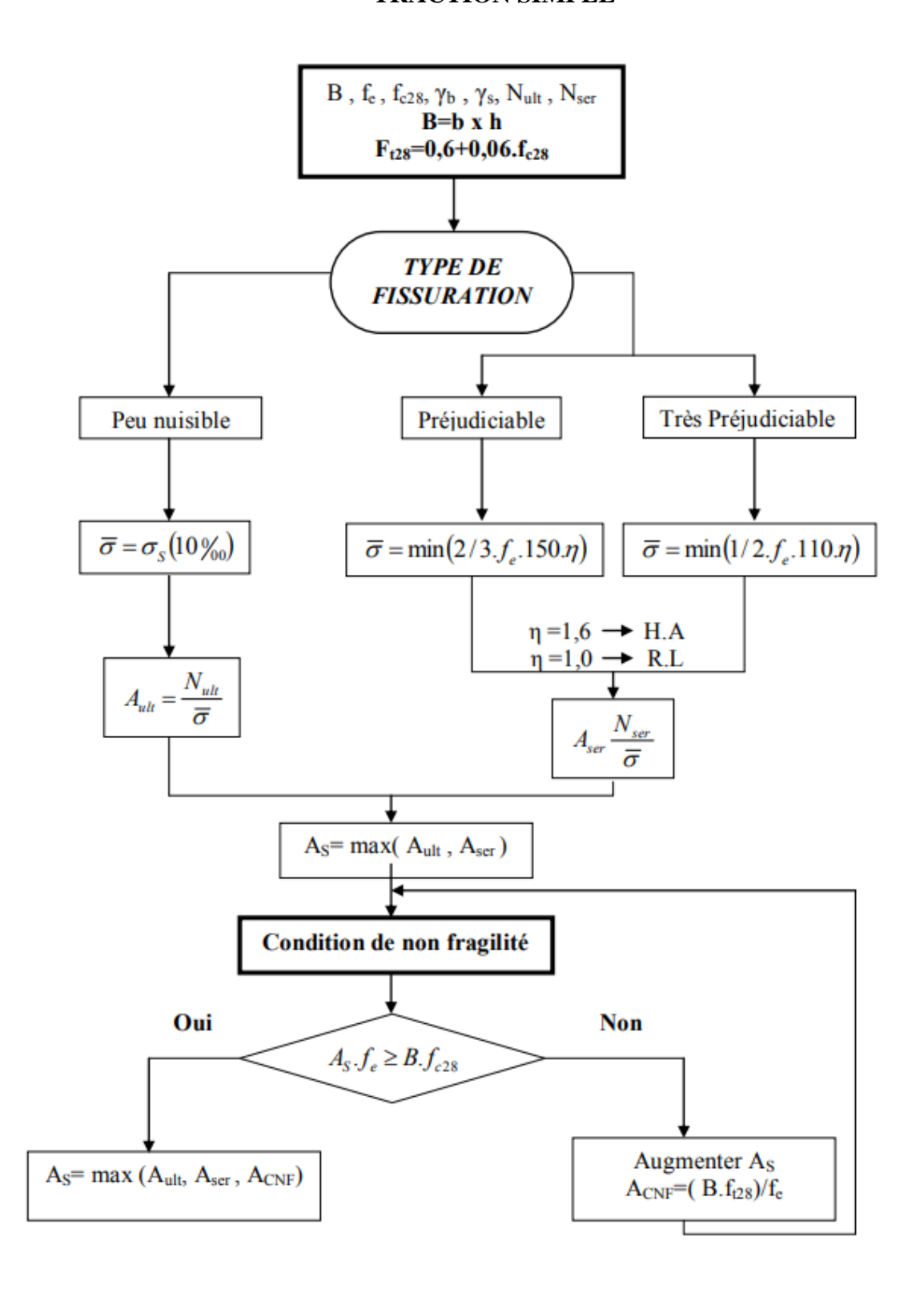
Annexe 6 VERIFICATION D'UNE SECTION RECTANGULAIRE A L'ELS



Annexe 7
FLEXION COMPOSEE A L'ELS



Annexe 8 TRACTION SIMPLE



Annexe 9
CALCUL DES ARMATURES D'UNE POUTRE SOUMISE A L'EFFORT
TRANCHANT

